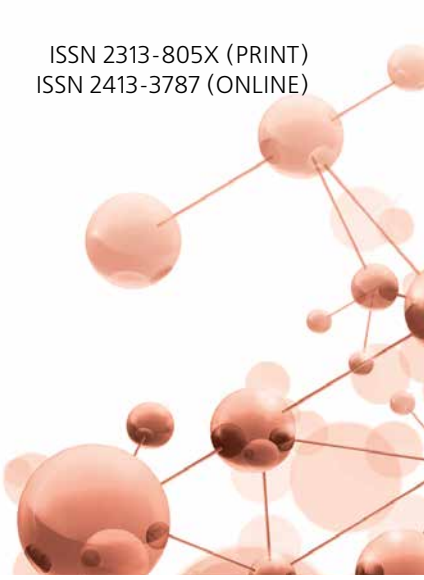
НАУЧНО-ИССЛЕДОВАТЕЛЬСКИЙ ИНСТИТУТ КАНЦЕРОГЕНЕЗА ФГБУ «НАЦИОНАЛЬНЫЙ МЕДИЦИНСКИЙ ИССЛЕДОВАТЕЛЬСКИЙ ЦЕНТР ОНКОЛОГИИ ИМ. Н.Н. БЛОХИНА» МИНЗДРАВА РОССИИ

#### УСПЕХИ МОЛЕКУЛЯРНОЙ ОНКОЛОГИИ НАУЧНО-ПРАКТИЧЕСКИЙ ЕЖЕКВАРТАЛЬНЫЙ РЕЦЕНЗИРУЕМЫЙ ЖУРНАЛ



Множественные аспекты влияния противоопухолевой химиотерапии на иммунный ответ

Модели сарком мягких тканей in vitro: фундаментальные и клинические аспекты

Тамоксифен и регуляция стрессиндуцированного старения в клетках рака молочной железы

Метилирование промотора гена MGMT как прогностический маркер глиобластомы

Экспериментальное тестирование химиорезистентности опухолевых клеток рака яичников





TOM 12 VOL. 12 **2025**  Журнал «Успехи молекулярной онкологии» входит в перечень ведущих рецензируемых научных периодических изданий, рекомендованных Высшей аттестационной комиссией (ВАК) для публикации основных научных результатов диссертаций на соискание ученых степеней кандидата и доктора наук.

Журнал включен в Научную электронную библиотеку и Российский индекс научного цитирования (РИНЦ), имеет импакт-фактор, зарегистрирован в базе данных Scopus, в CrossRef, статьи индексируются с помощью идентификатора цифрового объекта (DOI).

Электронная версия журнала представлена в DOAJ.

НАУЧНО-ИССЛЕДОВАТЕЛЬСКИЙ ИНСТИТУТ КАНЦЕРОГЕНЕЗА ФГБУ «НМИЦ ОНКОЛОГИИ ИМ. Н.Н. БЛОХИНА» МИНЗДРАВА РОССИИ

## успехи молекулярной ОНКОЛОГИИ



Федеральное государственное бюджетное учреждение «Национальный медицинский исследовательский центр онкологии им. Н.Н. Блохина» Минздрава России

Онлайн-версия журнала доступна по адресу: http://umo.abvpress.ru/jour

ЕЖЕКВАРТАЛЬНЫЙ НАУЧНО-ПРАКТИЧЕСКИЙ РЕЦЕНЗИРУЕМЫЙ ЖУРНАЛ

**Главная задача журнала «Успехи молекулярной онкологии»** – публикация современной информации о проведенных фундаментальных и клинико-экспериментальных исследованиях в области молекулярной онкологии.

**Цель издания** – дать читателям представление об актуальных направлениях современной молекулярной онкологии, ознакомить с наиболее значимыми работами отечественных и зарубежных исследователей в этой области, создать общую площадку, на которой специалисты разных областей, включая онкологов, молекулярных биологов, генетиков, биохимиков, вирусологов, химиотерапевтов, смогут поделиться результатами своих научных исследований.

# 3 TOM 12 '25

#### ОСНОВАН В 2014 Г

#### Учредители:

ФГБУ «НМИЦ онкологии им. Н.Н. Блохина» Минздрава России, ООО «ИД «АБВ-пресс»

#### Издатель:

ООО «ИД «АБВ-пресс» 115478 Москва, Каширское шоссе, 24, стр. 15

#### Адрес редакции:

115478 Москва, Каширское шоссе, 24, стр. 15, НИИ канцерогенеза, 3-й этаж. Тел.: +7 (499) 929-96-19 E-mail: abv@abvpress.ru www.abvpress.ru

#### Прием статей:

онлайн на сайте
http://umo.abvpress.ru/jour
или по адресу
adv.mol.onc@ronc.ru

Выпускающий редактор И.В. Пучкова

Корректор Т.Н. Помилуйко

Дизайн: Е.В. Степанова

Верстка: Е.В. Степанова

Служба подписки и распространения И.В. Шургаева, base@abvpress.ru

Журнал зарегистрирован в Федеральной службе по надзору в сфере связи, информационных технологий и массовых коммуникаций (ПИ № ФС77-57560 от 08.04.2014)

При полной или частичной перепечатке материалов ссылка на журнал «Успехи молекулярной онкологии» обязательна. Редакция не несет ответственности за содержание публикуемых рекламных материалов. В статьях представлена точка зрения авторов, которая может не совпадать с мнением редакции.

ISSN 2313-805X (Print) ISSN 2413-3787 (Online)

Успехи молекулярной онкологии. 2025. Том 12. № 3. 1—132.

© Оформление, верстка. ООО «ИД «АБВ-пресс», 2025

Подписной индекс в каталоге «Пресса России» — 93562.

Отпечатано в типографии «Лайдер принт». 105082 Москва, Переведеновский пер., 13, стр. 16.

Тираж 1000 экз. Бесплатно.

#### ГЛАВНЫЙ РЕДАКТОР

Красильников Михаил Александрович, д.б.н., профессор, директор Научно-исследовательского института канцерогенеза (НИИ канцерогенеза) ФГБУ «НМИЦ онкологии им. Н.Н. Блохина» Минздрава России, заведующий отделом экспериментальной биологии отухолей (Москва, Россия)

#### ЗАМЕСТИТЕЛЬ ГЛАВНОГО РЕЛАКТОРА

Якубовская Марианна Геннадиевна, д.м.н., заведующая отделом химического канцерогенеза НИИ канцерогенеза ФГБУ «НМИЦ онкологии им. Н.Н. Блохина» Минздрава России (Москва, Россия)

#### ОТВЕТСТВЕННЫЙ СЕКРЕТАРЬ

Гудкова Маргарита Владимировна, к.б.н., ученый секретарь НИИ канцерогенеза ФГБУ «НМИЦ онкологии им. Н.Н. Блохина» Минэдрава России (Москва, Россия)

#### РЕДАКЦИОННАЯ КОЛЛЕГИЯ

Боженко Владимир Константинович, д.м.н., профессор, руководитель лаборатории биохимии отдела патоморфологии и лабораторной диагностики, ФГБУ «Российский научный центр рентгенорадиологии» Минздрава России, заслуженный врач РФ (Москва, Россия)

Бойчук Сергей Васильевич, д.м.н., профессор, заведующий кафедрой общей патологии, декан медико-биологического факультета ФГБОУ ВО «Казанский государственный медицинский университет» Минэдрава России (Казань, Россия)

**Глушанкова Наталия Александровна,** д.б.н., заведующая лабораторией механизмов канцерогенеза НИИ канцерогенеза ФГБУ «НМИЦ онкологии им. Н.Н. Блохина» Минздрава России (Москва, Россия)

Гудков Андрей Владимирович, д.б.н., профессор, старший вице-президент по фундаментальной науке и заведующий отделом биологии клеточного стресса Института онкологии им. Розвелла Парка (Баффало, Нью-Йорк, США)

Животовский Борис Давидович, д.б.н., профессор, лауреат Государственной премии СССР, заведующий лабораторией исследования механизмов апоптоза факультета фундаментальной медицины ФГБОУ ВО «Московский государственный университет им. М.В. Ломоносова», профессор Каролинского института (Стокгольм, Швеция)

Имянитов Евгений Наумович, д.м.н., профессор, член-корреспондент РАН, ФГБУ «НМИЦ онкологии им. Н.Н. Петрова» Минздрава России (Санкт-Петербург, Россия)

Казанский Дмитрий Борисович, д.б.н., профессор, заведующий лабораторией механизмов регуляции иммунитета НИИ канцерогенеза ФГБУ «НМИЦ онкологии им. Н.Н. Блохина» Минздрава России (Москва. Россия)

Карамышева Аида Фуадовна, д.б.н., главный научный консультант лаборатории генетики опухолевых клеток отдела молекулярной биологии опухолей НИИ канцерогенеза ФГБУ «НМИЦ онкологии им. Н.Н. Блохина» Минздрава России (Москва, Россия)

**Кжышковска Юлия Георгиевна,** д.б.н., профессор, руководитель отдела врожденного иммунитета и толерантности Института трансфузионной медишны и иммунологии медишинского факультета Мангейма университета Гейдельберга (Гейдельберг, Германия)

Кирсанов Кирилл Игоревич, д.б.н., заведующий лабораторией канцерогенных веществ отдела химического канцерогенеза НИИ канцерогенеза ФГБУ «НМИЦ онкологии им. Н.Н. Блохина» Минздрава России, доцент кафедры общей врачебной практики ФГАОУ ВО «Российский университет дружбы народов» (Москва, Россия)

Ковалева Ольга Владимировна, д.б.н., старший научный сотрудник лаборатории регуляции клеточных и вирусных онкогенов НИИ канцерогенеза ФГБУ «НМИЦ онкологии им. Н.Н. Блохина» Минздрав России (Москва, Россия)

**Лазаревич Наталья Леонидовна,** д.б.н., профессор, заведующая отделом иммунохимии НИИ канцерогенеза ФГБУ «НМИЦ онкологии им. Н.Н. Блохина» Минздрава России (Москва, Россия)

Мазуренко Наталья Николаевна, д.б.н., профессор, главный научный консультант лаборатории онкогеномики НИИ канцерогенеза ФГБУ «НМИЦ онкологии им. Н.Н. Блохина» Минздрава России (Москва, Россия)

Миркин Сергей Моисеевич, именной профессор биологии Университета Тафтса (Медфорд, Орегон, США)

Сергеева Наталья Сергеевна, д.б.н., профессор, руководитель лаборатории прогноза эффективности консервативного лечения Московского научноисследовательского онкологического института им. П.А. Герцена — филиала ФГБУ «НМИЦ радиологии» Минздрава России (Москва, Россия)

Степанова Евгения Владиславовна, д.м.н., директор Департамента комплексных программ и проектов Минобрнауки России (Москва, Россия)

Чевкина Елена Максимовна, д.б.н., заведующая лабораторией регуляции клеточных и вирусных онкогенов НИИ канцерогенеза ФГБУ «НМИЦ онкологии им. Н.Н. Блохина» Минздрава России (Москва, Россия)

Чердынцева Надежда Викторовна, д.б.н., профессор, член-корреспондент РАН, заместитель директора по научной работе, заведующая лабораторией молекулярной онкологии и иммунологии Научно-исследовательского института онкологии ФГБНУ «Томский национальный исследовательский медициский центр РАН» (Томск, Россия)

Щербаков Александр Михайлович, заведующий лабораторией онкопротеомики отдела экспериментальной биологии опухолей НИИ канцерогенеза ФГБУ «НМИЦ онкологии им. Н.Н. Блохина» Минздрава России (Москва, Россия)

Юришич Владимир, профессор факультета медицинских наук Университета Крагуеваца (Крагуевац, Сербия)

#### РЕДАКЦИОННЫЙ СОВЕТ

**Белицкий Геннадий Альтерович,** д.м.н., профессор, главный научный консультант лаборатории механизмов химического канцерогенеза отдела химического канцерогенеза НИИ канцерогенеза ФГБУ «НМИЦ онкологии им. Н.Н. Блохина» Минздрава России (Москва, Россия)

Гурцевич Владимир Эдуардович, д.м.н., профессор, главный научный консультант лаборатории вирусного канцерогенеза НИИ канцерогенеза ФГБУ «НМИЦ онкологии им. Н.Н. Блохина» Минздрава России (Москва, Россия)

Заридзе Давид Георгиевич, д.м.н., профессор, член-корреспондент РАН, заведующий отделом эпидемиологии и профилактики опухолей НИИ клинической онкологии им. Н.Н. Трапезникова ФГБУ «НМИЦ онкологии им. Н.Н. Блохина» Минздрава России, заслуженный деятель науки РФ (Москва, Россия) Кубасова Ирина Юрьевна, к.м.н., ученый секретарь ФГБУ «НМИЦ онкологии им. Н.Н. Блохина» Минздрава России (Москва, Россия)

**Кушлинский Николай Евгеньевич,** д.м.н., профессор, член-корреспондент РАН, заведующий лабораторией клинической биохимии НИИ клинической онкологии им. Н.Н. Трапезникова ФГБУ «НМИЦ онкологии им. Н.Н. Блохина» Минздрава России (Москва, Россия)

Лихтенштейн Анатолий Владимирович, д.б.н., главный научный консультант отдела экспериментальной биологии опухолей НИИ канцерогенеза ФГБУ «НМИЦ онкологии им. Н.Н. Блохина» Минздрава России (Москва, Россия)

**Тюляндин Сергей Алексеевич,** д.м.н., профессор, заведующий отделением клинической фармакологии и химиотерапии, заместитель директора по научной работе НИИ клинической онкологии им. Н.Н. Трапезникова ФГБУ «НМИЦ онкологии им. Н.Н. Блохина» Минздрава России (Москва, Россия)

The journal "Advances in Molecular Oncology" is put on the Higher Attestation Commission (HAC) list of leading peer-reviewed scientific periodicals recommended to publish the basic research results of candidate's and doctor's theses

The journal is included in the Scientific Electronic Library and the Russian Index of Science Citation (RISC) and has an impact factor; it is registered in the Scopus data base, CrossRef, its papers are indexed with the digital object identifier (DOI).

The journal's electronic version is available in the DOAJ.

RESEARCH INSTITUTE OF CARCINOGENESIS, N.N. BLOKHIN NATIONAL MEDICAL RESEARCH CENTER OF ONCOLOGY, MINISTRY OF HEALTH OF RUSSIA

# ADVANCES in MOLECULAR ONCOLOGY



Online version of the journal is available at: http://umo.abvpress.ru/jour

QUARTERLY PEER-REVIEWED SCIENTIFIC AND PRACTICAL JOURNAL

**The main objective of the journal "Advances in Molecular Oncology"** is publication of current information on basic, clinical and experimental research in molecular oncology.

**The publication aim to** provide insight into currently important areas of modern molecular oncology; present the most significant studies from Russian and foreign specialists in this field; create a forum for various researchers, including oncologists, molecular biologists, geneticists, biochemists, virologists, chemotherapists to share the results of their scientific research.

#### FOUNDED IN 2014



N.N. Blokhin National Medical Research Center of Oncology, Ministry of Health of Russia; PH "ABV-press"

#### Publisher

PH "ABV-Press" 24 Kashirskoe Shosse, Bld. 15, Moscow 115478

#### **Editorial Office:**

Research Institute of Carcinogenesis, Floor 3, 24 Kashirskoye Shosse, Bld. 15, Moscow 115478. Tel.: +7 (499) 929-96-19

E-mail: abv@abvpress.ru www.abvpress.ru

#### Article submission:

on-line at http://umo.abvpress.ru/jour or by e-mail to adv.mol.onc@ronc.ru

Managing editor I.N. Puchkova Proofreader T.N. Pomiluyko

Designer E.V. Stepanova Maker-up E.V. Stepanova

Subscription & Distribution Service I.V. Shurgaeva, base@abvpress.ru

The journal was registered at the Federal Service for Surveillance of Communications, Information Technologies, and Mass Media (ΠИ Νο. ΦC77-57560 dated 08 April 2014).

If materials are reprinted in whole or in part, reference must necessarily be made to the journal "Uspekhi molekulyarnoy onkologii".

The editorial board is not responsible for advertising content. The authors, point of view given in the articles may not coincide with the opinion of the editorial board.

ISSN 2313-805X (Print) ISSN 2413-3787 (Online)

Uspekhi molekulyarnoy onkologii. 2025. Vol. 12 No. 3. 1–132.

© Design, layout PH "ABV-Press", 2025

Pressa Rossii catalogue index: 93562.

Printed at the Leader Print Ltd Bld. 16, 13 Perevedenovsky lane, Moscow 105082. 1000 copies. Free distribution.

#### EDITOR-IN-CHIEF

Krasil'nikov, Mikhail A., DSc, PhD, Professor, Director of the Research Institute of Carcinogenesis, Head of Department of Experimental Biology of Tumors (Moscow, Russia)

#### DEPUTY EDITOR-IN-CHIEF

Yakubovskaya, Marianna G., MD, PhD, Head of the Department of Chemical Carcinogenesis of the Research Institute of Carcinogenesis of the N.N. Blokhin National Medical Research Center of Oncology of the Ministry of Health of Russia (Moscow, Russia)

#### EXECUTIVE EDITOR

Gudkova, Margarita V., PhD, Scientific Secretary of the Research Institute of Carcinogenesis of the N.N. Blokhin National Medical Research Center of Oncology of the Ministry of Health of Russia (Moscow, Russia)

#### EDITORIAL BOARD

**Bozhenko, Vladimir K.,** MD, PhD, Professor, Head of the Laboratory of Biochemistry of the Department of Pathomorphology and the Laboratory Diagnostics of the Russian Scientific Center of Roentgenoradiology of the Ministry of Health of Russia, Honored Doctor of the Russian Federation (Moscow, Russia)

Boychuk, Sergey V., MD, PhD, Professor, Head of the Department of General Pathology, Dean of the Faculty of Medicine and Biology, Kazan State Medical sity of the Ministry of Health of Russia (Kazan, Russia)

Gloushankova, Natalia A., DSc, PhD, Head of the Laboratory of Carcinogenesis Mechanisms of the Research Institute of Carcinogenesis of the N.N. Blokhin National Medical Research Center of Oncology of the Ministry of Health of Russia (Moscow, Russia)

Gudkov, Andrey V., DSc, PhD, Professor, Sr. Vice-President for Basic Science and Head of the Department of Cell Stress Biology of the Roswell Park Cancer Institute (Buffalo, New York, USA)

Zhivotovskiy, Boris D., DSc, PhD, Professor, Laureate of the State Award of the USSR, Head of the Department of Apoptosis Mechanisms, Faculty of Fundamental Medicine, Lomonosov Moscow State University, Professor of the Karolinska Institute (Stockholm, Sweden)

Imyanitov, Eugeny N., MD, PhD, Professor, Associate Member of RAS, N.N. Petrov National Medical Research Oncology Center of the Ministry of Health of Russia (Saint Petersburg, Russia)

Kazansky, Dmitry B., DSc, PhD, Professor, Head of the Laboratory of Immune Regulation Mechanisms of the Research Institute of Carcinogenesis of the N.N. Blokhin National Medical Research Center of Oncology of the Ministry of Health of Russia (Moscow, Russia)

Karamysheva, Aida F., DSci, PhD, Chief Scientific Consultant of the Laboratory of the Genetics of Tumor Cells of the Department of Molecular Biology of Tumors of the Research Institute of Carcinogenesis of the N.N. Blokhin National Medical Research Center of Oncology of the Ministry of Health of Russia (Moscow, Russia)

Kirsanov, Kirill I., DSc, Head of the Laboratory of Carcinogenic Compounds, Department of Chemical carcinogenesis of the Research Institute of Carcinogenesis of the N.N. Blokhin National Medical Research Center of Oncology of the Ministry of Health of Russia, Associate Professor of the Department of General Medical Practice of the Peoples' Friendship University of Russia (Moscow, Russia)

Kovaleva, Olga V., DSc, Sr. Researcher of the Laboratory of Regulation of Cellular and Viral Oncogenes of the Research Institute of Carcinogenesis of the N.N. Blokhin National Medical Research Center of Oncology of the Ministry of Health of Russia (Moscow, Russia)

Kzhyshkovska, Juliya G., DSc, PhD, Professor, Head of Department of Innate Immunity and Tolerance, Institute of Transfusion Medicine and Immunology, Medical Faculty Mannheim, Heidelberg University (Heidelberg, Germany)

Lazarevich, Natalia L., DSc, PhD, Professor, Head of the Department of the Immunochemistry of the Research Institute of Carcinogenesis of the N.N. Blokhin National Medical Research Center of Oncology of the Ministry of Health of Russia (Moscow, Russia)

Mazurenko, Natalia N., DSc, PhD, Professor, Chief Scientific Consultant of the Laboratory of Oncogenomics of the Research Institute of Carcinogenesis of the N.N. Blokhin National Medical Research Center of Oncology of the Ministry of Health of Russia (Moscow, Russia)

Mirkin, Sergey M., Professor, White Family Department of Biology, Head in Biology Tufts University (Medford, Oregon, USA)

Sergeeva, Natalia S., DSc, PhD, Professor, Head of the Prognostics of the Efficacy of Conservative Treatment Laboratory of the P.A. Herzen Moscow Oncology Research Center – branch of National Medical Research Radiology Center of the Ministry of Health of Russia (Moscow, Russia)

Shcherbakov, Alexander M., Head of the Laboratory of Oncoproteomics of the Department of Experimental Biology of Tumors of the Research Institute of Carcinogenesis of the N.N. Blokhin National Medical Research Center of Oncology of the Ministry of Health of Russia (Moscow, Russia)

Stepanova, Evgenia V., MD, PhD, Director of the Department of Complex Programs and Projects, Ministry of Science and Higher Education of Russia (Moscow, Russia)

**Tchevkina, Elena M.,** DSc, PhD, Head of the Laboratory of the Regulation of Cell and Viral Oncogenes of the Research Institute of Carcinogenesis of the N.N. Blokhin National Medical Research Center of Oncology of the Ministry of Health of Russia (Moscow, Russia)

Tcherdyntseva, Nadezhda V., DSc, PhD, Professor, Associate Member of RAS, Deputy Director for Research Work, Head of the Laboratory of Molecular Oncology and Immunology of the Cancer Research Institute, Tomsk National Research Medical Center (Tomsk, Russia)

Jurisic, Vladimir, Professor of the Faculty of Medical Sciences, University of Kragujevac (Kragujevac, Serbia)

#### EDITORIAL COUNCIL

Belitsky, Gennady A., MD, PhD, Professor, Chief Scientific Consultant of the Laboratory of Chemical Carcinogenesis Mechanisms of the Department of Chemical Carcinogenesis of the Research Institute of Carcinogenesis of the N.N. Blokhin National Medical Research Center of Oncology of the Ministry of Health of Russia (Moscow, Russia)

Gurtsevitch, Vladimir E., MD, PhD, Professor, Chief Scientific Consultant of the Laboratory of Viral Carcinogenesis of the Research Institute of Carcinogenesis of the N.N. Blokhin National Medical Research Center of Oncology of the Ministry of Health of Russia (Moscow, Russia)

Zaridze, David G., MD, PhD, Professor, Associate Member of RAS, Head of the Department of Epidemiology and Prevention of Tumors of the N.N. Trapeznikov Research Institute of Clinical Oncology of the N.N. Blokhin National Medical Research Center of Oncology of the Ministry of Health of Russia, Honored Scientist of the Russian Federation (Moscow, Russia)

Kubasova, Irina Yu., PhD, Scientific Secretary of the N.N. Blokhin National Medical Research Center of Oncology of the Ministry of Health of Russia (Moscow, Russia)

Kushlinskii, Nikolay E., MD, PhD, Professor, Associate Member of RAS, Head of the Clinical Biochemistry Laboratory, N.N. Trapeznikov Research Institute of Clinical Oncology of the N.N. Blokhin National Medical Research Center of Oncology of the Ministry of Health of Russia (Moscow, Russia)

**Lichtenstein, Anatoly V.,** DSc, PhD, Chief Scientific Consultant of the Tumor Biochemistry Group, Department of Experimental Tumor Biology of the Research Institute of Carcinogenesis of the N.N. Blokhin National Medical Research Center of Oncology of the Ministry of Health of Russia (Moscow, Russia)

**Tjulandin, Sergey A.,** MD, PhD, Professor, Head of the Department of Clinical Pharmacology and Chemotherapy, Deputy Director for Scientific Research, N.N. Trapeznikov Research Institute of Clinical Oncology of the N.N. Blokhin National Medical Research Center of Oncology of the Ministry of Health of Russia (Moscow, Russia)

#### ИНФОРМАЦИЯ ДЛЯ АВТОРОВ

При направлении статьи в редакцию журнала «Успехи молекулярной онкологии» авторам необходимо руководствоваться следующими правилами.

#### 1. Общие правила

При первичном направлении рукописи в редакцию в копии электронного письма должны быть указаны все авторы данной статьи. Обратную связь с редакцией будет поддерживать ответственный автор, обозначенный в статье (см. пункт 2).

Представление в редакцию ранее опубликованных статей не допускается.

Для рассмотрения рукописи редакции требуется письменное согласие каждого автора на обработку и распространение персональных данных в печатном и цифровом виде. Скан подписанного согласия необходимо загрузить как дополнительный файл в разделе «описание» при подаче статьи. Печатный подписанный вариант согласия необходимо отправить на адрес редакции.

#### 2. Оформление данных о статье и авторах

Первая страница должна содержать:

- название статьи,
- инициалы и фамилии всех авторов,
- ученые степени, звания, должности, место работы каждого из авторов, а также их ORCID (при наличии),
- полное название учреждения (учреждений), в котором (которых) выполнена работа.
- адрес учреждения (учреждений) с указанием индекса.

Последняя страница должна содержать сведения об авторе, ответственном за связь с редакцией:

- фамилия, имя, отчество полностью,
- занимаемая должность,
- ученая степень, ученое звание,
- персональный международный идентификатор ORCID (подробнее: http://orcid.org/),
- персональный идентификатор в РИНЦ (подробнее: http://elibrary.ru/ projects/science\_index/author\_tutorial.asp),
- контактный телефон,
- адрес электронной почты.

#### 3. Оформление текста

Статьи принимаются в форматах doc, docx, rtf.

Шрифт — Times New Roman, кегль 14, межстрочный интервал 1,5. Все страницы должны быть пронумерованы. Текст статьи начинается со второй страницы.

4. Объем статей (без учета иллюстраций и списка литературы)

**Оригинальная статья** — не более 12 страниц (бо́льший объем допускается в индивидуальном порядке, по решению редакции).

Описание клинических случаев — не более 8 страниц.

Обзор литературы — не более 20 страниц.

**Краткие сообщения и письма в редакцию** — 3 страницы.

#### 5. Резюме

Ко всем видам статей на отдельной странице должно быть приложено резюме на русском и английском (по возможности) языках. Резюме должно кратко повторять структуру статьи, независимо от ее тематики.

Объем резюме — не более 2500 знаков, включая пробелы. Резюме не должно содержать ссылки на источники литературы и иллюстративный материал.

На этой же странице помещаются ключевые слова на русском и английском (по возможности) языках в количестве от 3 до 10.

#### 6. Структура статей

Оригинальная статья должна содержать следующие разделы:

- введение,
- цель,
- материалы и методы,
- результаты,
- обсуждение,
- заключение (выводы),
- вклад всех авторов в работу,
- конфликт интересов для всех авторов (в случае его отсутствия необходимо указать: «Авторы заявляют об отсутствии конфликта интересов»),
- одобрение протокола исследования комитетом по биоэтике (с указанием номера и даты протокола),

- информированное согласие пациентов (для статей с авторскими исследованиями и описаниями клинических случаев),
- при наличии финансирования исследования указать его источник (грант и т. д.).
- благодарности (раздел не является обязательным).

#### 7. Иллюстративный материал

Иллюстративный материал должен быть представлен в виде отдельных файлов и не фигурировать в тексте статьи. Данные таблиц не должны повторять данные рисунков и текста и наоборот.

**Фотографии** представляются в форматах TIFF, JPG с разрешением не менее 300 dpi (точек на дюйм).

**Рисунки, графики, схемы, диаграммы** должны быть редактируемыми, выполнеными средствами Microsoft Office Excel или Office Word.

Все **рисунки** должны быть пронумерованы и снабжены подрисуночными подписями. Фрагменты рисунка обозначаются строчными буквами русского алфавита — «а», «б» и т. д. Все сокращения, обозначения в виде кривых, букв, цифр и т. д., использованные на рисунке, должны быть расшифрованы в подрисуночной подписи. Подписи к рисункам даются на отдельном листе после текста статьи в одном с ней файле.

**Таблицы** должны быть наглядными, иметь название и порядковый номер. Заголовки граф должны соответствовать их содержанию. Все сокращения расшифровываются в примечании к таблице.

#### 8. Единицы измерения и сокращения

Единицы измерения даются в Международной системе единиц (СИ).

Сокращения слов не допускаются, кроме общепринятых. Все аббревиатуры в тексте статьи должны быть полностью расшифрованы при первом упоминании (например, онкогематология (ОГ)).

#### 9. Список литературы

На следующей после текста странице статьи должен располагаться список цитируемой литературы.

Все источники должны быть пронумерованы, нумерация осуществляется строго по порядку цитирования в тексте статьи, не в алфавитном порядке. Все ссылки на источники литературы в тексте статьи обозначаются арабскими цифрами в квадратных скобках начиная с 1 (например, [5]). Количество цитируемых работ: в оригинальных статьях — не более 20—25, в обзорах литературы — не более 60.

Ссылки должны даваться на первоисточники, цитирование одного автора по работе другого недопустимо.

Включение в список литературы тезисов возможно исключительно при ссылке на иностранные (англоязычные) источники.

Ссылки на диссертации и авторефераты, неопубликованные работы, а также на данные, полученные из неофициальных интернет-источников, не допускаются.

Для каждого источника необходимо указать: фамилии и инициалы авторов (если авторов более 4, указываются первые 3 автора, затем ставится «и др.» в русском или "et al." в английском в тексте). Авторы цитируемых источников должны быть указаны в том же порядке, что и в первоисточнике.

При ссылке на **статьи из журналов** после авторов указывают название статьи, название журнала, год, том, номер выпуска, страницы, DOI статьи (при наличии). При ссылке на **монографии** указывают также полное название книги, место издания, название издательства, год издания, число страниц.

Статьи, не соответствующие данным требованиям, к рассмотрению не принимаются.

#### Обшие положения:

- Рассмотрение статьи на предмет публикации занимает не менее 8 недель.
- Все поступающие статьи рецензируются. Рецензия является анонимной.
- Редакция оставляет за собой право на редактирование статей, представленных к публикации.
- Редакция не предоставляет авторские экземпляры журнала. Номер журнала можно получить на общих основаниях (см. информацию на сайте).

Материалы для публикации принимаются по адресу онлайн на сайте http://umo.abvpress.ru/jour.

Полная версия требований представлена на сайте журнала.

#### ОБЗОРНЫЕ СТАТЬИ

	А.А. Федоренко, М.Р. Патышева, А.А. Федоров, М.Н. Стахеева, Н.В. Чердынцева, Т.С. Геращенко Множественные аспекты влияния противоопухолевой химиотерапии на иммунный ответ
	В. Е. Шевченко, Т.И. Кушнир, М.В. Гудкова, Н.Е. Арноцкая Клональный гемопоэз неопределенного потенциала и злокачественные новообразования
	У.А. Бокова, М.С. Третьякова, П.К. Козлова, А.А. Коробейникова, М.Е. Меняйло, Т.С. Геращенко, Е.В. Денисов Модели сарком мягких тканей <i>in vitro</i> : фундаментальные и клинические аспекты
ЭКО	СПЕРИМЕНТАЛЬНЫЕ СТАТЬИ
	Е.И. Михаевич, О.Е. Андреева, Д.В. Сорокин, А.М. Щербаков, П.Б. Копнин, М.В. Гудкова, М.А. Красильников
	Тамоксифен и регуляция стресс-индуцированного старения в клетках рака молочной железы
	А.В. Ласица, М.И. Антипина, Д.А. Назарова, К.А. Рубина, В.Ю. Сысоева, Е.В. Семина Ген рецептора урокиназы <i>PLAUR</i> как регулятор экспрессии генов эпителиально-мезенхимального перехода и миграции клеток глиом и нейробластом
	И.В. Ботезату, В.Н. Кондратова, А.М. Строганова, С.Л. Дранко, Д.Р. Насхлеташвили, А.В. Лихтенштейн Метилирование промотора гена MGMT как прогностический маркер глиобластомы
	Д.С. Кутилин, О.И. Кит, А.Ю. Максимов, Л.Х. Чалхахян, А.В. Дашков, С.А. Малинин, Г.В. Каминский, Т.П. Шкурат  Особенности регуляции транскрипционной активности генов раково-тестикулярных антигенов при раке желудка
	К.А. Кузин, Т.И. Фетисов, О.А. Власова, Р.И. Князев, Е.Е. Антошина, Л.С. Труханова, Т.Г. Горькова, Г.А. Белицкий, М.Г. Якубовская, К.И. Кирсанов Экспериментальное тестирование химиорезистентности опухолевых клеток рака яичников100
	Е.С. Лылова, В.Г. Попова, К.А. Зимин, А.Ю. Букина, В.А. Нуртдинова, С.С. Шмаков, М.Г. Якубовская, К.И. Кирсанов, В.П. Максимова Молекулярные эффекты пестицидов карбарила, хлорпирифоса, манкоцеба, тирама и пендиметалина в условно-нормальных клетках <i>in vitro</i> : генотоксичность, клоногенность и влияние на экспрессию генов, ассоциированных с канцерогенезом

#### **REVIEWS**

	A.A. Fedorenko, M.R. Patysheva, A.A. Fedorov, M.N. Stakheyeva, N.V. Cherdyntseva, T.S. Gerashchenko  Multiple aspects of the chemotherapy effect on immune response
	V. E. Shevchenko, T.I. Kushnir, M.V. Gudkova, N.E. Arnotskaya  Clonal hematopoiesis of indeterminate potential and malignant neoplasms
	U.A. Bokova, M.S. Tretyakova, P.K. Kozlova, A.A. Korobeynikova, M.E. Menyailo, T.S. Gerashchenko, E.V. Denisov
	In vitro models of soft tissue sarcomas: basic and clinical aspects
EXP	ERIMENTAL REPORTS
	E.I. Mikhaevich, O.E. Andreeva, D.V. Sorokin, A.M. Scherbakov, P.B. Kopnin, M.V. Gudkova, M.A. Krasil'nikov  Tamoxifen and regulation of stress-induced senescence in breast cancer cells
	A.V. Lasitsa, M.I. Antipina, D.A. Nazarova, K.A. Rubina, V.Yu. Sysoeva, E.V. Semina
	Urokinase receptor gene <i>PLAUR</i> as a regulator of epithelial-mesenchymal transition gene expression and migration of glioma and neuroblastoma cells
	I.V. Botezatu, V.N. Kondratova, A.M. Stroganova, S.L. Dranko, D.R. Naskhletashvili, A.V. Lichtenstein  Methylation of MGMT promoter as a prognostic marker of glioblastoma
	D.S. Kutilin, O.I. Kit, A.Yu. Maksimov, L.Kh. Chalkhakhyan, A.V. Dashkov, S.A. Malinin, G.V. Kaminsky, T.P. Shkurat
	Features of cancer-testicular antigen genes transcriptional activity regulation in gastric cancer
	K.A. Kuzin, T.I. Fetisov, O.A. Vlasova, R.I. Knyazev, E.E. Antoshina, L.S. Trukhanova, T.G. Gor'kova, G.A. Belitsky, M.G. Yakubovskaya, K.I. Kirsanov
	Experimental testing of chemoresistance of ovarian cancer tumor cells
	E.S. Lylova, V.G. Popova, K.A. Zimin, A.Yu. Bukina, V.A. Nurtdinova, S.S. Shmakov, M.G. Yakubovskaya, K.I. Kirsanov, V.P. Maksimova
	Molecular effects of the pesticides carbaryl, chlorpyrifos, mancozeb, thiram, and pendimethalin
	in conditionally normal cells <i>in vitro</i> : genotoxicity, clonogenicity and effects on the expression

**DOI:** https://doi.org/10.17650/2313-805X-2025-12-3-8-25



# Множественные аспекты влияния противоопухолевой химиотерапии на иммунный ответ

А.А. Федоренко<sup>1, 2</sup>, М.Р. Патышева<sup>1</sup>, А.А. Федоров<sup>1</sup>, М.Н. Стахеева<sup>1</sup>, Н.В. Чердынцева<sup>1, 2</sup>, Т.С. Геращенко<sup>1</sup>

<sup>1</sup>Научно-исследовательский институт онкологии ФГБНУ «Томский национальный исследовательский медицинский центр Российской академии наук»; Россия, 634009 Томск, пер. Кооперативный, 5;

<sup>2</sup>ФГАОУ ВО «Национальный исследовательский Томский государственный университет»; Россия, 634050 Томск, пр-кт Ленина, 36

Контакты: Анастасия Алексеевна Федоренко aafedorenko@onco.tnimc.ru

Химиотерапия злокачественных новообразований направлена на подавление процессов роста и пролиферации опухолевых клеток и является неотъемлемой частью лечения онкологических больных. Наряду с высокой противоопухолевой активностью, цитотоксическое действие химиопрепаратов распространяется и на иммунные клетки, приводя к панцитопении и, как следствие, к ослаблению иммунного ответа. Тем не менее действие химиотерапии на иммунную систему носит комплексный характер, поскольку одновременно с супрессивным влиянием вызывает стимуляцию противоопухолевой активности лимфоидных и миелоидных популяций.

Представленный обзор посвящен анализу и обобщению современных данных о влиянии химиотерапевтических препаратов, применяемых в стандартных схемах противоопухолевой терапии, на функционирование иммунной системы. Рассмотрены супрессорные механизмы действия химиотерапии, включая развитие цитопении. Особое внимание уделено анализу данных о модуляции противоопухолевого иммунного ответа в зависимости от группы химиотерапевтического препарата. Описаны механизмы усиления иммунного распознавания и стимуляции иммунных клеток в ответ на увеличение экспрессии опухолевых антигенов. Представлены сведения о влиянии химиотерапии на опухолевое микроокружение, включая перепрограммирование иммуносупрессорного профиля и активацию эффекторов иммунитета. Обобщенные данные указывают на разнонаправленное воздействие химиотерапии на состояние иммунной системы и ее влияние на формирование противоопухолевого иммунного ответа.

Ключевые слова: химиотерапия, рак, иммунная система, цитотоксичность, противоопухолевый иммунный ответ

**Для цитирования:** Федоренко А.А., Патышева М.Р., Федоров А.А. и др. Множественные аспекты влияния противоопухолевой химиотерапии на иммунный ответ. Успехи молекулярной онкологии 2025;12(3):8–25. DOI: https://doi.org/10.17650/2313-805X-2025-12-3-8-25

#### Multiple aspects of the chemotherapy effect on immune response

A.A. Fedorenko<sup>1,2</sup>, M.R. Patysheva<sup>1</sup>, A.A. Fedorov<sup>1</sup>, M.N. Stakheyeva<sup>1</sup>, N.V. Cherdyntseva<sup>1,2</sup>, T.S. Gerashchenko<sup>1</sup>

<sup>1</sup>Cancer Research Institute, Tomsk National Research Medical Center of the Russian Academy of Sciences; 5 Kooperativny Line, Tomsk 634009, Russia;

<sup>2</sup>National Research Tomsk State University; 36 Lenin Prospekt, Tomsk 634050, Russia

Contacts: Anastasia Alekseevna Fedorenko aafedorenko@onco.tnimc.ru

Suppression of tumor cell growth and proliferation is the main goal of chemotherapy which is an integral part of the treatment for cancer patients. In addition to high antitumor activity, the cytotoxic effects of chemotherapeutic agents also extend to immune cells, resulting in pancytopenia and weakened immune response. Nevertheless, the effect of chemotherapy on the immune system is multifaceted, as it simultaneously exerts a suppressive influence while also stimulating the antitumor activity of lymphoid and myeloid populations.

This review focuses on the analysis and generalization of modern data regarding the effects of chemotherapeutic drugs used in standard antitumor therapy regimens on the functioning of the immune system. The suppressive mechanisms of chemotherapy, including the development of cytopenia, are reviewed. Special attention is paid to the analysis of data on modulation of antitumor immune response depending on the class of chemotherapeutic agent. Mechanisms enhancing

immune recognition and stimulating immune cells in response to increased expression of tumor antigens are described. The data regarding the effects of chemotherapy on the tumor microenvironment, including the reprogramming of immunosuppressive profiles and the activation of immune effectors, is presented. The summarized data underscore the dual nature of chemotherapy's effects on the state of the immune system and its influence on the formation of antitumor immune responses.

**Keywords:** chemotherapy, cancer, immune system, cytotoxicity, antitumor immune response

**For citation:** Fedorenko A.A., Patysheva M.R., Fedorov A.A. et al. Multiple aspects of the chemotherapy effect on immune response. Uspekhi molekulyarnoy onkologii = Advances in Molecular Oncology 2025;12(3):8–25. (In Russ.). DOI: https://doi.org/10.17650/2313-805X-2025-12-3-8-25

#### **ВВЕДЕНИЕ**

Химиотерапия (ХТ) является одним из основных методов лечения злокачественных новообразований (ЗНО) [1]. Впервые она применена в 40-е годы ХХ в. для лечения лимфомы с помощью препаратов на основе азотистых ипритов, полученных из химического оружия [2, 3]. Впоследствии были открыты новые химические соединения, обладающие высокой цитотоксической и цитостатической эффективностью и усовершенствованы подходы к подбору комбинаций препаратов, что привело к широкому распространению данного вида лечения.

Основной мишенью ХТ являются быстроделящиеся опухолевые клетки, биологически предрасположенные к усиленной пролиферации [4]. В то же время действие химиотерапевтических препаратов носит лишь частично избирательный характер и затрагивает пролиферирующие в норме популяции клеток — в первую очередь предшественники лимфоидного и миелоидного ростков кроветворения, обеспечивающие локальный и системный иммунные ответы [5]. Однако, наряду с явным негативным влиянием XT на иммунные клетки, существуют механизмы активации противоопухолевого иммунного ответа после данной терапии [6-8]. Понимание сложного взаимодействия ХТ и иммунной системы имеет большое значение для оптимизации стратегий лечения рака и минимизации потенциальных побочных эффектов [9].

Цель работы — раскрыть механизмы, лежащие в основе формирования иммуносупрессии и иммуномодуляции, вызванных разными классами химиотерапевтических препаратов, рассмотреть их влияние на ЗНО.

# РОЛЬ ИММУННОЙ СИСТЕМЫ В ПАТОГЕНЕЗЕ ОНКОЛОГИЧЕСКИХ ЗАБОЛЕВАНИЙ И ЭФФЕКТИВНОСТИ ПРОТИВООПУХОЛЕВОГО ЛЕЧЕНИЯ

Известно, что иммунная система влияет на возникновение и рост ЗНО. Еще в 1957 г. Ф.М. Бернет первым выдвинул концепцию иммунного надзора, которая описывает элиминацию опухолевых клеток эффекторами адаптивного иммунитета [10, 11]. Однако позднее стало понятно, что опухоль способна избе-

гать атак иммунной системы. Так, при ЗНО наблюдается снижение иммуногенности ряда опухолевых антигенов. Кроме того, опухоль способна перепрограммировать иммунные клетки в направлении поддержки опухолевого роста.

В 2013 г. сформулирована концепция иммуноредактирования (immunoediting), описывающая основные этапы процесса взаимодействия иммунной системы с опухолью, развитие иммунной толерантности к антигенам опухолевых клеток, и определены основные механизмы ускользания опухоли из-под иммунного надзора: редукция иммунного распознавания, усиление механизмов резистентности к цитотоксическим эффекторам иммунитета и формирование иммуносупрессивного микроокружения [12]. Таким образом, стало понятно, что опухоль адаптируется к условиям среды макроорганизма и сосуществует с иммунной системой, выступающей естественным регулятором ее клональной эволюции. При этом большую роль играет положительная селекция опухолевых клеток, устойчивых к цитотоксическому действию эффекторов адаптивного иммунитета. В результате формируется активно прогрессирующее ЗНО со сниженной способностью индуцировать полноценный противоопухолевый иммунный ответ [13].

Каждый этап противоопухолевого лечения, действуя локально и системно, выступает значимым фактором, влияющим на прогрессию ЗНО. ХТ может выступать в качестве эффективного стимула, оказывая влияние и на микроокружение, и на компоненты иммунного ответа вне опухоли [14]. Благодаря цитостатическим агентам можно преобразовать иммунологически «холодную» опухоль в «горячую», с обширной воспалительной инфильтрацией, и тем самым разрушить иммунную толерантность опухоли и индуцировать подавление роста ЗНО [15]. Результаты экспериментальных и клинических исследований показали, что с помощью XT угнетающее влияние опухоли на иммунную систему можно изменить [16]. Химиотерапевтические препараты способны повреждать опухолевые клетки, что приводит к высвобождению антигенов, в том числе белков-шаперонов, молекул аденозинтрифосфата (АТФ), фрагментов РНК и клеточного матрикса [17, 18]. Это является стимулом для формирования длительного иммунного ответа за счет иммуногенной клеточной гибели — ключевого процесса, способствующего презентации антигенов опухоли наивным CD8+- и CD4+-Т-лимфоцитам [17, 19]. ХТ также способна избирательно уничтожать супрессорные клеточные популяции, которые подавляют иммунный ответ, такие как Т-регуляторные и миелоидные супрессорные клетки (МСК), опухолеассоциированные макрофаги (ОАМ) и фибробласты [17]. Помимо прямого действия, химиотерапевтические препараты могут влиять на состояние иммунной системы, вызывая обновление пула иммунных клеток из органов депо [19]. В ответ на лимфопению, наиболее часто встречающуюся при XT, происходит гомеостатическая пролиферация эффекторных Т-клеток, которые особенно важны в противоопухолевом ответе [20].

Однако, несмотря на существующие механизмы активации противоопухолевого иммунного ответа, ХТ может его ингибировать [21, 22]. Прямое воздействие цитостатических агентов на Т-лимфоциты, естественные клетки-киллеры (NK) и дендритные клетки (ДК) способно привести к нарушению их функциональной активности или апоптозу [14]. Кроме того, ХТ может изменять дифференцировку иммунных клеток и нарушать коммуникацию между ними, что приводит к несостоятельности противоопухолевого иммунного ответа [23].

Также нужно учитывать, что в настоящее время XT практически не применяется в монорежиме, что усложняет исследование ее влияния на иммунный ответ. Комбинация эффектов XT, так же как и монотерапия, способствует изменению состояния компонентов иммунной системы [24, 25].

Таким образом, изменения, вносимые XT, могут как активировать, так и угнетать противоопухолевый иммунный ответ, что, несомненно, значительно влияет на эффективность лечения.

#### ОБЗОР ХИМИОТЕРАПЕВТИЧЕСКИХ ПРЕПАРАТОВ

В настоящее время существует более 100 лекарственных средств, используемых для терапии ЗНО. Они различаются как по химической структуре, так и по механизмам действия. Как правило, химиотерапевтические препараты препятствуют пролиферации опухолевых клеток двумя путями: 1) нарушением структуры ДНК и процессов ее репарации, что приводит к остановке роста и деления клеток (цитостатическое действие); 2) повреждением оболочки, ядра и других компонентов клетки, что способствует апоптозу или некрозу (цитотоксическое действие) [26].

Характер воздействия XT на иммунные клетки определяется выбранным препаратом, дозой и схемой его введения. Большинство противоопухолевых агентов повышают иммуногенность опухоли при ее разру-

шении, однако введение высоких доз препаратов может привести к тотальной иммуносупрессии, повторному росту сосудистой сети опухоли и развитию резистентности [27]. В соответствии с рекомендациями Российского общества клинической онкологии (RUSSCO) режимы лечения химиотерапевтическими препаратами подбираются в зависимости от интенсивности дозы, вводимой в единицу времени [28]. Выделяют следующие режимы XT, выбор которых зависит как от стадии злокачественного процесса, так и от состояния пациента:

- низкодозная (низкоинтенсивная) ХТ;
- стандартная XT (проводится в соответствии с рекомендациями производителей лекарственных средств);
- высокодозная (высокоинтенсивная) ХТ;
- сверхвысокодозная (сверхвысокой интенсивности) XT, включающая модификации существующих высокодозных режимов;
- метрономная XT, предполагающая введение препаратов в значительно меньших максимально переносимых дозах с малыми временными интервалами;
- дозоинтенсивная XT, представляющая собой режим с уплотненным введением химиопрепаратов, т. е. с меньшим временным интервалом (2 нед вместо 3 нед), и требующая профилактического использования гранулоцитарного колониестимулирующего фактора роста (GM-CSF).

Для расчета дозы препаратов используют формулы Мостеллера, Дюбуа и Дюбуа в модификации, учитывающие площадь поверхности тела. Продолжительность лечения изменяется в разных циклах ХТ, представляющих собой время от 1-го введения препарата до планируемого следующего. Чаще всего период между курсами введения лекарственных средств составляет 2-3 нед, средняя продолжительность лечения – 4-6 циклов. Помимо различий в дозировках и режимах введения препаратов, есть различия и в подходах к противоопухолевой терапии. Выделяют неоадъювантную (предоперационную) ХТ, которая назначается до проведения радикальной операции с целью уменьшения объема опухоли, и адъювантную (послеоперационную, профилактическую) ХТ, которая проводится после радикальной операции с целью профилактики развития рецидива [29].

Далее будут рассмотрены особенности действия XT в неоадьювантном режиме для исключения других факторов воздействия на иммунную систему, таких как хирургическое вмешательство или лучевая терапия. В табл. 1 представлены основные классы химических соединений, которые используются в различных схемах и комбинациях для лечения наиболее распространенных видов солидных опухолей.

Таблица 1. Схемы неоадъювантного лечения, используемые при разных элокачественных новообразованиях

Table 1. Neoadjuvant treatment regimens used for different different cancer types

<b>Локализация</b> Location	Класс химиопрепаратов Class of chemotherapeutic drugs		<b>Источник</b> References
Рак легкого	Алкилирующие агенты + растительные алкалоиды; алкилирующие агенты + антиметаболиты	Цисплатин + винорелбин; цисплатин + доцетаксел; цисплатин + гемцитабин; карбоплатин + паклитаксел; цисплатин + пеметрексед Cisplatin + vinorelbine; cisplatin + docetaxel; cisplatin + gemcitabine; carboplatin + paclitaxel; cisplatin + carboplatin + pemetrexed	[30]
Lung cancer	Alkylating agents + plant alkaloids; alkylating agents + antimetabolites	Цисплатин + этопозид; карбоплатин + этопозид; цисплатин/карбоплатин + иринотекан Cisplatin + etoposide; carboplatin + etoposide; cisplatin/carboplatin + irinotecan	[31]
<b>Меланома</b> Меlanoma	<b>Алкилирующие агенты</b> Alkylating agents	Дакарбазин; темозоломид; ломустин; паклитаксел + карбоплатин; темозоломид + цисплатин Dacarbazine; temozolomide; lomustine; paclitaxel + carboplatin; temozolomide + cisplatin	[32]
<b>Рак молочной железы</b> Breast cancer	Aнтрациклины $+$ растительные алкалои- ды Anthracyclines $+$ plant alkaloids	Доксорубицин + циклофосфамид; доцетаксел; паклитаксел; паклитаксел + карбоплатин  Doxorubicin + cyclophosphamide; docetaxel; paclitaxel; paclitaxel + carboplatin	[33]
<b>Рак шейки матки</b> Cervical cancer	Aukujupyiouune arehtisi + ahtumetagojutisi; pactutejishise ajikajioudisi + ajikujupyiouune arehtisi; pactutejishise ajikajioudisi + uhtugutopisi tononaomepas; ahtumetagojutisi; pactutejishise ajikajioudisi Alkylating agents + antimetabolites; plant alkaloids + alkylating agents; plant alkaloids + topoisomerase inhibitors; antimetabolites; plant alkaloids	Цисплатин; паклитаксел + цисплатин/карбоплатин, паклитаксел; цисплатин + гемцитабин; паклитаксел + топотекан; карбоплатин; этопозид + цисплатин Cisplatin; paclitaxel + cisplatin/carboplatin, paclitaxel; cisplatin + gemcitabine; paclitaxel + topotecan; carboplatin; etoposide + cisplatin	[34]
Рак яичников, первичный рак брюшины, рак маточ- ных труб Ovarian cancer, primary peritoneal cancer, fallopian tube cancer	Растительные алкалоиды + алкилирую- щие агенты Plant alkaloids + alkylating agents	Паклитаксел + карбоплатин/цисплатин; доцетаксел + цисплатин; паклитаксел + карбоплатин Paclitaxel + carboplatin cisplatin; docetaxel + cisplatin; paclitaxel + carboplatin	[35]
<b>Опухоли головы и шеи</b> Head and neck tumors	<b>Алкилирующие агенты + антиметаболиты</b> Alkylating agents + antimetabolites	Доцетаксел + цисплатин + 5-фторурацил; цисплатин/карбоплатин/доцетаксел Docetaxel + cisplatin + 5-fluorouracil; cisplatin/carboplatin/docetaxel	[36]
Опухоли центральной нервной системы Central nervous system tumors	<b>Алкилирующие агенты</b> Alkylating agents	<b>Темозоломид; темозоломид + карбоплатин; ломустин; кармустин</b> Temozolomide; temozolomide + carboplatin; lomustine; carmustine	[37]
<b>Рак пищевода</b> Esophageal cancer	Алкилирующие агенты + растительные алкалоиды; алкилирующие агенты + антиметаболиты Alkylating agents + plant alkaloids, alkylating agents + antimetabolites	Доцетаксел + цисплатин + 5-фторурацил; фторпиримидины + оксалиплатин; оксалиплатин + капецитабин; доцетаксел + оксалиплатин + лейковорин + 5-фторурацил; цисплатин + Капецитабин; доцетаксел + цисплатин + капецитабин; доцетаксел + цисплатин + капецитабин и доцетаксел + цисплатин + капецитабин и досетаке + cisplatin + 5-fluorouracil fluoropyrimidine + oxaliplatin; oxaliplatin + capecitabine; docetaxel + oxaliplatin + leucovorin + 5-fluorouracil; cisplatin + fluorouracil; cisplatin + capecitabine; docetaxel + cisplatin + capecitabine;	[38]

УСПЕХИ МОЛЕКУЛЯРНОЙ ОНКОЛОГИИ / ADVANCES IN MOLECULAR ONCOLOGY 3 '2025

Окончание табл. I End of table 1

Источник References	[39]	[40]	[41]	[42]	[43]	[44]
Препарат/схема Drug/regimen	Оксалиплатин + кальция фолинат + 5-фторурацил; оксалиплатин + капецита- бин; доцетаксел + оксалиплатин + лейковорин + 5-фторурацил; оксалипла- тин + иринотекан + 5-фторурацил; цисплатин + 5-фторурацил Охаliplatin + calcium folinate + 5-fluorouracil; oxaliplatin + capecitabine; docetaxel + oxaliplatin + leucovorin + 5-fluorouracil; oxaliplatin + irinotecan + 5-fluorouracil; cisplatin +	Оксалиплатин + иринотекан + кальция фолинат + 5-фгорурацил Oxaliplatin + irinotecan + calcium folinate + 5-fluorouracil	Иринотекан + капецитабин; оксалиплатин + капецитабин; иринотекан + 5-фторурацил; фторпиримидины + оксалиплатин Irinotecan + capecitabine; oxaliplatin + capecitabine; irinotecan + 5-fluorouracil; fluoropyrimidine + oxaliplatin	Этопозид + цисплатин; блеомицин + этопозид + цисплатин; цисплатин + этопозид + цисплатин + цисплатин + цисплатин + цорохіde + cisplatin; bleomycin + etoposide + cisplatin + etoposide + ifosfamide; paclitaxel + ifosfamide + cisplatin	Meтотрексат + винбластин + доксорубицин + цисплатин; цисплатин + гемцитабин; метотрексат + винбластин + цисплатин + кальция фолинат Methotrexate + vinblastine + doxorubicin + cisplatin; cisplatin + gemcitabine; methotrexate + vinblastine + cisplatin + calcium folinate	Доксорубицин + ифосфамид; метотрексат + винорелбин; метотрексат + винбластин; иринотекан; винкристин + доксорубицин + циклофосфамид; темозоломид + иринотекан; винкристин + темозоломид + иринотекан; винкристин + иринотекан  Doxorubicin + ifosfamide; methotrexate + vinorelbine; methotrexate + vinblastine; irinotecan; vincristine + doxorubicin + cyclophosphamide; temozolomide + irinotecan; vincristine + temozolomide + irinotecan
K. Jacc xumuonpenaparos Class of chemotherapeutic drugs	Алкилирующие агенты + антиметаболиты Alkylating agents + antimetabolites	<b>Алкилирующие агенты + ингибиторы топоизомераз + антиметаболиты</b> Alkylating agents + topoisomerase inhibitors + antimetabolites	Ингибиторы топоизомераз + алкилиру- ющие агенты; алкилирующие агенты + антиметаболиты Тороізотегаяе inhibitors + alkylating agents; alkylating agents + antimetabolites	Ингибиторы топоизомеразы + алкили- рующие агенты; антрациклины + ингибиторы топоизомеразы + алкилиру- ющие агенты Тороіsomerase inhibitors + alkylating agents; anthracyclines + topoisomerase inhibitors + alkylating agents	AHTUMETAĞOJUMTSI + PACTUTEJISHISIG AJKAJOUJABI + AHTPAILUKJUHBI + AJKUJUDYPOLIURE ATCHTISI + AHTWACTAĞOJUTBI; AHTUMETAĞOJUTBI + AJKUJUDYPOLIURE ATKAJOUJABI + AJKUJUDYPOLIURE ATKAJOUJABI + AJKUJUDYPOLIURE ATKAJOUJABI + AJKUJUDYPOLIURE ATKAJOUJABI + AJKUJUDYBOLIURE + PARA AJKAJOUGA +	AHTPAUUKJUHISI + AJKUJINPYOULUUE ATEHTISI; AHTUMETAĞOJIUTISI + PACTUTEJISHISE AJKAJOUJISI; PACTUTEJISHISE AJKAJOUJISI + MHTUĞUTOPIS TOHOU3OMEPA3 Anthracyclines + alkylating agents; antimetabolites + plant alkaloids; plant alkaloids + topoisomerase inhibitors
Локализация Location	Рак желудка Stomach cancer	<b>Рак поджелудочной железы</b> Pancreatic cancer	Рак ободочной кишки, ректосигмоидного соединения и прямой кишки Colon cancer, rectosigmoid junction cancer, and rectal cancer	<b>Герминогенные опухоли</b> Germ cell tumors	<b>Рак мочевого пузыря</b> Bladder cancer	Саркомы мягких тканей Soft tissue sarcomas

#### МОЛЕКУЛЯРНЫЕ МЕХАНИЗМЫ ВЛИЯНИЯ ХИМИОТЕРАПЕВТИЧЕСКИХ ПРЕПАРАТОВ НА ИММУННУЮ СИСТЕМУ

Современные противоопухолевые препараты подразделяют на несколько групп в зависимости от механизма их действия:

- алкилирующие агенты оксазафосфорины (циклофосфамид и ифосфамид), азотистые иприты (бусульфан, хлорамбуцил и мелфалан), гидразин (темозоломид), агенты на основе платины (цисплатин, карбоплатин и оксалиплатин);
- антиметаболиты антагонисты пиримидина (цитарабин, 5-фторурацил, гемцитабин и капецитабин), антагонисты пурина (флударабин), аналоги пурина (6-меркаптопурин, азатиоприн и кладрибин), антифолаты (метотрексат, пеметрексед и пралатрексат), ингибиторы рибонуклеотидредуктазы (гидроксимочевина) и антагонист глутамина (6-диазо-5-оксо-L-норлейкин (ДОН));
- антрациклины гликозидные препараты (доксорубицин, дауномицин, эпирубицин, идарубицин, валрубицин, амрубицин, пирарубицин, акларубицин, никорубин, сабарубицин, актиномицин D, блеомицин);

- ингибиторы топоизомераз I (иринотекан и топотекан) и II (этопозид и тенипозид);
- растительные алкалоиды ингибиторы митотического веретена, такие как таксаны (доцетаксел и паклитаксел) и алкалоиды барвинка (винкристин и винбластин) [45—47].

Все перечисленные препараты способны уничтожать опухолевые клетки и стимулировать формирование противоопухолевого иммунного ответа [48, 49]. Однако механизмы, благодаря которым иммунная система вовлекается в борьбу с опухолью, у разных классов химических соединений различны. Иммуносупрессорное и иммуномодулирующее действие основных групп противоопухолевых препаратов представлено в табл. 2.

Алкилирующие агенты. Алкилирующие агенты являются одной из первых открытых и широко используемых в настоящее время групп химиотерапевтических препаратов. Основной механизм их действия связан с образованием ковалентных связей между алкильными и нуклеофильными группами в молекуле ДНК, которые приводят к формированию поперечных сшивок оснований и разрывам цепей ДНК, останавливают репликацию ДНК и вызывают гибель

Таблица 2. Влияние групп химиотерапевтических препаратов на компоненты иммунной системы

**Table 2.** The impact of groups of chemotherapeutic drugs on components of the immune system

Класс химиопре- паратов Class of chemotherapeutic drugs  Препарат Drug		<b>Mexaнизм действия</b> Mechanism of action	Иммуно- супрессия Immunosuppression	Иммуномодуляция Immunomodulation
Алкилирующие агенты Alkylating agents	Циклофосфамид, мелфалан, цисплатин, карбоплатин Сусlophosphamide, melphalan, cisplatin, carboplatin	Создание межцепочечных и внутрицепочечных поперечных связей; перенос алкильных групп на остатки гуанина в ДНК, что приводит к образованию ошибочных пар в основаниях ДНК и предотвращает разделение нитей во время синтеза ДНК  Formation of inter- and intra-chain cross-links; transfer of alkyl groups to guanine residues in DNA, leading to erroneous base pairing and prevention of strand separation during DNA synthesis	Нейтро-, лимфоцито- пения Neutropenia, lymphopenia	↑ ЦТЛ; ↓ Т-рег; ↑ МСК; ↑ ДК; перепрограммирование М2-макрофагов в М1-макрофаги ↑ СТL; ↓ Treg; ↑ MDSC; ↑ DC; reprogramming of M2 macrophages into M1 macrophages
Антиметаболиты Antimetabolites	5-фторурацил, капецитабин, гемцитабин метотрексат, 6-диазо-5-оксо- L-норлейкин 5-fluorouracil, capecitabine, gemcitabine, methotrexate, 6-diazo-5-oxo- L-norleukin	Нарушение основных путей биосинтеза нуклеиновых кислот; нарушение синтеза ДНК/РНК; образование разрывов цепей ДНК посредством ингибирования дигидрофолатредуктазы, рибонуклеотидредуктазы и ДНК-полимеразы; включение ложных структурных аналогов пиримидина/пурина в ДНК  Disruption of nucleic acid biosynthesis pathways; inhibition of DNA/RNA synthesis; chain breaks in DNA via inhibition of dihydrofolate reductase, ribonucleotide reductase, and DNA polymerase; incorporation of false pyrimidine/purine analogs into DNA	Лимфоцито- пения Lymphopenia	↑ Т-клетки (ЦТЛ, Тh17); ↓ T-рег; ↓ МСК; перепрограммирование М2-макрофагов в М1-макрофаги ↑ T-cells (СТL, Th17); ↓ Treg; ↓ MDSC; reprogramming of M2 macrophages into M1 macrophages

ന

Окончание табл. 2 End of table 2

Класс химиопре- паратов Class of chemotherapeutic drugs	<b>Препарат</b> Drug	<b>Механизм действия</b> Mechanism of action	Иммуно- супрессия Immunosuppression	Иммуномодуляция Immunomodulation
Антрациклины Anthracyclines	Доксорубицин, даунорубицин Doxorubicin, daunorubicin	Нарушение репликации ДНК; ингибирование активности топоизомеразы; инициация окислительного стресса Disruption of DNA replication; — inhibition of topoisomerase activity; initiation of oxidative stress	<b>Лейкопения</b> Leukopenia	↑ ЦТЛ; ↓ T-per, Th2; ↓ MCK; ↑ ДК ↑ CTL; ↓ Treg, Th2; ↓ MDSC; ↑ DC
Ингибиторы топоизомераз I и II Topoisomerase I and II inhibitors	Иринотекан, топотекан Irinotecan, topotecan	Ингибирование активности топоизомеразы, участвующей в репликации ДНК; разрыв цепи ДНК Inhibition of topoisomerase activity involved in DNA replication; DNA chain breakage	Лимфоцитопе- ния Lymphopenia	↑ДК; ↑ЦТЛ ↑DC; ↑CTL
Растительные алкалоиды Plant alkaloids	Доцетаксел, паклитаксел, винбластин, таксол, эпотилон В, трабектидин Docetaxel, paclitaxel, vinblastine, taxol, epothilone B, trabectedin	Изменение функции и формирования микротрубочек веретена; ингибирование ядерного деления (остановка митоза в метафазе)  Alteration of microtubule function and spindle formation; inhibition of nuclear division (arrest of mitosis in metaphase)	Нейтропения, лейкопения Neutropenia, leukopenia	↑ ЦТЛ; ↓ T-рег; ↑ ДК; перепрограммирование M2-макрофагов в M1-макрофаги ↑ СТL; ↓ Treg; ↑ DC; reprogramming of M2 macrophages into M1 macrophages

**Примечание.**  $\uparrow$  — повышение уровня клеточной популяции;  $\downarrow$  — снижение уровня клеточной популяции;  $\mathcal{J}K$  — дендритные клетки; M1 — противоопухолевые макрофаги; M2 — проопухолевые макрофаги; MCK — миелоидные супрессорные клетки; Т-рег — регуляторные Т-клетки; ЦТЛ – цитотоксические Т-лимфоциты.

Note.  $\uparrow$  – increase in the level of the cell population;  $\downarrow$  – decrease in the level of the cell population; DC – dendritic cells; M1 – anti-tumor macrophages; M2 - pro-tumor macrophages; MDSC - myeloid-derived suppressor cells; Treg - regulatory T cells; CTL - cytotoxic T-lymphocytes.

клетки [50, 51]. Алкилирующие препараты применяют для лечения лимфом, миелом, глиобластом, рака яичников, молочной железы и легкого [52]. Примерами алкилирующих агентов являются циклофосфамид, мелфалан, цисплатин, карбоплатин и др. [53, 54].

В отношении иммунной системы алкилирующие агенты вызывают следующие эффекты:

• иммуносупрессивный – уничтожают гемопоэти-ческие стволовые клетки, что может привести к долгосрочным изменениям в иммунной системе и ослаблению иммунного ответа [55, 56]. Помимо клеток-предшественников от действия алкилирующих агентов могут пострадать и зрелые делящиеся иммунные клетки, в частности Т- и В-лимфоциты. Во многих работах показано, что введение алкилирующих агентов в высокодозовом режиме может вызывать длительные нейтропению и лимфоцитопению, требующие продолжительного восстановления [57—59]. Продемонстрировано, что циклофосфа-

- мид и мелфалан способствуют апоптозу лимфоцитов [60]:
- иммуномодулирующий способны модулировать как врожденные, так и адаптивные противоопухолевые иммунные реакции. Так, некоторые препараты восстанавливают адаптивный иммунный ответ за счет снижения количества иммуносупрессивных клеток. Циклофосфамид даже в метрономном режиме способен избирательно уничтожать иммуносупрессивные регуляторные Т-клетки (Т-рег), поскольку они активно пролиферируют в ответ на толерогенные стимулы. Кроме того, Т-рег менее устойчивы к действующему агенту в связи с отсутствием экспрессии АВС-транспортера АВСВ1, защищающего клетки от токсинов [61, 62]. Помимо Т-рег, циклофосфамид способен снижать и количество МСК [63].

Алкилирующие агенты могут усилить иммунное распознавание опухоли, благодаря восстановлению баланса между мигрирующими и резидентными популяциями ДК в пользу ДК 1-го типа, которые активно поглощают антигены в дренирующих лимфатических узлах и представляют их цитотоксическим Т-лимфоцитам (ЦТЛ) в отличие от субпопуляции ДК 2-го типа [64, 65]. Кроме того, высокие дозы циклофосфамида способны повысить уровень экспрессии генов *TLR*, *MyD88* и *MAPK*, участвующих в регуляции поляризации Th-клеток в Th1, Th2 и T-рег, но не в Th17 [65].

Циклофосфамид и платиносодержащие препараты в экспериментальных моделях и у пациентов способны вызвать перепрограммирование ОАМ с фенотипа поддерживающих опухоль М2-подобных макрофагов на фенотип противоопухолевых М1-подобных макрофагов [66, 67]. Результаты исследования О. Неаth и соавт. показали, что после 3 курсов карбоплатина происходит снижение проопухолевых ОАМ с фенотипом СD163<sup>+</sup> [68]. Кроме того, алкилирующие агенты могут индуцировать выработку множества медиаторов воспаления GM-CSF, интерлейкинов (IL) 1β, IL-5, IL-10, интерферона γ (INF-γ) и фактора некроза опухоли α (TNF-α), способствующих активации иммунного ответа [69].

Таким образом, помимо развития цитопении, алкилирующие агенты обладают рядом иммуномодулирующих свойств, способствующих активации как врожденного, так и адаптивного иммунных ответов, характеризующихся изменением спектра секретируемых цитокинов и усилением презентации опухолевых антигенов.

Антиметаболиты. Антиметаболиты представляют собой группу лекарственных препаратов, сходных по химической структуре с эндогенными продуктами метаболизма. Они способны конкурентно ингибировать определенные биохимические процессы на синтетической стадии клеточного цикла, что приводит к остановке клеточного деления. В большинстве случаев антиметаболиты нарушают синтез ДНК, ингибируют синтез необходимых для этого ферментов, разрушают РНК и фрагментируют ДНК, что приводит к активации апоптоза [70]. Антиметаболиты эффективны при раке кишечника, яичников и молочной железы [71]. Представители группы: 5-фторурацил (5-ФУ) и его пролекарственная форма капецитабин, гемцитабин, метотрексат, ДОН и др. [54].

На иммунную систему антиметаболиты оказывают следующие эффекты:

• иммуносупрессивный — метотрексат, 5-ФУ и гемцитабин, подавляют быстроразмножающиеся клетки, включая активированные Т- и В-лимфоциты [72]. Во многих работах описано истощение В-лимфоцитов в ответ на действие антиметаболитов [73]. На мышиных моделях мезотелиомы продемонстрировано уменьшение их количества и подавление антигенспецифических реакций IgG [74]. Для популяции Т-лимфоцитов также описано снижение жизнеспособности и пролиферации в ответ на низкие дозы метотрексата, который индуци-

- рует апоптоз и генерацию активных форм кислорода ( $A\Phi K$ ) [75];
- иммуномодулирующий антиметаболиты могут усиливать противоопухолевый иммунный ответ за счет избирательного воздействия на Т-рег и МСК. Так, гемцитабин селективно истощает Т-рег и МСК, что приводит к увеличению доли эффекторных Т-клеток относительно Т-рег [76, 77]. Метотрексат также снижает количество иммуносупрессивных клеток в опухолевом микроокружении, что способствует увеличению степени инфильтрации CD4+-T-клетками, в частности количества их эффекторных субпопуляций и клеток памяти [78]. Антиметаболиты глутамина, такие как ДОН, способствуют увеличению количества ЦТЛ в строме опухоли и повышению в них экспрессии генов, вовлеченных в процессы пролиферации, цитотоксичности и долговременной иммунологической памяти [79, 80].

Помимо увеличения количества эффекторных популяций Т-лимфоцитов, антиметаболиты способствуют усилению презентации антигенов путем стимуляции созревания ДК, высокоэкспрессирующих HLA-DR, CD80 и CD86 [81]. Кроме того, 5-ФУ повышает экспрессию Fas в опухолевых клетках, делая их более чувствительными к лизису цитотоксическими Т-лимфоцитами [82].

Антиметаболиты способны модулировать секрецию цитокинов в опухолевом микроокружении: увеличивать секрецию IL-6, IL-8, индуцирующих хемотаксис B-клеток, макрофагов и нейтрофилов, а также снижать экспрессию трансформирующего фактора роста  $\beta$  (TGF- $\beta$ ) в опухолевой строме [83]. Кроме того, воздействие 5-ФУ способствует повышению экспрессии белка — маркера провоспалительных M1-подобных макрофагов HLA-DR и секреции проапоптотических цитокинов TRAIL и TNF- $\alpha$ , но не маркера противовоспалительных M2-подобных макрофагов CD163. Также 5-ФУ усиливает фагоцитарную активность макрофагов [84].

Таким образом, антиметаболиты могут оказывать лимфо- и миелосупрессорное действие в отношении делящихся клеток и усиливать противоопухолевый иммунный ответ за счет снижения уровня Т-рег и МСК, усиления презентации опухолевых антигенов Т-клеткам и привлечения эффекторных клеток в строму опухоли.

Антрациклины. Антрациклины представляют собой группу агентов, повреждающих ДНК, широкого спектра действия. Эти препараты нарушают пролиферацию опухолевых клеток и индуцируют апоптоз за счет ряда механизмов, включающих образование свободных радикалов, связывание с липидами клеточных мембран, нарушение работы топоизомеразы ІІ, участвующей в репликации ДНК, и др. [85, 86]. Антрациклины являются одними из самых эффективных химиотерапевтических средств и применяются при многих ЗНО: лейкозах, лимфомах, раке молочной железы, мочевого

пузыря, яичников, нейробластомах и др. [71]. Представителями антрациклинов являются доксорубицин (адриамицин), даунорубицин и др. [53].

В отношении иммунной системы наблюдаются следующие эффекты антрациклинов:

- иммуносупрессивный могут подавлять активность иммунной системы за счет цитотоксичности по отношению к быстроделящимся клеткам, включая клетки костного мозга и эффекторные Т- и В-лимфоциты, особенно при высокодозных режимах введения препаратов [87]. Помимо лимфоидных клеток, от действия антрациклинов могут страдать и миелоидные клетки (моноциты и макрофаги), которые также подвергаются апоптозу через активацию сигнальных путей TLR-2/TLR-9-MyD88 [88];
- иммуномодулирующий могут усиливать противоопухолевый иммунный ответ за счет индукции иммуногенной гибели опухолевых клеток [89, 90]. Так, доксорубицин повреждает опухолевые клетки и приводит к выходу сигналов тревоги (damage-associated molecular patterns, DAMPs) – АТФ, кальретикулина и высокомобильной группы белков 1 (НМGВ1) [81, 90, 91]. Кроме того, результаты доклинических исследований in vitro продемонстрировали, что доксорубицин повышает экспрессию карциноэмбрионального антигена и молекул главного комплекса гистосовместимости (МНС) на клетках рака молочной железы, что приводит к увеличению цитотоксичности NK-клеток и антигенпрезентирующей функции ДК [92, 93]. Применение доксорубицина способствует повышению экспрессии костимулирующих лигандов CD40 и 4-1BB на CD4+-Th1-клетках в лимфатических узлах, усилению их пролиферации и стимуляции антиген-специфического иммунного ответа [94]. Лечение доксорубицином усиливает антиген-специфическую пролиферацию ЦТЛ в лимфатических узлах, дренирующих опухоль [95].

Известно, что при лечении антрациклинами наблюдается митохондриальная продукция АФК в опухолевых клетках посредством их прямого вмешательства в дыхательную цепь. Увеличение производимых АФК приводит к повреждению митохондрий и последующему апоптозу клетки [96]. Выход АФК из разрушенных опухолевых клеток активирует рецептор Р2Х7 на фагоцитах, что вызывает секрецию активного IL-1β посредством индукции инфламмасом — белковых внутриклеточных комплексов, распознающих молекулы повреждения DAMPs, в частности инфламмасомы NLRP3, опосредующей активацию врожденного и адаптивного иммунитета [89]. Указанный каскад реакций приводит к стимуляции высвобождения IL-17 из γδ-Т-клеток, что способствует увеличению инфильтрации продуцирующих IFN-ү ЦТЛ [16, 97]. Так, у больных раком молочной железы наблюдается увеличение количества ЦТЛ и NK-клеток в строме опухоли в ответ на лечение доксорубицином [98].

Антрациклины также могут модифицировать иммунный ответ организма за счет изменения спектра секретируемых цитокинов в строме опухоли. Так, доксорубицин способен активировать сигнальный путь Р38-МАРК, который регулирует синтез воспалительных цитокинов, таких как IL-1β, IL-6 и TNF-α [99]. В дополнение к этому доксорубицин и даунорубицин запускают системное воспаление за счет увеличения секреции других факторов, таких как G-CSF, CXCL1, CXCL10 и CCL2, которые стимулируют противоопухолевый иммунный ответ путем активации инфламмасомы NLRP3 [100]. Помимо влияния на опухолевое микроокружение, доксорубицин способен повреждать микрофлору кишечника путем ингибирования топоизомеразы II и выхода липополисахарида из бактериальных клеток этой микрофлоры, который опосредует воспалительную реакцию. Липополисахарид является основным лигандом TLR4 и после прикрепления к своему рецептору вызывает систематическое воспаление посредством активации сигнального пути TNF-α, а также выработки AΦK и различных воспалительных цитокинов [101].

Таким образом, антрациклины оказывают множественные эффекты на иммунную систему, в большинстве своем приводящие к усилению противоопухолевого иммунного ответа. Препараты данной группы способны влиять на опухолевое микроокружение, превращая его в иммуногенное за счет привлечения ЦТЛ, ДК и снижения количества иммуносупрессивных клеток. Кроме того, антрациклины индуцируют выработку ключевых воспалительных цитокинов IL-1β, IL-6, TNF-α, G-CSF и CCL2, привлекающих иммунные клетки.

Ингибиторы топоизомераз I и II. Ингибиторы топоизомераз избирательно нарушают структуру ДНК и деление опухолевых клеток в синтетической фазе клеточного цикла. Фермент топоизомераза играет большую роль в репликации ДНК, транскрипции и сборке суперспиралей хроматина [102]. Ингибирование топоизомераз I и II может вызывать одно- и двуцепочечные разрывы ДНК. Ингибиторы топоизомераз эффективны при раке желудка и кишечника, яичников, легкого и лейкозах [103]. К ним относятся топотекан, иринотекан и др. [104].

Ингибиторы топоизомераз I и II оказывают следующее влияние на иммунную систему:

- иммуносупрессивное способны угнетать пролиферацию эффекторных Т-лимфоцитов, повреждая концевые участки ДНК и индуцируя апоптоз [105]. Кроме того, отмечается снижение реакции врожденного иммунитета, а именно подавление фагоцитарной и секреторной активности макрофагов за счет регуляции активности РНК-полимеразы II в генах, индуцированных молекулами повреждения DAMPs [106];
- иммуномодулирующее способствуют выходу неоантигенов, привлечению ДК и активации презентации опухолевых антигенов Т-лимфоцитам, что стимулирует специфический противоопухолевый иммунный ответ [107].

Согласно результатам исследований, иринотекан и топотекан могут улучшить распознавание Т-клетками опухоли за счет увеличения продукции неоантигенов и повышения экспрессии МНС класса I (МНС-I) [107, 108]. На модели опухолевых клеток меланомы показано, что ингибиторы топоизомеразы I способствуют повышению экспрессии белка TP53INP1, что приводит к усилению цитотоксической функции Т-лимфоцитов, распознающих белок p53 на поверхности трансформированных клеток [109].

На мышиной модели рака легкого (TC-1) продемонстрировано, что топотекан способствует созреванию ДК из моноцитов опухолевого микроокружения через рецептор CSF1R. Такие ДК характеризуются белковой экспрессией маркеров Ly6C+MHC-II+CD11chiCD64hi и активно участвуют в презентации антигенов Т-лимфоцитам [110]. Помимо активации эффекторов иммунитета, ингибитор топоизомеразы I иринотекан уменьшает количество Т-рег в лимфатических узлах и опухолевом микроокружении, а также повышает уровень экспрессии МНС-I на опухолевых клетках [111].

Таким образом, ингибиторы топоизомераз способствуют активации антиген-специфического противоопухолевого имммунного ответа за счет процессинга неоантигенов, увеличения количества и активности ДК и привлечения ЦТЛ в опухолевое микроокружение.

Растительные алкалоиды. Растительные алкалоиды, также называемые ингибиторами митоза, прерывают М-фазу клеточного цикла, воздействуя на микротрубочки веретена деления и некоторых белков-ферментов [112, 113]. Кроме того, они способны ингибировать топоизомеразу ДНК. Растительные алкалоиды начали широко применяться в противоопухолевом лечении с 90-х годов ХХ в. [114]. Сейчас их активно используют для лечения рака молочной железы и легкого, а также миеломы, лимфомы и лейкемии [71]. К препаратам этого класса относят таксаны, такие как паклитаксел и доцетаксел, алкалоиды барвинка, такие как винбластин, и соединения различной природы — таксол, эпотилон В, трабектидин [71].

В отношении иммунной системы наблюдаются следующие эффекты растительных алкалоидов:

- иммуносупрессивный в большинстве случаев растительные алкалоиды, особенно таксаны, приводят к снижению количества делящихся иммунных клеток. Так, доцетаксел, используемый в монорежиме или в комбинации с другими препаратами, очень часто вызывает тяжелую нейтропению (анемию и лейкопению), реже тромбоцитопению [115, 116];
- иммуномодулирующий обладают рядом иммуномодулирующих эффектов, способствующих формированию активного противоопухолевого ответа [117]. Так, паклитаксел запускает мощный провоспалительный ответ, опосредованный активацией фермента цикло-ГМФ-АМФ-синтазы стимулятора генов интерферона (STING), что приводит к активации сигнальных каскадов, связанных

с действием интерферона [118]. Растительные алкалоиды способствуют улучшению созревания и функциональной активности ДК [119]. Результаты исследования L.W. Pfannenstiel и соавт. показали, что низкие дозы паклитаксела в модели *in vivo* усиливают созревание ДК из предшественников путем активации TLR-4, что в конечном счете способствует эффективному праймингу ЦТЛ [120]. Кроме того, паклитаксел может повышать активность ЦТЛ за счет регуляции экспрессии рецепторов маннозо-6-фосфата на поверхности опухолевых клеток [121]. Также данный препарат способен усиливать экспрессию костимуляционных молекул CD80, CD86 и CD40 на ДК, которые связываются с CD28 на поверхности T-лимфоцитов и необходимы для их активации [119]. Эпотилон В, таксол и винбластин повышает экспрессию молекул МНС-І, что приводит к увеличению презентации антигенов и иммуногенности опухоли [122]. Помимо вышеуказанных эффектов, паклитаксел может изменять спектр секретируемых цитокинов. Так, он связывается с рецептором TLR4, стимулируя ОАМ секретировать провоспалительные цитокины, привлекающие антигенпрезентирующие клетки в строму опухоли [123]. Активация паклитакселом транскрипционного ядерного фактора кВ (NF-кВ) в опухолевых клетках инициирует выработку различных цитокинов, таких как IL-1, -6 и -8 [124, 125]. Также известно, что таксаны могут стимулировать выработку TNF-α – регулятора воспалительного иммунного ответа — в опухолевых клетках молочной железы и яичников [126]. У больных раком молочной железы, получающих лечение паклитакселом или доцетакселом, наблюдаются повышение уровней IFN-у, IL-2, IL-6 и GM-CSF в сыворотке крови и увеличение цитотоксической активности NK-клеток [127].

Таксаны также могут изменять опухолевое микроокружение, оказывая антиангиогенное действие, вызывая апоптоз опухолевых клеток и снижая количество иммуносупрессорных МСК [128]. Трабектедин в дополнение к своему цитотоксическому эффекту на опухолевые клетки посредством связывания ДНК проявляет избирательную цитотоксичность против ОАМ, что приводит к резкому снижению их плотности и секреции цитокинов, способствующих росту опухоли, IL-6, CCL2, CXCL8, VEGF у пациентов с саркомами [129, 130]. На мышиной модели карциномы яичников показано, что трабектедин снижает уровень хемокинового лиганда ССL2, отвечающего за привлечение моноцитов в строму опухоли [130].

Таким образом, растительные алкалоиды, в частности таксаны, помимо цитотоксического действия обладают широким иммуномодулирующим потенциалом. Они способствуют изменению состава опухолевого микроокружения за счет снижения уровня цитокинов, благоприятствующих росту опухолевых клеток, увели-

2

2

чения созревания ДК, привлечения ЦТЛ и усиления реализации противоопухолевого иммунного ответа.

Таким образом, можно выделить общие молекулярные механизмы действия разных групп химиотерапевтических препаратов, в числе которых:

- подавление роста и деления пролиферирующих иммунных клеток, приводящее к панцитопении, ослаблению клеточного и гуморального иммунных ответов;
- повреждение опухолевых клеток и высвобождение факторов повреждения DAMPs (кальретикулина, белков теплового шока, ATФ, HMGB1 и др.), стимулирующих презентацию опухолевых антигенов иммунным клеткам на поверхности MHC-I;
- локальная продукция GM-CSF, CCL2, CXCL8, фактора роста эндотелия сосудов (VEGF), IL-10 и пролиферация клеток опухоли и эндотелиоцитов в ответ на повреждение опухолевых клеток;
- активация адаптивного иммунитета за счет увеличения созревания ДК и усиления антигенной презентации;
- перепрограммирование опухолевого микроокружения за счет увеличения уровня факторов воспаления, активации цитотоксических Т-лимфоцитов и снижения количества проопухолевых макрофагов и иммуносупрессивных клеток (Т-рег, МСК);
- обновление пула иммунных клеток в циркуляции за счет выхода гемопоэтических клеток-предшественников из органов депо (рис. 1).

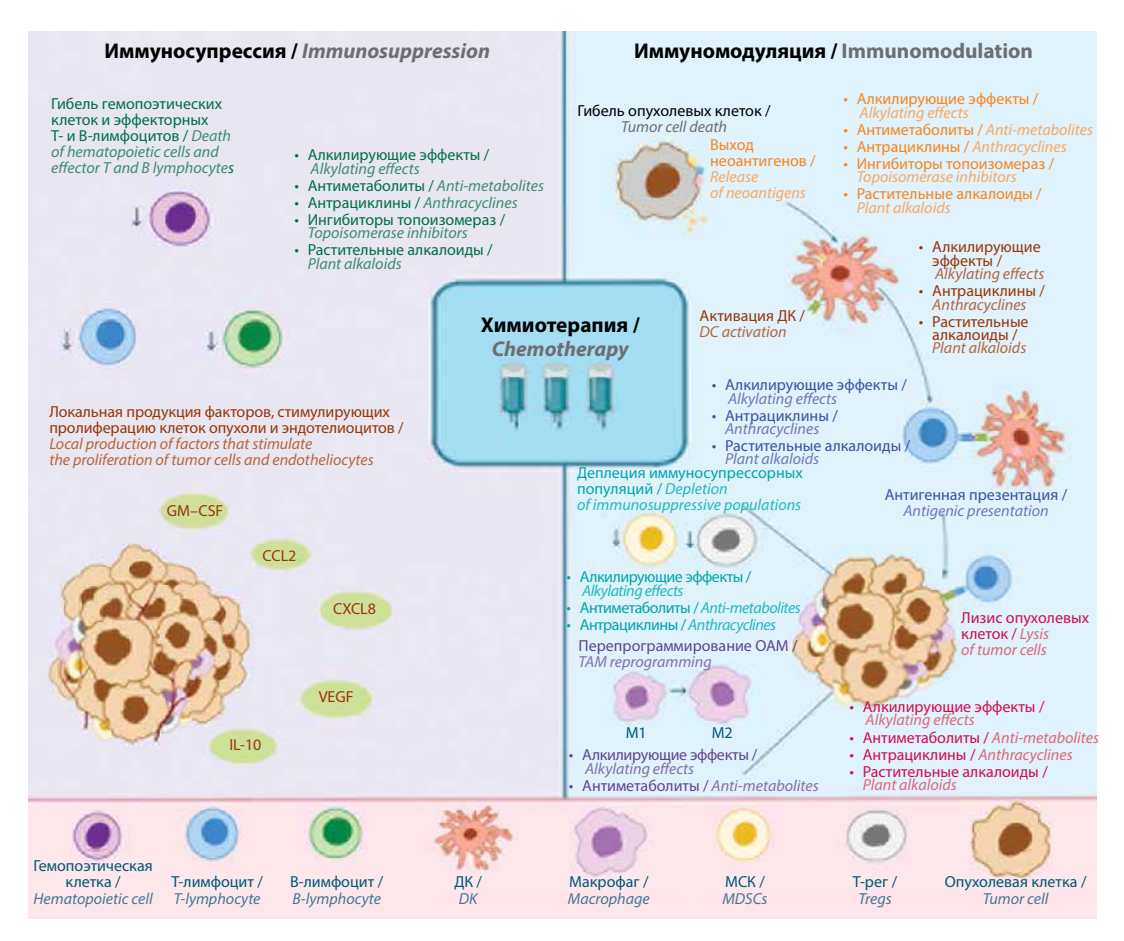


Рис. 1. Основные механизмы действия химиотерапевтических препаратов на иммунную систему. Иммуносупрессорные эффекты: цитопения эффекторов адаптивного иммунитета; гибель гемопоэтических клеток; продукция гранулоцитарного колониестимулирующего фактора роста (GM-CSF), CCL2, CXCL8, фактора роста эндотелия сосудов (VEGF), интерлейкина 10 (IL-10), стимулирующих пролиферацию клеток опухоли и эндотелиоцитов. Иммуномодуляторные эффекты: высвобождение опухолевых антигенов и молекул повреждения клеток, способствующих созреванию и активации дендритных клеток (ДК); усиление презентации антигенов Т-лимфоцитам; увеличение частоты распознавания опухолевых клеток, за которым следует их цитотоксическое уничтожение; истощение иммуносупрессивных клеток, включая миелоидные супрессорные клетки (МСК) и регуляторные Т-клетки (Т-рег); перепрограммирование противовоспалительных популяций макрофагов в провоспалительные (из М2-подобных в М1-подобные). ОАМ — опухолеассоциированные макрофаги

Fig. 1. The main mechanisms of chemotherapeutic drugs action on the immune system. Immunosuppressive effects: cytopenia of adaptive immunity effectors, apoptosis of hematopoietic cells; production of granulocyte colony stimulating growth factor (GM-CSF), CCL2, CXCL8, vascular endothelial growth factor (VEGF), interleukin 10 (IL-10) stimulating proliferation of tumor cells and endothelial cells. Immunomodulatory effects: release of tumor antigens and damage-associated molecular patterns (DAMPs) promoting maturation and activation of dendritic cells (DCs); enhancement of antigen presentation to T-lymphocytes; increase in the frequency of tumor cell recognition followed by their cytotoxic destruction; depletion of immunosuppressive cells, including myeloid-derived suppressor cells (MDSCs) and regulatory T cells (Tregs); reprogramming of anti-inflammatory macrophage populations into pro-inflammatory ones (from M2-like to M1-like phenotypes). TAM – tumor-associated macrophages

Основным результатом иммуносупрессивного действия ХТ является лейкопения, тогда как стимуляция иммунного ответа может происходить разными путями. Тем не менее подавление компонентов врожденного и адаптивного иммунитета носит генерализованный характер, что определяет удельный вес иммуносупрессии в реализации противоопухолевого иммунного ответа.

#### ЗАВИСИМОСТЬ ХИМИОИНДУЦИРОВАННОГО ПРОТИВООПУХОЛЕВОГО ИММУННОГО ОТВЕТА ОТ СОСТОЯНИЯ ИММУННОЙ СИСТЕМЫ

В настоящее время широко признано, что для оптимизации эффектов XT необходима компетентная иммунная система, которая характеризуется способностью распознавать и нейтрализовывать различные антигены [131]. Формирование полноценного иммунного ответа зависит от точной коммуникации и передачи сигналов между различными популяциями иммунных клеток. Так, в случае адаптивного иммунного ответа требуются привлечение антигенпрезентирующих клеток в очаг воспаления, процессинг антигенов и их презентация в лимфатических узлах для активации антиген-специфических Т-клеток [132]. Известно, что XT может нарушить эту коммуникационную сеть, вмешиваясь в сигнальные пути иммунных клеток [133]. Кроме того, она способна модулировать экспрессию и функцию молекул иммунных контрольных точек, которые регулируют активацию и толерантность этих клеток [134]. Нарушение коммуникационных путей может привести к неправильной регуляции иммунных реакций, истощению иммунных клеток и снижению противоопухолевого иммунитета. Следовательно, в случае некомпетентной иммунной системы больного цитотоксическое действие ХТ будет преобладать над компенсаторными механизмами восполнения пула иммунных клеток и противоопухолевой иммунной активацией, что значительно повлияет на исход лечения [135].

В связи с вышесказанным важно учитывать показатели состояния иммунной системы каждого пациента перед назначением XT, в числе которых иммунный статус, цитокиновый и интерфероновый профили [136]. Оценка нарушений в соотношении иммунорегуляторных популяций Т-лимфоцитов, а также количества и функциональной активности NK-клеток позволяет установить несостоятельность того или иного звена иммунной системы и определить потенциальные возможности укрепления иммунных функций [137]. Неоднократно показано, что развитие опухолевого процесса сопряжено с количественным дисбалансом основных клеток адаптивного иммунитета, а также нарушением регуляции и снижением функциональной активности врожденного иммунного ответа [138-140]. Следовательно, учет особенностей состояния иммунной системы больных имеет большой потенциал для предиктивной оценки ответа на лечение и более того, может использоваться для создания

комбинированных схем терапии, основанных на применении XT с иммуномодулирующими препаратами.

В последнее время стали разрабатываться терапевтические стратегии смягчения иммуносупрессии, опосредованной ХТ, которые основаны на использовании иммуномодулирующих агентов в качестве адъювантов к этой терапии, направленных на поддержание и усиление иммунной функции [141]. Известно, что цитокины являются главными медиаторами межклеточных взаимодействий, которые определяют тип и длительность иммунного ответа [142]. Продемонстрировано применение иммунотропных препаратов, содержащих IL-1, -2, -4, интерфероны и GM-CSF, которые способствуют поддержанию иммунного ответа путем активации различных сигнальных путей в эффекторных клетках, таких как JAK1, STAT, ТҮК2 и МАРК [143]. Так, применение комбинированной схемы ХТ и препарата на основе рекомбинантного фактора некроза опухоли-тимозин- $\alpha 1$  (TNF- $\alpha$ -T) увеличивает частоту развития патоморфологической регрессии опухолей молочных желез [144]. Рекомбинантный IFN-у также может рассматриваться как потенциальный адъювант при комбинированной терапии ЗНО [145, 146]. Известны случаи успешного ингаляционного применения цитокиновых лекарственных препаратов для профилактики развития метастазов в легких у больных раком молочной железы [147].

Представленные данные подчеркивают необходимость интеграции иммуномониторинга и динамического контроля иммунного статуса пациентов при планировании XT. В будущем нужно продолжить исследование основных механизмов реализации иммунного ответа у онкологических больных, изучить новые комбинированные методы лечения и разработать целевые вмешательства для минимизации подавления иммунитета.

#### ЗАКЛЮЧЕНИЕ

Химиотерапия является не только эффективным методом противоопухолевого лечения, но и важным регулятором иммунных реакций. Наряду с усилением иммуносупрессии, она повышает иммуногенность опухоли посредством ряда взаимодополняющих механизмов, направленных на усиление активности эффекторных клеток [148]. В целях максимизации биологического эффекта ХТ необходима качественная оценка ее влияния на функциональное состояние иммунной системы. Большую роль в этом играет предварительная оценка иммунологических нарушений у больных с ЗНО, на основании которой следует подбирать схему ХТ. Для усиления эффективности лечения также возможна комбинация XT с иммунотерапией, в основе которой должен лежать анализ иммунологических показателей. Использование правильно подобранной комбинации с учетом индивидуальных иммунных параметров пациентов позволит значительно усилить терапевтический эффект за счет сонаправленного иммуностимулирующего действия препаратов [149, 150].

#### ЛИТЕРАТУРА/REFERENCES

- Anand U., Dey A., Chandel A.K.S. et al. Cancer chemotherapy and beyond: Current status, drug candidates, associated risks and progress in targeted therapeutics. Genes Dis 2023;10(4):1367– 401. DOI: 10.1016/j.gendis.2022.02.007
- Albert A. Chemotherapy: history and principles. In: Selective toxicity: the physico-chemical basis of therapy. Ed. by A. Albert. Dordrecht: Springer Netherlands, 1985. Pp. 206–265.
- 3. Morrison W.B. Cancer chemotherapy: an annotated history. J Vet Intern Med 2010;24(6):1249–62. DOI: 10.1111/j.1939-1676.2010.0590.x
- Sharma A., Jasrotia S., Kumar A. Effects of chemotherapy on the immune system: implications for cancer treatment and patient outcomes. Naunyn Schmiedebergs Arch Pharmacol 2024;397(5):2551–66. DOI: 10.1007/s00210-023-02781-2
- Vorontsova A., Kan T., Raviv Z. et al. The dichotomous role of bone marrow derived cells in the chemotherapy-treated tumor microenvironment. J Clin Med 2020;9(12):3912.
   DOI: 10.3390/jcm9123912
- Galsky M.D., Guan X., Rishipathak D. et al. Immunomodulatory
  effects and improved outcomes with cisplatin- versus carboplatinbased chemotherapy plus atezolizumab in urothelial cancer. Cell
  Rep Med 2024;5(2):101393. DOI: 10.1016/j.xcrm.2024.101393
- Mukherjee O., Rakshit S., Shanmugam G. et al. Role of chemotherapeutic drugs in immunomodulation of cancer. Curr Res Immunol 2023;4:100068. DOI: 10.1016/j.crimmu.2023.100068
- Galluzzi L., Humeau J., Buqué A. et al. Immunostimulation with chemotherapy in the era of immune checkpoint inhibitors. Nat Rev Clin Oncol 2020;17(12):725–41. DOI: 10.1038/s41571-020-0413-z
- Shin D.S., Ribas A. The evolution of checkpoint blockade as a cancer therapy: what's here, what's next? Curr Opin Immunol 2015;33:23–35. DOI: 10.1016/j.coi.2015.01.006
- Burnet M. Cancer a biological approach. I. The processes of control. II. The Significance of somatic mutation 1957;1(5022):779–86. DOI: 10.1136/bmj.1.5022.779
- 11. Burnet F.M. The concept of immunological surveillance. Prog Exp Tumor Res 1970;13(1):1–27. DOI: 10.1159/000386035
- Vesely M.D., Schreiber R.D. Cancer immunoediting: antigens, mechanisms, and implications to cancer immunotherapy. Ann NY Acad Sci 2013;1284(1):1–5. DOI: 10.1111/nyas.12105
- Gerashchenko T., Frolova A., Patysheva M. et al. Breast Cancer immune landscape: interplay between systemic and local immunity. Adv Biol (Weinh) 2024;8(7):e2400140. DOI: 10.1002/adbi.202400140
- Galluzzi L., Senovilla L., Zitvogel L. et al. The secret ally: immunostimulation by anticancer drugs. Nat Rev Drug Discov 2012;11(3):215–33. DOI: 10.1038/nrd3626
- Wang L., Geng H., Liu Y. et al. Hot and cold tumors: immunological features and the therapeutic strategies. MedComm (2020) 2023;4(5):e343. DOI: 10.1002/mco2.343
- 16. Opzoomer J.W., Sosnowska D., Anstee J.E. et al. Cytotoxic Chemotherapy as an immune stimulus: a molecular perspective on turning up the immunological heat on cancer. Front Immunol 2019;10:1654. DOI: 10.3389/fimmu.2019.01654
- Merlano M.C., Denaro N., Galizia D. et al. How chemotherapy affects the tumor immune microenvironment: a narrative review. Biomedicines 2022;10(8):1822. DOI: 10.3390/biomedicines10081822
- Zhang J., Pan S., Jian C. et al. Immunostimulatory properties of chemotherapy in breast cancer: from immunogenic modulation mechanisms to clinical practice. Front Immunol 2021;12:819405. DOI: 10.3389/fimmu.2021.819405
- Kroemer G., Galassi C., Zitvogel L. et al. Immunogenic cell stress and death. Nat Immunol 2022;23(4):487–500.
   DOI: 10.1038/s41590-022-01132-2
- Kroemer G., Galluzzi L., Kepp O. et al. Immunogenic cell death in cancer therapy. Annu Rev Immunol 2013;31:51–72.
   DOI: 10.1146/annurev-immunol-032712-100008

- Zitvogel L., Apetoh L., Ghiringhelli F. et al. The anticancer immune response: indispensable for therapeutic success? J Clin Invest 2008;118(6):1991–2001. DOI: 10.1172/jci35180
- Russo M., Panini N., Fabbrizio P. et al. Chemotherapy-induced neutropenia elicits metastasis formation in mice by promoting proliferation of disseminated tumor cells. Oncoimmunology 2023;12(1):2239035. DOI: 10.1080/2162402x.2023.2239035
- Sistigu A., Yamazaki T., Vacchelli E. et al. Cancer cell—autonomous contribution of type I interferon signaling to the efficacy of chemotherapy. Nat Med 2014;20(11):1301–9. DOI: 10.1038/nm.3708
- Benson Z., Manjili S.H., Habibi M. et al. Conditioning neoadjuvant therapies for improved immunotherapy of cancer. Biochem Pharmacol 2017;145:12—7. DOI: 10.1016/j.bcp.2017.08.007
- Patysheva M., Larionova I., Stakheyeva M. et al. Effect of earlystage human breast carcinoma on monocyte programming. Front Oncol 2021;11:800235. DOI: 10.3389/fonc.2021.800235
- 26. Романов Б.К., Дмитриева Н.Б., Зацепилова Т.А. Противоопухолевые препараты. Medical Journal of the Russian Federation, Russian Journal 2018;24(3):146—50.

  DOI: 10.18821/0869-2106-2018-24-3-146-150

  Romanov B.K., Dmitrieva N.B., Zatsepilova T.A. Antitumor drugs. Medical Journal of the Russian Federation, Russian Journal 2018;24(3):146—50. (In Russ.).

  DOI: 10.18821/0869-2106-2018-24-3-146-150
- Wu J., Waxman D.J. Immunogenic chemotherapy: dose and schedule dependence and combination with immunotherapy. Cancer Lett 2018;419:210–21. DOI: 10.1016/j.canlet.2018.01.050
- 28. Трякин А.А., Бесова Н.С., Волков Н.М. и др. Общие принципы противоопухолевой лекарственной терапии. Злокачественные опухоли 2024;14(3s2–1):33–46.

  DOI: 10.18027/2224-5057-2024-14-3s2-1.1-01

  Tryakin A.A., Besova N.S., Volkov N.M. et al. General principles of antitumor drug therapy. Zlokachestvennye opukholi = Malignant Tumors 2024;14(3s2–1):33–46. (In Russ.).

  DOI: 10.18027/2224-5057-2024-14-3s2-1.1-01
- 29. Трякин А.А., Бесова Н.С., Волков Н.М. и др. Практические рекомендации по общим принципам проведения противоопухолевой лекарственной терапии. Злокачественные опухоли 2020;10(3s2—1):26—39. DOI: 10.18027/2224-5057-2020-10-3s2-01 Tryakin A.A., Besova N.S., Volkov N.M. et al. Practical recommendations on the general principles of antitumor drug therapy. Zlokachestvennye opukholi = Malignant Tumors 2020;10(3s2—1): 26—39. (In Russ.). DOI: 10.18027/2224-5057-2020-10-3s2-01
- 30. Лактионов К.К., Артамонова Е.В., Бредер В.В. и др. Немелкоклеточный рак легкого. Злокачественные опухоли 2024;14(3s2—1): 65—104. DOI: 10.18027/2224-5057-2024-14-3s2-1.1-04 Laktionov K.K., Artamonova E.V., Breder V.V. et al. Non-small cell lung cancer. Zlokachestvennye opukholi = Malignant Tumors 2024;14(3s2—1):65—104. (In Russ.). DOI: 10.18027/2224-5057-2024-14-3s2-1.1-04
- 31. Чубенко В.А., Бычков М.Б., Деньгина Н.В. и др. Мелкоклеточный рак легкого. Злокачественные опухоли 2024;14(3s2–1): 105–114. DOI: 10.18027/2224-5057-2024-14-3s2-1.1-05 Chubenko V.A., Bychkov M.B., Dengina N.V. et al. Small cell lung cancer. Zlokachestvennye opukholi = Malignant Tumors 2024;14(3s2–1):105–14. (In Russ.). DOI: 10.18027/2224-5057-2024-14-3s2-1.1-05
- 32. Строяковский Д.Л., Абрамов М.Е., Демидов Л.В. и др. Меланома кожи. Злокачественные опухоли 2024;14(3s2):300—29. DOI: 10.18027/2224-5057-2024-14-3s2-1.2-12 Stroyakovsky D.L., Abramov M.E., Demidov L.V. et al. Melanoma of the skin. Zlokachestvennye opukholi = Malignant Tumors 2024;14(3s2):300—29. (In Russ.). DOI: 10.18027/2224-5057-2024-14-3s2-1.2-12

S

- 33. Тюляндин С.А., Артамонова Е.В., Жигулев А.Н. и др. Рак молочной железы. Злокачественные опухоли 2024;14(3s2-2):32-81. DOI: 10.18027/2224-5057-2024-14-3s2-1.2-01 Tyulandin S.A., Artamonova E.V., Zhigulev A.N. et al. Breast cancer. Zlokachestvennye opukholi = Malignant Tumors 2024;14(3s2-2):32-81. (In Russ.). DOI: 10.18027/2224-5057-2024-14-3s2-1.2-01
- 34. Хохлова С.В., Кравец О.А., Морхов К.Ю. и др. Рак шейки матки. Злокачественные опухоли 2024;14(3s2-2):136-64. DOI: 10.18027/2224-5057-2024-14-3s2-1.2-05 Khokhlova S.V., Kravets O.A., Morkhov K.Yu. et al. Cervical cancer. Zlokachestvennye opukholi = Malignant Tumors 2024:14(3s2-2): 136-64. (In Russ.). DOI: 10.18027/2224-5057-2024-14-3s2-1.2-05
- 35. Покатаев И.А., Дудина И.А., Коломиец Л.А. и др. Рак яичников, первичный рак брюшины и рак маточных труб. Злокачественные опухоли 2024;14(3s2-2):82-101. DOI: 10.18027/2224-5057-2024-14-3s2-1.2-02 Pokataev I.A., Dudina I.A., Kolomiets L.A. et al. Ovarian cancer, primary peritoneal cancer, and fallopian tube cancer. Zlokachestvennye opukholi = Malignant Tumors 2024;14(3s2–2): 82-101. (In Russ.), DOI: 10.18027/2224-5057-2024-14-3s2-1.2-02
- 36. Болотина Л.В., Владимирова Л.Ю., Деньгина Н.В. и др. Опухоли головы и шеи. Злокачественные опухоли 2024; 14(3s2-1):160-82. DOI: 10.18027/2224-5057-2024-14-3s2-1.1-09 Bolotina L.V., Vladimirova L.Yu., Dengina N.V. et al. Tumors of the head and neck. Zlokachestvennye opukholi = Malignant Tumors 2024;14(3s2-1):160-82. (In Russ.). DOI: 10.18027/2224-5057-2024-14-3s2-1.1-09
- 37. Улитин А.Ю., Желудкова О.Г., Иванов П.И. и др. Первичные опухоли центральной нервной системы. Злокачественные опухоли 2024;14(3s2-1):183-211. DOI: 10.18027/2224-5057-2024-14-3s2-1.1-10 Ulitin A.Yu., Zheludkova O.G., Ivanov P.I. et al. Primary tumors of the central nervous system. Zlokachestvennye opukholi = Malignant Tumors 2024:14(3s2-1):183-211. (In Russ.). DOI: 10.18027/2224-5057-2024-14-3s2-1.1-10
- 38. Трякин А.А., Бесова Н.С., Волков Н.М. и др. Рак пищевода и пищеводно-желудочного перехода. Злокачественные опухоли 2024:14(3s2-1):221-240. DOI: 10.18027/2224-5057-2024-14-3s2-1.1-12 Tryakin A.A., Besova N.S., Volkov N.M. et al. Cancer of the esophagus and esophageal-gastric junction. Zlokachestvennye opukholi = Malignant Tumors 2024;14(3s2-1):221-40. (In Russ.). DOI: 10.18027/2224-5057-2024-14-3s2-1.1-12
- 39. Бесова Н.С., Болотина Л.В., Гамаюнов С.В. и др. Рак желудка. Злокачественные опухоли 2024;14(3s2-1):241-62. DOI: 10.18027/2224-5057-2024-14-3s2-1.1-13 Besova N.S., Bolotina L.V., Gamayunov S.V. et al. Stomach cancer. Zlokachestvennye opukholi = Malignant Tumors 2024;14(3s2-1): 241-62. (In Russ.). DOI: 10.18027/2224-5057-2024-14-3s2-1.1-13
- 40. Кудашкин Н.Е., Гладков О.А., Загайнов В.Е. и др. Рак поджелудочной железы. Злокачественные опухоли 2024;14(3s2-1): 404-15. DOI: 10.18027/2224-5057-2024-14-3s2-1.1-18 Kudashkin N.E., Gladkov O.A., Zagainov V.E. et al. Pancreatic cancer. Zlokachestvennye opukholi = Malignant Tumors 2024;14(3s2-1):404-15. (In Russ.). DOI: 10.18027/2224-5057-2024-14-3s2-1.1-18
- 41. Федянин М.Ю., Гладков О.А., Гордеев С.С. и др. Рак ободочной кишки, ректосигмоидного соединения и прямой кишки. Злокачественные опухоли 2024;14(3s2-1):263-322. DOI: 10.18027/2224-5057-2024-14-3s2-1.1-14 Fedyanin M.Yu., Gladkov O.A., Gordeev S.S. et al. Cancer of the colon, rectosigmoid junction and rectum. Zlokachestvennye opukholi = Malignant Tumors 2024;14(3s2-1):263-322. (In Russ.). DOI: 10.18027/2224-5057-2024-14-3s2-1.1-14
- 42. Матвеев В.Б., Волкова М.И., Гладков О.А. и др. Герминогенные опухоли у мужчин. Злокачественные опухоли 2024;14(3s2-2): 267-99. DOI: 10.18027/2224-5057-2024-14-3s2-1.2-11

- Matveev V.B., Volkova M.I., Gladkov O.A. et al. Germinogenic tumors in men. Zlokachestvennye opukholi = Malignant Tumors 2024:14(3s2-2):267-99. (In Russ.).
- DOI: 10.18027/2224-5057-2024-14-3s2-1.2-11
- 43. Румянцев А.А., Булычкин П.В., Волкова М.И. и др. Рак мочевого пузыря. Злокачественные опухоли 2024;14(3s2-2):221-41. DOI: 10.18027/2224-5057-2024-14-3s2-1.2-09 Rumvantsev A.A., Bulvchkin P.V., Volkova M.I. et al. Bladder cancer. Zlokachestvennye opukholi = Malignant Tumors 2024; 14(3s2-2):221-41. (In Russ.). DOI: 10.18027/2224-5057-2024-14-3s2-1.2-09
- 44. Егоренков В.В., Бохян А.Ю., Конев А.А. и др. Саркомы мягких тканей. Злокачественные опухоли 2024;14(3s2-2):393-413. DOI: 10.18027/2224-5057-2024-14-3s2-1.2-15 Egorenkov V.V., Bokhyan A.Yu., Konev A.A. et al. Soft tissue sarcomas. Zlokachestvennye opukholi = Malignant Tumors 2024:14(3s2-2):393-413. (In Russ.). DOI: 10.18027/2224-5057-2024-14-3s2-1.2-15
- 45. Bukowski K., Kciuk M., Kontek R. Mechanisms of multidrug resistance in cancer chemotherapy. Int J Mol Sci 2020;21(9):3233. DOI: 10.3390/iims21093233
- 46. Olofinsan K., Abrahamse H., George B.P. Therapeutic role of alkaloids and alkaloid derivatives in cancer management. Molecules 2023;28(14):5578. DOI: 10.3390/molecules28145578
- 47. Ostios-Garcia L., Pérez D.M., Castelo B. et al. Classification of anticancer drugs: an update with FDA- and EMA-approved drugs. Cancer Metastasis Rev 2024;43(4):1561-71. DOI: 10.1007/s10555-024-10188-5
- 48. Gebremeskel S., Johnston B. Concepts and mechanisms underlying chemotherapy induced immunogenic cell death: impact on clinical studies and considerations for combined therapies. Oncotarget 2015;6(39):41600-19. DOI: 10.18632/oncotarget.6113
- 49. Gerashchenko T.S., Patysheva M.R., Fedorenko A.A. et al. Chemotherapy-induced developmental trajectories of monocytes in breast cancer. RUDN Journal of MEDICIN 2024:28(4):427-38. DOI: 10.22363/2313-0245-2024-28-4-427-438
- 50. Karati D., Mahadik K.R., Trivedi P. et al. Alkylating agents, the road less traversed, changing anticancer therapy. Anticancer Agents Med Chem 2022;22(8):1478-95. DOI: 10.2174/1871520621666210811105344
- 51. Khoury A., Deo K.M., Aldrich-Wright J.R. Recent advances in platinum-based chemotherapeutics that exhibit inhibitory and targeted mechanisms of action. J Inorg Biochem 2020;207:111070. DOI: 10.1016/j.jinorgbio.2020.111070
- 52. Bayat Mokhtari R., Homayouni T.S., Baluch N. et al. Combination therapy in combating cancer. Oncotarget 2017;8(23):38022-43. DOI: 10.18632/oncotarget.16723
- 53. Никитина О.Г., Валиахметова А.Р., Газдалиева Л.М. Применение химиотерапии при лечении онкологических больных. Международный студенческий научный вестник 2018;4(3):471-4. Nikitina O.G., Valiakhmetova A.R., Gazdalieva L.M. The use of chemotherapy in the treatment of cancer patients. Mezhdunarodny studencheskiy nauchny vestnik = International Student Scientific Bulletin 2018;4(3):471-4. (In Russ.).
- 54. Орлова О.Л., Николаева Л.Л., Король Л.А. и др. Современные онкопрепараты для внутреннего применения. Фармация и фармакология 2018;6(5):440-61. DOI: 10.19163/2307-9266-2018-6-5-440-461 Orlova O.L., Nikolaeva L.L., Korol L.A. et al. Modern cancer drugs for internal use. Farmatsiya i farmakologiya = Pharmacy and Pharmacology 2018;6(5):440-61. (In Russ.). DOI: 10.19163/2307-9266-2018-6-5-440-461
- 55. Yoo J., Jung Y., Ahn J.H. et al. Incidence and clinical course of septic shock in neutropenic patients during chemotherapy for gynecological cancers. J Gynecol Oncol 2020;31(5):e62. DOI: 10.3802/jgo.2020.31.e62
- 56. Ahlmann M., Hempel G. The effect of cyclophosphamide on the immune system: implications for clinical cancer therapy.

- Cancer Chemother Pharmacol 2016;78(4):661-71. DOI: 10.1007/s00280-016-3152-1
- 57. Kim C.G., Sohn J., Chon H. et al. Incidence of febrile neutropenia in korean female breast cancer patients receiving preoperative or postoperative doxorubicin/cyclophosphamide followed by docetaxel chemotherapy. J Breast Cancer 2016;19(1):76–82. DOI: 10.4048/jbc.2016.19.1.76
- Lyman G.H., Michels S.L., Reynolds M.W. et al. Risk of mortality in patients with cancer who experience febrile neutropenia. Cancer 2010;116(23):5555–63. DOI: 10.1002/cncr.25332
- Uitdehaag B.M., Nillesen W.M., Hommes O.R. Long-lasting effects of cyclophosphamide on lymphocytes in peripheral blood and spinal fluid. Acta Neurol Scand 1989;79(1):12–7.
   DOI: 10.1111/j.1600-0404.1989.tb03702.x
- Emadi A., Jones R.J., Brodsky R.A. Cyclophosphamide and cancer: golden anniversary. Nat Rev Clin Oncol 2009;6(11):638–47.
   DOI: 10.1038/nrclinonc.2009.146
- 61. Ghiringhelli F., Menard C., Puig P.E. et al. Metronomic cyclophosphamide regimen selectively depletes CD4+CD25+ regulatory T cells and restores T and NK effector functions in end stage cancer patients. Cancer Immunol Immunother 2007;56(5):641–8. DOI: 10.1007/s00262-006-0225-8
- 62. Dimeloe S., Frick C., Fischer M. et al. Human regulatory T cells lack the cyclophosphamide-extruding transporter ABCB1 and are more susceptible to cyclophosphamide-induced apoptosis. Eur J Immunol 2014;44(12):3614–20. DOI: 10.1002/eii.201444879
- 63. Huijts C.M., Lougheed S.M., Bodalal Z. et al. The effect of everolimus and low-dose cyclophosphamide on immune cell subsets in patients with metastatic renal cell carcinoma: results from a phase I clinical trial. Cancer Immunol Immunother 2019;68(3):503–15. DOI: 10.1007/s00262-018-2288-8
- Nakahara T., Uchi H., Lesokhin A.M. et al. Cyclophosphamide enhances immunity by modulating the balance of dendritic cell subsets in lymphoid organs. Blood 2010;115(22):4384–92. DOI: 10.1182/blood-2009-11-251231
- 65. Bao L., Hao C., Wang J. et al. High-dose cyclophosphamide administration orchestrates phenotypic and functional alterations of immature dendritic cells and regulates th cell polarization. Front Pharmacol 2020;11:775. DOI: 10.3389/fphar.2020.00775
- Larionova I., Cherdyntseva N., Liu T. et al. Interaction of tumorassociated macrophages and cancer chemotherapy. Oncoimmunology 2019;8(7):1596004. DOI: 10.1080/2162402x.2019.1596004
- Bart V.M.T., Pickering R.J., Taylor P.R. et al. Macrophage reprogramming for therapy. Immunology 2021;163(2):128–44.
   DOI: 10.1111/imm.13300
- Heath O., Berlato C., Maniati E. et al. Chemotherapy induces tumor-associated macrophages that aid adaptive immune responses in ovarian cancer. Cancer Immunol Res 2021;9(6):665–81.
   DOI: 10.1158/2326-6066.Cir-20-0968
- 69. Sevko A., Sade-Feldman M., Kanterman J. et al. Cyclophosphamide promotes chronic inflammation-dependent immunosuppression and prevents antitumor response in melanoma. J Invest Dermatol 2013;133(6):1610–1619. DOI: 10.1038/jid.2012.444
- Longley D.B., Harkin D.P., Johnston P.G. 5-fluorouracil: mechanisms of action and clinical strategies. Nat Rev Cancer 2003;3(5):330–8. DOI: 10.1038/nrc1074
- Cavalcanti I.D.L., Soares J.C.S. Conventional cancer treatment.
   In: Advances in Cancer Treatment: From Systemic Chemotherapy to Targeted Therapy. Ed. by I.D.L. Cavalcanti, J.C.S. Soares.
   Cham: Springer International Publishing, 2021. Pp. 29–56.
- Al-Shammary E.H., Mohammed D.J. Chemotherapy-induced neutropenia after initial and subsequent chemotherapy cycle of non-Hodgkin lymphoma. Mustansiriya Med J 2020;19(1):16–9. DOI: 10.4103/mj.Mj\_4\_20
- Bracci L., Schiavoni G., Sistigu A. et al. Immune-based mechanisms of cytotoxic chemotherapy: implications for the design of novel and rationale-based combined treatments against cancer. Cell Death Differ 2014;21(1):15–25. DOI: 10.1038/cdd.2013.67

- 74. Nowak A.K., Robinson B.W., Lake R.A. Gemcitabine exerts a selective effect on the humoral immune response: implications for combination chemo-immunotherapy. Cancer Res 2002;62(8):2353–8
- 75. Herman S., Zurgil N., and Deutsch M. Low dose methotrexate induces apoptosis with reactive oxygen species involvement in T lymphocytic cell lines to a greater extent than in monocytic lines. Inflamm Res 2005;54(7):273–80. DOI: 10.1007/s00011-005-1355-8
- Eriksson E., Wenthe J., Irenaeus S. et al. Gemcitabine reduces MDSCs, tregs and TGFβ-1 while restoring the teff/treg ratio in patients with pancreatic cancer. J Transl Med 2016;14(1):282. DOI: 10.1186/s12967-016-1037-z
- Sawasdee N., Thepmalee C., Sujjitjoon J. et al. Gemcitabine enhances cytotoxic activity of effector T-lymphocytes against chemo-resistant cholangiocarcinoma cells. Int Immunopharmacol 2020;78:106006. DOI: 10.1016/j.intimp.2019.106006
- 78. Szczygieł A., Węgierek-Ciura K., Mierzejewska J. et al. The modulation of local and systemic anti-tumor immune response induced by methotrexate nanoconjugate in murine MC38 colon carcinoma and B16 F0 melanoma tumor models. Am J Cancer Res 2023;13(10):4623–43.
- Ma G., Zhang Z., Li P. et al. Reprogramming of glutamine metabolism and its impact on immune response in the tumor microenvironment. Cell Commun Signal 2022;20(1):114. DOI: 10.1186/s12964-022-00909-0
- Cerezo M., Rocchi S. Cancer cell metabolic reprogramming: a keystone for the response to immunotherapy. Cell Death Disease 2020;11(11):964. DOI: 10.1038/s41419-020-03175-5
- 81. Fang H., Ang B., Xu X. et al. TLR4 is essential for dendritic cell activation and anti-tumor T-cell response enhancement by DAMPs released from chemically stressed cancer cells. Cell Mol Immunol 2014;11(2):150–9. DOI: 10.1038/cmi.2013.59
- 82. Apetoh L., Ladoire S., Coukos G. et al. Combining immunotherapy and anticancer agents: the right path to achieve cancer cure? Ann Oncol 2015;26(9):1813–23. DOI: 10.1093/annonc/mdv209
- Püschel F., Favaro F., Redondo-Pedraza J. et al. Starvation and antimetabolic therapy promote cytokine release and recruitment of immune cells. Proc Natl Acad Sci USA 2020;117(18):9932–41. DOI: 10.1073/pnas.1913707117
- 84. Malesci A., Bianchi P., Celesti G. et al. Tumor-associated macrophages and response to 5-fluorouracil adjuvant therapy in stage III colorectal cancer. Oncoimmunology 2017;6(12):e1342918. DOI: 10.1080/2162402x.2017.1342918
- Yokoyama C., Sueyoshi Y., Ema M. et al. Induction of oxidative stress by anticancer drugs in the presence and absence of cells. Oncol Lett 2017;14(5):6066-70. DOI: 10.3892/ol.2017.6931
- Mordente A., Meucci E., Silvestrini A. et al. Anthracyclines and Mitochondria. In: Advances in mitochondrial medicine. Ed. by R. Scatena, P. Bottoni, B. Giardina. Dordrecht: Springer Netherlands, 2012. Pp. 385–419.
- Steele T.A. Chemotherapy-induced immunosuppression and reconstitution of immune function. Leuk Res 2002;26(4):411–4. DOI: 10.1016/S0145-2126(01)00138-2
- Krysko D.V., Kaczmarek A., Krysko O. et al. TLR-2 and TLR-9 are sensors of apoptosis in a mouse model of doxorubicin-induced acute inflammation. Cell Death Differ 2011;18(8):1316–25.
   DOI: 10.1038/cdd.2011.4
- Ghiringhelli F., Apetoh L., Tesniere A. et al. Activation of the NLRP3 inflammasome in dendritic cells induces IL-1β-dependent adaptive immunity against tumors. Nat Med 2009;15(10):1170–8. DOI: 10.1038/nm.2028
- Obeid M., Tesniere A., Ghiringhelli F. et al. Calreticulin exposure dictates the immunogenicity of cancer cell death. Nat Med 2007;13(1):54–61. DOI: 10.1038/nm1523
- 91. Giglio P., Mara G., Nicola T. et al. PKR and GCN2 stress kinases promote an ER stress-independent eIF2 $\alpha$  phosphorylation responsible for calreticulin exposure in melanoma cells.

- OncoImmunology 2018;7(8):e1466765. DOI: 10.1080/2162402X.2018.1466765
- 92. Hodge J.W., Garnett C.T., Farsaci B. et al. Chemotherapy-induced immunogenic modulation of tumor cells enhances killing by cytotoxic T lymphocytes and is distinct from immunogenic cell death. Int J Cancer 2013;133(3):624–36. DOI: 10.1002/ijc.28070
- Alizadeh D., Larmonier N. Chemotherapeutic targeting of cancerinduced immunosuppressive cells. Cancer Res 2014;74(10):2663–8.
   DOI: 10.1158/0008-5472.Can-14-0301
- 94. Park J.Y., Jang M.J., Chung Y.H. et al. Doxorubicin enhances CD4+ T-cell immune responses by inducing expression of CD40 ligand and 4-1BB. Int Immunopharmacol 2009;9(13):1530-9. DOI: 10.1016/j.intimp.2009.09.008
- 95. Mattarollo S.R., Loi S., Duret H. et al. Pivotal role of innate and adaptive immunity in anthracycline chemotherapy of established tumors. Cancer Res 2011;71(14):4809–20. DOI: 10.1158/0008-5472.Can-11-0753
- Huang J., Wu R., Chen L. et al. Understanding anthracycline cardiotoxicity from mitochondrial aspect. Front Pharmacol 2022;13:811406. DOI: 10.3389/fphar.2022.811406
- Ocadlikova D., Lecciso M., Isidori A. et al. Chemotherapy-induced tumor cell death at the crossroads between immunogenicity and immunotolerance: focus on acute myeloid leukemia. Front Oncol 2019;9:1004. DOI: 10.3389/fonc.2019.01004
- Wijayahadi N., Haron M.R., Stanslas J. et al. Changes in cellular immunity during chemotherapy for primary breast cancer with anthracycline regimens. J Chemother 2007;19(6):716–23.
   DOI: 10.1179/joc.2007.19.6.716
- Elsea C.R., Roberts D.A., Druker B.J. et al. Inhibition of p38 MAPK suppresses inflammatory cytokine induction by etoposide, 5-fluorouracil, and doxorubicin without affecting tumoricidal activity. PLoS One 2008;3(6):e2355.
   DOI: 10.1371/journal.pone.0002355
- 100. Sauter K.A., Wood L.J., Wong J. et al. Doxorubicin and daunorubicin induce processing and release of interleukin-1β through activation of the NLRP3 inflammasome. Cancer Biol Ther 2011;11(12):1008–16. DOI: 10.4161/cbt.11.12.15540
- 101. Wang L., Chen Q., Qi H. et al. Doxorubicin-induced systemic inflammation is driven by upregulation of toll-like receptor TLR4 and endotoxin leakage. Cancer Res 2016;76(22):6631–42. DOI: 10.1158/0008-5472.Can-15-3034
- 102. Singh A., Kaur N., Singh G. et al. Topoisomerase I and II inhibitors: a patent review. Recent Pat Anticancer Drug Discov 2016;11(4):401–23. DOI: 10.2174/0929866523666160720095940
- 103. Yakkala P.A., Penumallu N.R., Shafi S. et al. Prospects of topoisomerase inhibitors as promising anti-cancer agents. Pharmaceuticals (Basel) 2023;16(10):1456. DOI: 10.3390/ph16101456
- 104. Kim G.M., Kim Y.S., Ae Kang Y. et al. Efficacy and toxicity of belotecan for relapsed or refractory small cell lung cancer patients. J Thorac Oncol 2012;7(4):731–6. DOI: 10.1097/JTO.0b013e31824b23cb
- 105. Dang X., Ogbu S.C., Zhao J. et al. Inhibition of topoisomerase IIA (Top2α) induces telomeric DNA damage and T cell dysfunction during chronic viral infection. Cell Death Dis 2020;11(3):196. DOI: 10.1038/s41419-020-2395-2
- 106. Rialdi A., Campisi L., Zhao N. et al. Topoisomerase 1 inhibition suppresses inflammatory genes and protects from death by inflammation. Science 2016;352(6289):aad7993. DOI: 10.1126/science.aad7993
- 107. Haggerty T.J., Dunn I.S., Rose L.B. et al. Topoisomerase inhibitors modulate expression of melanocytic antigens and enhance T cell recognition of tumor cells. Cancer Immunol Immunother 2011;60(1):133–44. DOI: 10.1007/s00262-010-0926-x
- 108. Wan S., Pestka S., Jubin R.G. et al. Chemotherapeutics and radiation stimulate MHC class I expression through elevated interferon-beta signaling in breast cancer cells. PLoS One 2012;7(3):e32542. DOI: 10.1371/journal.pone.0032542

- 109. McKenzie J.A., Mbofung R.M., Malu S. et al. The effect of topoisomerase i inhibitors on the efficacy of T-cell-based cancer immunotherapy. J Natl Cancer Inst 2018;110(7):777–86. DOI: 10.1093/inci/dix257
- 110. Lee J.-M., Shin K.-S., Koh C.-H. et al. Inhibition of topoisomerase I shapes antitumor immunity through the induction of monocyte-derived dendritic cells. Cancer Lett 2021;520:38–47. DOI: 10.1016/j.canlet.2021.06.031
- 111. Iwai T., Sugimoto M., Wakita D. et al. Topoisomerase I inhibitor, irinotecan, depletes regulatory T cells and up-regulates MHC class I and PD-L1 expression, resulting in a supra-additive antitumor effect when combined with anti-PD-L1 antibodies. Oncotarget 2018;9(59):31411–21. DOI: 10.18632/oncotarget.25830
- 112. Matsuura H.N., Fett-Neto A.G. Plant alkaloids: main features, toxicity, and mechanisms of action. In: Plant toxins. Ed. by P. Gopalakrishnakone, C.R. Carlini, R. Ligabue-Braun. Dordrecht: Springer Netherlands, 2015. Pp. 1–15.
- 113. Khan H., Alam W., Alsharif K.F. et al. Alkaloids and colon cancer: molecular mechanisms and therapeutic implications for cell cycle arrest. Molecules 2022;27(3):920. DOI: 10.3390/molecules27030920
- 114. Taub J.W., Buck S.A., Xavier A.C. et al. The evolution and history of vinca alkaloids: from the big bang to the treatment of pediatric acute leukemia. Pediatr Blood Cancer 2024;71(11):e31247. DOI: 10.1002/pbc.31247
- 115. Markman J., Zanotti K., Webster K. et al. Experience with the management of neutropenia in gynecologic cancer patients receiving carboplatin-based chemotherapy. Gynecol Oncol 2004;92(2):592–5. DOI: 10.1016/j.ygyno.2003.11.005
- 116. Markman M. Management of toxicities associated with the administration of taxanes. Exp Opin Drug Saf 2003;2(2):141–6. DOI: 10.1517/14740338.2.2.141
- 117. Beretta G.L., Cassinelli G., Rossi G. et al. Novel insights into taxane pharmacology: An update on drug resistance mechanisms, immunomodulation and drug delivery strategies. Drug Resist Updates 2025;81:101223. DOI: 10.1016/j.drup.2025.101223
- 118. Serpico A.F., Pisauro C., Grieco D. cGAS-dependent proinflammatory and immune homeostatic effects of the microtubule-targeting agent paclitaxel. Front Immunol 2023;14:1127623. DOI: 10.3389/fimmu.2023.1127623
- Kaneno R., Shurin G.V., Tourkova I.L. et al. Chemomodulation of human dendritic cell function by antineoplastic agents in low noncytotoxic concentrations. J Translat Med 2009;7(1):58.
   DOI: 10.1186/1479-5876-7-58
- Pfannenstiel L.W., Lam S.S., Emens L.A. et al. Paclitaxel enhances early dendritic cell maturation and function through TLR4 signaling in mice. Cell Immunol 2010;263(1):79–87.
   DOI: 10.1016/j.cellimm.2010.03.001
- 121. Ramakrishnan R., Assudani D., Nagaraj S. et al. Chemotherapy enhances tumor cell susceptibility to CTL-mediated killing during cancer immunotherapy in mice. J Clin Invest 2010;120(4):1111–24. DOI: 10.1172/jci40269
- 122. Pellicciotta I., Yang C.P., Goldberg G.L. et al. Epothilone B enhances class I HLA and HLA-A2 surface molecule expression in ovarian cancer cells. Gynecol Oncol 2011;122(3):625–31. DOI: 10.1016/j.ygyno.2011.05.007
- 123. Wanderley C.W., Colón D.F., Luiz J.P.M. et al. Paclitaxel reduces tumor growth by reprogramming tumor-associated macrophages to an M1 profile in a TLR4-dependent manner. Cancer Res 2018;78(20):5891–900. DOI: 10.1158/0008-5472.Can-17-3480
- 124. Dos Santos Guimarães I., Ladislau-Magescky T., Tessarollo N.G. et al. Chemosensitizing effects of metformin on cisplatin- and paclitaxelresistant ovarian cancer cell lines. Pharmacol Rep 2018;70(3):409–17. DOI: 10.1016/j.pharep.2017.11.007
- 125. Pusztai L., Mendoza T.R., Reuben J.M. et al. Changes in plasma levels of inflammatory cytokines in response to paclitaxel chemotherapy. Cytokine 2004;25(3):94–102. DOI: 10.1016/j.cyto.2003.10.004

- 126. Laha D., Grant R., Mishra P. et al. The role of tumor necrosis factor in manipulating the immunological response of tumor microenvironment. Front Immunol 2021;12:656908. DOI: 10.3389/fimmu.2021.656908
- 127. Tsavaris N., Kosmas C., Vadiaka M. et al. Immune changes in patients with advanced breast cancer undergoing chemotherapy with taxanes. Br J Cancer 2002;87(1):21–7. DOI: 10.1038/sj.bjc.6600347
- 128. Sun Y., Ma X., Hu H. Application of nano-drug delivery system based on cascade technology in cancer treatment. Int J Mol Sci 2021;22(11):5698. DOI: 10.3390/ijms22115698
- 129. D'Incalci M., Badri N., Galmarini C.M. et al. Trabectedin, a drug acting on both cancer cells and the tumour microenvironment. Br J Cancer 2014;111(4):646–50. DOI: 10.1038/bjc.2014.149
- 130. Germano G., Frapolli R., Belgiovine C. et al. Role of macrophage targeting in the antitumor activity of trabectedin. Cancer Cell 2013;23(2):249–62. DOI: 10.1016/j.ccr.2013.01.008
- Blackburn G.L. Metabolic considerations in management of surgical patients. Surg Clin North Am 2011;91(3):467–80.
   DOI: 10.1016/j.suc.2011.03.001
- 132. Кадагидзе З.Г., Черткова А.И. Иммунная система и рак. Практическая онкология 2016;17(2):62—73. DOI: 10.31917/1702062 Kadagidze Z.G., Chertkova A.I. The immune system and cancer. Prakticheskaya onkologiya = Practical Oncology 2016;17(2):62—73. (In Russ.). DOI: 10.31917/1702062
- Hiam-Galvez K.J., Allen B.M., Spitzer M.H. Systemic immunity in cancer. Nat Rev Cancer 2021;21(6):345–59.
   DOI: 10.1038/s41568-021-00347-z
- 134. Zou W., Wolchok J.D., Chen L. PD-L1 (B7-H1) and PD-1 pathway blockade for cancer therapy: mechanisms, response biomarkers, and combinations. Sci Transl Med 2016;8(328):328rv324. DOI: 10.1126/scitranslmed.aad7118
- 135. Tilsed C.M., Fisher S.A., Nowak A.K. et al. Cancer chemotherapy: insights into cellular and tumor microenvironmental mechanisms of action. Front Oncol 2022;12:960317. DOI: 10.3389/fonc.2022.960317
- 136. Новик А.В., Проценко С.А., Балдуева И.А. Использование оценки состояния адаптивной иммунной системы у больных со злокачественными солидными опухолями в качестве предиктивных или прогностических факторов: систематический обзор. Эффективная фармакотерапия 2020;16(33):58—75. DOI: 10.33978/2307-3586-2020-16-33-58-75

  Novik A.V., Protsenko S.A., Baldueva I.A. The use of assessment of the state of the adaptive immune system in patients with malignant solid tumors as predictive or prognostic factors: a systematic review. Effektivnaya farmakoterapiya = Effective Pharmacotherapy 2020;16(33): 58—75. (In Russ.). DOI: 10.33978/2307-3586-2020-16-33-58-75
- 137. Артамонова Е.В. Место иммуномодуляторов в терапии рака молочной железы. Опухоли женской репродуктивной системы 2007;1(2):23—6.

  Artamonova E.V. The place of immunomodulators in breast cancer therapy. Opukholi zhenskoy reproduktivnoy sistemy = Tumors of the Female Reproductive System 2007;1(2):23—6. (In Russ.).
- 138. Сагакянц А.Б., Белякова Л.И., Шевченко А.Н. и др. Особенности локального иммунитета у пациентов с неинвазивномышечным раком мочевого пузыря различной степени злокачественности. Южно-Российский онкологический журнал 2022;3(4):58–66. DOI: 10.37748/2686-9039-2022-3-4-6 Sagakyants A.B., Belyakova L.I., Shevchenko A.N. et al. Features of local immunity in patients with noninvasive muscular bladder cancer of varying degrees of malignancy. Yuzhno-Rossiyskiy onkologicheskiy zhurnal = South Russian Journal of Oncology 2022;3(4):58–66. (In Russ.). DOI: 10.37748/2686-9039-2022-3-4-6
- 139. Стахеева М.Н., Эйдензон Д., Слонимская Е.М. и др. Взаимосвязь состояния иммунной системы как интегрированного целого с клиническим течением рака молочной железы. Сибирский онкологический журнал 2011;2(44):11–9. Staheeva M.N., Eidenzon D., Slonimskaya E.M. et al. The relationship of the state of the immune system as an integrated whole with the clinical course of breast cancer. Sibirskiy

- onkologicheskiy zhurnal = Siberian Journal of Oncology 2011;2(44):11–9. (In Russ.).
- 140. Stakheyeva M., Eidenzon D., Slonimskaya E. et al. Integral characteristic of the immune system state predicts breast cancer outcome. Exp Oncol 2019;41(1):32–8.
- 141. Adhikary S., Pathak S., Palani V. et al. Current technologies and future perspectives in immunotherapy towards a clinical oncology approach. Biomedicines 2024;12(1):217. DOI: 10.3390/biomedicines12010217
- 142. Рыбкина В.Л., Адамова Г.В., Ослина Д.С. Роль цитокинов в патогенезе злокачественных новообразований. Сибирский научный медицинский журнал 2023;43(2):15—28. DOI: 10.18699/SSMJ20230202

  Rybkina V.L., Adamova G.V., Oslina D.S. The role of cytokines in the pathogenesis of malignant neoplasms. Sibirskiy onkologicheskiy zhurnal = Siberian Journal of Oncology 2023;43(2):15—28. DOI: 10.18699/SSMJ20230202
- 143. Fu Y., Tang R., Zhao X. Engineering cytokines for cancer immunotherapy: a systematic review. Front Immunol 2023;14:1218082. DOI: 10.3389/fimmu.2023.1218082
- 144. Владимирова Л.Ю., Непомнящая Е.М., Подзорова Н.А. и др. Рекомбинантный фактор некроза опухоли-тимозин-α1: влияние на эффективность неоадьювантной химиотерапии и неоангиогенез при раке молочной железы. Вопросы онкологии 2017;63(1):76–81. DOI: 10.37469/0507-3758-2017-63-1-76-81 Vladimirova L.Yu., Nepomnyashchaya E.M., Podzorova N.A. et al. Recombinant tumor necrosis factor-thymosin-a1: effect on the effectiveness of neoadjuvant chemotherapy and neoangiogenesis in breast cancer. Voprosy onkologii = Oncology Issues 2017;63(1):76–81. (In Russ.). DOI: 10.37469/0507-3758-2017-63-1-76-81
- 145. Илюшин А.Л., Богдашин И.В., Алексанян А.З. и др. Интерферон-γ и опухолевый рост. Сибирский онкологический журнал 2023;22(4):118—27. DOI: 10.21294/1814-4861-2023-22-4-118-127 Ilyushin A.L., Bogdashin I.V., Aleksanyan A.Z. et al. Interferon-γ and tumor growth. Sibirskiy onkologicheskiy zhurnal = Siberian Journal of Oncology 2023;22(4):118—27. (In Russ.). DOI: 10.21294/1814-4861-2023-22-4-118-127
- 146. Исаева В.Г., Гривцова Л.Ю., Жовтун Л.П. и др. Противоопухолевый эффект рекомбинантного интерферона гамма в экспериментальной модели билатеральной солидной карциномы Эрлиха. Успехи молекулярной онкологии 2022;9(2):111—9. DOI: 10.17650/2313-805X-2022-9-2-111-119 Isaeva V.G., Grivtsova L.Y., Zhovtun L.P. et al. Antitumor effect of recombinant interferon-gamma in an experimental model of Ehrlich's bilateral solid carcinoma. Uspekhi molekulyarnoy onkologii = Advances in Molecular Oncology 2022;9(2):111—9. (In Russ.). DOI: 10.17650/2313-805X-2022-9-2-111-119
- 147. Стахеева М.Н., Богдашин И.В., Тарабановская Н.А. и др. Клинический случай ингаляционного применения цитокинов у больной раком молочной железы с образованиями в легком неясного генеза. Иммунология 2024;45(3):321–8. Staheeva M.N., Bogdashin I.V., Tarabanovskaya N.A. et al. A clinical case of inhaled cytokines in a breast cancer patient with lung tumors of unknown origin. Immunologiya = Immunology 2024;45(3):321–8. (In Russ.).
- 148. Galluzzi L., Vitale I., Warren S. et al. Consensus guidelines for the definition, detection and interpretation of immunogenic cell death. J Immunother Cancer 2020;8(1):e000337. DOI: 10.1136/jitc-2019-000337
- 149. Galluzzi L., Buqué A., Kepp O. et al. Immunological effects of conventional chemotherapy and targeted anticancer agents. Cancer Cell 2015;28(6):690–714. DOI: 10.1016/j.ccell.2015.10.012
- Bailly C., Thuru X., Quesnel B. Combined cytotoxic chemotherapy and immunotherapy of cancer: modern times. NAR Cancer 2020;2(1):zcaa002. DOI: 10.1093/narcan/zcaa002

S

#### Вклад авторов

А.А. Федоренко: разработка концепции исследования, анализ научной литературы, написание текста статьи, подготовка иллюстративного материала:

М.Р. Патышева: написание текста статьи, редактирование;

А.А. Федоров: обзор литературы по теме статьи, написание текста статьи;

М.Н. Стахеева: написание текста статьи, оценка научной достоверности и логичности изложения материала;

Н.В. Чердынцева: экспертиза данных и методологии исследования, редактирование;

Т.С. Геращенко: написание текста статьи, подготовка таблиц, редактирование.

**Authors' contributions** 

A.A. Fedorenko: development of the research concept, analysis of scientific literature, article writing, preparation of illustrative material;

M.R. Patysheva: article writing, editing;

A.A. Fedorov: literature review on the topic of the article, article writing;

M.N. Stakheeva: article writing, assessing the scientific reliability and consistency of the presentation of the material;

N.V. Cherdyntseva: examination of data and research methodology, editing;

T.S. Gerashchenko: article writing, preparing tables, editing.

#### ORCID авторов / ORCID of authors

А.А. Федоренко / А.А. Fedorenko: https://orcid.org/0000-0003-3297-1680

М.Р. Патышева / М.R. Patysheva: https://orcid.org/0000-0003-2865-7576

А.А. Федоров / А.А. Fedorov: https://orcid.org/0000-0003-3297-1680

М.Н. Стахеева / М.N. Stakheyeva: https://orcid.org/0000-0003-0601-2240

H.B. Чердынцева / N.V. Cherdyntseva: https://orcid.org/0000-0003-1526-9013

Т.С. Геращенко / Т.S. Gerashchenko: https://orcid.org/0000-0002-7283-0092

#### Конфликт интересов. Авторы заявляют об отсутствии конфликта интересов.

**Conflict of interest.** The authors declare no conflict of interest.

Финансирование. Работа выполнена при финансовой поддержке Российского научного фонда (грант No 22-75-10128).

Funding. The work was carried out with the financial support of the Russian Science Foundation (grant No. 22-75-10128).

**DOI:** https://doi.org/10.17650/2313-805X-2025-12-3-26-35



## Клональный гемопоэз неопределенного потенциала и злокачественные новообразования

#### В.Е. Шевченко, Т.И. Кушнир, М.В. Гудкова, Н.Е. Арноцкая

ФГБУ «Национальный медицинский исследовательский центр онкологии им. Н.Н. Блохина» Минздрава России; Россия, 115522 Москва, Каширское шоссе, 24

Контакты: Валерий Евгеньевич Шевченко vshev2015@yandex.ru

Клональный гемопоэз неопределенного потенциала (КГНП) связан со старением организма и является фактором риска развития многих заболеваний, включая злокачественные новообразования (3HO). Он возникает в результате соматических мутаций в гемопоэтических стволовых и/или прогениторных клетках, способствует развитию гематологических 3HO и обусловливает неблагоприятный прогноз при солидных злокачественных опухолях. Результаты недавних широкомасштабных полногеномных исследований подтвердили участие КГНП в патогенезе онкологических заболеваний. Мутации, связанные с данной патологией, выявлены в стволовых и/или прогениторных клетках у пациентов как с гематологическими, так и с солитарными 3HO, что указывает на потенциальную роль КГНП в возникновении злокачественных опухолей.

Цитотоксическая химиолучевая терапия тесно связана с развитием КГНП и способствует появлению агрессивных и резистентных к лечению гематологических ЗНО. У больных с солитарными ЗНО в опухоли также обнаружены мутации в гене TET2 с высокой частотой вариационных аллелей. Это явление получило название «инфильтрирующий опухоль клональный гемопоэз». Дальнейшие исследования больших популяций больных с солитарными ЗНО позволят оценить роль инфильтрирующего опухоль клонального гемопоэза в онкогенезе. Способность ассоциированных с возрастом соматических клональных экспансий в одной ткани, такой как гемопоэтический компартмент, регулировать онкогенез в другой ткани представляет собой новую перспективу для более глубокого понимания биологии рака и требует изучения.

В обзоре проанализирована связь между КГНП, старением организма и онкологическими заболеваниями, уделяется особое внимание солитарным ЗНО. Намечены пути лучшего понимания роли КГНП в онкогенезе и возможностей использования его клинического потенциала для лечения рака.

**Ключевые слова:** клональный гемопоэз неопределенного потенциала, гемопоэтическая стволовая клетка, прогениторная клетка, частота вариантного аллеля, старение, соматическая мутация, злокачественное новообразование

**Для цитирования:** Шевченко В.Е., Кушнир Т.И., Гудкова М.В., Арноцкая Н.Е. Клональный гемопоэз неопределенного потенциала и злокачественные новообразования. Успехи молекулярной онкологии 2025;12(3):26–35. DOI: https://doi.org/10.17650/2313-805X-2025-12-3-26-35

#### Clonal hematopoiesis of indeterminate potential and malignant neoplasms

V.E. Shevchenko, T.I. Kushnir, M.V. Gudkova, N.E. Arnotskaya

N.N. Blokhin National Medical Research Center of Oncology, Ministry of Health of Russia; 24 Kashirskoe Shosse, Moscow 115522, Russia

Contacts: Valery Evgenievich Shevchenko vshev2015@yandex.ru

Clonal hematopoiesis of indeterminate potential (CHIP) is associated with aging and is a risk factor of many diseases including malignant neoplasms (MNPs). It originates through somatic mutations in hematopoietic stem and/or progenitor cells, promotes development of hematological MNPs and underlies unfavorable prognosis in solid malignant tumors. Results of recent largescale genome-wide studies confirmed that CHIP plays a role in oncological diseases. Mutations associated with this pathology were found in stem and/or progenitor cells in patients with both hematological and solitary MNPs which indicates that CHIP potentially mediates development of malignant tumors.

Cytotoxic chemoradiation therapy is closely associated with CHIP development and causes emergence of aggressive and treatment-resistant hematological MNPs. In patients with solitary MNPs, *TET2* gene mutations with high variant allele frequencies were also found in the tumors. This phenomenon was named tumor-infiltrating clonal hemopoiesis. Further populational studies of patients with solitary MNPs will allow to evaluate the role of tumor-infiltrating clonal hemopoiesis in oncogenesis. The ability of age-associated somatic clonal expansions in one tissue, namely hematopoietic

compartment, to affect oncogenesis in another tissue is a new concept requiring further investigation and potentially capable of providing deeper understanding of cancer biology.

The review explores the association between CHIP, aging, and oncological diseases with a particular emphasis on solitary MNPs. The ways for better understanding of the role of CHIP in oncogenesis and possibilities of using its clinical potential for cancer treatment are discussed.

**Keywords:** clonal hematopoiesis of indeterminate potential, hematopoietic stem cell, progenitor cell, variant allele frequency, aging, somatic mutation, malignant neoplasm

**For citation:** Shevchenko V.E., Kushnir T.I., Gudkova M.V., Arnotskaya N.E. Clonal hematopoiesis of indeterminate potential and malignant neoplasms. Uspekhi molekulyarnoy onkologii = Advances in Molecular Oncology 2025;12(3):26–35. (In Russ.).

DOI: https://doi.org/10.17650/2313-805X-2025-12-3-26-35

#### **ВВЕДЕНИЕ**

С возрастом способность стволовых и/или прогениторных клеток (ГСПК) к самообновлению, дифференцировке и генерации всего репертуара клеток крови нарушается. Из-за дисфункции кроветворения у пожилых людей частота гематологических злокачественных новообразований (ЗНО) увеличивается. В ходе многочисленных исследований идентифицированы процессы, связанные со старением ГСПК, включая транскриптомные, эпигенетические и протеомные изменения, модифицированную передачу сигналов провоспалительными цитокинами, миелоидное смещение, нарушение аутофагии, митохондриальную дисфункцию и нарушение регенеративной способности [1]. Эти фенотипы старения ГСПК перекрываются с процессами, способствующими развитию ЗНО.

Стареющие ГСПК в конечном счете накапливают генетические мутации, приводящие к клональному гемопоэзу (КГ), который стал активно изучаться после широкомасштабного использования секвенирования нового поколения (next-generation sequencing, NGS). КГ – это процесс, при котором одна ГСПК приобретает соматические мутации, позволяющие ей расширять свой клон и доминировать в популяциях клеток крови за счет увеличения скорости самообновления или апоптотической устойчивости последующего потомства [2, 3]. Драйверами КГ могут быть любые соматические варианты, начиная от однонуклеотидных полиморфизмов и вставок/делеций до крупномасштабных хромосомных изменений (чаще всего потери Ү-хромосомы) [4]. При отсутствии известного варианта гена-драйвера КГ, вероятно, связан с мозаичными хромосомными изменениями, распространенность которых также увеличивается с возрастом [4].

Возрастной КГ — естественное следствие соматических мутаций в ГСПК человека. После появления ГСПК они приобретают около 17 соматических мутаций в год [5—7]. Подмножество приобретенных соматических мутаций помогает таким ГСПК приспосабливаться, может дать им селективное преимущество и привести к клональной экспансии. Под клональностью обычно понимают популяцию родственных клеток, идентифицируемых по наличию генетических изменений, таких как соматические мутации, вариации

числа копий или цитогенетические аберрации [8]. Признанными факторами риска развития КГ у здоровых людей считаются возраст, генетическая предрасположенность, генотоксический стресс, курение, воздействие факторов окружающей среды и образ жизни [9, 10].

Часто эти мутации смещают гемопоэз в сторону миелоидных или лимфоидных клеток-предшественников и имеют различные последствия для каждой линии. При клональном гемопоэзе с миелоидным смещением соматические мутации связаны с повышенным риском развития миелоидных ЗНО, сердечно-сосудистых заболеваний и смертности от многих причин [11, 12]. При клональном гемопоэзе с лимфоидным смещением соматические мутации ассоциируются с лимфоидными ЗНО и поздними формами аутоиммунитета и иммунодефицита.

В 2015 г. введено понятие клонального гемопоэза неопределенного потенциала (КГНП), для которого характерны отсутствие морфологических признаков гематологического новообразования или другого известного клонального состояния, наличие соматической мутации, связанной с гематологическим ЗНО, с частотой вариантного аллеля (variant allele frequency, VAF) ≥2 %, т. е. доли прочтений данного аллеля в пределах генетического локуса ≥2 % [8]. Как правило, клоны с VAF ≥2 % считаются потенциально значимыми, при этом медиана VAF составляет примерно 16 % [13, 14]. Однако биологически и клинически значимый порог VAF не определен и является предметом исследований. В настоящее время показано, что КГНП может наблюдаться как при миелоидных (М-КГНП), так и при лимфоидных (Л-КГНП) ЗНО [15, 16]. Интеграция КГНП и мозаичных хромосомных изменений вместе с параметрами анализа периферической крови (количество тромбоцитов, эритроцитов, нейтрофилов и моноцитов – для миелоидных ЗНО, повышенное количество лимфоцитов – для лимфоидных ЗНО) позволила определить людей с самым высоким риском развития миелоидных и лимфоидных ЗНО [17].

Результаты недавних широкомасштабных полногеномных исследований подтвердили роль КГНП в патогенезе онкологических заболеваний. Мутации, связанные с этим состоянием, определены у пациентов как с гематологическими, так и с солитарными ЗНО, в том числе с раком легкого, молочной, предстательной желез и толстой кишки. Это указывает на то, что КГНП может способствовать образованию злокачественных опухолей. В тканях солитарных ЗНО у пациентов с КГНП обнаружены иммунные клетки, сгенерированные КГНП. Они инфильтрировали опухоль и обладали потенциалом изменять локальное микроокружение опухоли и влиять на ее эволюцию.

Чаще всего при КГ у человека обнаруживают мутации в эпигенетических регуляторных генах *DNMT3A*, *TET2* и *ASXL1* [2, 3]. Хотя К $\Gamma$  не является заболеванием, он связан с высоким риском развития гематологических ЗНО [9]. Его обнаруживают у ≥10 % пожилых лиц, у которых риск трансформации в гематологические ЗНО значительно выше по сравнению с общей популяцией (относительный риск (ОР) 11,1; относительный риск смерти -1,4) [9, 10]. Причина, по которой человеческие ГСПК с этими мутациями подвергаются положительному отбору во время старения, приводящему к клональной экспансии и гематологическим ЗНО, и механизмы этого процесса еще предстоит определить. В настоящее время появились некоторые предположения о молекулярных механизмах клональности, к которым относятся стресс и воспаление в качестве селективного давления, способствующего трансформации в гематологические ЗНО [18]. Риски и преимущества возрастассоциированного КГ активно изучаются. Имеются данные, свидетельствующие о том, что специфические мутации КГ способны повышать функциональность адаптивных иммунных клеток [19]. Анализ механизмов, с помощью которых КГ могут оказывать защитное действие для одних заболеваний, но при этом способствовать развитию других, особенно в рамках гемопоэза, будет иметь решающее значение при разработке соответствующих терапевтических стратегий, направленных на улучшение качества жизни пожилых людей.

#### КЛОНАЛЬНЫЙ ГЕМОПОЭЗ И СТАРЕНИЕ

Старение связано с увеличением количества и вариантов соматических мутаций практически во всех тканях. Совершенствование технологий NGS, а также их использование как в клинических исследованиях, так и в рутинной практике послужило стимулом к изучению природы КГ. В пределах гемопоэтического компартмента в настоящее время КГ изучен наиболее полно. Недавно предложена концепция эпигенетически наследуемого и эволюционно приобретенного постгеномного повреждения гемопоэтической стволовой клетки костного мозга как центрального механизма, запускающего и поддерживающего системную биологию старения органов и тканей человека и являющегося причиной большинства фатальных болезней цивилизации [20].

Считается, что возрастные изменения микроокружения костного мозга способствуют возникновению

мутаций КГ [21, 22]. Исследования поведения мутантных клонов КГ показывают, что старение взаимодействует со специфическими мутациями потенциально через внутриклеточные факторы или внеклеточные изменения в стареющей гемопоэтической нише [23]. Эти изменения могут благоприятствовать мутациям в факторах сплайсинга [24, 25]. Есть предположение, что КГ не только является признаком старения, но и связан с высоким риском развития гематологических ЗНО, а также негематологических заболеваний, включая сердечно-сосудистые заболевания и солитарные ЗНО [26, 27].

Люди приобретают соматические варианты КГ на протяжении всей жизни – в среднем по крайней мере 1 патогенный вариант за десятилетие [28]. Клональная экспансия развивается по мере старения, увеличения размеров и снижения разнообразия гемопоэтических клонов [29, 30]. Для экспансии мутантных клонов ГСПК требуются годы, но этот процесс ускоряется при воздействии внеклеточных стрессоров, генотоксических агентов, воспаления [31, 32] и генетической предрасположенности (мутации зародышевой линии, семейный анамнез) [33, 34]. Поскольку пожилые люди в течение жизни испытывают больше случайных митотических ошибок и в большей степени подвержены воздействию факторов риска окружающей среды, пожилой возраст является самым значимым фактором риска развития КГ [35]. К 70 годам у человека в пуле ГСПК может накопиться до 70 мутаций на 1 ген [36], что приводит к увеличению генетической гетерогенности и является формой соматического мозаицизма [37, 38].

Результаты исследований показывают, что более 75 % случаев КГНП связаны с вариантами мутаций DNMT3A, TET2 и ASXL1, 15 % — с 5 наиболее часто встречающимися генами PPM1D, JAK2, SF3B1, SRSF2 и TP53 [38]. Чаще всего с КГНП ассоциируются эпигенетические регуляторы (например, DNMT3A, TET2 и ASXL1), гены, связанные с ответом на повреждение и репарацию ДНК (PPM1D, TP53, CHEK2 и ATM), гены, кодирующие сигналы клеточного роста (JAK2) и компоненты сплайсосом (SF3B1 и SRSF2) [39]. На протяжении всей жизни в разных возрастных диапазонах наблюдается увеличение различных соматических вариантов [40].

Клональный гемопоэз неопределенного потенциала участвует в патогенезе сердечно-сосудистых заболеваний и других воспалительных заболеваний, первичных солитарных и гематологических ЗНО, а также миелоидных новообразований, возникающих в результате терапии (Т-МН), и, следовательно, связан с повышенной смертностью от многих причин [41]. Признание КГНП как фактора риска развития злокачественных опухолей *de novo* и возникающих при их лечении (согласно документально подтвержденному анамнезу химиотерапии/лучевой терапии) открывает потенциальные возможности для начала терапии до развития агрессивных и часто трудно поддающихся лечению ЗНО [42].

#### МИЕЛОИДНЫЕ НОВООБРАЗОВАНИЯ

Рост заболеваемости миелоидными новообразованиями ассоциируется с увеличением количества видов и частоты соматических вариантов КГНП; при этом клоны с VAF >10 % имеют наибольший риск прогрессирования до гематологических 3HO [28, 37]. Определенные соматические варианты генов М-КГНП связаны с миелоидными 3HO (например, TP53, U2AF1, SRSF2, SF3B1, IDH1/2, TET2 и DNMT3A) [43]. Варианты генов TP53 и U2AF1 ассоциированы с самым высоким риском миелоидной трансформации в условиях внешнего селективного давления, в то время как варианты генов DNMT3A и TET2 более распространены, но характеризуются относительно меньшим риском такой трансформации при обнаружении мутаций только в этих генах [44].

Примечательно, что *FLT3* и *NPM1* — распространенные драйверные варианты, связанные с развитием острого миелоидного лейкоза, — практически отсутствуют при М-КГНП. Существует мнение, что приобретение этих вариантов, вероятно, происходит на более поздних этапах патогенеза острого миелоидного лейкоза и тесно связано с лейкемогенезом [40, 43]. Интересно, что в патогенезе миелоидных лейкозов варианты *NPM1* и *DNMT3A* часто участвуют аддитивно [40]. Таким образом, весьма вероятно, что *DNMT3A* — наиболее распространенный вариант, ассоциированный с М-КГНП, который запускает клональную экспансию и прогрессирование до лейкемии, если сопровождается вариантами соматического драйвера *NPM1* [40].

Кроме указанных факторов, на прогноз пациентов с КГНП также влияет зиготность. Результаты недавних исследований показали, что комбинация мутаций, в частности DNMT3A R882 и JAK2 V617F, с нейтральной по числу копий потерей гетерозиготности значительно повышает риск развития гематологических ЗНО [45]. Изменения в КГНП могут обеспечивать повышенную выживаемость ГСПК, сохраняя возмож-

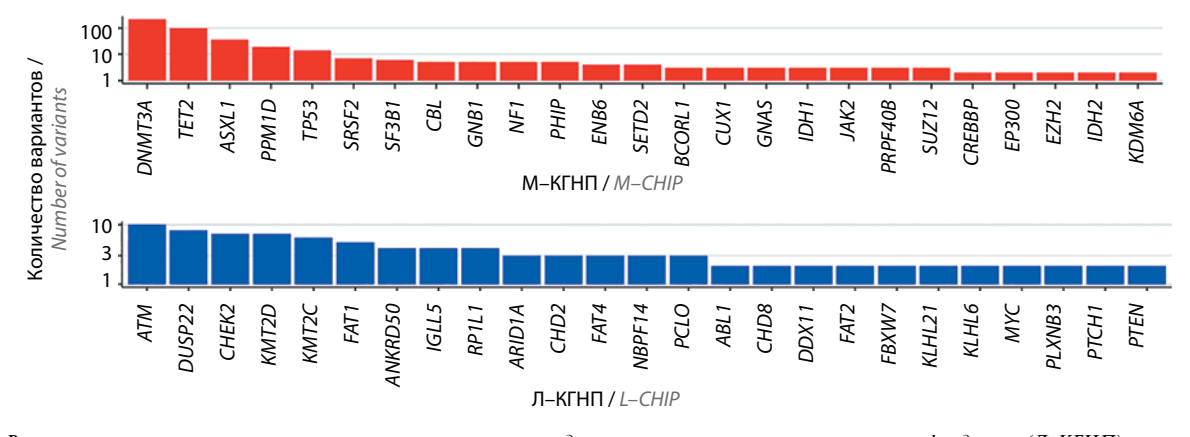
ность самообновления и блокирования дифференцировки (мутации в генах DNMT3A, TET2 и ASXLI) и/или потенцирования пути ответа на повреждение ДНК без активации апоптоза генами TP53, PPM1D) [46].

#### ЛИМФОИДНЫЕ НОВООБРАЗОВАНИЯ

Клональный гемопоэз неопределенного потенциала, связанный с лимфоидными лейкозами и лимфомами [47], также увеличивается с возрастом [17]. В отличие от М-КГНП, он может возникать как в стволовых клетках, так и в частично или полностью дифференцированных потомках на стадиях созревания [48]. Л-КГНП менее распространен, чем М-КГНП [17]. Показано, что при М-КГНП в 87 % случаев мутированы 3 топовых гена (*DNMT3A*, *TET2* и *ASXL1*), тогда как варианты Л-КГНП распределены более равномерно по большему количеству генов, аналогично распределению вариантов в остальных генах М-КГНП (рис. 1) [17]. Повышенная предрасположенность к одной гемопоэтической линии не является исключительной, и варианты мутаций в генах, обычно ассоциированных с КГНП (например, в генах *DNMT3A* и *TET2*), по-видимому, связаны как с миелоидными, так и с лимфоидными ЗНО [48].

#### СОЛИДНЫЕ ЗЛОКАЧЕСТВЕННЫЕ НОВООБРАЗОВАНИЯ

Результаты нескольких когортных исследований показали, что распространенность КГНП у пациентов с солитарными ЗНО составляет от 25 до 30 % [49]. В ходе недавних лонгитюдных исследований обнаружено, что КГНП (особенно при VAF >10 %) увеличивает риск развития солитарных ЗНО, включая рак легкого, почек, молочной и предстательной желез, а также сарком [47, 49]. Показано, что риск возникновения КГНП не был одинаковым для разных типов рака: у пациентов с раком щитовидной железы и яичников наблюдался высокий риск КГНП, в то время как у пациентов с меланомой,



**Рис. 1.** Варианты мутации в генах при клональном гемопоэзе неопределенного потенциала, связанном с лимфоидными (Л-КГНП) и миелоидными злокачественными новообразованиями (М-КГНП), идентифицированные в образцах крови из биобанка Mass General Brigham [17] **Fig. 1.** Variants of gene mutations in clonal hematopoiesis of indeterminate potential associated with lymphoid (L-CHIP) and myeloid (M-CHIP) malignant neoplasms identified in blood samples from the Mass General Brigham Biobank [17]

раком предстательной железы, почек и колоректальным раком — более низкий [50]. Дополнительный анализ образцов крови больных с ЗНО выявил высокий риск развития КГНП при тимоме и низкий — при раке мочевого пузыря и молочной железы [51].

Специфические мутации также связаны с определенными типами рака: например, мутации в DNMT3A— с высоким риском развития рака желудка и мочевого пузыря, мутации генов сплайсинга (SF3B1 и SRSF2)— с высоким риском возникновения рака яичников (табл. 1) [52].

**Таблица 1.** Частота мутаций в различных генах при клональном гемопоэзе неопределенного потенциала при разных солидных опухолях, %

Table 1. Frequencies of mutations in different genes in clonal hematopoiesis of indeterminate potential for different solid tumors, %

<b>Тип опухоли</b> Tumor type	<b>Гены с мутацией</b> Top mutations	Образцы крови Blood samples	цсДНК из плазмы cfDNA from plasma
Рак мочевого пузыря Bladder cancer	DNMT3A, TET2, PPM1D [50]	38 [50]	25,8 [56]
Рак молочной железы Breast cancer	DMNT3A (OP 1,25) [41]; DNMT3A, TET2, PPM1D [50] DMNT3A (HR 1.25) [41]; DNMT3A, TET2, PPM1D [50]	26 [50], 21 [10]	11,7 [50]
Колоректальный рак Colorectal cancer	DNMT3A, TET2, PPM1D [50]; DNMT3A, TET2, ROS [57]	25 [50], 27,6 [65]	13,5 [56]
Рак эндометрия Endometrial cancer	DNMT3A, TET2, PPM1D [50]	39 [50]	21,1 [57]
Рак пищевода и желудка Esophagogastric cancer	DNMT3A, TET2, PPM1D [57]	30 [50], 34,6 [57]	-
Рак головы и шеи Head and neck cancer	DNMT3A, TET2, ASXL1 [58]	31 [50]	13,3 [56]; 43,5 [58]
<b>Рак почек</b> Kidney cancer	TET2 (OP 1,47), DNMT3A (OP 1,43), ASXL1 (OP 1,20) [47] TET2 (HR 1.47), DNMT3A (HR 1.43), ASXL1 (HR 1.20) [47]	22 [50]	9,0 [58]
Рак легкого Lung cancer	DNMT3A (OP 1,64), TET2 (OP 1,6), ASXL1 (OP 1,55) [41]; DNMT3A, TET2, PPM1D, ASXL1 [50]; DNMT3A, ASXL1, TET2 [59], DNMT3A, TET2, ATM & TP53 [60] DNMT3A (HR 1.64), TET2 (HR 1.6), ASXL1 (HR 1.55) [41]; DNMT3A, TET2, PPM1D, ASXL1 [50]; DNMT3A, ASXL1, TET2 [59], DNMT3A, TET2, ATM and TP53 [60]	27 [41]; немелкоклеточный рак легкого — 37, мелкоклеточный рак легкого — 40 [50]; 52,6 [60] 27 [41]; non-small cell lung cancer — 37, small cell lung cancer — 40 [50]; 52.6 [60]	Немелкоклеточный рак легкого — 13,2; мелко-клеточный рак легкого — 16,2 [56]  Non-small cell lung cancer — 13.2; small cell lung cancer — 16.2 [56]
<b>Меланома</b> Melanoma	DNMT3A, TET2, PPM1D, ASXL1 [50]	31 [50]	26,8 [50]
Рак яичников Ovarian cancer	DNMT3A, PPM1D, TP53, CHEK2 [50]; ASXL1, DNMT3A, GNAS, JAK2, PPM1D, SF3B1, SH2B3, SRSF2, TET2, TP53 [61]	38 [50]; 17,6 [61]	17,1 [56]
Рак поджелудочной железы Pancreatic cancer	DNMT3A, TET2, PPM1D [50]	32 [50]	12,8 [56]
Рак предстательной железы Prostate cancer	<i>DMNT3A</i> (OP 1,27) [41] <i>DMNT3A</i> (HR 1.27) [41]	35 [50]	20,7 [56]
Рак щитовидной железы Thyroid cancer	DNMT3A, SHOC2, SH2B3 [62]; DNMT3A, TET2 [63]	30 [50]; 37 [62]	7,5 [56]

**Примечание.** В квадратных скобках представлены ссылки на источники. *OP* — отношение рисков; цсДНК — циркулирующая свободная ЛНК.

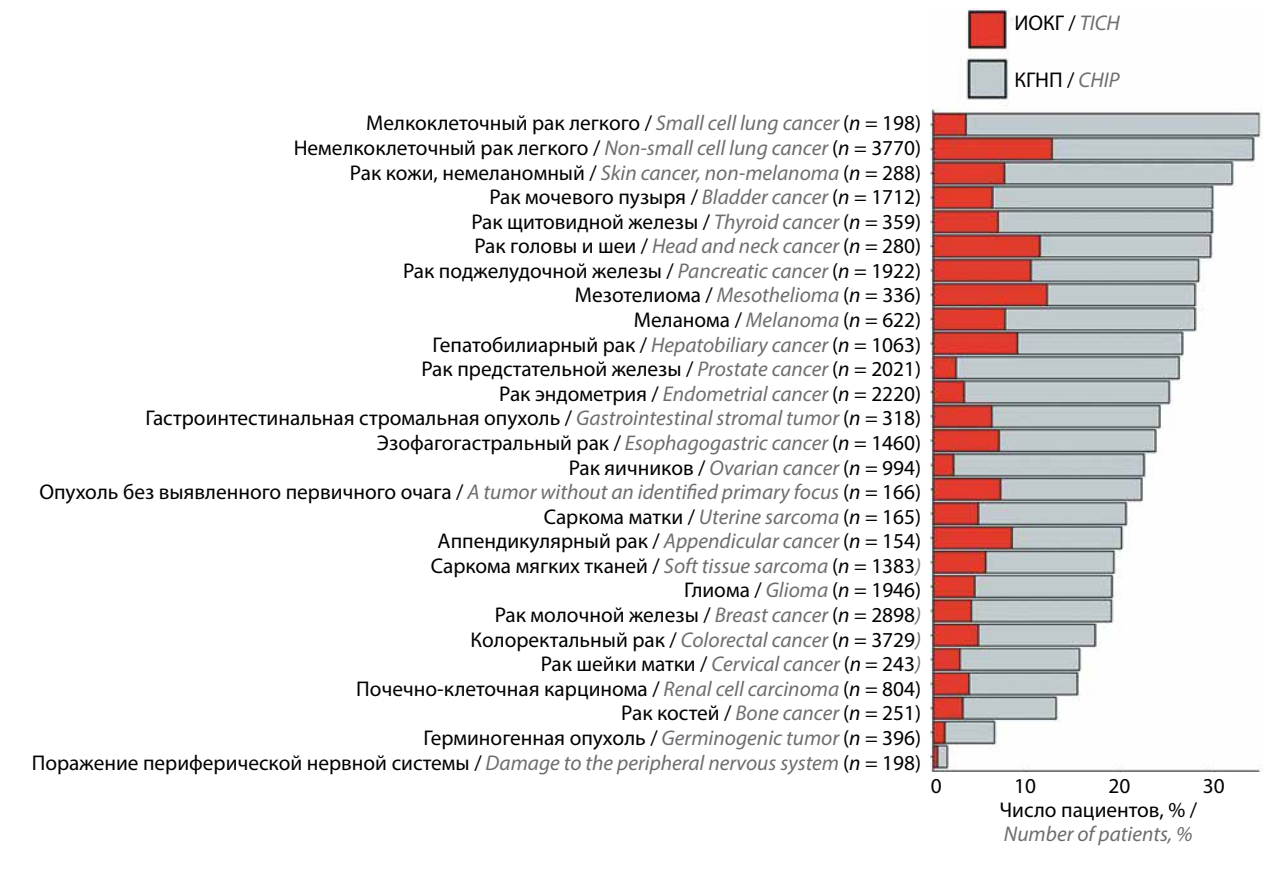
Note. References to sources are shown in square brackets. HR - hazard ratio; cfDNA - circulating free DNA.

Результаты исследований показали, что предоперационные мутации КГНП, особенно при высоком VAF, не только увеличивали риск развития рака легких, но и обусловливали худший исход [53]. Участие КГНП в предрасположенности к раку легкого, по-видимому, не зависит от статуса курения и в первую очередь обусловлено вариантами мутаций в генах *DNMT3A* и *ASXL1* [54]. Как и в случае 3НО кроветворной и лимфоидной систем, вероятность прогрессирования от КГНП для солитарных 3НО увеличивается при большем количестве вариантов и высокой VAF [33, 55].

### ПРОТИВООПУХОЛЕВАЯ ТЕРАПИЯ И КЛОНАЛЬНЫЙ ГЕМОПОЭЗ НЕОПРЕДЕЛЕННОГО ПОТЕНЦИАЛА

В отличие от таргетной иммунотерапии, цитотоксическая химиотерапия, внешнее лучевое облучение и радионуклидная терапия тесно связаны с развитием КГНП [50]. Большинство вариантов КГНП, наблюдаемых после химиотерапии, могут быть обнаружены еще до начала лечения [28]. Это говорит о том, что цитотоксическая терапия чаще всего способствует развитию КГНП через положительный отбор, стимулирующий клональную экспансию ранее существовавших соматических вариантов, и реже отвечает за приобретение исходного соматического варианта [28]. Воздействие цитотоксической терапии напрямую ассоциировано с КГНП и положительным отбором клонов, содержащих соматические варианты в генах ответа на повреждение ДНК, таких как *ТР53*, *PPM1D* и *CHEK2* [28].

Миелоидные новообразования, возникающие в результате действия предшествующей терапии, составляют 10-20 % миелоидных новообразований, включая миелодиспластический синдром, острый миелоидный лейкоз и миелопролиферативные новообразования [64]. Ранее считалось, что Т-МН появляются исключительно в результате мутагенных эффектов цитотоксической терапии. Однако в настоящее время признано, что варианты, вызывающие данную патологию, часто предшествуют началу противоопухолевой терапии [50]. Примерно у 20-60 % пациентов с Т-МН обнаруживают соматические варианты мутации в различных генах, тесно связанные с КГНП, в том числе в генах DNMT3A, TET2, ASXL1, PPM1D и ТР53 [42]. Показано, что воздействие химиотерапии способствует распространению существующих соматических вариантов мутации, а не вызывает повреждение ДНК по всему геному [65].



**Рис. 2.** Число пациентов с клональным гемопоэзом неопределенного потенциала (КГНП) инфильтрирующим опухоль клональным гемопоэзом (ИОКГ) с различными типами рака. Отобраны образцы первичной опухоли у 31 556 больных. Проанализированы только типы рака, встречающиеся в >150 случаев [70]

Fig. 2. Numbers of patients with clonal hematopoiesis of indeterminate potential (CHIP), tumor-infiltrating clonal hematopoiesis (TICH) and different types of cancer. Primary tumor samples from 31,556 patients were obtained. Only tumor types occurring in >150 cases were analyzed [70]

Как говорилось ранее, ГСПК, обладающие драйверными вариантами соматических мутаций, демонстрируют повышенную адаптацию к условиям клеточного стресса благодаря более высоким темпам пролиферации и лучше предохраняют клетки от гибели. Таким образом, под действием цитотоксической терапии происходит преимущественный отбор агрессивных клонов клеток с соматическими мутациями в генах *ТР53*, *PPM1D* и *CHEK2*, что способствует клональной экспансии и развитию Т-МН [66]. Лейкемическая трансформация существующих клонов КГНП в результате Т-МН, вероятно, зависит от приобретения дополнительных соматических вариантов, связанных с миелоидными ЗНО, включая хромосомную анеуплоидию и мутации в генах *FLT3*, *KRAS* и *NRAS* [50]. Это еще раз указывает на механизм, при котором у лиц с КГ, получивших цитотоксическую терапию, происходит положительный отбор клонов, содержащих *ТР53* и другие варианты генов ответа на повреждение ДНК (DDR), которые впоследствии достигают клонального доминирования и приобретают дополнительные соматические мутации. Это приводит к развитию агрессивных и резистентных к лечению Т-МН с более высокой распространенностью вариантов мутаций в гене ТР53 и к сложным кариотипам [67].

#### ОПУХОЛЬИНФИЛЬТРИРУЮЩИЙ КЛОНАЛЬНЫЙ ГЕМОПОЭЗ

Эволюция рака, считающаяся ранее ступенчатым накоплением онкогенных мутаций, теперь рассматривается как многофакторный процесс, на который влияют микроокружение опухоли, местные и системные иммунные реакции, воздействие окружающей среды и старение [68]. Результаты недавно проведенных исследований показали влияние стареющей кроветворной системы на развитие рака легкого [69]. В данном случае возрастной инфильтрирующий опухоль клональный гемопоэз (ИОКГ) выступает в качестве важного фактора, связанного с прогрессированием рака. ИОКГ является панраковым феноменом, наблюдается у 24 % пациентов с КГНП (что составляет более 6 % всех случаев солидных опухолей) и коррелирует с неблагоприятным исходом (рис. 2) [70].

Согласно данным, представленным на рис. 2, вероятность наличия ИОКГ варьирует в зависимости от типа рака и возрастает при немелкоклеточном раке легкого [71], раке головы и шеи, поджелудочной железы и мезотелиоме. Примерно у 40 % пациентов с немелкоклеточном раком легкого и КГНП наблюдался ИОКГ, что увеличивало риск смерти или рецидива [70]. При КГНП мутации в гене TET2 являются независимым предиктором ИОКГ. В модели немелкоклеточного рака легкого TET2-мутантный КГНП вызывал повышенную инфильтрацию миелоидных клеток в опухоли, имитируя наблюдения при заболеваниях человека [70]. Моноциты с TET2-мутацией в опухолях мышей преимущественно мигрировали в зону опухо-

ли и накапливались в виде макрофагов. По опубликованным данным, мутации в гене *TET2* могут функционально ремоделировать миелоидные реакции. *TET2*-мутантные миелоидные клетки продемонстрировали повышенную проопухолевую активность в опухолевых органоидных культурах по сравнению с миелоидными клетками дикого типа [70].

Связь между ИОКГ и неблагоприятными исходами солитарных ЗНО, влияние *TET2*-мутантных иммунных клеток на микроокружение и рост раковых клеток подтверждают роль ИОКГ в эволюции опухоли и его потенциальную пользу в диагностике рака [71]. В дальнейшем необходимо провести исследования на более крупных и этнически разнообразных когортах пациентов с раком, а также изучить влияние ИОКГ на прогрессию опухоли [71].

Клоны КГНП способны проникать в микросреду солитарных ЗНО, что доказано прямым секвенированием лейкоцитов, инфильтрирующих опухоль. В 47 % (7/15) образцов опухолей, полученных от пациентов с первичным нелеченым раком молочной железы, присутствуют СD45-клетки, происходящие из линий КГНП [72]. Показано, что по крайней мере 8 % диагностированных мутаций при секвенировании образцов солитарных ЗНО, вероятно, вызваны присутствием клеток КГ [71, 73]. Мутации, которые не были обнаружены в микропрепаратах солитарных ЗНО, имели VAF 5-20 % и были сильно обогащены в лейкоцитах, инфильтрирующих опухоль, по сравнению с мононуклеарными клетками периферической крови. Вероятно, это связано с тем, что клоны КГНП имеют преимущество в инфильтрации солитарных ЗНО по сравнению с другими лейкоцитами. Более точную интерпретацию опухолевых мутаций могут дать эксперименты с параллельным секвенированием материала из образца опухоли и периферической крови.

#### **ЗАКЛЮЧЕНИЕ**

В настоящее время установлена связь КГНП со старением, повышенным риском развития ЗНО и увеличением общей летальности. Оценка специфических мутаций при КГНП у пациентов среднего и пожилого возраста позволит выявить лиц с высоким риском развития конкретных заболеваний. Анализ КГНП у долгожителей может дать новую информацию об основных защитных механизмах и их нарушении при старении. Дальнейшие исследования позволят улучшить понимание роли КГНП в развитии различных онкологических заболеваний, определить возможность нивелирования патогенного потенциала мутировавших клонов и увеличения продолжительности жизни человека. Необходимо разработать новые методологические подходы к применению высокопроизводительного секвенирования для анализа КГНП, сделать экономически оправданными способы обнаружения небольших клонов, увеличить доказательную базу их прогностической важности для оказания своевременной медицинской помощи пациентам с риском развития ЗНО.

Совершенствование молекулярно-генетических методов привело к открытию новых состояний, развитию которых способствует КГНП, представляющих собой предболезнь. КГНП больше не рассматривается только как процесс, участвующий в патогенезе всех новообразований кроветворной и лимфоидной тканей. Его роль в развитии солитарных ЗНО становится все более очевидной, поскольку мутации в ГСПК влияют на рост опухоли, ее ангиогенез и уклонение от иммунного ответа. Способность ассоциированных

с возрастом соматических клональных экспансий в одной ткани, такой как гемопоэтический компартмент, регулировать онкогенез в другой ткани позволит лучше понять биологию рака. Дальнейшие исследования молекулярных механизмов, связывающих КГНП с прогрессированием солитарных ЗНО, будут иметь решающее значение для разработки новых методов и улучшения стратегий лечения рака. Интеграция геномного тестирования, в том числе анализа свободно-циркулирующих опухолевых ДНК, в клиническую практику может проложить путь к персонализированной профилактической медицине.

#### ЛИТЕРАТУРА / REFERENCES

- Verovskaya E.V., Dellorusso P.V., Passegué E. Losing sense of self and surroundings: hematopoietic stem cell aging and leukemic transformation. Trends Mol Med 2019;25(6):494–515.
   DOI: 10.1016/j.molmed.2019.04.006
- Genovese G., Kähler A.K., Handsaker R.E. et al. Clonal hematopoiesis and blood-cancer risk inferred from blood DNA sequence. N Engl J Med 2014;371(26):2477–87. DOI: 10.1056/NEJMoa1409405
- Jaiswal S., Fontanillas P., Flannick J. et al. Age-related clonal hematopoiesis associated with adverse outcomes. N Engl J Med 2014;371(26):2488–98. DOI: 10.1056/NEJMoa1408617
- Evans M.A., Walsh K. Clonal hematopoiesis, somatic mosaicism, and age-associated disease. Physiol Rev 2023;103:649–716.
   DOI: 10.1152/physrev.00004.2022
- Lee-Six H., Øbro N.F., Shepherd M.S. et al. Population dynamics of normal human blood inferred from somatic mutations. Nature 2018;561(7724):473

  –8. DOI: 10.1038/s41586-018-0497-0
- Mitchell E., Chapman M.S, Williams N. et al. Clonal dynamics of haematopoiesis across the human lifespan. Nature 2022;606(7913):343–50. DOI: 10.1038/s41586-022-04786-y
- Welch J.S., Ley T.J., Link D.C. et al. The origin and evolution of mutations in acute myeloid leukemia. Cell 2012;150(2):264–78. DOI: 10.1016/j.cell.2012.06.023
- Steensma D.P., Bejar R., Jaiswal S. et al. Clonal hematopoiesis of indeterminate potential and its distinction from myelodysplastic syndromes. Blood 2015;126(1):9–16.
   DOI: 10.1182/blood-2015-03-631747
- Steensma D.P. Clinical implications of clonal hematopoiesis. Mayo Clin Proc 2018;93(8):1122–30.
   DOI: 10.1016/j.mayocp.2018.04.002
- Coombs C.C., Zehir A., Devlin S.M. et al. Therapy-related clonal hematopoiesis in patients with non hematologic cancers is common and associated with adverse clinical outcomes. Cell Stem Cell 2017;21(3):374

  –82.e4. DOI: 10.1016/j.stem.2017.07.010
- 11. Кашлакова А.И., Бидерман Б.В., Паровичникова Е.Н. Клональное кроветворение и острые миелоидные лейкозы. Онкогематология 2023;18(3):92—101.

  DOI: 10.17650/1818-8346-2023-18-3-92-101

  Kashlakova A.I., Biderman B.V., Parovichnikova E.N. Clonal hematopoiesis and acute myeloid leukemias. Onkogematologiya = Oncogematology 2023;18(3):92—101. (In Russ.).

  DOI: 10.17650/1818-8346-2023-18-3-92-101
- Tan H.S.V., Jiang H., Wang S.S.Y. Biomarkers in clonal haematopoiesis of indeterminate potential (CHIP) linking cardiovascular diseases, myeloid neoplasms and inflammation.

- Ann Hematol 2025;104(3):1355–66. DOI: 10.1007/s00277-025-06244-x
- Heuser M., Thol F., Ganser A. Clonal hematopoiesis of indeterminate potential. Dtsch Arztebl Int 2016;113(18):317–22. DOI: 10.3238/arztebl.2016.0317
- Bick A.G., Nandakumar S.K., Fulco C.P. et al. Inherited causes of clonal haematopoiesis in 97,691 whole genomes. Nature 2020;586(7831):763–8. DOI: 10.1038/s41586-020-2819
- Loh P.R., Genovese G., Handsaker R.E. et al. Insights into clonal haematopoiesis from 8,342 mosaic chromosomal alterations. Nature 2018;559(7714):350–5.
   DOI: 10.1038/s41586-018-0321-x
- Loh P.R., Genovese G., McCarroll S.A. Monogenic and polygenic inheritance become instruments for clonal selection. Nature 2020;584(7819):136–141. DOI: 10.1038/s41586-020-2430-6
- Niroula A., Sekar A., Murakami M.A. et al. Distinction of lymphoid and myeloid clonal hematopoiesis. Nat Med 2021;27(11):1921–7. DOI: 10.1038/s41591-021-01521-4
- 18. Fulop T., Witkowski J.M., Olivieri F. et al. The integration of inflammaging in age related diseases. Semin Immunol 2018;40:17–35. DOI: 10.1016/j.smim.2018.09.003
- Брюховецкий А.С, Брюховецкий И.С. Постгеномная теория старения человека и научное обоснование применения маломанипулированных биомедицинских клеточных препаратов аутологичного костного мозга для антистарения, увеличения продолжительности жизни и долголетия человека. Научный обозреватель 2020;8(116):33—57.
   Bryukhovetsky A.S., Bryukhovetsky I.S. The postgenomic theory
  - of human aging and the scientific justification for the use of low-manipulated biomedical cellular preparations of autologous bone marrow for anti-aging, increasing human life expectancy and longevity. Nauchnyj obozrevatel' = Scientific Observer 2020;8(116):33–57. (In Russ.).
- Ktena Y.P., Koldobskiy M.A., Barbato M.I. et al. Donor T cell DNMT3a regulates alloreactivity in mouse models of hematopoietic stem cell transplantation. J Clin Invest 2022;132(13):e158047.
   DOI: 10.1172/JCI158047
- 21. Jakobsen N.A., Turkalj S., Zeng A.G.X. et al. Selective advantage of mutant stem cells in human clonal hematopoiesis is associated with attenuated response to inflammation and aging. Cell Stem Cell 2024;31(8):1127–44.e1117. DOI: 10.1016/j.stem.2024.05.010
- 22. Winter S., Gotze K.S., Hecker J.S. et al. Clonal hematopoiesis and its impact on the aging osteo-hematopoietic niche. Leukemia 2024;38(5): 936–46. DOI: 10.1038/s41375-024-02226-6

- 23. SanMiguel J.M., Young K., Trowbridge J.J. Hand in hand: intrinsic and extrinsic drivers of aging and clonal hematopoiesis. Exp Hematol 2020;91:1-9. DOI: 10.1016/j.exphem.2020.09.197
- 24. Fabre M.A., de Almeida J.G., Fiorillo E. et al. The longitudinal dynamics and natural history of clonal haematopoiesis. Nature 2022;606(7913):335-42. DOI: 10.1038/s41586-022-04785-z
- 25. Van Zeventer I.A., de Graaf A.O., Salzbrunn J.B. et al. Evolutionary landscape of clonal hematopoiesis in 3,359 individuals from the general population. Cancer Cell 2023;41(6):1017-31.e4. DOI: 10.1016/j.ccell.2023.04.006
- 26. Jaiswal S., Ebert B.L. Clonal hematopoiesis in human aging and disease. Science 2019;366(6465):eaan4673. DOI: 10.1126/science.aan4673
- 27. Jakubek Y.A., Reiner A.P., Honigberg M.C. Risk Factors for clonal hematopoiesis of indeterminate potential and mosaic chromosomal alterations. Transl Res 2023;255:171-80. DOI: 10.1016/j.trsl.2022.11.009
- 28. Kusne Y., Xie Z., Patnaik M.M. Clonal hematopoiesis: Molecular and clinical implications. Leuk Res 2022;113:106787. DOI: 10.1016/j.leukres.2022.106787
- 29. Петинати Н.А., Дризе Н.И. Клональное кроветворение и его роль в развитии гематологических заболеваний. Гематология и трансфузиология 2021;66(4):580-92. DOI: 10.35754/0234-5730-2021-66-4-580-592 Petinati N.A., Drize N.I. Clonal hematopoiesis and its role in the development of hematological diseases. Gematologiva i transfuziologiya = Hematology and Transfusiology 2021:66(4): 580-92. (In Russ.). DOI: 10.35754/0234-5730-2021-66-4-580-592
- 30. Jaiswal S., Natarajan P., Silver A. et al. Clonal hematopoiesis and risk of atherosclerotic cardiovascular disease. New Engl J Med 2017;377(2):111-21. DOI: 10.1056/ nejmoa1701719
- 31. Gondek L.P. CHIP: is clonal hematopoiesis a surrogate for aging and other disease? Hematol Amer Soc Hematol Educ Program 2021;2021(1):384-9. DOI: 10.1182/hematology.2021000270
- 32. Goldman E.A., Spellman P.T., Agarwal A. Defining clonal hematopoiesis of indeterminate potential: evolutionary dynamics and detection under aging and inflammation. Cold Spring Harb Mol Case Stud 2023;9(2):a006251. DOI: 10.1101/mcs.a006251
- 33. Greaves M., Maley C.C. Clonal evolution in cancer. Nature 2012;481(7381):306-13. DOI: 10.1038/nature10762
- 34. Takeshima H., Ushijima T. Accumulation of genetic and epigenetic alterations in normal cells and cancer risk. NPJ Precis Oncol 2019;3:7. DOI: 10.1038/s41698-019-0079-0
- 35. Florez M.A., Tran B.T., Wathan T.K. et al. Clonal hematopoiesis: Mutation-specific adaptation to environmental change. Cell Stem Cell 2022;29(6):882-904. DOI: 10.1016/j.stem.2022.05.006
- 36. Busque L., Mio R., Mattioli J. et al. Nonrandom X-inactivation patterns in normal females: lyonization ratios vary with age. Blood 1996;88(1):59-65.
- 37. Quiros P.M., Vassiliou G.S. Genetic predisposition to clonal hematopoiesis. Hemasphere 2023;7(9):e947. DOI: 10.1097/HS9.00000000000000947
- 38. Vijg J., Dong X. Pathogenic mechanisms of somatic mutation and genome mosaicism in aging. Cell 2020;182(1):12-23. DOI: 10.1016/j.cell.2020.06.024
- 39. Joo L., Bradley C.C., Lin S.H. et al. Causes of clonal hematopoiesis: a review. Curr Oncol Rep 2023;25(3):211-20. DOI: 10.1007/s11912-023-01362-z
- 40. McKerrell T., Park N., Moreno T. et al. Leukemia associated somatic mutations drive distinct patterns of age-related clonal hemopoiesis. Cell Rep 2015;10(8):1239-45. DOI: 10.1016/j.celrep.2015.02.005
- 41. Kessler M.D., Damask A., O'Keeffe S. et al. Common and rare variant associations with clonal haematopoiesis phenotypes. Nature 2022;612(7939):301-9. DOI: 10.1038/s41586-022-05448-9
- 42. Travaglini S., Marinoni M., Visconte V. et al. Therapy-related myeloid neoplasm: Biology and mechanistic aspects of malignant

- progression. Biomedicines 2024;12(5):1054. DOI: 10.3390/biomedicines12051054
- 43. Desai P., Mencia-Trinchant N., Savenkov O. et al. Somatic mutations precede acute myeloid leukemia years before diagnosis. Nat Med 2018;24(7):1015-23. DOI: 10.1038/s41591-018-0081
- 44. Abelson S., Collord G., Weissbrod O. et al. Prediction of acute myeloid leukaemia risk in healthy individuals. Nature 2018;559(7714):400-4. DOI: 10.1038/s41586-018-0317-6
- 45. Kishtagari A., Khan M.A.W., Li Y. et al. Driver mutation zvgosity is a critical factor in predicting clonal hematopoiesis transformation risk. Blood Cancer J 2024;14(1):6. DOI: 10.1038/s41408-023-00974-9
- 46. Bowman R.L., Busque L., Levine R.L. Clonal hematopoiesis and evolution to hematopoietic malignancies. Cell Stem Cell 2018;22(2):157-70. DOI: 10.1016/j.stem.2018.01.011
- 47. Kar S.P., Quiros P.M., Gu M. et al. Genome-wide analyses of 200,453 individuals yield new insights into the causes and consequences of clonal hematopoiesis. Nat Genet 2022;54(8):1155-66. DOI: 10.1038/s41588-022-01121-z
- 48. Von Beck K., von Beck T., Ferrell Jr.P.B. et al. Lymphoid clonal hematopoiesis: Implications for malignancy, immunity, and treatment. Blood Cancer J 2023:13(1):5. DOI: 10.1038/s41408 -022-00773-8
- 49. Buttigieg M.M., Rauh M.J. Clonal hematopoiesis: Updates and implications at the solid tumor-immune interface. JCO Precis Oncol 2023;7:e2300132. DOI: 10.1200/PO.23.00132
- 50. Bolton K.L., Ptashkin R.N., Gao T. et al. Cancer therapy shapes the fitness landscape of clonal hematopoiesis. Nat Genet 2020;52(11):1219-26. DOI: 10.1038/s41588-020-00710-0
- 51. Pich O., Reyes-Salazar I., Gonzalez-Perez A. et al. Discovering the drivers of clonal hematopoiesis. Nat Commun 2022;13(1):4267. DOI: 10.1038/s41467-022-31878-0
- 52. Nguyen Y.T.M, Fujisawa M., Ishikawa S. et al. Clonal hematopoiesis and solid cancers. Cancer Sci 2025;116(8):2055-63. DOI: 10.1111/cas.70097
- 53. Yun J.K., Kim S., An H. et al. Pre-operative clonal hematopoiesis is related to adverse outcome in lung cancer after adjuvant therapy. Genome Med 2023;15(10):111. DOI: 10.1186/s13073-023-01266-4
- 54. Levin M.G., Nakao T., Zekavat S.M. et al. Genetics of smoking and risk of clonal hematopoiesis. Sci Rep 2022;12(1):7248. DOI: 10.1038/s41598-022-09604-z
- 55. Hosoya N., Miyagawa K. Implications of the germline variants of DNA damage response genes detected by cancer precision medicine for radiological risk communication and cancer therapy decisions. J Radiat Res 2021:62(1):i44-52. DOI: 10.1093/jrr/rrab009
- 56. Tian R., Wiley B., Liu J. et al. Clonal hematopoiesis and risk of incident lung cancer. J Clin Oncol 2023;41(7):1423-33. DOI: 10.1200/JCO.22.00857
- 57. Zhang Y., Yao Y., Xu Y. et al. Pan-cancer circulating tumor DNA detection in over 10,000 Chinese patients. Nat Commun 2021;12(1):11. DOI: 10.1038/s41467-020-20162-8
- 58. Diplas B.H., Ptashkin R., Chou J.F. et al. Clinical importance of clonal hematopoiesis in metastatic gastrointestinal tract cancers. JAMA Netw Open 2023;6(2):e2254221. DOI: 10.1001/jamanetworkopen.2022.54221
- 59. Xu E., Su K., Zhou Y. et al. Comprehensive landscape and interference of clonal haematopoiesis mutations for liquid biopsy: a Chinese pan-cancer cohort. J Cell Mol Med 2021;25(21):10279-90. DOI: 10.1111/jcmm. 16966
- 60. Hong W., Li A., Liu Y. et al. Clonal hematopoiesis mutations in patients with lung cancer are associated with lung cancer risk factors. Cancer Res 2022;82(2):199-209. DOI: 10.1158/0008-5472.CAN-21-1903
- 61. Weber-Lassalle K., Ernst C., Reuss A. et al. Clonal hematopoiesisassociated gene mutations in a clinical cohort of 448 patients with ovarian cancer. J Natl Cancer Inst 2021;114(4):565-70. DOI: 10.1093/jnci/djab231

- Boucai L., Ptashkin R.N., Levine R.L. et al. Effects of radioactive iodine on clonal hematopoiesis in patients with thyroid cancer: a prospective study. Clin Endocrinol 2023;99(1):122–9. DOI: 10.1111/cen.14925
- Tiedje V., Vela P.S., Yang J.L. et al. Targetable treatment resistance in thyroid cancer with clonal hematopoiesis. bioRxiv 2024:2024.10.10.617685. DOI: 10.1101/2024.10.10.617685
- 64. Baranwal A., Hahn C.N., Shah M.V. et al. Role of germline predisposition to therapy-related myeloid neoplasms. Curr Hematol Malig Rep 2022;17(6):254–65. DOI: 10.1007/s11899-022-00676-2
- 65. Wong T.N., Ramsingh G., Young A.L. et al. The role of TP53 mutations in the origin and evolution of therapy-related AML. Nature 2014;518(7540):552–5. DOI: 10.1038/nature13968
- Voso M.T., Falconi G., Fabiani E. What's new in the pathogenesis and treatment of therapy-related myeloid neoplasms. Blood 2021;138(9):749-57. DOI: 10.1182/blood.2021010764
- Franco S., Godley L.A. Genetic and environmental risks for clonal hematopoiesis and cancer. J Exp Med 2025;6;222(1):e20230931.
   DOI: 10.1084/jem.20230931

- Swanton C., Bernard E., Abbosh C. et al. Embracing cancer complexity: Hallmarks of systemic disease. Cell 2024;187(7): 1589–616. DOI: 10.1016/j.cell.2024.02.009
- 69. Park M.D., Le Berichel J., Hamon P. et al. Hematopoietic aging promotes cancer by fueling IL-1α-driven emergency myelopoiesis. Science 2024;386(6720):eadn0327. DOI: 10.1126/science.adn0327
- Pich O., Bernard E., Zagorulya M. et al. Tumor-infiltrating clonal hematopoiesis. N Engl J Med 2025;392(16):1594–608.
   DOI: 10.1056/NEJMoa2413361
- Ptashkin R.N., Mandelker D.L., Coombs C.C. et al. Prevalence of clonal hematopoiesis mutations in tumor-only clinical genomic profiling of solid tumors. JAMA Oncol 2018;4(11):1589–93.
   DOI: 10.1001/jamaoncol.2018.2297
- Kleppe M., Comen E., Wen H.Y. et al. Somatic mutations in leukocytes infiltrating primary breast cancers. NPJ Breast Cancer 2015;1:15005. DOI: 10.1038/npjbcancer.2015.5
- Coombs C.C., Gillis N.K., Tan X. et al. Identification of clonal hematopoiesis mutations in solid tumor patients undergoing unpaired next-generation sequencing assays. Clin Cancer Res 2018;24(23):5918–24. DOI: 10.1158/1078-0432.ccr-18-1201

#### Вклад авторов

В.Е. Шевченко: проведение системного анализа полученных данных, написание текста статьи;

Т.И. Кушнир: анализ данных литературы;

М.В. Гудкова: систематизация данных, редактирование;

Н.Е. Арноцкая: обзор литературы по теме статьи.

**Autrors' contributions** 

V.E. Shevchenko: system analysis, article writing;

T.I. Kushnir: analysis of literature data;

 $M.V.\ Gudkova:\ data\ systematization,\ editing;$ 

N.E. Arnotskaya: literature review on the topic of the article.

#### ORCID abtopob / ORCID of authors

В.Е. Шевченко / V.E. Shevchenko: https://orcid.org/0000-0002-0401-9900

Т.И. Кушнир / Т.І. Kushnir: https://orcid.org/0000-0001-9626-6847

М.В. Гудкова / M.V. Gudkova: https://orcid.org/0000-0003-2694-5232

Н.Е. Арноцкая / N.E. Arnotskaya: https://orcid.org/0000-0002-0154-8604

Конфликт интересов. Авторы заявляют об отсутствии конфликта интересов.

 $\label{lem:conflict} \textbf{Conflict of interest.} \ \ \textbf{The authors declare no conflict of interest.}$ 

Финансирование. Работа выполнена в рамках бюджетного проекта по теме «Разработка тест-системы для оценки и последующей коррекции статуса ферроптоза в гемопоэтических стволовых клетках стареющего организма человека» (проект № 2025-5).

**Funding.** The work was carried out within the framework of the budget project on the topic "Development of a test system for the assessment and subsequent correction of the ferroptosis status in hematopoietic stem cells of the aging human body" (project No. 2025-5).

**DOI:** https://doi.org/10.17650/2313-805X-2025-12-3-36-45



# Модели сарком мягких тканей *in vitro*: фундаментальные и клинические аспекты

У.А. Бокова, М.С. Третьякова, П.К. Козлова, А.А. Коробейникова, М.Е. Меняйло, Т.С. Геращенко, Е.В. Денисов

Научно-исследовательский институт онкологии ФГБНУ «Томский национальный исследовательский медицинский центр Российской академии наук»; Россия, 634009 Томск, пер. Кооперативный, 5

Контакты: Устинья Анатольевна Бокова pushkay@yandex.ru

Диагностика и подбор эффективной терапии сарком мягких тканей (СМТ) затруднены в связи с низкой распространенностью и значительной гистологической вариабельностью данных опухолей. Развитие молекулярно-генетических методов тестирования направлено на улучшение дифференциальной диагностики различных типов СМТ и поиск генетических нарушений, которые могут являться потенциальными мишенями для терапии. Разработка эффективных методов лечения требует адекватных доклинических моделей, способных воспроизводить биологические особенности опухолей.

В статье представлены молекулярно-генетические методы тестирования для диагностики и терапии СМТ, достижения в получении моделей *in vitro* СМТ, проблемы их использования в доклинических исследованиях, а также перспективы использования первичных клеточных линий для персонализированного лечения.

**Ключевые слова:** модели *in vitro*, мультигенная панель, саркомы мягких тканей, первичная культура, таргетная терапия

**Для цитирования:** Бокова У.А., Третьякова М.С., Козлова П.К. и др. Модели сарком мягких тканей *in vitro*: фундаментальные и клинические аспекты. Успехи молекулярной онкологии 2025;12(3):36–45. DOI: https://doi.org/10.17650/2313-805X-2025-12-3-36-45

#### In vitro models of soft tissue sarcomas: basic and clinical aspects

U.A. Bokova, M.S. Tretyakova, P.K. Kozlova, A.A. Korobeynikova, M.E. Menyailo, T.S. Gerashchenko, E.V. Denisov

Cancer Research Institute, Tomsk National Research Medical Center of the Russian Academy of Sciences; 5 Kooperativny Line, Tomsk 634009, Russia

**Contacts**: Ustinya Anatolyevna Bokova *pushkay@yandex.ru* 

Diagnosis and selection of effective therapy of soft tissue sarcomas (STS) are complicated by low incidence and significant histological variability of these tumors. Development of molecular and genetic testing methods is aimed at improving differential diagnosis of different types of STS and identification of genetic abnormalities which can potentially serve as targets for therapy. Development of effective treatment methods requires adequate preclinical models capable of recreating biological features of the tumors.

The article presents molecular and genetic testing methods for STS diagnosis and therapy, advances in *in vitro* STS models, problems with their use in preclinical studies, as well as possibilities of using primary cell cultures for personalized treatment.

**Keywords:** in vitro model, multigenic panel, soft tissue sarcomas, primary culture, targeted therapy

**For citation:** Bokova U.A., Tretyakova M.S., Kozlova P.K. et al. *In vitro* models of soft tissue sarcomas: basic and clinical aspects. Uspekhi molekulyarnoy onkologii = Advances in Molecular Oncology 2025;12(3):36–45. (In Russ.). DOI: https://doi.org/10.17650/2313-805X-2025-12-3-36-45

#### **ВВЕДЕНИЕ**

Саркомы мягких тканей (СМТ) — гетерогенная группа злокачественных новообразований мезенхимального происхождения, составляющая 1 % всех солидных опухолей. Она включает более 100 гистологических и молекулярных подтипов, наиболее распространенными из которых являются липосаркомы, лейомиосаркомы и синовиальные саркомы [1]. СМТ отличаются агрессивным течением, высокой склонностью к рецидивированию и резистентностью к терапии, поэтому лечение данной патологии представляет большие сложности.

Основные трудности, связанные с дифференциальной диагностикой и выбором стратегии лечения СМТ, обусловлены редкой встречаемостью опухолей данного типа и их значительным гистологическим разнообразием. Большой прорыв в понимании биологии формирования СМТ удалось достигнуть благодаря применению высокоинформативных молекулярногенетических методов тестирования. Наиболее перспективным диагностическим инструментом для поиска генетических нарушений считается высокопроизводительное секвенирование, которое является надежной вспомогательной технологией для врачейпатологов и позволяет повысить точность диагностики в сложных и редких случаях сарком.

Поиск генетических аберраций, лежащих в основе формирования заболевания, является ключом для оптимизации молекулярной классификации и диагностики сарком, однако выбор эффективной стратегии лечения данных опухолей все еще остается серьезной проблемой. Успешное внедрение в клиническую практику новых таргетных и иммунотерапевтических подходов, а также схем химио- и лучевой терапии (ЛТ) осложняется дефицитом адекватных доклинических моделей, способных полноценно отражать молекулярные и гистологические особенности различных подтипов СМТ. В связи с этим получение клеточных линий СМТ имеет большое значение для изучения патогенеза заболевания, определения чувствительности и резистентности к терапевтическим воздействиям, разработки персонализированной терапии и поиска новых стратегий лечения данной патологии [2].

Несмотря на то что клеточные линии остаются «золотым стандартом» для доклинических исследований *in vitro*, выбор моделей для СМТ ограничен: лишь 2 % доступных клеточных линий относятся к данному виду опухолей [3]. При этом существующие культуры не отражают полного разнообразия данной группы опухолей, поскольку представлены наиболее распространенными подтипами и практически не включают редкие формы СМТ.

#### МОЛЕКУЛЯРНО-ГЕНЕТИЧЕСКАЯ ДИАГНОСТИКА САРКОМ МЯГКИХ ТКАНЕЙ

В основе патогенеза СМТ лежат генетические нарушения. Среди драйверных нарушений, специфичных для сарком, наиболее распространенными являются

хромосомные перестройки, приводящие к возникновению химерных генов, или слияниям генов [4, 5]. В настоящее время диагностика данных опухолей проводится с использованием молекулярно-генетических методов, таких как полимеразная цепная реакция (ПЦР), иммунофлуоресценция, флуоресцентная гибридизация *in situ* (fluorescence *in situ* hybridization, FISH) и секвенирование нового поколения (next generation sequencing, NGS). С помощью этих методов можно диагностировать различные подтипы СМТ, такие как синовиальная саркома, рабдомиосаркома, липосаркома, светлоклеточная саркома мягких тканей и т. д. [6—10].

В связи с высокой степенью морфологической и генетической гетерогенности установление клинического диагноза «саркомы» на основании результатов гистологического исследования является сложной и многогранной задачей. Одним из наиболее эффективных подходов к повышению точности диагностики СМТ и корректного назначения терапии является таргетное NGS с использованием мультигенных панелей [11]. Этот метод молекулярно-генетического тестирования помогает провести дифференциальную диагностику СМТ, а также выявить клинически значимые мутации, что в ряде случаев приводит к корректировке лечения и улучшению клинического ответа [12, 13]. Согласно экспериментальным данным, использование для выявления генетических нарушений таргетного NGS в сочетании с другими методами в 26,4 % случаев приводит к пересмотру или уточнению диагноза, чаще всего в случае сарком Юинга и липосарком, и в 10,9 % случаев – к изменениям стратегии лечения [6].

В клинической практике ведущих онкологических центров широкое распространение получили мультигенные панели, нацеленные на поиск слияния генов, точечных мутаций, инсерций и делеций и изменения числа копий генов для диагностики липосарком, синовиальных сарком, рабдомиосарком и других подтипов СМТ. Наибольшую известность получили панели YuanSu 450 (OrigiMed, Китай), FoundationOne Heme (Foundation Medicine, США) и UW-OncoPlex (Вашингтонский университет, США), позволяющие не только установить точный диагноз, но и подобрать персонализированную терапию для пациентов с различными подтипами СМТ (табл. 1).

Кроме того, поскольку наиболее часто диагностируемыми нарушениями при саркомах являются слияния генов, существуют панели, основанные только на детекции специфических химерных транскриптов [4, 6].

Использование мультигенных панелей для таргетного NGS предоставляет оптимальный объем информации для точной клинической интерпретации заболевания [14]. Однако разработка персонализированных подходов к терапии сарком требует проведения функциональных исследований на релевантных клеточных моделях, наилучшим образом повторяющих биологические особенности опухолей. Именно поэтому создание стабильных клеточных линий СМТ является ключевым

**Таблица 1.** Характеристика панелей для секвенирования нового поколения, использующихся для диагностики сарком мягких тканей Table 1. Characteristics of next-generation sequencing panels used for diagnosis of soft tissue sarcomas

Панель Panel	Подтип сарком мягких тканей Soft tissue sarcoma subtype	<b>Количест- во генов</b> Number of genes	Тип мутаций Mutation type	Чувстви- тель- ность, % Sensitivity, %	Источ- ник Source
YuanSu 450	Липосаркома, лейомиосаркома, миксофибросаркома, синовиальная саркома, рабдомиосаркома, ангиосаркома, недифференцированная плеоморфная саркома, инфантильная фибросаркома, светлоклеточная саркома  Liposarcoma, leiomyosarcoma, myxofibrosarcoma, synovial sarcoma, rhabdomyosarcoma, undifferentiated pleiomorphic sarcoma, infantile fibrosarcoma, clear cell sarcoma	450	Однонуклеотидные	95,5–99,7	[12, 15]
FoundationOne Heme	Синовиальная саркома, липосаркома, светлоклеточная саркома, рабдомиосаркома, ангиосаркома, липосаркома, лейомиосаркома, миксофибросаркома  Synovial sarcoma, liposarcoma, clear cell sarcoma, rhabdomyosarcoma, angiosarcoma, leiomyosarcoma, mixofibrosarcoma	593	варианты, инделы, амплификации генов, слияния генов Single nucleotide variants, indels, gene amplification, gene fusion	95–99	[10, 16, 17]
UW-OncoPlex	Лейомиосаркома, липосаркома, светлоклеточная саркома, ангиосаркома, склерозирующая эпителиоидная фибросаркома Leiomyosarcoma, liposarcoma, clear cell sarcoma, angiosarcoma, sclerosing epithelioid fibrosarcoma	430		99,2	[18, 19]

этапом фундаментальных исследований и трансляционной онкологии.

#### ПОЛУЧЕНИЕ ПЕРВИЧНЫХ КЛЕТОЧНЫХ ЛИНИЙ САРКОМ МЯГКИХ ТКАНЕЙ

За последние 100 лет получено более 800 клеточных линий сарком костей и СМТ [20]. Тем не менее большая часть линий недостаточно охарактеризована и малодоступна для научного сообщества. Так, некоторые гистологические подтипы, такие как низкозлокачественная миофибробластическая саркома, инфантильная фибросаркома, склерозирующая эпителиоидная фибросаркома и другие, не представлены в биобанке в связи со сложностью получения стабильных клеточных культур, что вызывает трудности при проведении фундаментальных и доклинических исследований [20].

Традиционно токсичность и чувствительность к препаратам оцениваются на адгезионных клеточных линиях [21]. В 1970-х годах разработан метод культивирования опухолевых клеток в виде сфероидов (3D-модели), который обеспечивает большее межклеточное взаимодействие, чем монослойная культура [22]. Сфероиды СМТ являются более химио- и радиорезистентными, чем клетки, растущие в виде монослоя, и отличаются по степени клеточной дифференцировки и пролиферации [23]. Так, наблюдаются различия

в пролиферации клеток сфероида и адгезивной линии липосаркомы при терапевтическом действии эрибулина: пролиферация снижена в 2D-моделях в 4 из 7 клеточных линий [21]. Оптимальным инструментом для определения эффективности химиотерапевтических препаратов, ЛТ и иммунотерапии являются именно 3D-культуры, поскольку клетки, формирующие сфероиды, лучше моделируют ситуацию *in vivo*, чем 2D-модели [24]. Для СМТ разработаны 3D-модели [23, 25, 26], однако большинство клеточных линий продолжают культивировать стандартным методом [27—29].

Клеточные линии СМТ получают посредством посева клеток из плеврального выпота, клеточной суспензии опухолевого материала и из экспланта или ксенотрансплантата (рис. 1) [29—32]. Каждый подход характеризуется разным процентом выхода жизнеспособных клеток, что влияет на стабильность первичной линии. Например, при получении клеточной суспензии с использованием либеразы содержание жизнеспособных клеток опухоли составляет 30,2 %, а с использованием смеси из коллагеназы и гиалуронидазы — 84,9 % [33].

Чаще всего стабильные культуры получаются из плеоморфной саркомы [34—37]. Так, линия ЈВТ19, выделенная из первичной опухоли недифференцированной плеоморфной саркомы, культивировалась

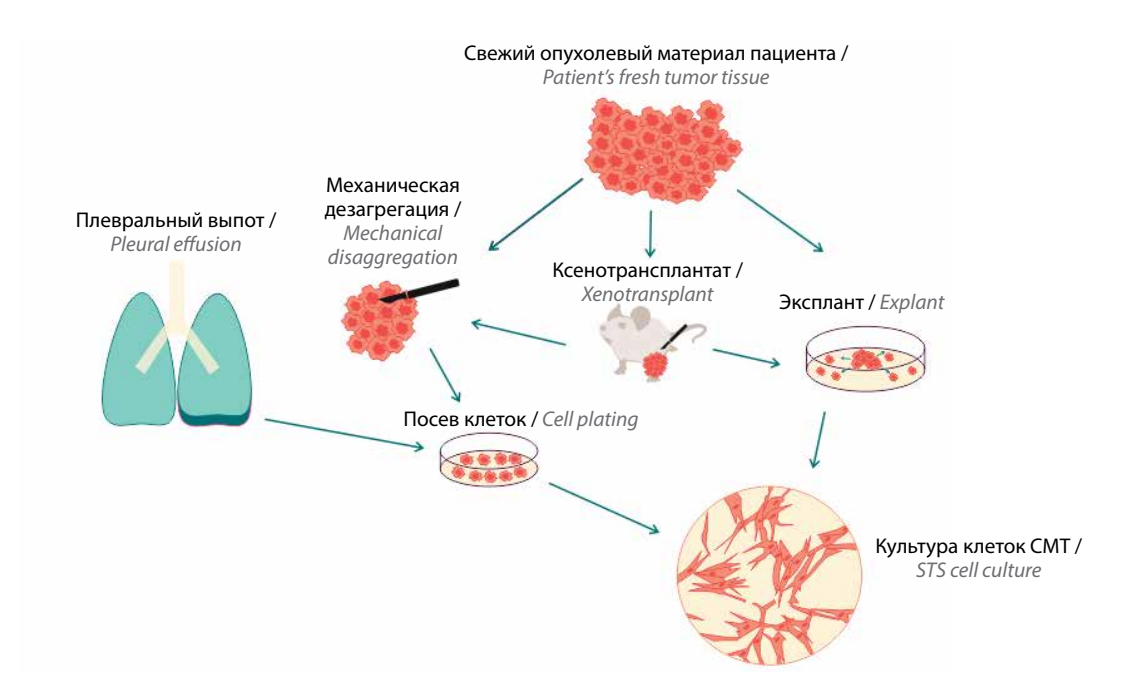


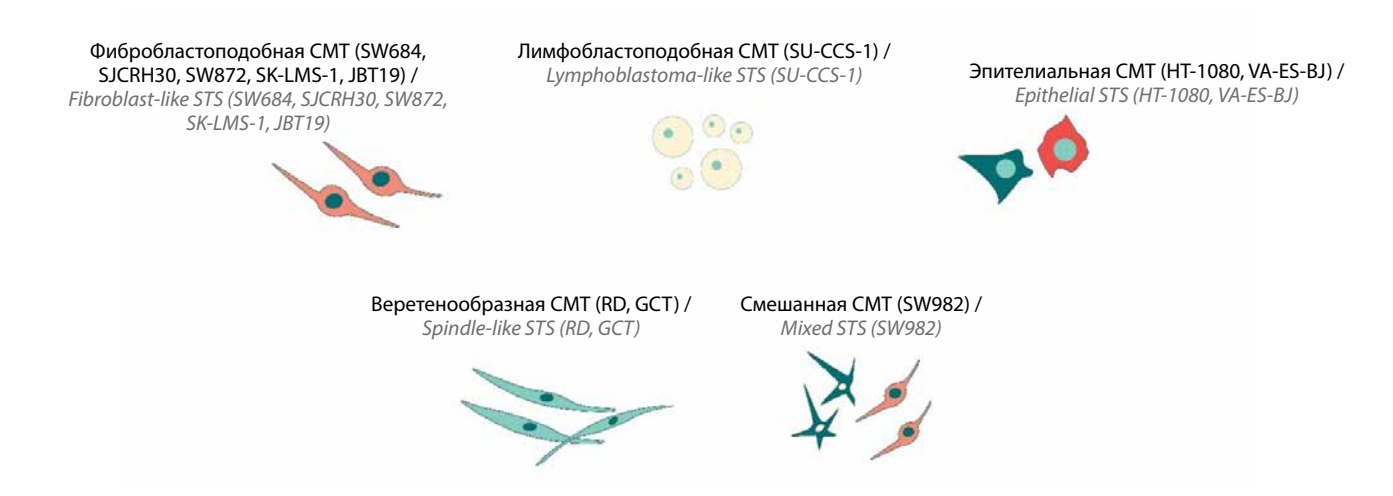
Рис. 1. Методы получения клеточных линий сарком мягких тканей (СМТ)

Fig. 1. Techniques for obtaining soft tissue sarcoma (STS) cell lines

в адгезивных условиях более 30 мес. Для клеток ЈВТ19 характерны фибробластоподобная морфология и высокая степень пролиферации [28]. Тем не менее стабильные клеточные культуры описаны и для других подтипов сарком. Получены культуры липосарком, характеризующиеся мелкими полигональными клетками, и линии синовиальной саркомы, включающие как удлиненные, так и полигональные клетки. Для миксофибросаркомы характерны фибробластоподобные клетки, а культуры альвеолярной саркомы состоят из мелких звездчатых клеток [27]. Все описанные линии стабильны в течение нескольких месяцев и различаются чувствительностью к гемцитабину и цисплатину, что говорит о разном ответе на стандартные схе-

мы лечения СМТ и предоставляет возможность для разработки персонализированной терапии.

В международном некоммерческом банке клеточных культур American Type Culture Collection (ATCC) представлены иммортализованные клеточные линии СМТ, полученные из опухоли синовиальной саркомы (SW982), фибросаркомы (SW684, HT-1080), рабдомиосаркомы (RD, SJCRH30), липосаркомы (SW872), лейомиосаркомы (SK-LMS-1), недифференцированной плеоморфной саркомы (фиброзной гистиоцитомы) (GCT), эпителиоидной саркомы (VA-ES-BJ) и светлоклеточной саркомы (SU-CCS-1) (рис. 2). Характеристика клеточных линий СМТ приведена в табл. 2.



**Puc. 2.** Морфология клеточных линий сарком мягких тканей (CMT) Fig. 2. Morphology of soft tissue sarcoma (STS) cell lines

**Таблица 2.** Основные клеточные линии сарком мягких тканей (CMT) (по данным American Type Culture Collection, ATCC)

 Table 2. Main soft tissue sarcoma (STS) cell lines (per data from the American Type Culture Collection, ATCC)

Клеточная линия Cell line	Подтип сарком Sarcoma subtype	Тип клеточной культуры Cell line type	<b>Морфология</b> Могрhology	<b>Генотипическая характеристика</b> Genotype characteristics	Источник Source
SW982	Синовиальная саркома Synovial sarcoma	<b>А</b> дгезивный Adherent	<b>Смешанная</b> Mixed	Делеция <i>MPDZ</i> , мутация <i>BRAF</i> p.Val600Glu (c.1799T>A)  MPDZ deletion, <i>BRAF</i> mutation p.Val600Glu (c.1799T>A)	[38, 39]
SW684	Фибросаркома Fibrosarcoma	<b>А</b> дгезивный Adherent	Фибробластопо- добная Fibroblast-like	Мугации <i>ERBB4</i> p.Glu452Lys (c.1354G>A), <i>TP53</i> p.Arg213Ter (c.637C>T) <i>ERBB4</i> mutation p.Glu452Lys (c.1354G>A), <i>TP53</i> mutation p.Arg213Ter (c.637C>T)	[38, 39]
HT-1080	Фибросаркома Fibrosarcoma	<b>А</b> дгезивный Adherent	Эпителиальная Epithelial	Делеция <i>CDKN2A</i> , мутации <i>IDH1</i> p.Arg132Cys (c.394C>T), <i>NRAS</i> p.Gln61Lys (c.181C>A) <i>CDKN2A</i> deletion, <i>IDH1</i> mutation p.Arg132Cys (c.394C>T), <i>NRAS</i> mutation p.Gln61Lys (c.181C>A)	[38, 39]
RD	Рабдомио- саркома Rhabdomyosarcoma	<b>А</b> дгезивный Adherent	Веретенообразная, присутствуют многоядерные крупные клетки Spindle-like with multinucleate cells	Myтации <i>NRAS</i> p.Gln61His (c.183A>T), <i>TP53</i> p.Arg248Trp (c.742C>T) <i>NRAS</i> mutation p.Gln61His (c.183A>T), <i>TP53</i> mutation p.Arg248Trp (c.742C>T)	[38, 39]
SJCRH30	Рабдомио- саркома Rhabdomyosarcoma	<b>А</b> дгезивный Adherent	Фибробластопо- добная Fibroblast-like	Слияние генов <i>PAX3—FOXO1</i> , <i>PAX3—FKHR</i> , мутации <i>RARA</i> p. Pro9Leu (c.26C>T), <i>TP53</i> p. Tyr205Cys (c.614A>G), <i>TP53</i> p.Arg273Cys (c.817C>T), <i>TP53</i> p.Arg280Ser (c.840A>T) <i>PAX3—FOXO1</i> , <i>PAX3—FKHR</i> gene fusion, <i>RARA</i> mutation p. Pro9Leu (c.26C>T), <i>TP53</i> mutation p. Tyr205Cys (c.614A>G), <i>TP53</i> mutation p. Arg273Cys (c.817C>T), <i>TP53</i> mutation p. Arg273Cys (c.817C>T), <i>TP53</i> mutation p. Arg280Ser (c.840A>T)	[38, 39]
SW872	Липосаркома Liposarcoma	<b>А</b> дгезивный Adherent	Фибробластопо- добная Fibroblast-like	Делеция <i>PTEN</i> , мутации <i>BRAF</i> p.Val600Glu (c.1799T>A), <i>CDKN2A</i> p.Arg80Ter (c.237_238CC>TT), (c.237_238delinsTT), (p.Pro94Leu, c.280_281CC>TT), <i>TP53</i> p.Ile251Asn (c.752T>A) <i>PTEN</i> deletion, <i>BRAF</i> mutation p.Val600Glu (c.1799T>A), <i>CDKN2A</i> mutations p.Arg80Ter (c.237_238CC>TT), (c.237_238delinsTT), (p.Pro94Leu, c.280_281CC>TT), <i>TP53</i> mutation p.Ile251Asn (c.752T>A)	[38, 39]
SK- LMS-1	Лейомиосаркома Leiomyosarcoma	<b>А</b> дгезивный Adherent	Фибробластопо- добная Fibroblast-like	Мутации <i>TP53</i> p.Met237Lys (c.710T>A), <i>TP53</i> p.Gly245Ser (c.733G>A) <i>TP53</i> mutation p.Met237Lys (c.710T>A), <i>TP53</i> mutation p.Gly245Ser (c.733G>A)	[38, 39]

#### Окончание табл. 2

End of table 2

Клеточная линия Cell line	Подтип сарком Sarcoma subtype	Тип клеточной культуры Cell line type	<b>Морфология</b> Morphology	Генотипическая характеристика Genotype characteristics	Источник Source
GCT	Недифференцированная плеоморфная саркома (фиброзная гистиоцитома) Undifferentiated pleomorphic sarcoma (fibrous histiocytoma)	<b>А</b> дгезивный Adherent	<b>Веретенообразная</b> Spindle-like	Мутации <i>BRAF p</i> .Val600Glu (c.1799T>A), <i>CDKN2A</i> p.Leu32Arg (c.95_96TG>GT), <i>TP53</i> p.Arg248Trp (c.742C>T), <i>TP53</i> p.Gln317Ter (c.948_949delinsTT), (c.948_949CC>TT) <i>BRAF</i> mutation p.Val600Glu (c.1799T>A), <i>CDKN2A</i> mutation p.Leu32Arg (c.95_96TG>GT), <i>TP53</i> mutation p.Arg248Trp (c.742C>T), <i>TP53</i> mutation p.Gln317Ter (c.948_949delinsTT), (c.948_949CC>TT)	[38, 39]
VA-ES-BJ	Эпителиоидная capкома Epithelioid sarcoma	Адгезивный Adherent	Эпителиальная Epithelial	Mутация NF2 p.Ser87Ter (c.260C>A) NF2 mutation p.Ser87Ter (c.260C>A)	[38, 39]
SU-CCS-1	Светлоклеточная саркома Clear cell sarcoma	Суспен- зионный Suspension	Лимфобластная Lymphoblastic	Слияние генов <i>EWSR1—ATF1</i> , <i>EWS—ATF EWSR1—ATF1</i> , <i>EWS—ATF</i> gene fusion	[38, 39]

Таким образом, первичные опухолевые линии сохраняют основные гистологические и генетические характеристики опухолей и остаются стабильными на протяжении нескольких пассажей, что дает возможность их использования при разработке новых маркеров, мишеней и стратегий лечения. Однако, несмотря на значительный прогресс в создании клеточных линий СМТ, существующий арсенал моделей остается недостаточным для комплексного изучения всех гистологических подтипов данной группы опухолей. Устранение этого пробела представляется крайне важным с учетом фундаментальной роли клеточных культур в исследованиях онкогенеза и разработке новых терапевтических стратегий.

### ПРИМЕНЕНИЕ КЛЕТОЧНЫХ МОДЕЛЕЙ В ТЕРАПИИ САРКОМ МЯГКИХ ТКАНЕЙ

На данный момент терапия СМТ ранних стадий ограничивается хирургическим вмешательством в сочетании с ЛТ в предоперационном и послеоперационном периодах [40], тогда как при заболевании поздних стадий добавляется ХТ с использованием таких препаратов, как антрациклины (в основном доксорубицин), оксазафосфорины (ифосфамид), таксаны (паклитаксел, доцетаксел), антагонисты пиримидинов (гемцитабин), алкалоиды барвинка (виндезин, винбластин, винорелбин, винкристин) и др. [41, 42]. На поздних стадиях при прогрессировании заболевания на фоне цитотоксической ХТ применяется таргетная терапия с использованием ингибиторов тирозинкиназ, таких как пазопаниб, иматиниб, регорафениб, сорафениб, сунитиниб, ленватиниб и кризотиниб [43].

Выбор химиотерапевтических препаратов 1-й и последующих линий, а также схемы ЛТ при СМТ являются сложными задачами, поскольку стандартизация лечения не представляется возможной из-за различий в эффективности одного и того же метода для разных подтипов СМТ. По данным клинических исследований, подтипы СМТ по-разному реагируют на одни и те же химиотерапевтические препараты, что, вероятно, обусловливает низкие показатели хорошего ответа на терапию: лишь у 20 и 10 % пациентов с метастатическими СМТ отмечается ответ на 1-ю и 2-ю линии химиотерапии (ХТ) соответственно [42, 44, 45]. Отсутствие алгоритмов для персонализированного подбора ХТ СМТ обусловливает ее неэффективность. В связи с этим для прогнозирования химиочувствительности проведены исследования in vitro на первичных клеточных культурах, полученных от пациентов с плеоморфной саркомой, липосаркомой, синовиальной саркомой, лейомиосаркомой и другими СМТ, и выявлена их положительная корреляция с клиническим ответом на ХТ [46].

Лучевая терапия пациентов с СМТ способствует уменьшению размера опухоли перед операцией и часто применяется для снижения риска развития окального рецидива. Эффективность ЛТ также различается при разных подтипах СМТ и требует пристального изучения [47, 48]. Так, результаты исследований, проведенных 14 клеточных линиях синовиальной саркомы, лейомиосаркомы, фибросаркомы и липосаркомы, показывали, что радиочувствительность зависит от подтипа саркомы. Доля выживших клеток после облучения в разовой очаговой дозе (РОД) 2 Гр

варьирует от 27 % (SW-982) до 76 % (SK-LMS-1), при этом радиочувствительный фенотип клеток определяется только для клеточных линий синовиальных сарком, в то время как наиболее радиорезистентными оказываются линии лейомиосарком [49]. Аналогичные результаты получены в ходе исследования *in vitro*, проведенного на клеточных 3D-моделях, полученных из операционного материала пациентов с СМТ высокой степени злокачественности. Выявлено, что первичная культура плеоморфной саркомы является более восприимчивой к облучению высокими дозами (РОД — до 16 Гр), чем культура недифференцированной плеоморфной саркомы [25].

За последние два десятилетия значительные успехи в лечении СМТ достигнуты благодаря развитию таргетной терапии. Большую роль в этом сыграли исследования лекарственной чувствительности и резистентности на клеточных линиях, полученных от пациентов с СМТ [43]. В частности, обнаружено, что 14 первичных культур СМТ с различными генетическими аберрациями проявляют чувствительность к дазатинибу — ингибитору тирозинкиназ Всг-Аbl и Srcceмейства [50]. Кроме того, результаты исследования *in vitro* показали, что хидамид (ингибитор HDAC I класса) подавляет пролиферацию клеточных линий фибросаркомы (HT-1080), лейомиосаркомы (SK-LMS-1) и липосаркомы (T778) [51].

Несмотря на то что СМТ считаются иммунологически неактивными опухолями, иммунотерапия является многообещающей терапевтической стратегией. Некоторые подтипы СМТ, такие как альвеолярная СМТ и ангиосаркома, демонстрируют ответ на такое лечение [44, 52]. Так, эффективность ответа на иммунотерапию у больных СМТ без учета подтипа составляет около 20 %, в то время как при ангиосаркоме и альвеолярной саркоме – 50 % [53]. Известно, что опухолеассоциированные макрофаги способны накапливаться в микроокружении солидных опухолей и способствовать ее росту и иммуносупрессии [26]. Высокие уровни опухолеассоциированных макрофагов являются плохим прогностическим фактором для многих опухолей, включая СМТ, поэтому препараты, нацеленные на эти клетки, могут использоваться в терапии сарком [54].

Таким образом, необходимость введения в клиническую практику новых терапевтических методов диктуется низкой эффективностью лечения СМТ. Клеточные культуры, особенно 3D-модели, представляют собой перспективный инструмент для определения чувствительности к ХТ, ЛТ и иммунотерапии СМТ. Исследование клеточных культур, полученных от пациентов с саркомами, может не только повысить эффективность терапии благодаря исключению малоэффективных схем лечения, но и способствовать разработке новых терапевтических стратегий, направленных на преодоление лекарственной резистентности.

## ПРОБЛЕМЫ ПРИМЕНЕНИЯ МОДЕЛЕЙ *IN VITRO* В ДОКЛИНИЧЕСКИХ ИССЛЕДОВАНИЯХ САРКОМ МЯГКИХ ТКАНЕЙ

Модели in vitro являются одним из наиболее распространенных инструментов в экспериментальной онкологии. Тем не менее они имеют ряд ограничений, которые в первую очередь связаны с изменением клеточного фенотипа в ходе культивирования. Так, в процессе длительного ведения клеточных линий образуется устойчивый клон, который активно пролиферирует, искажая истинные свойства материнской линии, что приводит к недостоверным результатам при оценке чувствительности и резистентности к терапии [55, 56]. Кроме того, модели *in vitro* не могут полностью смоделировать терапевтический ответ. Большинство доступных клеточных линий, используемых в настоящее время, претерпели спонтанные генетические изменения в процессе культивирования, что ставит под сомнение значимость этих клеток в точном моделировании заболевания. Например, показаны существенные различия экспрессионного профиля между коммерческой линией лейомиосаркомы и первичной опухолью [57, 58].

К сожалению, разнообразие клеточных линий охватывает лишь наиболее распространенные гистологические подтипы СМТ. С учетом генетического дрейфа, связанного с многочисленными пассажами, существует острая необходимость в постоянном создании новых линий данных опухолей [59]. В то же время клоны, устойчивые к ХТ, существуют в опухоли изначально, а не формируются под воздействием химиопрепаратов, поэтому многообещающим подходом является применение персональных клеточных культур для тестирования терапии [60].

В качестве альтернативы *in vitro* существуют методы моделирования заболевания СМТ *in vivo*, включающие использование животных моделей для подбора терапии таких подтипов СМТ, как липосаркома, недифференцированная плеоморфная саркома и синовиальная саркома [61]. Однако эти модели имеют существенные недостатки, включая технологическую сложность создания, высокую стоимость проведения экспериментов и ограниченные возможности для детальной визуализации биологических процессов и получения точных количественных данных, которые более доступны в контролируемых условиях *in vitro* [62].

Несмотря на ограничения, использование клеточных культур и получение первичных линий СМТ остаются ключевыми методами исследования, поскольку дают базовое представление об ответе на классическую терапию и позволяют проводить поиск и подбор новых мишеней. Модели *in vitro* необходимы не только для подбора персонализированной терапии, но и для проведения фундаментальных исследований с целью определения причин и путей преодоления лекарственной и радиорезистентности [59]. Комбинированный подход, интегрирующий модели *in vitro* и *in vivo*, представляет

собой наиболее перспективную стратегию для разработки новых препаратов против СМТ.

#### **ЗАКЛЮЧЕНИЕ**

Саркомы мягких тканей характеризуются высокой гетерогенностью гистологических подтипов и агрессивным клиническим течением. В основе биологического разнообразия и прогрессирования СМТ лежат генетические нарушения, определение которых играет ключевую роль как при постановке клинического диагноза, так и при оптимизации стратегии лечения. В диагностическом плане оптимальным является использование таргетного NGS с помощью мультигенных панелей, обеспечивающих диагностическую точность, необходимый объем информации и финансовую целесообразность для подбора персонализированной терапии. Последнее требует валидации на релевантных клеточных моделях *in vitro*.

Клеточные линии широко используют в качестве модели *in vitro* для проведения первоначальных функциональных исследований, благодаря их доступности, пролиферативной активности и высокой вос-

производимости экспериментальных результатов. Однако, несмотря на значительный прогресс в создании клеточных линий СМТ, существующий арсенал моделей остается недостаточным для комплексного изучения всех гистологических подтипов данной группы заболеваний. Кроме того, первичные клеточные культуры не всегда можно использовать для моделирования онкологических процессов из-за ограниченного жизненного цикла *in vitro*, недостаточной генетической стабильности и отсутствия взаимодействия с микроокружением и иммунной системой.

Необходимо разработать новые модели, учитывающие максимальное разнообразие клеточных типов и комплексность строения опухоли. В этом контексте перспективными направлениями являются разработка 3D-моделей, способных максимально точно имитировать архитектуру и физиологию опухолевой ткани, и проведение исследований *in vivo*. Персонализированные решения и новые методологические подходы культивирования клеток позволят разработать принципиально новые схемы лечения СМТ.

#### ЛИТЕРАТУРА / REFERENCES

- Marusyk A., Polyak K. Tumor heterogeneity: causes and consequences. Biochim Biophys Acta 2010;1805(1):105–17. DOI: 10.1016/j.bbcan.2009.11.002
- 2. Sbaraglia M., Dei Tos A.P. The pathology of soft tissue sarcomas. Radiol Med 2019;124(4):266–81. DOI: 10.1007/s11547-018-0882-7
- Gaebler M., Silvestri A., Haybaeck J. et al. Three-dimensional patient-derived in vitro sarcoma models: promising tools for improving clinical tumor management. Front Oncol 2017;11(7):203. DOI: 10.3389/fonc.2017.00203
- Mcconnell L., Houghton O., Stewart P. et al. A novel next generation sequencing approach to improve sarcoma diagnosis. Mod Pathol 2020;33(7):1350–9. DOI: 10.1038/s41379-020-0488-1
- Vibert J., Watson S. The molecular biology of soft tissue sarcomas: current knowledge and future perspectives. Cancers (Basel) 2022;14(10):2548. DOI: 10.3390/cancers14102548
- 6. Kokkali S., Boukovinas I., De Bree E. et al. The impact of expert pathology review and molecular diagnostics on the management of sarcoma patients: a prospective study of the hellenic group of sarcomas and rare cancers. Cancers (Basel) 2024;16(13):2314. DOI: 10.3390/cancers16132314
- Italiano A., Di Mauro I., Rapp J. et al. Clinical effect of molecular methods in sarcoma diagnosis (GENSARC): a prospective, multicentre, observational study. Lancet Oncol 2016;17(4):532–8. DOI: 10.1016/s1470-2045(15)00583-5
- Benini S., Gamberi G., Cocchi S. et al. The efficacy of molecular analysis in the diagnosis of bone and soft tissue sarcoma: a 15-year mono-institutional study. Int J Mol Sci 2022;24(1):632.
   DOI: 10.3390/ijms24010632
- Watkins J.A., Trotman J., Tadross J.A. et al. Introduction and impact of routine whole genome sequencing in the diagnosis and management of sarcoma. Br J Cancer 2024;131(5):860–9. DOI: 10.1038/s41416-024-02721-8
- Gounder M.M., Agaram N.P., Trabucco S.E. et al. Clinical genomic profiling in the management of patients with soft tissue and bone sarcoma. Nat Commun 2022;13(1):3406.
   DOI: 10.1038/s41467-022-30496-0

- Bean L.J.H., Funke B., Carlston C.M. et al. Diagnostic gene sequencing panels: from design to report-a technical standard of the American College of Medical Genetics and Genomics (ACMG). Genet Med 2020;22(3):453–61. DOI: 10.1038/s41436-019-0666-z
- 12. Xu L., Xie X., Shi X. et al. Potential application of genomic profiling for the diagnosis and treatment of patients with sarcoma. Oncol Lett 2021;21(5):353. DOI: 10.3892/ol.2021.12614
- Gusho C.A., Weiss M.C., Lee L. et al. The clinical utility of next-generation sequencing for bone and soft tissue sarcoma. Acta Oncol (Stockholm, Sweden) 2022;61(1):38–44.
   DOI: 10.1080/0284186x.2021.1992009
- Nagahashi M., Shimada Y., Ichikawa H. et al. Next generation sequencing-based gene panel tests for the management of solid tumors. Cancer Sci 2019;110(1):6–15. DOI: 10.1111/cas.13837
- Cao J., Chen L., Li H. et al. An accurate and comprehensive clinical sequencing assay for cancer targeted and immunotherapies. Oncologist 2019;24(12):e1294

  302. DOI: 10.1634/theoncologist.2019-0236
- 16. Scheipl S., Brcic I., Moser T. et al. Molecular profiling of soft-tissue sarcomas with FoundationOne(\*) Heme identifies potential targets for sarcoma therapy: a single-centre experience. Ther Adv Med Oncol 2021;13:17588359211029125. DOI: 10.1177/17588359211029125
- 17. FoundationOne(\*) Heme. Available at: https://www.ncbi.nlm.nih.gov/gtr/tests/527977/
- Jour G., Scarborough J.D., Jones R.L. et al. Molecular profiling of soft tissue sarcomas using next-generation sequencing: a pilot study toward precision therapeutics. Hum Pathol 2014;45(8):1563

  —71. DOI: 10.1016/j.humpath.2014.04.012
- Pritchard C.C., Salipante S.J., Koehler K. et al. Validation and implementation of targeted capture and sequencing for the detection of actionable mutation, copy number variation, and gene rearrangement in clinical cancer specimens. J Mol Diagn 2014;16(1):56-67. DOI: 10.1016/j.jmoldx.2013.08.004
- Hattori E., Oyama R., Kondo T. Systematic review of the current status of human sarcoma cell lines. Cells 2019;8(2):157.
   DOI: 10.3390/cells8020157

- Escudero J., Heredia-Soto V., Wang Y. et al. Eribulin activity in soft tissue sarcoma monolayer and three-dimensional cell line models: could the combination with other drugs improve its antitumoral effect? Cancer Cell Int 2021;21(1):646.
   DOI: 10.1186/s12935-021-02337-5
- Fourré N., Millot J.M., Garnotel R. et al. *In situ* analysis of doxorubicin uptake and cytotoxicity in a 3D culture model of human HT-1080 fibrosarcoma cells. Anticancer Res 2006;26(6b):4623–6.
- 23. Kapałczyńska M., Kolenda T., Przybyła W. et al. 2D and 3D cell cultures a comparison of different types of cancer cell cultures. Arch Med Sci 2018;14(4):910–9. DOI: 10.5114/aoms.2016.63743
- Blanco-Fernandez B., Gaspar V.M., Engel E. et al. Proteinaceous hydrogels for bioengineering advanced 3D tumor models. Adv Sci (Weinheim) 2021;8(4):2003129. DOI: 10.1002/advs.202003129
- Roohani S., Loskutov J., Heufelder J. et al. Photon and proton irradiation in patient-derived, three-dimensional soft tissue sarcoma models. BMC cancer 2023;23(1):577.
   DOI: 10.1186/s12885-023-11013-y
- Li Y.R., Yu Y., Kramer A. et al. An ex vivo 3D Tumor microenvironment-mimicry culture to study TAM modulation of cancer immunotherapy. Cells 2022;11(9):1583. DOI: 10.3390/cells11091583
- Danilova A., Misyurin V., Novik A. et al. Cancer/testis antigens expression during cultivation of melanoma and soft tissue sarcoma cells. Clin Sarcoma Res 2020;10(1):3.
   DOI: 10.1186/s13569-020-0125-2
- 28. Taborska P., Lukac P., Stakheev D. et al. Novel PD-L1and collagen-expressing patient-derived cell line of undifferentiated pleomorphic sarcoma (JBT19) as a model for cancer immunotherapy. Sci Rep 2023;13(1):19079. DOI: 10.1038/s41598-023-46305-7
- Salawu A., Fernando M., Hughes D. et al. Establishment and molecular characterisation of seven novel soft-tissue sarcoma cell lines. Br J Cancer 2016;115(9):1058–68.
   DOI: 10.1038/bic.2016.259
- Ariizumi T., Ogose A., Kawashima H. et al. Establishment and characterization of a novel dedifferentiated liposarcoma cell line, NDDLS-1. Pathol Int 2011;61(8):461–8.
   DOI: 10.1111/j.1440-1827.2011.02683.x
- Muff R., Botter S.M., Husmann K. et al. Explant culture of sarcoma patients' tissue. Lab Invest 2016;96(7):752–62.
   DOI: 10.1038/labinvest.2016.49
- 32. Cornillie J., Wozniak A., Li H. et al. Establishment and characterization of histologically and molecularly stable soft-tissue sarcoma xenograft models for biological studies and preclinical drug testing. Mol Cancer Ther 2019;18(6):1168–78. DOI: 10.1158/1535-7163.mct-18-1045
- 33. Фролова А.А., Геращенко Т.С., Патышева М.Р. и др. Подготов-ка клеточной суспензии из опухолевого материала для проведения секвенирования единичных клеток. Бюллетень экспериментальной биологии и медицины 2023;175(4):523—8. DOI: 10.47056/0365-9615-2023-175-4-523-528

  Frolova A.A., Gerashchenko T.S., Patysheva M.R. et al. Preparation of a cell suspension from tumor material for single cell sequencing. Byulleten' eksperimental'noy biologii i meditsiny = Bulletin of Experimental Biology and Medicine 2023;175(4):523—8. (In Russ.). DOI: 10.47056/0365-9615-2023-175-4-523-528
- 34. Takai Y., Oyama R., Kito F. et al. Establishment and characterization of cell line of undifferentiated pleomorphic sarcoma. Tissue Cult Res Commun 2017;36(5):41–8. DOI: 10.11418/jtca.36.41
- You H.J., Lee E.-Y., Rayhan A. et al. Abstract B009: Establishing new cell lines from undifferentiated pleomorphic sarcoma for sarcoma research. Clin Cancer Res 2022;28(18\_ Supplement):B009. DOI: 10.1158/1557-3265.sarcomas22-b009

- Lee E.Y., Kim Y.H., Rayhan M.A. et al. New established cell lines from undifferentiated pleomorphic sarcoma for in vivo study. BMB Rep 2023;56(4):258–64. DOI: 10.5483/BMBRep.2022-0209
- De Vita A., Recine F., Mercatali L. et al. Primary Culture of undifferentiated pleomorphic sarcoma: molecular characterization and response to anticancer agents. Int J Mol Sci 2017;18(12):2662. DOI: 10.3390/ijms18122662
- 38. Soft-Tissue Sarcoma Cell Panel. ATCC. Available at: https://www.atcc.org/products/tcp-1019
- Cellosaurus search result: 1895 hits for "Cancer Dependency Map project" (DepMap) (includes Cancer Cell Line Encyclopedia CCLE). Available at: https://www.cellosaurus.org/search?query=%22Cancer%20Dependency%20Map%20project%20 (DepMap)%20(includes%20Cancer%20Cell%20Line%20 Encyclopedia%20-%20CCLE)%22
- Cammelli S., Cortesi A., Buwenge M. et al. The role of radiotherapy in adult soft tissues sarcoma of the extremities. Eur J Orthop Surg Traumatol 2021;31(8):1583–96. DOI: 10.1007/s00590-021-02990-6
- Miwa S., Wu P.-K., Tsuchiya H. Soft tissue sarcomas: treatment and management. Cancers (Basel) 2024;16(5):1042.
   DOI: 10.3390/cancers16051042
- Tian Z., and Yao W. Chemotherapeutic drugs for soft tissue sarcomas: a review. Front Pharmacol 2023;14:1199292.
   DOI: 10.3389/fphar.2023.1199292
- Fuchs J.W., Schulte B.C., Fuchs J.R. et al. Targeted therapies for the treatment of soft tissue sarcoma. Front Oncol 2023;13:1122508. DOI: 10.3389/fonc.2023.1122508
- 44. Banks L.B., D'angelo S.P. The role of immunotherapy in the management of soft tissue sarcomas: current landscape and future outlook. J Nat Compr Canc Net 2022;20(7):834–44. DOI: 10.6004/jnccn.2022.7027
- Elkrief A., Alcindor T. Molecular targets and novel therapeutic avenues in soft-tissue sarcoma. Curr Oncol 2020;27(Suppl 1):34. DOI: 10.3747/co.27.5631
- Fetisov T.I., Khazanova S.A., Shtompel P.A. et al. Perspectives of cell sensitivity/resistance assay in soft tissue sarcomas chemotherapy. Int J Mol Sci 2023;24(15):12292. DOI: 10.3390/ijms241512292
- 47. Su C., Kim S.K., Wang C.X. et al. Radiotherapy combined with intralesional immunostimulatory agents for soft tissue sarcomas. Sem Radiat Oncol 2024;34(2):243–57. DOI: 10.1016/j.semradonc.2024.01.001
- 48. Roeder F. Radiation therapy in adult soft tissue sarcoma current knowledge and future directions: a review and expert opinion. Cancers 2020;12(11):3242. DOI: 10.3390/cancers12113242
- Haas R., Floot B., Scholten A. et al. Cellular radiosensitivity of soft tissue sarcoma. Radiat Res 2021;196(1):23–30.
   DOI: 10.1667/RADE-20-00226.1
- Brodin B.A., Wennerberg K., Lidbrink E. et al. Drug sensitivity testing on patient-derived sarcoma cells predicts patient response to treatment and identifies c-Sarc inhibitors as active drugs for translocation sarcomas. Br J Cancer 2019;120(4):435–43.
   DOI: 10.1038/s41416-018-0359-4
- 51. Que Y., Zhang X.L., Liu Z.X. et al. Frequent amplification of HDAC genes and efficacy of HDAC inhibitor chidamide and PD-1 blockade combination in soft tissue sarcoma. J Immunother Cancer 2021;9(2):33637599. DOI: 10.1136/jitc-2020-001696
- 52. Kerrison W.G.J., Lee A.T.J., Thway K. et al. Current Status and future directions of immunotherapies in soft tissue sarcomas. Biomedicines 2022;10(3):573. DOI: 10.3390/biomedicines10030573
- Iwai Y., Baldwin X.L., Feeney T. et al. Trends in the use of immunotherapy to treat soft tissue sarcoma. Am J Surg 2024;236:115794. DOI: 10.1016/j.amjsurg.2024.115794
- Zając A.E., Czarnecka A.M., Rutkowski P. The Role of macrophages in sarcoma tumor microenvironment

S

- and treatment. Cancers (Basel) 2023;15(21):5294. DOI: 10.3390/cancers15215294
- 55. Khansai M., Phitak T., Klangjorhor J. et al. Effects of sesamin on primary human synovial fibroblasts and SW982 cell line induced by tumor necrosis factor-alpha as a synovitis-like model. BMC Complement Alter Med 2017;17(1):532. DOI: 10.1186/s12906-017-2035-2
- Roomi M.W., Ivanov V., Kalinovsky T. et al. Inhibition of cell invasion and MMP production by a nutrient mixture in malignant liposarcoma cell line SW-872. Med Oncol 2007;24(4):394–401. DOI: 10.1007/s12032-007-0022-z
- 57. Adams C.L., Dimitrova I., Post M.D. et al. Identification of a novel diagnostic gene expression signature to discriminate uterine leiomyoma from leiomyosarcoma. Exp Mol Pathol 2019;110:104284. DOI: 10.1016/j.yexmp.2019.104284
- Machado-Lopez A., Alonso R., Lago V. et al. Integrative genomic and transcriptomic profiling reveals a differential molecular signature in uterine leiomyoma *versus* leiomyosarcoma. Int J Mol Sci 2022;23(4):2190. DOI: 10.3390/ijms23042190

- Lu X., Liu M., Yang J. et al. Panobinostat enhances NK cell cytotoxicity in soft tissue sarcoma. Clin Exp Immunol 2022;209(2):127–39. DOI: 10.1093/cei/uxac068
- 60. Avdonkina N., Danilova A., Misyurin V. et al. Biological features of tissue and bone sarcomas investigated using an *in vitro* model of clonal selection. Pathol Res Pract 2021;217:153214. DOI: 10.1016/j.prp.2020.153214
- 61. Tretyakova M.S., Bokova U.A., Korobeynikova A.A. et al. Experimental models of tumor growth in soft tissue sarcomas. Вестник Российского университета дружбы народов 2023;27(4):459–69. DOI: 10.22363/2313-0245-2023-27-4-459-469 Tretyakova M.S., Bokova U.A., Korobeynikova A.A. et al. Experimental models of tumor growth in soft tissue sarcomas. Vestnik Rossyskogo universiteta druzhby narodov = RUDN Journal of Medicine. 2023;27(4):459–69. (In Russ.). DOI: 10.22363/2313-0245-2023-27-4-459-46
- 62. Katt M.E., Placone A.L., Wong A.D. et al. *In vitro* tumor models: advantages, disadvantages, variables, and selecting the right platform. Front Bioeng Biotechnol 2016;4:12. DOI: 10.3389/fbioe.2016.00012

#### Вклад авторов

- У.А. Бокова, М.С. Третьякова: анализ данных литературы, написание текста статьи;
- П.К. Козлова: анализ данных литературы, написание статьи, редактирование;
- А.А. Коробейникова: анализ данных литературы, написание текста статьи, подготовка иллюстративного материала;
- М.Е. Меняйло: консультирование по вопросам сарком, редактирование;
- Т.С. Геращенко: курирование проекта, написание текста статьи, редактирование;
- Е.В. Денисов: курирование проекта, редактирование.

#### **Authors' contributions**

- U.A. Bokova, M.S. Tretyakova: analysis of literature data, article writing;
- P.K. Kozlova: literature data analysis, article writing, editing;
- A.A. Korobeynikova: analysis of literature data, article writing, preparation of illustrative material;
- M.E. Menyailo: sarcoma consulting, editing;
- T.S. Gerashchenko: supervising the project, article writing, editing;
- E.V. Denisov: project supervision, editing.

#### ORCID abtopob / ORCID of authors

- У.А. Бокова / U.A. Bokova: https://orcid.org/0000-0003-2179-5685
- M.C. Третьякова / M.S. Tretyakova: https://orcid.org/0000-0002-5040-931X
- П.К. Козлова / Р.К. Kozlova: https://orcid.org/0009-0003-4139-2338
- A.A. Коробейникова / A.A. Korobeynikova: https://orcid.org/0000-0002-2633-9884
- М.Е. Меняйло / М.Е. Menyailo: https://orcid.org/0000-0003-4630-4934
- Т.С. Геращенко / Т.S. Gerashchenko: https://orcid.org/0000-0002-7283-0092
- Е.В. Денисов / Е.V. Denisov: https://orcid.org/0000-0003-2923-9755

#### Конфликт интересов. Авторы заявляют об отсутствии конфликта интересов.

**Conflict of interest.** The authors declare no conflict of interest.

Финансирование. Работа выполнена в рамках государственного задания Министерства науки и высшего образования РФ № 075-00490-25-04 (регистрационный номер темы 125042105351-3).

**Funding.** The work was performed within the framework of the state assignment of the Ministry of Science and Higher Education of the Russian Federation No. 075-00490-25-04 (registration number of the topic 125042105351-3).

**DOI:** https://doi.org/10.17650/2313-805X-2025-12-3-46-56



## Тамоксифен и регуляция стрессиндуцированного старения в клетках рака молочной железы

Е.И. Михаевич, О.Е. Андреева, Д.В. Сорокин, А.М. Щербаков, П.Б. Копнин, М.В. Гудкова, М.А. Красильников

ФГБУ «Национальный медицинский исследовательский центр онкологии им. Н.Н. Блохина» Минздрава России; Россия, 115522 Москва, Каширское шоссе, 24

Контакты: Михаил Александрович Красильников krasilnikovm1@ya.ru

**Введение.** Известно, что опухолевые клетки не подвержены репликативному старению – как правило, за счет гиперактивации теломеразы, восстанавливающей длину теломер при каждом цикле деления. В то же время инициировать старение в опухолевых клетках оказалось возможным при действии сублетальных доз цитостатиков или облучении – это так называемое стресс-индуцированное, или нерепликативное старение, исследование механизма и способов регуляции которого является одной из актуальных задач современной онкологии.

**Цель исследования** — изучение механизмов доксорубицин-индуцированного старения клеток рака молочной железы различного происхождения и возможных подходов к регуляции нерепликативного старения.

**Материалы и методы.** Эксперименты проводились на культивируемых *in vitro* клетках рака молочной железы МСF-7 и MDA-MB-231. Степень старения клеток оценивали по уровню активации β-галактозидазы, изменению морфологии клеток и активации p53/p21-сигналинга. Для исследования экспрессии/активности клеточных белков использовали колориметрические методы, репортерный анализ и иммуноблоттинг. Нокдаун ДНК метилтрансферазы 3A (DNMT3A) проводили по стандартной методике с применением лентивирусного вектора, кодирующего antisense RNA DNMT3A.

**Результаты.** Продемонстрирован потенцирующий эффект тамоксифена при развитии доксорубицин-индуцированного старения, в том числе в эстрогеннезависимых клетках рака молочной железы. Обнаружено усиление нерепликативного старения в резистентных клетках, характеризующихся конститутивным подавлением экспрессии DNMT3A. Впервые установлено, что подавление DNMT3A в присутствии децитабина или при нокдауне DNMT3A обеспечивает усиление и сохранение нерепликативного старения в клетках МСF-7.

**Заключение.** Установлена возможность усиления и поддержания нерепликативного старения в клетках рака молочной железы в присутствии антиэстрогена тамоксифена, продемонстрировано значение DNMT3A в регуляции доксорубицин-индуцированного старения.

Ключевые слова: рак молочной железы, гормональная резистентность, тамоксифен, старение, DNMT3A

**Для цитирования:** Михаевич Е.И., Андреева О.Е., Сорокин Д.В. и др. Тамоксифен и регуляция стресс-индуцированного старения в клетках рака молочной железы. Успехи молекулярной онкологии 2025;12(3):46–56. DOI: https://doi.org/10.17650/2313-805X-2025-12-3-46-56

#### Tamoxifen and regulation of stress-induced senescence in breast cancer cells

E.I. Mikhaevich, O.E. Andreeva, D.V. Sorokin, A.M. Scherbakov, P.B. Kopnin, M.V. Gudkova, M.A. Krasil'nikov

N.N. Blokhin National Medical Research Center of Oncology, Ministry of Health of Russia; 24 Kashirskoe Shosse, Moscow 115522, Russia

**Contacts**: Mikhail Alexandrovich Krasil'nikov krasilnikovm1@ya.ru

**Introduction.** Tumor cells are known not to undergo replicative aging – usually due to hyperactivation of telomerase, which restores telomere length during each cell division cycle. However, it is possible to induce aging in tumor cells through sublethal doses of cytostatics or irradiation – this is the so-called stress-induced or non-replicative senescence. Studying the mechanisms and regulatory pathways of this process is one of the important areas of modern oncology. **Aim.** To investigate the mechanisms of doxorubicin-induced senescence in different breast cancer cell subtypes and to explore possible approaches to regulating non-replicative aging.

Materials and methods. The experiments were performed on *in vitro* cultured breast cancer cell lines MCF-7 and MDA-MB-231. Cellular senescence was assessed by  $\beta$ -galactosidase activity, morphological changes, and activation of the p53/p21 signaling

pathway. Colorimetric assays, reporter analysis, and immunoblotting were used to evaluate the expression and activity of cellular proteins. DNA methyltransferase 3A (DNMT3A) knockdown was achieved using a standard lentiviral vector encoding antisense RNA against DNMT3A.

**Results.** A potentiating effect of tamoxifen on doxorubicin-induced senescence – including in estrogen-independent breast cancer cells – was demonstrated. Enhanced non-replicative senescence was observed in resistant cells characterized by constitutive suppression of DNMT3A expression. For the first time, it was shown that DNMT3A suppression – either via decitabine treatment or DNMT3A knockdown – leads to an increase and maintenance of non-replicative senescence in MCF-7 cells.

**Conclusion.** The findings indicate that non-replicative senescence in breast cancer cells can be enhanced and sustained in the presence of the antiestrogen tamoxifen, and underscore the key role of DNMT3A in regulating doxorubicin-induced senescence.

Keywords: breast cancer, hormonal resistance, tamoxifen, aging, DNMT3A

**For citation:** Mikhaevich E.I., Andreeva O.E., Sorokin D.V. et al. Tamoxifen and regulation of stress-induced senescence in breast cancer cells. Uspekhi molekulyarnoy onkologii = Advances in Molecular Oncology 2025;12(3):46–56. (In Russ.). DOI: https://doi.org/10.17650/2313-805X-2025-12-3-46-56

#### **ВВЕДЕНИЕ**

В настоящее время старение и опухолевая трансформация рассматриваются как 2 основных пути клеточной дедифференцировки, ассоциированной с возрастом [1, 2]. Клетки стареющего организма оказываются перед выбором: либо дальнейшее сокращение теломер [3–5], прекращение деления и переход в состояние программированного старения (senescence), либо иммортализация и злокачественная трансформация клеток [6, 7]. В целом речь идет о 2 независимых путях дедифференцировки, однако в последнее время появились данные о возможности частичного перехода опухолевых клеток в состояние senescence, в том числе на фоне противоопухолевой терапии [8, 9]. Подробно описаны феномены клеточного старения, индуцированного химиопрепаратами (chemotherapy-induced senescence) и облучением (radiation-induced senescence), суть которых заключается в торможении пролиферации и переходе опухолевых клеток в состояние частичного старения в условиях действия минимальных, сублетальных доз химиопрепаратов или облучения [10]. Механизм подобных изменений малоизучен, и дальнейшие исследования в этом направлении могут послужить основой для разработки новых подходов к противоопухолевой терапии.

Доксорубицин — цитостатический препарат из группы антрациклиновых антибиотиков [11]. Он является интеркалирующим агентом, а также воздействует на клеточные мембраны и индуцирует накопление в клетке активных форм кислорода [12]. Доксорубицин получен из *Streptomyces peucetius var. caesius* в 1970-е годы и широко используется для лечения таких опухолей, как рак молочной железы (РМЖ), легкого, желудка, яичников, неходжкинской и ходжкинской лимфом, сарком и ряда опухолей у детей [13, 14].

Известны 2 основных механизма действия доксорубицина в опухолевой клетке:

 интеркаляция ДНК и нарушение процессов репарации ДНК, которые контролируются топоизомеразами; • генерация свободных радикалов и повреждение ими клеточных мембран, ДНК и белков.

Доксорубицин может индуцировать апоптоз клеток через 24 ч в дозозависимой манере [15, 16]. В отличие от апоптоза, старение — относительно стабильное состояние с активным метаболизмом [17]. Оно является более отсроченным по времени эффектом доксорубицина. Как клетка делает выбор между гибелью или старением, пока до конца не изучено.

Действие сублетальных доз доксорубицина на нормальные и опухолевые клетки сопровождается торможением клеточного деления и переходом клеток в состояние так называемого преждевременного, нерепликативного старения. Эффект сравнительно непродолжительный, и спустя определенное время после отмены химиопрепарата клетки могут возвращаться к активному росту.

**Цель исследования** — изучение механизма доксорубицин-индуцированного старения в культивируемых *in vitro* клетках различных подтипов РМЖ и возможных путей усиления и поддержания индуцированного старения в опухолевых клетках.

В экспериментах на клеточных линиях РМЖ различного происхождения мы показали эффект преждевременного старения клеток, включая такие классические характеристики, как активация p53/p21-сигналинга, повышение активности β-галактозидазы, изменение морфологии при культивировании клеток с сублетальными дозами доксорубицина. Продемонстрирована возможность индукции и поддержания senescence-фенотипа клеток РМЖ с помощью гормональных цитостатиков. Впервые обнаружено, что подавление экспрессии ДНК метилтрансфераз потенцирует эффект преждевременного старения и предотвращает реиндукцию опухолевого роста в клетках РМЖ.

#### МАТЕРИАЛЫ И МЕТОДЫ

Эксперименты проводились на культивируемых *in vitro* клетках РМЖ МСГ-7 и MDA-MB-231.

**Клеточные культуры и реактивы.** Клетки РМЖ человека линий МСF-7 и MDA-MB-231 культивировали

в среде DMEM («ПанЭко», Россия), содержавшей 4,5 г/л глюкозы, 10 % эмбриональной сыворотки телят (FBS, HyClone, США) и гентамицин (50 ед./мл) («ПанЭко», Россия) при 37 °С и 5 % СО<sub>2</sub>. Культивирование клеток выполняли в инкубаторе NU-5840E (NuAire, США). При анализе скорости роста количество клеток определяли с помощью МТТ-теста [18] с модификациями, описанными в работе [19]. Тест основан на восстановлении живыми клетками реагента МТТ (3-(4,5-диметилтиазол-2)-2,5-дифенилтетразол бромида) (AppliChem, Германия) в нерастворимые в культуральных средах кристаллы формазана.

Определение активности β-галактозидазы. Для определения активности β-галактозидазы клетки промывали 1 мл стерильного фосфатно-солевого буфера (PBS), фиксировали в 1 мл 2 % раствора формальдегида в течение 3—5 мин и отмывали в растворе PBS. Фиксированные клетки инкубировали 12—16 ч при 37 °C без  $CO_2$  в растворе: 40 мМ фосфатно-цитратного буфера; pH 6,0; 5 мМ  $K_3$ Fe(CN) $_6$ ; 5 мМ  $K_4$ Fe(CN) $_6$ ; 2 мМ MgCl $_2$ ; 150 мМ NaCl; 1 мг/мл X-Gal (5-бромо-4-хлоро-3-индоилбета-D-галактопиранозид), затем отмывали в PBS и определяли количество окрашенных клеток под микроскопом.

Репортерный анализ. Для определения транскрипционной активности рецептора эстрогенов а (ЕРа) проводили трансфекцию клеток плазмидой, содержавшей ген – репортер люциферазы, любезно предоставленной George Reid, под контролем промотора с эстроген-респонсивным элементом [20]. Для контроля за эффективностью и потенциальной токсичностью процедуры трансфекции применяли котрансфекцию клеток плазмидой, содержавшей ген β-галактозидазы, как описано ранее в работе [19]. Активность люциферазы измеряли по протоколу производителя набора реагентов (Promega, США) на люминометре Tecan Infinite M200 Pro (Тесап, Швейцария). Активность люциферазы выражали в условных единицах как отношение уровня хемилюминесцентного сигнала к уровню оптической плотности, обнаруженной в тесте с β-галактозидазой [19].

Иммуноблоттинг. Для получения тотального клеточного экстракта к образцам клеток добавляли буфер следующего состава: 50 мМ Трис-НС1 рН 7,4; 1 % Igepal CA-630; 150 мМ NaCl; 1 мМ тетраацетата этилендиамина; 1 мМ дитиотреитола; 1 мкг/мл апротинина, лейпептина и пепстатина; 1 мМ фторида натрия и ортованадата натрия (Merck, США). Образцы клеточных экстрактов центрифугировали (10 000g, 10 мин, 4 °C, центрифуга Eppendorf 5417R) и проводили электрофорез и иммуноблоттинг, как описано ранее в работе [21]. В цитозольных экстрактах исследовали содержание Snail, p21, p53 и его формы, фосфорилированной по остатку Ser15, ERα, GREB1, циклина D1, CDK4, CDK6, PARP и его расщепленной формы (Cell Signaling Technology, США). Для контроля за эффективностью иммуноблоттинга использовали антитела к α-тубулину (Cell Signaling Technology, США). Детекцию хемилюминесценции проводили по протоколу, описанному в работе D. Mruk и C. Cheng [22].

Нокдаун ДНК-метилтрансферазы 3A (DNMT3A). Для получения лентивирусных частиц упаковочные клетки НЕК283FT (Thermo Fisher Scientific, США) котрансфицировали плазмидой рLKO. 1-TRC (Addgene, США), кодирующей целевые шпилечные PHK (shRNA), и вспомогательными упаковочными плазмидами р $\Delta$ R8.2 (Addgene, США) и pVSV-G (Addgene, США). Для получения shRNA DNMT3A использованы следующие праймеры: Forward 5' — CCGGGCCAAGGTCATTGCAGGAACTCGAGTTCCTGCAATGACCTTGGCTTTTTG-3'; Reverse 5' — AATTCAAAAAGCCAAGGTCATTGCAGGAACTCGAGTTCCTGCAATGACCTTGGC-3'.

Трансфекцию проводили с использованием реагента GenJect-39TM (Molecta, Россия). Для получения вирусных частиц кондиционированную среду собирали через 24 и 48 ч после трансфекции. Клетки МСF-7 инкубировали с кондиционированной средой и 8 мкг/мл полибрена (Sigma, США). Для последующего отбора инфицированных клеток в течение 4—5 дней использовали пуромицин (Sigma, США) в концентрации 1 мкг/мл.

**Статистическая обработка данных.** Статистическую обработку полученных данных проводили в программе Microsoft Excel. Во всех случаях различия считали значимыми при p < 0.05.

#### **РЕЗУЛЬТАТЫ**

Эксперименты проводили на клетках эстрогензависимого РМЖ линии МСF-7 (люминальный А подтип), эстрогеннезависимой сублинии МСF-7/Т, полученной в результате длительного культивирования клеток родительской линии в присутствии антиэстрогена тамоксифена, и клетках эстрогеннезависимого РМЖ МDA-MB-231 (трижды негативный рак).

Доксорубицин-индуцированное старение клеток MCF-7. Результаты сравнительного анализа чувствительности клеточных линий к доксорубицину продемонстрировали относительно одинаковый уровень чувствительности клеток MCF-7 и MDA-MB-231; в то же время тамоксифенрезистентные клетки MCF-7/Т отличались существенно более высокой чувствительностью к доксорубицину (рис. 1).

При исследовании влияния доксорубицина на активность  $\beta$ -галактозидазы установлено, что культивирование клеток МСF-7 в присутствии 0,2 мкМ этого препарата в течение 3 сут с последующим переводом в среду без него сопровождается выраженным повышением активности  $\beta$ -галактозидазы на фоне частичного блока пролиферации и характерных изменений морфологии клеток, в том числе увеличения размеров, изменения формы и пластичности клеток (рис. 2, a).

Как известно, индуцированное химиопрепаратами преждевременное старение сопровождается активацией р53-сигналинга, определяющего в итоге остановку клеточного деления и переход клеток в состояние

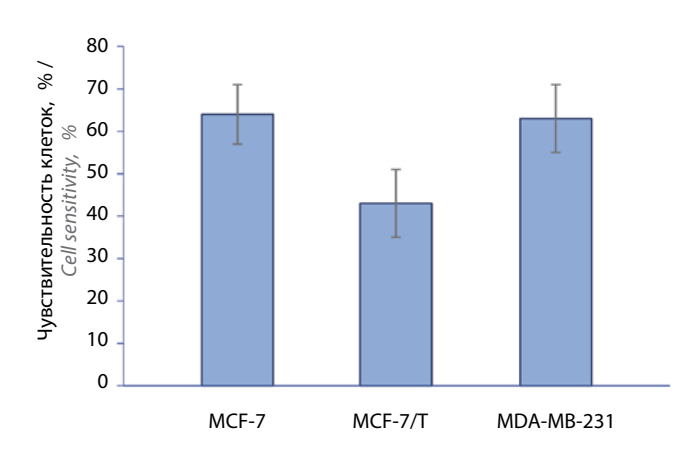


Рис. 1. Чувствительность клеток рака молочной железы к доксорубицину. Клетки МСГ-7. МDА-МВ-231 и МСГ-7/Т культивировали в присутствии 0,2 мкМ доксорубицина в течение 3 сут с дальнейшим определением количества выживших клеток с помощью МТТ-теста. Представлено количество выживших клеток в процентах относительно контроля Fig. 1. Sensitivity of breast cancer cells to doxorubicin. MCF-7, MDA-MB-231 and MCF-7/T cells were cultured in the presence of 0.2 µM doxorubicin for 3 days with subsequent determination of the cell viability using the MTT test. The number of viable cells is shown as a percentage of the control

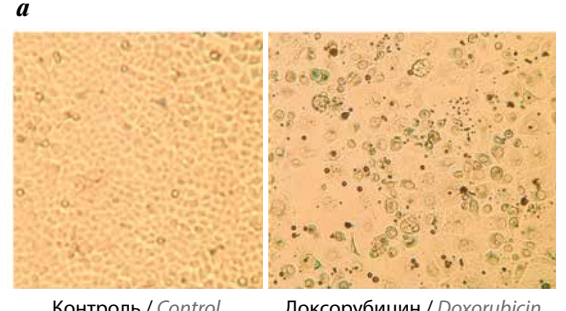
transcriptional activity by reporter assay (6) are presented

MCF-7, предобработанных доксорубицином, выявил типичную для нерепликативного старения активацию р53 и р21, сопровождавшуюся подавлением экспрессии циклинзависимых киназ CDK 4 и 6 (рис. 2,  $\delta$ ).

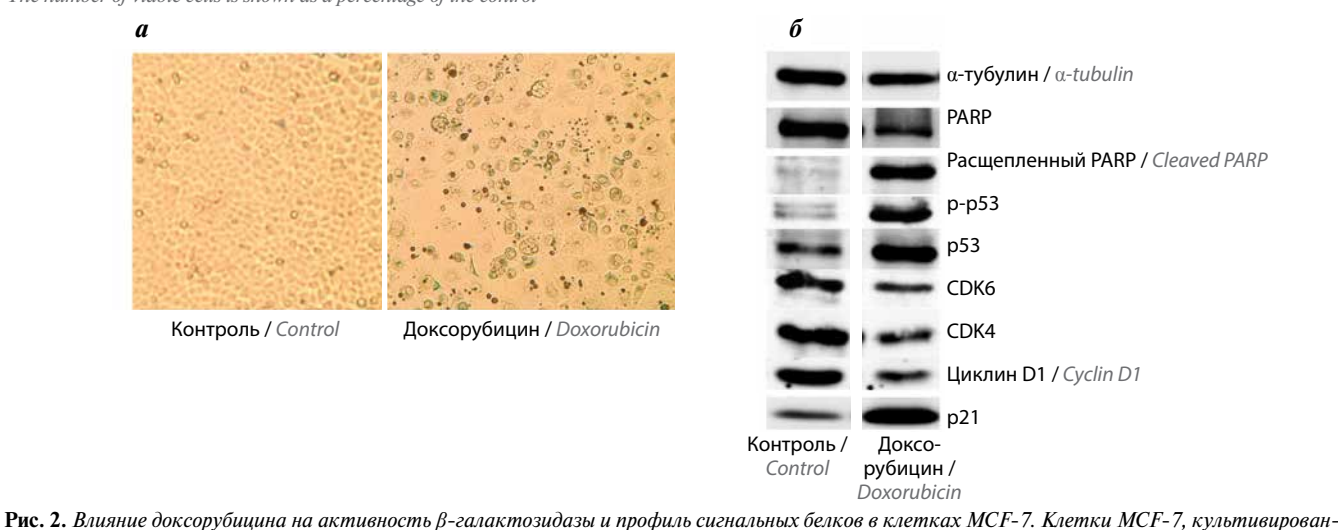
senescence. Анализ профиля сигнальных белков в клетках

Результаты исследования влияния доксорубицина на эстрогеновый сигналинг показали существенное снижение экспрессии рецептора эстрогенов (рис. 3, a) и подавление транскрипционной активности последнего (рис. 3,  $\delta$ ).

Влияние тамоксифена на доксорубицин-индуцированное старение клеток MCF-7. В какой мере подавление эстрогенового сигналинга ассоциировано с развитием доксорубицин-индуцированного старения? Для ответа на этот вопрос проведен анализ влияния антиэстрогена тамоксифена на эффективность нерепликативного старения клеток. Обнаружено, что культивирование клеток MCF-7, предобработанных доксорубицином, в присутствии тамоксифена сопровождается значительным повышением активности  $\beta$ -галактозидазы (рис. 4, a). Тамоксифен приводит к подавлению эстрогенового сиг-



Контроль / Control Доксорубицин / Doxorubicin



ные в течение 3 сут в отсутствие (контроль) или в присутствии 0,2 мкМ доксорубицина с последующим переводом в стандартную среду и окраской на β-галактозидазу (а) и иммуноблоттингом белков (б). Представлены результаты одного из 3 независимых экспериментов Fig. 2. Effect of doxorubicin on β-galactosidase activity and signaling protein profile in MCF-7 cells. MCF-7 cells cultured for 3 days in the absence (control) or presence of  $0.2\,\mu\mathrm{M}$  doxorubicin (doxorubicin), followed by transfer to standard medium and staining for  $\beta$ -galactosidase (a) and immunoblotting of proteins (6). Results from one of three independent experiments are presented

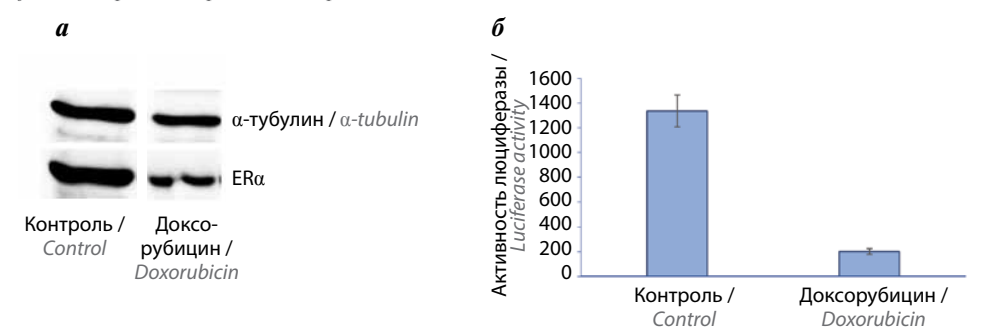


Рис. 3. Доксорубицин и эстрогеновый сигналинг в клетках МСГ-7. Клетки МСГ-7 культивировали в течение 3 сут без добавок или в присутствии 0,2 мк М доксорубицина с его последующей отменой на 5 сут. Представлены результаты иммуноблоттинга образцов клеток с антителами к рецептору эстрогенов  $\alpha$  (ER $\alpha$ ) (a) и определения транскрипционной активности ER $\alpha$  методом репортерного анализа (б) Fig. 3. Doxorubicin and estrogen signaling in MCF-7 cells. MCF-7 cells were cultured in the absence or in the presence of 0.2 µM doxorubicin for 3 days, followed by its withdrawal for 5 days. The results of immunoblotting of cell samples with antibodies to estrogen receptor  $\alpha$  (ER $\alpha$ ) (a) and determination of ER $\alpha$ 

S

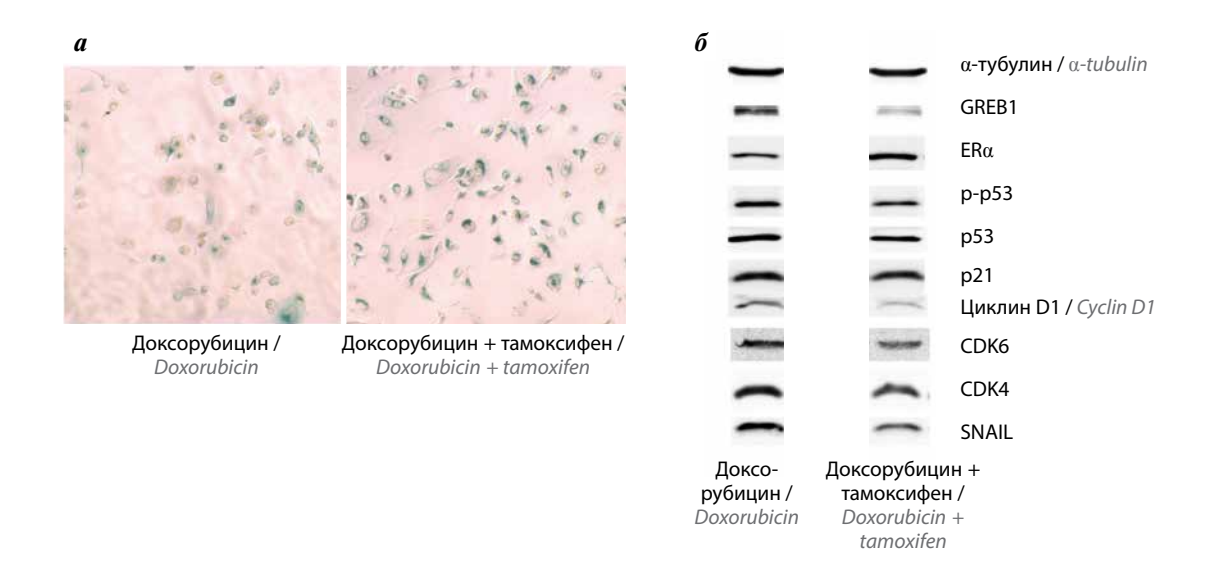


Рис. 4. Влияние тамоксифена на активность β-галактозидазы и профиль сигнальных белков в клетках МСГ-7, предобработанных доксорубицином: а — окраска на β-галактозидазу; б — иммуноблоттинг белков. Клетки МСГ-7 культивировали в течение 3 сут в присутствии 0,2 мкМ доксорубицина с его последующей отменой и культивированием в течение 3 сут без добавок (доксорубицин) и в присутствии 5 мкМ тамоксифена (доксорубицин + тамоксифен). Представлены результаты одного из 3 независимых экспериментов

Fig. 4. Effect of tamoxifen on  $\beta$ -galactosidase activity and signaling protein profile in MCF-7 cells pretreated with doxorubicin: a – staining for  $\beta$ -galactosidase;  $\delta$  – immunoblotting of proteins. MCF-7 cells were cultured for 3 days in the presence of 0.2  $\mu$ M doxorubicin, then withdrawn and cultured for 3 days without additions (doxorubicin) and in the presence of 5  $\mu$ M tamoxifen (doxorubicin + tamoxifen). Results of one of three independent experiments are presented

налинга на фоне практически неизменной экспрессии ER и частичному снижению ростового сигналинга без заметной активации апоптотических белков (рис. 4,  $\delta$ ), что поддерживает клетки в состоянии пролиферативного блока и старения. Следует отметить, что действие этого препарата на исходные клетки MCF-7 в отсутствие доксорубицина не сопровождается сколько-нибудь заметным накоплением  $\beta$ -галактозидазы и клеточным старением (рис. 5, a), что свидетельствует о необходимости предактивации апоптотического сигналинга p53/p21 при нерепликативном старении клеток.

При оценке пролиферативного статуса доксорубицин-индуцированных клеток мы показали, что после отмены препарата клетки постепенно, в течение 10 сут, переходят к стадии активной пролиферации. Добавление тамоксифена поддерживает senescence-фенотип клеток и предотвращает реиндукцию опухолевого роста (рис. 5,  $\delta$ ). Полученные результаты свидетельствуют о потенциальной способности тамоксифена поддерживать клеточный арест и усиливать эффект преждевременного старения клеток эстрогензависимого РМЖ.





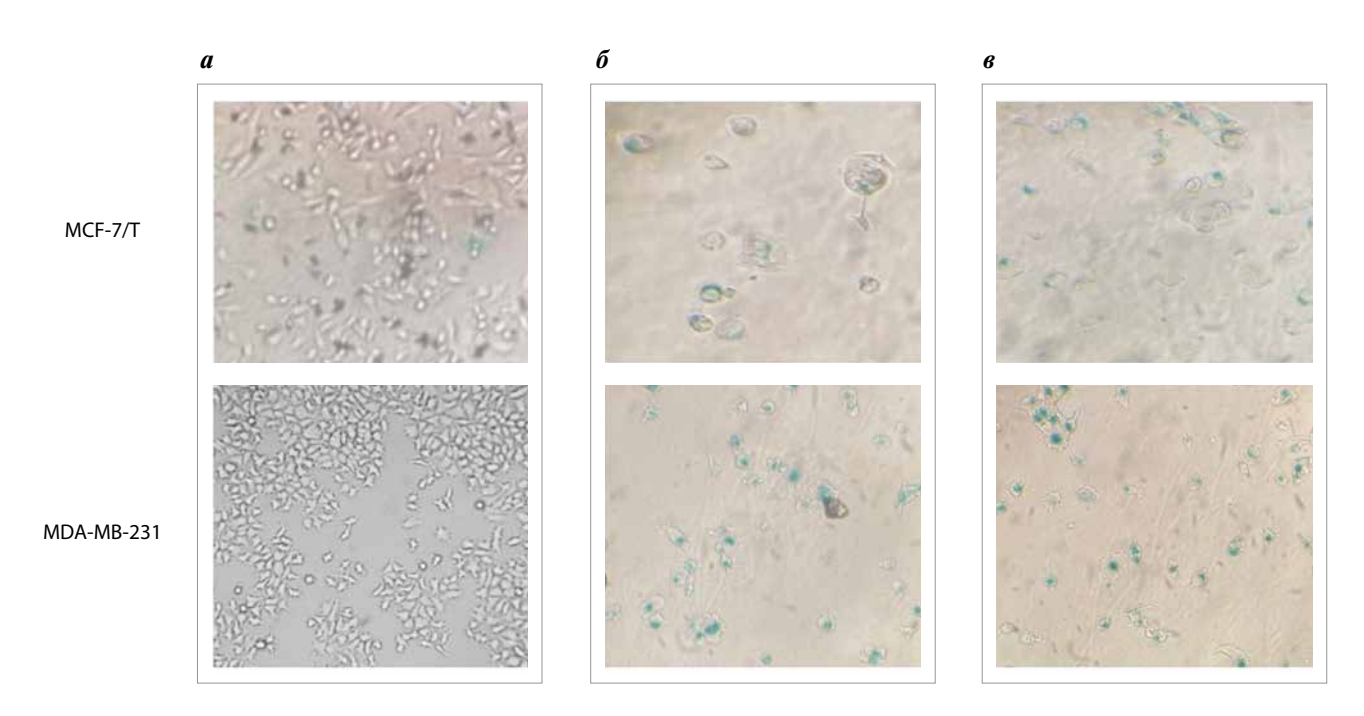
**Рис. 5.** Тамоксифен и регуляция опухолевого роста: a — окраска на β-галактозидазу клеток MCF-7 до (контроль) и после (тамоксифен) культивирования с тамоксифеном (5 мк M, в течение 3 сут); b — световая микроскопия клеток MCF-7, культивированных в течение 3 сут в присутствии 0,2 мк M доксорубицина и затем 10 сут в среде без доксорубицина без добавок (доксорубицин) и в присутствии 5 мк M тамоксифена (доксорубицин + тамоксифен)

Fig. 5. Tamoxifen and regulation of tumor growth:  $a - \beta$ -galactosidase staining of MCF-7 cells before (control) and after (tamoxifen) cultivation with tamoxifen (5  $\mu$ M, 3 days); 6 - light microscopy of MCF-7 cells cultured for 3 days in the presence of 0.2  $\mu$ M doxorubicin and then 10 days in medium without doxorubicin without additiones (doxorubicin) and in the presence of 5  $\mu$ M tamoxifen (doxorubicin + tamoxifen)

Доксорубицин-индуцированное старение клеток эстрогеннезависимого рака молочной железы. Как известно, резистентность клеток РМЖ к тамоксифену, как врожденная, так и приобретенная, является одним из основных факторов, ограничивающих противоопухолевый эффект гормональной терапии. С учетом описанного выше участие тамоксифена в поддержании доксорубицин-индуцированного старения представляло безусловный интерес и обусловливает важность исследования эффективности индуцированного старения в тамоксифенрезистентных клетках РМЖ. Эксперименты проводились на модели врожденной гормональной резистентности – на клетках трижды негативного РМЖ MDA-MB-231 и на клетках с приобретенной резистентностью к тамоксифену МСГ-7/Т, полученных в результате длительного культивирования родительских клеток MCF-7 с этим препаратом. Как отмечалось выше, выявлено, что чувствительность к рост-ингибирующему действию доксорубицина клеток МСF-7 сравнима с чувствительностью клеток МDA-МВ-231, в то время как клетки МСГ-7/Т отличались существенно более высокой чувствительностью к этому препарату (см. рис. 1). Как и в случае с клетками МСГ-7, прекультивирование резистентных клеток MCF-7/T и MDA-MB-231 с доксорубицином в течение 3 сут приводит к индукции характерных для стареющих клеток изменений: активации β-галактозидазы, клеточному аресту (рис. 6) и активации p53/p21-сигналинга (рис. 7). При этом резистентные клетки MCF-7/T отличаются значительно более выраженной активацией β-галактозидазы под действием доксорубицина, что коррелирует с большей чувствительностью этих клеток к рост-ингибирующему действию данного препарата. Добавление тамоксифена сопровождается дополнительной активацией β-галактозидазы, причем даже в рецептор-отрицательных клетках MDA-MB-231, что свидетельствует о возможных рецепторнезависимых эффектах этого лекарственного средства.

Следует отметить, что если клетки МСF-7 экспрессируют p53 дикого типа, то для клеток MDA-MB-231 характерна онкогенная мутация p53-R280K, блокирующая апоптотический потенциал p53 [23]. Согласно представленным результатам, несмотря на мутантный p53, клетки MDA-MB-231 отвечают на доксорубицин и активацией p21 — одного из основных физиологических блокаторов клеточного цикла, и остановкой клеточного деления, что свидетельствует о реализации в данном случае p53-независимого механизма блока пролиферации и апоптоза.

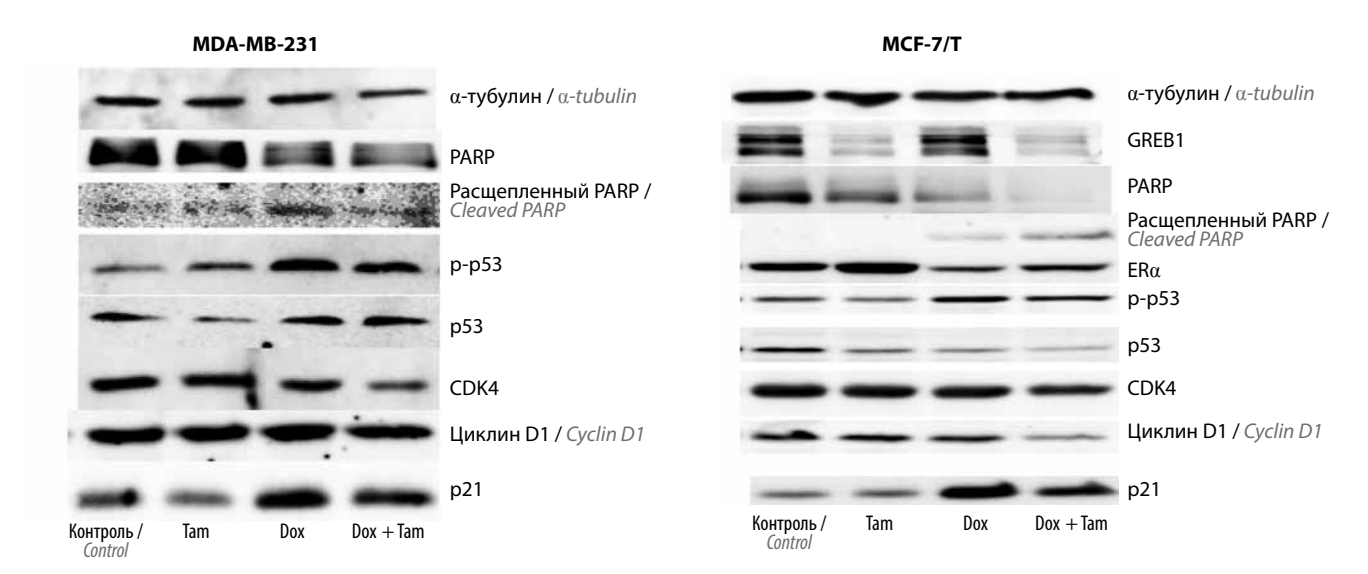
В целом полученные данные свидетельствуют о плейотропных эффектах тамоксифена в клетках РМЖ, приводящих, в том числе в эстрогеннезависимых клетках, к частичному клеточному аресту и дополнительной стимуляции нерепликативного старения.



**Рис. 6.** Тамоксифен и резистентные клетки. Клетки MCF-7/T и MDA-MB-231 культивировали в течение 3 сут без добавок (а) и в присутствии 0,2 мкМ доксорубицина (б, в) с последующей отменой доксорубицина и продолжением культивирования без добавок (б) и в присутствии 5 мкМ тамоксифена (в) в течение 3 сут. Окраска на  $\beta$ -галактозидазу

Fig. 6. Tamoxifen and resistant cells. MCF-7/T and MDA-MB-231 cells were cultured for 3 days without additiones (a) and in the presence of 0.2  $\mu$ M doxorubicin (6, 8), followed by withdrawal of doxorubicin and continued cultivation without additiones (6) and in the presence of 5  $\mu$ M tamoxifen (C) for 3 days. Staining for  $\beta$ -galactosidase

025



**Рис. 7.** Тамоксифен и резистентные клетки: иммуноблоттинг образцов клеток. Клетки МСF-7/Т и MDA-MB-231 культивировали с доксорубицином (Dox) и тамоксифеном (Тат) по схеме, приведенной на рис. 6. Представлены результаты одного из 3 независимых экспериментов. ERα — рецептор эстрогенов α

Fig. 7. Tamoxifen and resistant cells: Immunoblotting of cell samples. MCF-7/T and MDA-MB-231 cells were cultured with doxorubicin (Dox) and tamoxifen (Tam) as shown in fig. 6. Results from one of three independent experiments are shown.  $ER\alpha$  – estrogen receptor  $\alpha$ 

**ДНК метилтрансферазы, апоптотический сигналинг и нерепликативное старение.** Согласно полученным ранее данным, длительное культивирование клеток MCF-7 с тамоксифеном приводит к выраженному по-

давлению экспрессии и активности DNMT3A. Мы продемонстрировали, что формирование эстрогеннезависимого фенотипа может быть ассоциировано с конститутивным подавлением DNMT3A и активацией

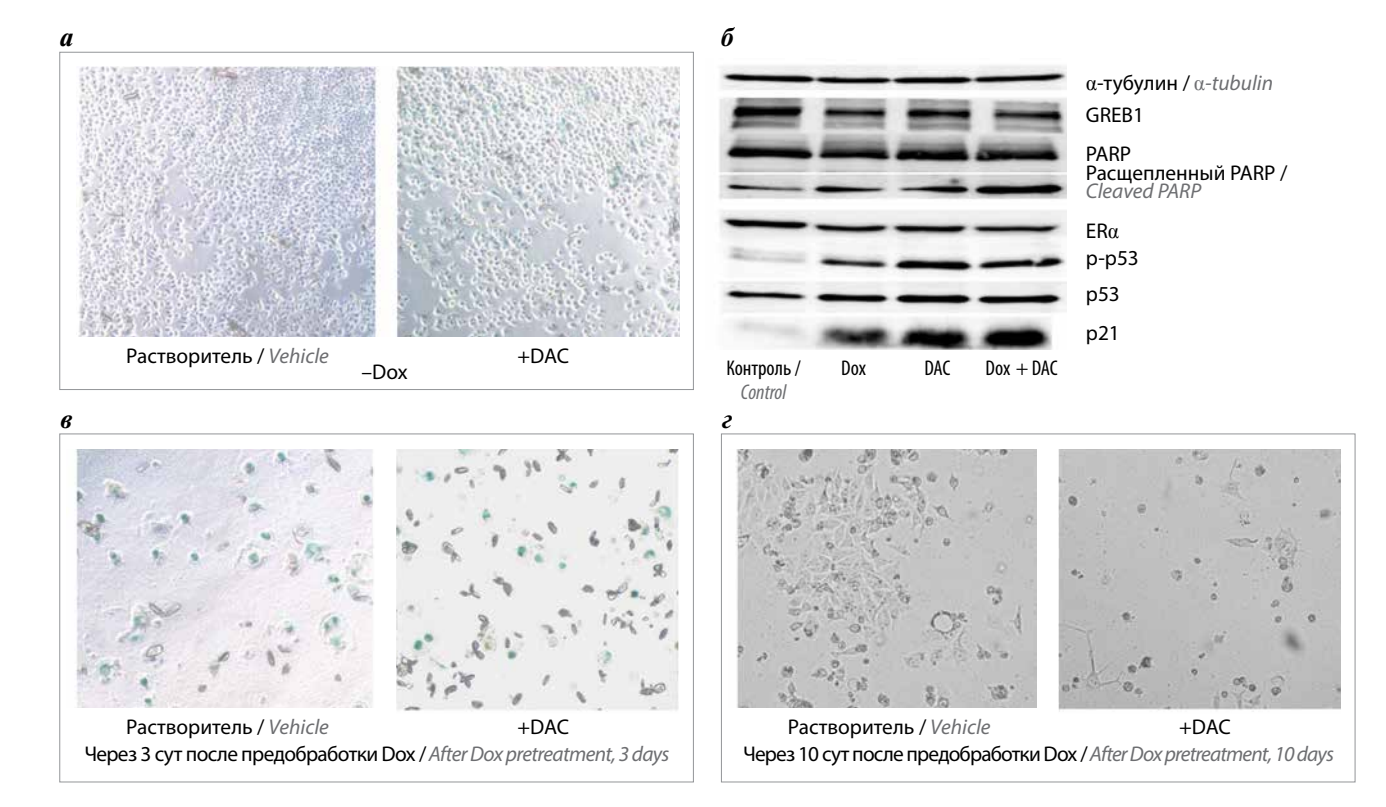
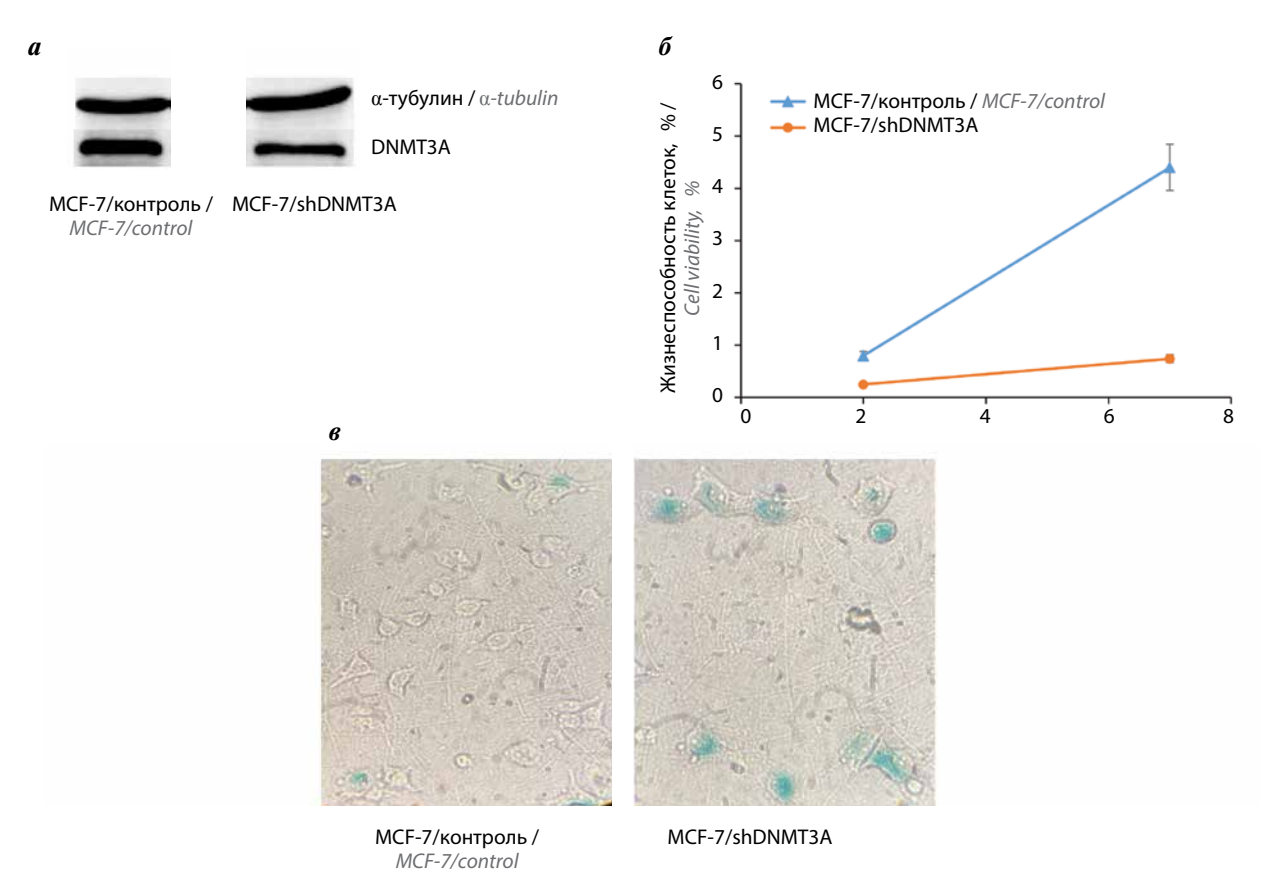


Рис. 8. Децитабин и доксорубицин-индуцированное старение клеток МСF-7. Клетки МСF-7 без обработки (а) и предобработанные доксорубицином (Dox) (б) культивировали в отсутствие или в присутствии ингибитора DNMT децитабина (DAC) в течение 3 сут с последующим определением активности β-галактозидазы, затем проводили иммуноблоттинг клеточных экстрактов (в). Восстановление клеточного роста через 10 сут после предобработки доксорубицином и культивирования клеток с децитабином — световая микроскопия (г). ERa — рецептор эстрогенов а

Fig. 8. Decitabine and doxorubicin-induced senescence of MCF-7 cells. MCF-7 cells, untreated (a) and pretreated with doxorubicin (b), were cultured in the absence or presence of the DNMT inhibitor decitabine (DAC) for 3 days, followed by determination of  $\beta$ -galactosidase activity, then immunoblotting was performed of cell extracts (a). Restoration of cell growth 10 days after doxorubicin pretreatment and cell cultivation with decitabine — light microscopy (2).  $ER\alpha$  — estrogen receptor  $\alpha$ 



**Рис. 9.** Нокдаун ДНК-метилтрансферазы 3A (DNMT3A) и чувствительность клеток МСF-7 к доксорубицин-индуцированному старению. Экспрессия DNMT3A в клетках, трансфицированных shDNMT3A (а). Восстановление роста (б) и активность β-галактозидазы (в) в контрольных и shDNMT3A-трансфицированных клетках после предобработки доксорубицином

Fig. 9. DNA-methyltransferase 3A (DNMT3A) knockdown and sensitivity of MCF-7 cells to doxorubicin-induced senescence. DNMT3A expression in shDNMT3A-transfected cells (a). Growth restoration (b) and  $\beta$ -galactosidase activity (b) in control and shDNMT3A-transfected cells after doxorubicin pretreatment

апоптотического сигналинга. Эти изменения характерны также для клеток MCF-7/T и MDA-MB-231 [24].

В проведенных экспериментах для исследования роли DNMT в индукции нерепликативного старения клетки MCF-7 без обработки и предобработанные доксорубицином культивировали в присутствии ингибитора DNMT децитабина с последующим определением активности  $\beta$ -галактозидазы и экспрессии профильных сигнальных белков. Как и в случае с тамоксифеном, действие децитабина на необработанные клетки не приводило к повышению активности  $\beta$ -галактозидазы (рис. 8, a). В то же время культивирование с децитабином клеток, предобработанных доксорубицином, поддерживало высокий уровень  $\beta$ -галактозидазы, сопровождалось стимуляцией в клетках р53-сигналинга (рис. 8,  $\delta$ ,  $\theta$ ) и приводило к последующему торможению реиндукции опухолевого роста (рис. 8,  $\epsilon$ ).

Участие DNMT3A в регуляции нерепликативного старения подтверждено в экспериментах по нокдауну DNMT3A при трансфекции shRNA DNMT3A. Мы по-казали, что подавление экспрессии DNMT3A (рис. 9, a) приводит к заметному снижению скорости роста (рис. 9,  $\delta$ )

и поддержанию высокого уровня (рис. 9,  $\epsilon$ )  $\beta$ -галактозидазы в клетках MCF-7, предобработанных доксорубицином.

В целом полученные данные свидетельствуют о том, что подавление DNMT3A относится к числу факторов, поддерживающих нерепликативное старение опухолевых клеток, и позволяют рассматривать соединения — негативные регуляторы DNMT3A — в качестве агентов, стабилизирующих состояние клеточного старения и предотвращающих реиндукцию опухолевого роста.

#### ОБСУЖДЕНИЕ

Хорошо известно, что одним из ключевых свойств опухолевой клетки является иммортализация — отсутствие репликативного старения, характерного для соматических клеток [25]. В его основе лежит исходно ограниченное (в результате неизбежного сокращения длины теломер, концевых повторов ДНК, при каждом цикле деления) число делений, которое может претерпеть соматическая клетка. В подавляющем большинстве опухолевых клеток репликативное старение не происходит благодаря гиперактивации теломера-

зы — фермента, восстанавливающего длину теломер. Такая способность опухолевых клеток к неограниченному делению во многом определяет высокий уровень злокачественности опухолей, их быстрый рост и распространение по всему организму.

В то же время сравнительно недавно обнаружен эффект так называемого нерепликативного старения опухолевых клеток, индуцированный сублетальными дозами химиопрепаратов или облучением. Клетки после такого воздействия не погибают, но прекращают делиться и постепенно приобретают фенотип классических стареющих клеток (senescence phenotype), для которого характерны гиперактивация β-галактозидазы, изменение морфологии, снижение ростового сигналинга и активация апоптотического сигналинга. Характерной особенностью стареющих клеток является формирование специфического секретома - SASP (senescenceassociated secretory phenotypes), в состав которого входят биологически активные соединения разнонаправленного действия, в том числе цитокины, ростовые факторы, хемокины, проапоптотические факторы и проч. [26, 27]. Установлено, что определенную роль в реализации эффектов SASP играют экзосомы, продуцируемые стареющими клетками и доставляющие в окружающие клетки-реципиенты отдельные факторы SASP [28, 29]. Основное внимание исследователей направлено на изучение дистанционных, пара- и аутокринных эффектов SASP, определяющих собственно дальнейшую судьбу стареющих опухолевых клеток. Существуют 2 варианта нерепликативного старения: оно оказывается необратимым, и в опухолевых клетках в течение неопределенного времени поддерживается senescence-фенотип, или происходит реиндукция опухолевого роста, и клетки возвращаются к стадии активной пролиферации. Оба варианта в той или иной степени регулируются факторами SASP [30, 31]. Отдельный интерес представляют паракринные эффекты SASP, а именно влияние клеток, находящихся в состоянии нерепликативного старения, на окружающие ткани. В первую очередь это индукция senescence-подобных и опухолеподобных изменений в окружающих клетках, в том числе хромосомной нестабильности, метаболического репрограммирования, а также активация сигнальных каскадов, что может стимулировать процесс нерепликативного старения или опухолевую трансформацию в окружающей ткани [32].

Современные подходы к исследованию нерепликативного старения опухолевых клеток включают разработку способов предотвращения реиндукции опухолевого роста и поддержания клеток в состоянии senescence и поиск и изучение соединений-синолитиков, направленно воздействующих на senescence-клетки и снижающих паракринную активность SASP-факторов.

В настоящей работе использована модель доксорубицин-индуцированного старения клеток РМЖ. По данным литературы [33] и результатам нашего ис-

следования, культивирование клеток МСГ-7 с сублетальными дозами доксорубицина приводит к формированию характерного фенотипа классических стареющих клеток - пролиферативному блоку, повышению активности β-галактозидазы, активации р53/р21-сигналинга. Установлено, что присутствие антиэстрогена тамоксифена усиливает и поддерживает клеточный арест и сопровождается резким повышением активности β-галактозидазы, что свидетельствует о свойстве этого препарата потенцировать доксорубицин-индуцированное старение клеток РМЖ. Такой же потенцирующий эффект тамоксифена подтвержден в экспериментах на тамоксифенрезистентной сублинии MCF-7/T, отличающейся изначально более высокой чувствительностью к доксорубицину и относительно низкой - к рост-ингибирующему действию тамоксифена. И в наших предыдущих исследованиях, и в работах других авторов отмечалась возможность off-target-эффектов тамоксифена, развивающихся без участия эстрогенового сигналинга [34–36]. Скорее всего, в случае с тамоксифенрезистентными клетками мы сталкиваемся с подобным действием данного препарата, результатом которого является усиление эффектов нерепликативного старения. Подтверждением этому являются результаты экспериментов на клетках трижды негативного РМЖ MDA-MB-231: добавление тамоксифена к доксорубицин-индуцированным клеткам сопровождалось усилением пролиферативного блока и гиперактивацией β-галактозидазы. Таким образом, тамоксифен можно отнести к соединениям, усиливающим и поддерживающим клетки РМЖ в состоянии нерепликативного старения.

Ранее мы обнаружили, что клетки резистентного РМЖ, такие как МСF-7/Т и MDA-MB-231, гиперчувствительные к доксорубицин-индуцированному старению, отличаются низким уровнем DNMT3A, и показали возможность негативной регуляции DNMT3A тамоксифеном [24]. Результаты настоящей работы продемонстрировали, что подавление DNMT3A в присутствии децитабина или при нокдауне DNMT3A с помощью shRNA обеспечивает усиление и сохранение senescence-фенотипа в клетках МСF-7, что позволяет рассматривать снижение активности DNMT3A как один из факторов, участвующих в поддержании нерепликативного старения клеток.

#### ЗАКЛЮЧЕНИЕ

В ходе исследования установлена возможность усиления и поддержания нерепликативного старения в клетках РМЖ в присутствии антиэстрогена тамоксифена независимо от степени гормональной зависимости клеток, что, скорее всего, является следствием нерецепторной активности тамоксифена. Впервые установлено, что подавление экспрессии ДНК метилтрансферазы 3A потенцирует эффект преждевременного старения и предотвращает реиндукцию опухолевого роста в клетках РМЖ.

#### ЛИТЕРАТУРА / REFERENCES

- Di Micco R., Krizhanovsky V., Baker D. et al. Cellular senescence in ageing: from mechanisms to therapeutic opportunities. Nat Rev Mol Cell Biol 2021;22(2):75–95.
   DOI: 10.1038/s41580-020-00314-w
- Sedrak M.S., Cohen H.J. The Aging-cancer cycle: mechanisms and opportunities for intervention. Gerontol A Biol Sci Med Sci 2023;78(7):1234

  –8. DOI: 10.1093/gerona/glac247
- 3. Razgonova M.P., Zakharenko A.M., Golokhvast K.S. et al. Telomerase and telomeres in aging theory and chronographic aging theory (review). Mol Med Rep 2020;22(3):1679–94. DOI: 10.3892/mmr.2020.11274
- Hornsby P.J. Telomerase and the aging process. Exp Gerontol 2007;42(7):575–81. DOI: 10.1016/j.exger.2007.03.007
- Rossiello F., Jurk D., Passos J.F. et al. Telomere dysfunction in ageing and age-related diseases. Nat Cell Biol 2022;24(2):135–47. DOI: 10.1038/s41556-022-00842-x
- Montégut L., López-Otín C., Kroemer G. Aging and cancer.
   Mol Cancer 2024;23(1):106. DOI: 10.1186/s12943-024-02020-z
- Colucci M., Sarill M., Maddalena M. et al. Senescence in cancer. Cancer Cell 2025;43(7):1204–26. DOI: 10.1016/j.ccell.2025.05.015
- Schmitt C.A., Wang B., Demaria M. Senescence and cancer role and therapeutic opportunities. Nat Rev Clin Oncol 2022;19(10):619–36. DOI 10.1038/s41571-022-00668-4
- Wang L., Lankhorst L., Bernards R. Exploiting senescence for the treatment of cancer. Nat Rev Cancer 2022;22(6):340–55. DOI: 10.1038/s41568-022-00450-9
- Guillon J., Petit C., Toutain B. et al. Chemotherapy-induced senescence, an adaptive mechanism driving resistance and tumor heterogeneity. Cell Cycle 2019;18(19):2385–97.
   DOI: 10.1080/15384101.2019.1652047
- Bisht A., Avinash D., Sahu K.K. et al. A comprehensive review on doxorubicin: mechanisms, toxicity, clinical trials, combination therapies and nanoformulations in breast cancer. Drug Deliv Transl Res 2025;15(1):102–33. DOI: 10.1007/s13346-024-01648-0
- Van der Zanden S.Y., Qiao X., Neefjes J. New insights into the activities and toxicities of the old anticancer drug doxorubicin. The FEBS J 2021;288(21):6095–111. DOI: 10.1111/febs.15583
- Arcamone F., Cassinelli G., Fantini G. et al. Adriamycin, 14-hydroxydaunomycin, a new antitumor antibiotic from S. peucetius var. caesius. Biotechnol Bioeng 1969;11(6):1101–10. DOI 10.1002/bit.260110607
- Cortés-Funes H., Coronado C. Role of anthracyclines in the era of targeted therapy. Cardiovasc Toxicol 2007;7(2):56–60.
   DOI: 10.1007/s12012-007-0015-3
- Huang Z., Lin S., Long C. et al. Notch signaling pathway mediates Doxorubicin-driven apoptosis in cancers. Cancer Manag Res 2018;10:1439

  –48. DOI: 10.2147/cmar.s160315
- Synowiec E., Hoser G., Bialkowska-Warzecha J. et al. Doxorubicin differentially induces apoptosis, expression of mitochondrial apoptosis-related genes, and mitochondrial potential in BCR-ABL1-expressing cells sensitive and resistant to imatinib. BioMed Res Int 2015;2015:673512. DOI: 10.1155/2015/673512
- Karabicici M., Alptekin S., Fırtına Karagonlar Z. et al. Doxorubicin-induced senescence promotes stemness and tumorigenicity in EpCAM-/CD133-nonstem cell population in hepatocellular carcinoma cell line, HuH-7. Mol Oncol 2021;15(8):2185–202. DOI: 10.1002/1878-0261.12916
- Mosmann T. Rapid colorimetric assay for cellular growth and survival: application to proliferation and cytotoxicity assays. J Immunol Methods 1983;65(1-2):55-63.
   DOI: 10.1016/0022-1759(83)90303-4
- Scherbakov A.M., Komkov A.V., Komendantova A.S. et al. Steroidal pyrimidines and dihydrotriazines as novel classes

- of anticancer agents against hormone-dependent breast cancer cells. Front Pharmacol 2017;8:979. DOI: 10.3389/fphar.2017.00979
- Reid G., Hübner M.R., Métivier R. et al. Cyclic, proteasomemediated turnover of unliganded and liganded ERalpha on responsive promoters is an integral feature of estrogen signaling. Mol Cell 2003;11(3):695–707. DOI: 10.1016/s1097-2765(03)00090-x
- Shchegolev Y., Sorokin D., Scherbakov A. et al. Upregulation of Akt/Raptor signaling is associated with rapamycin resistance of breast cancer cells. Chem Biol Inter 2020;330:109243.
   DOI: 10.1016/j.cbi.2020.109243
- 22. Mruk D.D., Cheng C.Y. Enhanced chemiluminescence (ECL) for routine immunoblotting: An inexpensive alternative to commercially available kits. Spermatogenesis 2011;1(2):121–2. DOI: 10.4161/spmg.1.2.16606
- 23. Bae Y.-H., Shin J.-M., Park H.-J. et al. Gain-of-function mutant p53-R280K mediates survival of breast cancer cells. Genes Genomics 2014;36(2):171–8. DOI: 10.1007/s13258-013-0154-9
- 24. Andreeva O.E., Sorokin D.V., Vinokurova S.V. et al. The effect of DNA methyltransferase 3A suppression in progression of the resistance phenotype in breast cancer cells. Uspekhi molekulyarnoy onkologii = Advances in Molecular Oncology 2023;10(4):149–56. DOI: 10.17650/2313-805X-2023-10-4-149-156
- Hanahan D., Weinberg R.A. Hallmarks of cancer: the next generation. Cell 2011;144(5):646–74. DOI: 10.1016/j. cell.2011.02.013
- Faget D.V., Ren Q., Stewart S.A. Unmasking senescence: context-dependent effects of SASP in cancer. Nat Rev Cancer 2019;19(8):439–53. DOI: 10.1038/s41568-019-0156-2
- Niklander S.E., Lambert D.W., Hunter K.D. Senescent cells in cancer: wanted or unwanted citizens. Cells 2021;10(12):3315.
   DOI: 10.3390/cells10123315
- Kadota T., Fujita Y., Yoshioka Y. et al. Emerging role of extracellular vesicles as a senescence-associated secretory phenotype: Insights into the pathophysiology of lung diseases. Mol Aspects Med 2018;60:92–103. DOI: 10.1016/j.mam.2017.11.005
- Jakhar R., Crasta K. Exosomes as emerging pro-tumorigenic mediators of the senescence-associated secretory phenotype. Int J Mol Sci 2019;20(10):2547. DOI: 10.3390/ijms20102547
- Yamauchi S., Takahashi A. Cellular senescence: mechanisms and relevance to cancer and aging. J Biochem 2025;177(3):163–9. DOI: 10.1093/jb/myae079
- 31. Shimizu K., Inuzuka H., Tokunaga F. The interplay between cell death and senescence in cancer. Sem Cancer Biol 2025;108:1–16. DOI: 10.1016/j.semcancer.2024.11.001
- 32. Gorgoulis V., Adams P.D., Alimonti A. et al. Cellular Senescence: defining a path forward. Cell 2019;179(4):813–27. DOI: 10.1016/j.cell.2019.10.005
- Ewald J. A., Desotelle J.A., Wilding G. et al. Therapy-induced senescence in cancer. J Nat Cancer Inst 2010;102(20):1536–46.
   DOI: 10.1093/jnci/djq364
- Semreen M.H., Alniss H., Cacciatore S. et al. GC-MS based comparative metabolomic analysis of MCF-7 and MDA-MB-231 cancer cells treated with tamoxifen and/or paclitaxel. J Proteomics 2020;225:103875. DOI: 10.1016/j.jprot.2020.103875
- 35. Lin H., Ai D., Liu Q. et al. Natural isoflavone glabridin targets PI3Kγ as an adjuvant to increase the sensitivity of MDA-MB-231 to tamoxifen and DU145 to paclitaxel. J Steroid Biochem Mol Biol 2024;236:106426. DOI: 10.1016/j.jsbmb.2023.106426
- 36. Sorokin D., Shchegolev Y., Scherbakov A. et al. Metformin restores the drug sensitivity of mcf-7 cells resistant derivates via the cooperative modulation of growth and apoptotic-related pathways. Pharmaceuticals (Basel) 2020;13(9):206. DOI: 10.3390/ph13090206

ന

#### Вклад авторов

Е.И. Михаевич, П.Б. Копнин: постановка экспериментов, анализ результатов, подготовка иллюстративного материала, редактирование;

О.Е. Андреева, Д.В. Сорокин: постановка экспериментов, анализ результатов;

А.М. Щербаков, М.В. Гудкова: анализ результатов, подготовка иллюстративного материала, редактирование;

М.А. Красильников: разработка концепции и дизайна экспериментов; анализ результатов, подготовка иллюстративного материала, написание текста статьи.

#### Authors' contributions

E.I. Mikhayevich, P.B. Kopnin: setting up experiments, analyzing results, preparing illustrative material, editing;

O.E. Andreeva, D.V. Sorokin: setting up experiments, analyzing the results;

A.M. Scherbakov, M.V. Gudkova: analysis of results, preparation of illustrative material, editing;

M.A. Krasil'nikov: development of the concept and design of experiments; analysis of results, preparation of illustrative material, article writing.

#### ORCID abtorob / ORCID of authors

Е.И. Михаевич / Е.І. Mikhaevich: https://orcid.org/0000-0002-1299-9080

O.E. Андреева / O.E. Andreeva: https://orcid.org/0000-0002-6015-6619

Д.В. Сорокин / D.V. Sorokin: https://orcid.org/0000-0002-1264-7405

А.М. Щербаков / А.М. Scherbakov: https://orcid.org/0000-0002-2974-9555

П.Б. Копнин / Р.В. Kopnin: https://orcid.org/0000-0002-2078-4274

М.В. Гудкова / M.V. Gudkova: https://orcid.org/0000-0003-2694-5232

М.А. Красильников / М.А. Krasil'nikov: https://orcid.org/0000-0002-5902-7633

#### Конфликт интересов. Авторы заявляют об отсутствии конфликта интересов

**Conflicts of interest.** All authors declared that there are no conflicts of interest.

Финансирование. Работа выполнена при финансовой поддержке Российского научного фонда (грант № 24-15-00173; https://rscf.ru/project/24-15-00173/).

Funding. This work was supported by Russian Science Foundation (grant No. 24-15-00173; https://rscf.ru/project/24-15-00173/).

**DOI:** https://doi.org/10.17650/2313-805X-2025-12-3-57-69



# Ген рецептора урокиназы *PLAUR* как регулятор экспрессии генов эпителиальномезенхимального перехода и миграции клеток глиом и нейробластом

А.В. Ласица<sup>1</sup>, М.И. Антипина<sup>1</sup>, Д.А. Назарова<sup>1</sup>, К.А. Рубина<sup>2</sup>, В.Ю. Сысоева<sup>2</sup>, Е.В. Семина<sup>1, 2</sup>

<sup>1</sup>Лаборатория трансляционных исследований, ОНК «Институт медицины и наук о жизни», ФГАОУ ВО «Балтийский федеральный университет им. И. Канта»; Россия, 236041 Калининград, ул. Университетская, 2;

<sup>2</sup>лаборатория морфогенеза и репарации тканей, Медицинский научно-образовательный институт, ФГБОУ ВО «Московский государственный университет им. М.В. Ломоносова»; Россия, 119234 Москва, Ломоносовский пр-кт, 27, корп. 10

**Контакты:** Екатерина Владимировна Семина *e-semina@yandex.ru* 

**Введение.** Белки урокиназной системы, включающие сериновую протеазу – урокиназу (uPA), ее рецептор (uPAR) и ингибиторы PAI-1 и PAI-2, играют ключевую роль в биологии опухолей, влияя на клеточную пролиферацию и рост опухоли, инвазию, метастазирование и ангиогенез. Несмотря на доказанную роль этих белков в канцерогенезе многих типов опухолей, до сих пор недостаточно изучены механизмы, лежащие в основе их действия, в том числе влияние на миграцию клеток, эпителиально-мезенхимальный переход и стволовость.

**Цель исследования** — оценить влияние гиперэкспрессии гена рецептора урокиназы *PLAUR* на экспрессию генов адгезии и стволовости и миграцию клеток глиомы и нейробластомы человека.

Материалы и методы. В исследовании использованы 2 клеточные линии глиомы человека (U87 и U251) и клеточная линия нейробластомы человека SH-SY5Y. Для гиперэкспрессии гена *PLAUR* создана плазмида и проведена трансфекция опухолевых клеток. Для оценки относительной экспрессии генов использовали полимеразную цепную реакцию в реальном времени. Для оценки миграции клеток применяли тест на заживления раны (Wound Healing Assay) и анализ изображений в программе ImageJ с использованием плагина MRI Wound Healing Tool. Статистический анализ результатов выполняли с помощью программного обеспечения GraphPad Prizm v.10.

**Результаты.** Высокая экспрессия гена рецептора урокиназы *PLAUR* сопряжена с существенным повышением миграции клеток и сложными фенотипическими изменениями в клетках глиомы U251 с индукцией экспрессии генов *CD56, CDH1, CDH2, ZEB2, SOX2*; в клетках глиомы U87 с индукцией экспрессии генов *PLAU, CD56, CDH1, ZEB1, ZEB2, SNAI1, SNAI2, SOX2, NANOG* и подавлением экспрессии генов *CDH2*; в клетках нейробластомы SH-SY5Y с индукцией экспрессии генов *CD56, CDH1, ZEB1, ZEB2, SNAI2, SOX2* и подавлением экспрессии гена урокиназы *PLAU* по сравнению с трансфицированными контрольной плазмидой pGFP клетками.

Заключение. Полученные результаты подчеркивают сложность регуляции процессов канцерогенеза с участием гена *PLAUR* и углубляют наше понимание биологии опухолей. Высокая экспрессия гена *PLAUR* в клетках опухоли усиливает их миграцию за счет индукции экспрессии генов *SNAI1/2* и *ZEB1/2* – ключевых транскрипционных факторов, инициирующих эпителиально-мезенхимальный переход.

**Ключевые слова:** рецептор урокиназы, *PLAUR*, uPAR, глиома, нейробластома, эпителиально-мезенхимальный переход, миграция клеток

**Для цитирования:** Ласица А.В., Антипина М.И., Назарова Д.А. и др. Ген рецептора урокиназы *PLAUR* как регулятор экспрессии генов эпителиально-мезенхимального перехода и миграции клеток глиом и нейробластом. Успехи молекулярной онкологии 2025;12(3):57–69.

DOI: https://doi.org/10.17650/2313-805X-2025-12-3-57-69

## Urokinase receptor gene *PLAUR* as a regulator of epithelial-mesenchymal transition gene expression and migration of glioma and neuroblastoma cells

A.V. Lasitsa<sup>1</sup>, M.I. Antipina<sup>1</sup>, D.A. Nazarova<sup>1</sup>, K.A. Rubina<sup>2</sup>, V.Yu. Sysoeva<sup>2</sup>, E.V. Semina<sup>1, 2</sup>

<sup>1</sup>Laboratory of Translational Research, Institute of Medicine and Life Sciences, I. Kant Baltic Federal University; 2 Universitetskaya St., Kaliningrad 236041, Russia;

<sup>2</sup>Laboratory of Mechanisms of Morphogenesis and Tissue Repair, Medical Research and Education Institute, Lomonosov Moscow State University; Bld. 10, 27 Lomonosovsky Prospekt, Moscow 119234, Russia

Contacts: Ekaterina Vladimirovna Semina e-semina@yandex.ru

**Introduction.** The proteins of the urokinase system, including serine protease urokinase (uPA), its receptor (uPAR), and inhibitors PAI-1 and PAI-2, play a key role in tumor biology by influencing cellular proliferation and tumor growth, invasion, metastasis, and angiogenesis. Despite the established role of these proteins in the carcinogenesis of many tumor types, the mechanisms underlying their action, including their effects on cell migration, epithelial-mesenchymal transition, and stemness, remain insufficiently studied.

**Aim.** To evaluate the influence of the urokinase receptor gene *PLAUR* on the expression of adhesion and stemness genes, as well as on the migration of human glioma and neuroblastoma cells.

**Materials and methods.** The study utilized two human glioma cell lines, U87 and U251, and the human neuroblastoma cell line SH-SY5Y. To achieve the overexpression of the *PLAUR* gene, a non-viral plasmid was created, followed by the transfection of the cells. Relative gene expression was assessed using real-time polymerase chain reaction. For evaluating cell migration, a Wound Healing Assay was performed, with image analysis conducted using ImageJ software and MRI Wound Healing Tool. Statistical analysis of the results was carried out using GraphPad Prism v.10.

**Results.** High expression of the urokinase receptor gene *PLAUR* is associated with a significant increase in cell migration and complex phenotypic changes. Specifically, in U251 glioma cells, there is an induction of the expression of the genes *CD56*, *CDH1*, *CDH2*, *ZEB2*, and *SOX2*. In U87 glioma cells, the expression of the genes *PLAU*, *CD56*, *CDH1*, *ZEB1*, *ZEB2*, *SNAI1*, *SNAI2*, *SOX2*, and *NANOG* is induced, while the expression of the gene CDH2 is suppressed. In SH-SY5Y neuroblastoma cells, there is an induction of the expression of the genes *CD56*, *CDH1*, *ZEB1*, *ZEB2*, *SNAI2*, and *SOX2*, along with a suppression of the expression of the urokinase gene *PLAU* compared to cells transfected with the control plasmid pGFP.

**Conclusion.** The results highlight the complexity of the regulation of carcinogenesis processes involving the *PLAUR* gene and deepen our understanding of tumour biology. High expression of the *PLAUR* gene may enhance the activity and invasion of tumor cells by regulating the epithelial-mesenchymal transition and altering the expression of key transcription factors.

Keywords: urokinase receptor, PLAUR, uPAR, glioma, neuroblastoma, epithelial-mesenchymal transition, cell migration

**For citation:** Lasitsa A.V., Antipina M.I., Nazarova D.A. et al. Urokinase receptor gene *PLAUR* as a regulator of epithelial-mesenchymal transition gene expression and migration of glioma and neuroblastoma cells. Uspekhi molekulyarnoy on-kologii = Advances in Molecular Oncology 2025;12(3):57–69. (In Russ.).

DOI: https://doi.org/10.17650/2313-805X-2025-12-3-57-69

#### **ВВЕДЕНИЕ**

Урокиназная система, включающая сериновую протеазу – урокиназу (uPA), ее высокоспецифичный рецептор (uPAR) и ингибиторы PAI-1 и PAI-2, активно регулирует процессы распада фибрина, восстановление тканей и реконструкцию внеклеточного матрикса [1]. Ген *PLAUR* у человека кодирует белок uPAR, играющий ключевую роль в ремоделировании тканей и деградации внеклеточного матрикса – процессов, которые способствуют инвазии и метастазированию злокачественных опухолей [2, 3]. Кроме того, uPAR может активировать ангиогенез, что обеспечивает опухоль необходимыми питательными веществами и кислородом для ее роста [2]. Результаты исследований показывают, что экспрессия *PLAUR* повышается в различных типах опухолей, в том числе в глиомах и нейробластомах, и ассоциирована с неблагоприятным прогнозом [4–8].

Глиомы представляют собой группу наиболее распространенных злокачественных опухолей центральной нервной системы [9]. Их лечение часто включает хирургическое вмешательство, лучевую и химиотерапию, однако прогноз при высокозлокачественных формах глиом остается неблагоприятным. Нейробластома представляет собой злокачественное новообразование с неясным механизмом спонтанной регрессии или дифференциации и в основном встречается у детей [10]. Клинические проявления этого заболевания неоднородны: его течение варьирует от благоприятного до тяжелого, с обширным метастазированием. Несмотря на увеличение 5-летней безрецидивной выживаемости, в различных подгруппах смертность при нейробластоме существенно различается [11]. Повышенные уровни экспрессии иРА и ее рецептора uPAR предсказывают неблагоприятные исходы и частые рецидивы у пациентов с данной опухолью [12].

Результаты исследований демонстрируют прямую связь между высокими концентрациями uPA и uPAR и степенью злокачественности опухолей, что подчеркивает их ключевую роль в патогенезе заболевания.

В процессе канцерогенеза эпителиально-мезенхимальный переход (ЭМП) играет ведущую роль в приобретении инвазивного потенциала клетками глиом и нейробластом. Важным отличительным признаком ЭМП является изменение экспрессии трансмембранных гликопротеинов, участвующих в клеточной адгезии.

Результаты проведенных нами ранее исследований на клетках нейробластомы показали, что экспрессия uPAR необходима для поддержания их эпителиального фенотипа, а нокаут uPAR способствует ЭМП и усилению миграции клеток [1]. При этом подавление экспрессии uPAR коррелирует с дормантностью, химиорезистентностью (нечувствительностью к цисплатину и доксорубицину) и образованием метастазов на мышиной модели in vivo [12]. Мы выявили, что изначально высокая экспрессия гена *PLAUR* предсказывает низкие показатели выживаемости при нейробластоме у человека, а при рецидивирующих нейробластомах наблюдается значительное понижение экспрессии гена *PLAUR*. В совокупности эти данные подчеркивают сложность регуляции процессов канцерогенеза, в которых участвует ген uPAR. Однако, несмотря на установленную патогенетическую роль экспрессии uPAR в различных типах опухолей, механизмы его действия, включая влияние на клеточную миграцию, ЭМП и стволовость, остаются недостаточно изученными.

**Цель исследования** — оценить влияние гиперэкспрессии гена рецептора урокиназы PLAUR на экспрессию генов адгезии и стволовости и миграцию клеток глиомы и нейробластомы человека.

#### МАТЕРИАЛЫ И МЕТОДЫ

**Клеточные линии.** Для работы использованы клеточные линии мультиформной глиобластомы человека U251 и U87 и линия нейробластомы человека SH-SY5Y.

Клетки культивировали в полноценной среде роста Dulbecco's Modified Eagle Medium (DMEM), содержащей 4,5 г/л глюкозы («ПанЭко», Россия), 10 % фетальной бычьей сыворотки (FBS; Capricorn Scientific, Германия) и раствор антибиотика/антимикотика (Capricorn Scientific, Германия; рабочая концентрация 100 мг/мл). Культивирование клеток проводили в клеточном инкубаторе при 37 °C и 5 % CO<sub>2</sub>. Замену среды осуществляли по необходимости, но не реже чем 1 раз в 3 дня. При достижении 80-90 % конфлюентности клетки пассировали. Для этого среду удаляли, клетки однократно промывали раствором PBS (phosphate buffered saline; Capricorn Scientific, Германия) и инкубировали 3—5 мин в 1 % растворе трипсина (Capricorn Scientific, Германия). Для дезагрегации раствор с клетками и полноценной средой роста пипетировали и рассаживали на новые культуральные чашки в соотношении 1:4-1:5.

Получение плазмиды для гиперэкспрессии гена рецептора урокиназы. Ген uPAR PLAUR выделяли из матричной РНК (мРНК) нормальных фибробластов человека (первичная культура фибробластов любезно предоставлена коллегами с факультета фундаментальной медицины Московского государственного университета им. М.В. Ломоносова). Матричную РНК иРАR амплифицировали методом полимеразной цепной реакции (ПЦР) с помощью специфических праймеров, содержащих сайты рестрикции BmtI и Sal1 (PLAUR\_amplicon) (табл. 1) с последующим лигированием по липким концам. Для вектора, содержащего комплементарную ДНК (кДНК) uPAR (плазмида pPLAUR), использовали коммерческую плазмиду AddGene (кат. № 178310), содержащую ген зеленого флуоресцентного белка для оценки трансфекции и работы вектора. Для создания липких концов у вставки и вектора проведена двойная рестрикция плазмиды pTYF-EF1a-hIRES-EGFP и ампликона с геном PLAUR. Рестрикция выполнена с использованием ферментов BmtI (сайт узнавания — GCTAG↑C/C↓GATCG) и SalI (сайт узнавания – G↑TCGAC/CAGCT↓G) (SibEnzvme, Россия). Лигирование проводили с помощью Т4 ДНК лигазы (ЗАО «Евроген», Россия) в соответствии с протоколом производителя. Для реакции использован буфер 5X Quick ligation, позволяющий осуществлять быстрое лигирование. Итоговые соотношения вставки и вектора рассчитаны с помощью программы NEBioCalculator (https://nebiocalculator.neb.com/#!/ligation), которая учитывает количество и длину фрагментов. В качестве контроля GFP использована плазмида pTYF-EF1a-EGFP (pGFP).

Для подтверждения правильности встраивания PLAUR в вектор использовали секвенирование по Сэнгеру. Для этого к последовательности гена PLAUR подобраны 3 праймера (Seq\_1, Seq\_2, Seq\_3), позволяющие прочитать PLAUR полностью. Секвенирующую реакцию проводили в объеме 10 мкл (1 мкл — 2.5х BigDye premix; 1,5 мкл — 5х Sequencing Buffer; 0,5 мкл PCR-grade DMSO (Thermo Fisher Scientific, США)), 1 мкг плазмиды рТУF-EF1a-PLAUR-hIRES-EGFP (pPLAUR) с добавлением 10 мкМ праймера. Последовательности праймеров для секвенирования представлены в табл. 1. Амплификацию проводили с использованием амплификатора T100 Thermal Cycler (Bio-Rad, США). Перед секвенированием образцы были очищены с помощью набора D-Pure<sup>тм</sup> DyeTerminator Removal Kit (NimaGen, Нидерланды).

Очищенные продукты амплификации секвенировали на генетическом анализаторе Applied Biosystems 3500/3500xL (Thermo Fisher Scientific, США). Полученные результаты визуализированы в программе SnapGene 7.1.1 для оценки качества хроматограмм и выровнены в программе NCBI BLAST (https://blast.ncbi.nlm.nih.gov/Blast.cgi) для определения правильного встраивания вставки в вектор.

**Трансфекция опухолевых клеток.** Клеточные линии U251, U87 и SH-SY5Y рассажены на 24-луночный планшет (Servicebio, Китай) и культивировались при 37 °C и 5 %  $CO_2$ . Для трансфекции использовали реагент

Таблица 1. Характеристика праймеров, используемых в исследовании

**Table 1.** Characteristics of the primers used in the study

Table 1. Characteristics of the	e primers used in the study			
<b>Ген</b> Gene	Праймер Primer	Последовательность Sequence	Teмпература отжига, °C Annealing temperature, °C	
DI AUD amplican	Forward_BmtI	TAATGCTAGCATGGGTCACCCGCCG	58	
PLAUR_amplicon	Reverse_SalI	TATTGTCGACTTAGGTCCAGAGGAGAGTGCCT	38	
Seq_1	Forward	CAGACAGTGGTTCAAAGTTT		
Seq_2	Forward	TTACCTCGAATGCATTTCCT	54	
Seq_3	Forward	TCACGAACCGAAAAACCAA		
DIAIID	Forward	CCACTCAGAGAAGACCAACAGG	50	
PLAUR	Reverse	GTAACGGCTTCGGGAATAGGTG	59	
DIAII	Forward	GGCTTAAACTCCAACACGCAAGG	50	
PLAU	Reverse	CCTCCTTGGAACGGATCTTCAG	59	
CD44	Forward	CCAGAAGGAACAGTGGTTTGGC	50	
CD44	Reverse	ACTGTCCTCTGGGCTTGGTGTT	59	
CDSC	Forward	CATCACCTGGAGGACTTCTACC	50	
CD56	Reverse	CAGTGTACTGGATGCTCTTCAGG	59	
CDIII	Forward	GGCTGGACCGAGAGAGTTTC	55	
CDH1	Reverse	ACGACGTTAGCCTCGTTCTC	55	
CDIII	Forward	ATGGGAAATGGAAACTTGATGGC	57	
CDH2	Reverse	CAGTTGCTAAACTTCACTGAAAGG	57	
ZED 1	Forward	GGCATACACCTACTCAACTACGG	50	
ZEB1	Reverse	TGGGCGGTGTAGAATCAGAGTC	59	
ZEDA	Forward	AATGCACAGAGTGTGGCAAGGC	50	
ZEB2	Reverse	CTGCTGATGTGCGAACTGTAGG	59	
CNAI	Forward	GCGAGCTGCAGGACTCTAAT		
SNAI1	Reverse	CATCTGACAGGGAGGTCAGC	61	
Chillo	Forward	ATCTGCGGCAAGGCGTTTTCCA	<b>.</b>	
SNAI2	Reverse	GAGCCCTCAGATTTGACCTGTC	61	
NANOC	Forward	CTCCAACATCCTGAACCTCAGC	59	
NANOG	Reverse	CGTCACACCATTGCTATTCTTCG		
COVA	Forward	GAAGGATAAGTACACGCTGC	(2)	
SOX2	Reverse	GTTCATTGTCGCGTAACTGT	63	
. 16	Forward	CCTGGTGCTCCATGAGGAGAC	(2)	
с-Мус	Reverse	CAGACTCTGACCTTTTGCCAGG	63	
	Forward	CTTTCCGCTCGGCTGTTTTC		
ACTB	Reverse	GGCCTTACGTCTGCGGAT	59	

Invitrogen<sup>™</sup> Lipofectamine<sup>™</sup> 2000 (Thermo Fisher Scientific, США) и клетки, достигшие 50-60 % конфлюэнтности. Также применяли плазмиду pPLAUR для гиперэкспрессии гена PLAUR и контрольную плазмиду pGFP; для каждого типа клеток проведены 6 биологических повторов. Трансфекцию выполняли по протоколу Invitrogen (США). В день трансфекции полноценная среда для культивирования клеток была заменена на среду DMEM («Панэко», Россия), не содержащую сыворотки и антибиотика. Для каждой точки трансфекции подготовлены 2 реакции — с плазмидой pPLAUR/pGFP и DMEM (на общий объем 50 мкл брали 1 мкг плазмиды) и с Lipofectamine 2000 и DMEM (на общий объем 50 мкл брали 1 мкл трансфектанта). Через 5 мин инкубации раствор, содержащий плазмиду, смешивали с раствором, содержащим Lipofectamine 2000, и полученную смесь инкубировали 20 мин. Далее полученный комплекс аккуратно вносили к клеткам и инкубировали в течение 12 ч. По истечении этого времени клеткам меняли среду на полноценную и не позднее чем через 48 ч после трансфекции анализировали экспрессию генов интереса в клетках и миграцию клеток *in vitro* (Wound Healing Assav).

Выделение РНК из клеток. Тотальную РНК из клеток выделяли с использованием реагента ExtractRNA (ЗАО «Евроген», Россия) в соответствии с протоколом производителя. Далее выделенную РНК конвертировали в кДНК с использованием метода обратной транскрипции. Для получения кДНК применяли 1 мкг тотальной РНК. Реакцию проводили с использованием фермента обратной транскриптазы ММLV (ЗАО «Евроген», Россия) и праймеров Oligo(dT) в соответствии с протоколом производителя

Оценка экспрессии генов в клетках. Оценена экспрессия ряда генов, кодирующих белки, участвующие в процессах ЭМП, адгезии и поддержании стволовости клеток опухоли. Исследованные гены, сгруппированные по их функциональным характеристикам и роли в опухолевом процессе, представлены в табл. 2.

Экспрессия мРНК генов оценена с помощью ПЦР в реальном времени и реагента 2X qPCRmix-HS SYBR (ЗАО «Евроген», Россия). Для анализа экспрессии генов урокиназной системы *PLAUR* и *PLAU*, клеточной адгезии (CD44, CD56), ЭМП (CDH1, CDH2, ZEB1/2, SNAI1/2) и стволовости (SOX2, NANOG, c-Myc) подобраны праймеры с использованием онлайн-сервиса Primer-Blast NCBI и дополнительных инструментов проверки правильности подбора праймеров (T<sub>m</sub> Calculator (Thermo Fisher Scientific, США) и Oligonucleotide Properties Calculator). Для увеличения специфичности к кДНК праймеры отобраны таким образом, чтобы как минимум 1 последовательность из пары лежала на сочленении экзонов. Последовательность используемых праймеров представлена в табл. 1. Предварительную денатурацию кДНК проводили при 95 °C в течение 30 с, далее выполняли денатурацию при 95 °C в течение 30 с, отжиг праймеров 30 с при температуре, указанной для соответствующего праймера (см. табл. 1),

и элонгацию при 72 °C в течение 30 с. Для нормирования данных использовали ген домашнего хозяйства ACTB, относительно которого рассчитан показатель  $\Delta$ Ct. Значения Ct целевых генов определены эмпирически в ходе подготовительных оценочных экспериментов и варьировали от 26 до 38 циклов, что соответствует различным уровням экспрессии. Показатель  $\Delta$ Ct позволяет нормировать значения Ct целевого гена на референсный ген. Относительный уровень транскрипта рассчитан с использованием метода  $2^{(-\Delta\Delta Ct)}$ .

Оценка миграции клеток in vitro (Wound Healing Assay). Для исследования миграции клеток проведен тест «заживление раны» in vitro. Перед экспериментом клетки находились в состоянии депривации в течение суток. В каждой лунке делали царапину стерильным наконечником объемом 1000 мкл. После этого клеткам меняли среду на новую и помещали их в систему визуализации живых клеток в реальном времени JuLi Stage. Во время эксперимента в системе поддерживали стандартные условия культивирования клеток – 5 % СО, и 37 °С. Система визуализации осуществляла цейтраферную съемку 3 полей зрения в каждой лунке в течение 48 ч. Скорость миграции клеток оценивали с использованием программы ImageJ и плагина MRI Wound Healing Tool с помощью вычисления процента площади царапины/раны через 0-24-48 ч для клеток глиомы U251, U87 и 0-12-24 ч для клеток нейробластомы SH-SY5Y с учетом их быстрой скорости базовой миграции. Для каждой экспериментальной точки подсчитаны не менее 4 лунок по 3 поля зрения в лунке.

Статистический анализ. Полученные данные об относительной экспрессии генов обработаны в программе GraphPad Prism (версия 10.3.0). Выбивающиеся из общей выборки показатели Сt предварительно были удалены. Показатели нормальности и значимость различий в уровнях транскрипции генов рассчитаны с помощью однофакторного дисперсионного анализа (one-way ANOVA — тест Dunnet). Различия между сравниваемыми выборками считались статистически значимыми при p < 0.05. Все результаты представлены как среднее (3 биологических повтора)  $\pm$  стандартное отклонение.

Для анализа миграции опухолевых клеток с использованием программы ImageJ рассчитаны средние значения для временных интервалов, после чего значения на 12, 24 или 48 ч делили на контрольные значения на 0 ч и выражали в процентах для оценки относительного изменения миграции. Затем полученные результаты были перенесены в программу GraphPad Prism (версия 10.3.0) для дальнейшего анализа и визуализации. Статистический анализ проводили с использованием параметрического анализа one-way ANOVA — тест Tukey. Различия между сравниваемыми выборками считались статистически значимыми при p < 0.05. Данные представлены как средняя остаточная площадь раны через 24 ч (12 ч для клеток нейробластомы SH-SY5Y) в процентах от исходной площади раны в 0 ч.

#### Таблица 2. Характеристика исследуемых генов [13–18]

**Table 2.** Characteristics of the studied genes [13–18]

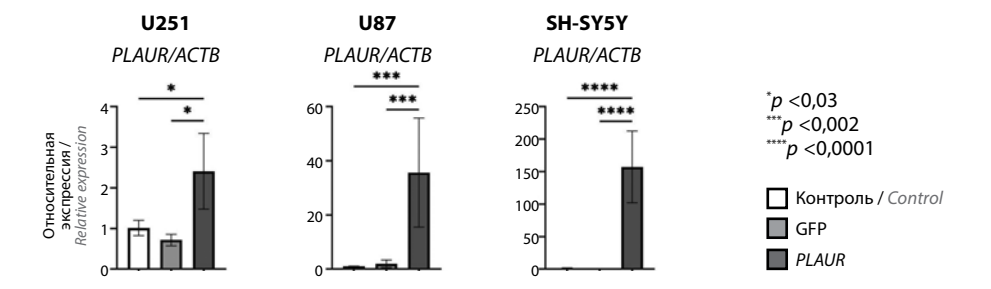
<b>Ген</b> Gen	<b>Кодируемый белок</b> Coded protein	Функциональная группа Functional group	Роль в опухолевом процессе Role in tumor growth
PLAUR	Рецептор урокиназы (uPAR) Urokinase receptor (uPAR)	Ремоделирование внеклеточного матрикса, инвазия Extracellular matrix remodeling, invasion	Активирует миграцию, инвазию клеток и эпителиально-мезенхимальный переход Activates migration, cell invasion and epithelial-mesenchymal transition
PLAU	<b>Урокиназа (uPA)</b> Urokinase (uPA)	Активация плазминогена, протеолиз, инвазия Plasminogen activation, proteolysis, invasion	Активирует плазминоген, способствует деградации матрикса и миграции клеток Activates plasminogen, promotes matrix degradation and cell migration
CDH1	<b>Е-кадгерин</b> E-cadherin	Межклеточная адгезия, поддержание эпителиального фенотипа Intercellular adhesion, maintenance of epithelial phenotype	Обеспечивает межклеточную адгезию, снижение экспрессии связано с активацией эпителиально-мезенхимального перехода Mediates intercellular adhesion, lowered expression is associated with activation of epithelial-mesenchymal transition
CDH2	<b>N-кадгерин</b> N-cadherin	Межклеточная адгезия, поддержание мезенхимального фенотипа Intercellular adhesion, maintenance of epithelial phenotype	Обеспечивает межклеточную адгезию, повышение экспрессии связано с активацией эпителиально-мезенхимального перехода, стимулирует инвазию и миграцию клеток Mediates intercellular adhesion, increased expression is associated with activation of epithelial-mesenchymal transition, stimulates cell invasion and migration
ZEB1, ZEB2	ZEB1, ZEB2	Транскрипционные факторы эпителиально-мезенхимально-го перехода Transcription factors of epithelial-mesenchymal transition	Напрямую подавляют экспрессию гена <i>CDH1</i> и активируют эпителиально-мезенхимальный переход Directly suppress <i>CDH1</i> gene expression and activate epithelial-mesenchymal transition
SNAI1, SNAI2	SNAIL, SLUG	Транскрипционные факторы эпителиально-мезенхимально-го перехода Transcription factors of epithelial-mesenchymal transition	Подавляют экспрессию генов эпителиального фенотипа, активируют эпителиально-мезен-химальный переход Suppress expression of epithelial phenotype genes, activate epithelial-mesenchymal transition
CD44	CD44 (рецептор гиалуроновой кислоты) CD44 (hyaluronic acid receptor)	Молекула адгезии Adhesion molecule	Участвует в клеточной адгезии, миграции, поддерживает стволовые свойства клеток и способствует инвазии Participates in cell adhesion, migration, supports stem-like properties of the cells and promotes invasion
CD56 (NCAM)	NCAM, молекула адгезии нервных клеток NCAM, neural cell adhesion molecule	Молекула адгезии Adhesion molecule	Ассоциирован с поддержанием стволовых свойств клеток Associated with maintenance of stem-like properties of the cells
SOX2, NANOG, c-Myc	SOX2, NANOG, c-Myc	Транскрипционные факторы, маркеры стволовости Transcription factors, stemness markers	Поддерживают плюрипотентность и самообновление опухолевых клеток Maintain pluripotency and self-renewal of tumor cells

#### **РЕЗУЛЬТАТЫ**

Получение опухолевых клеток, гиперэкспрессирующих ген *PLAUR*. В исследовании использованы клеточные линии глиомы U251, U87 и нейробластомы SH-SY5Y человека, гиперэкспрессирующие ген *PLAUR*. Гиперэкспрессию этого гена определяли методом ПЦР в реальном времени до и после трансфекции клеточ-

ных линий плазмидами для гиперэкспрессии PLAUR pPLAUR и контрольной плазмидой pGFP. В результате трансфекции плазмидой pPLAUR экспрессия гена PLAUR в клетках глиомы U251 увеличилась в 3,4 раза, в клетках глиомы U87 — в 20 раз, в клетках SH-SY5Y — в 234 раза по сравнению с клетками pGFP, трансфицированными контрольной плазмидой GFP (рис. 1).

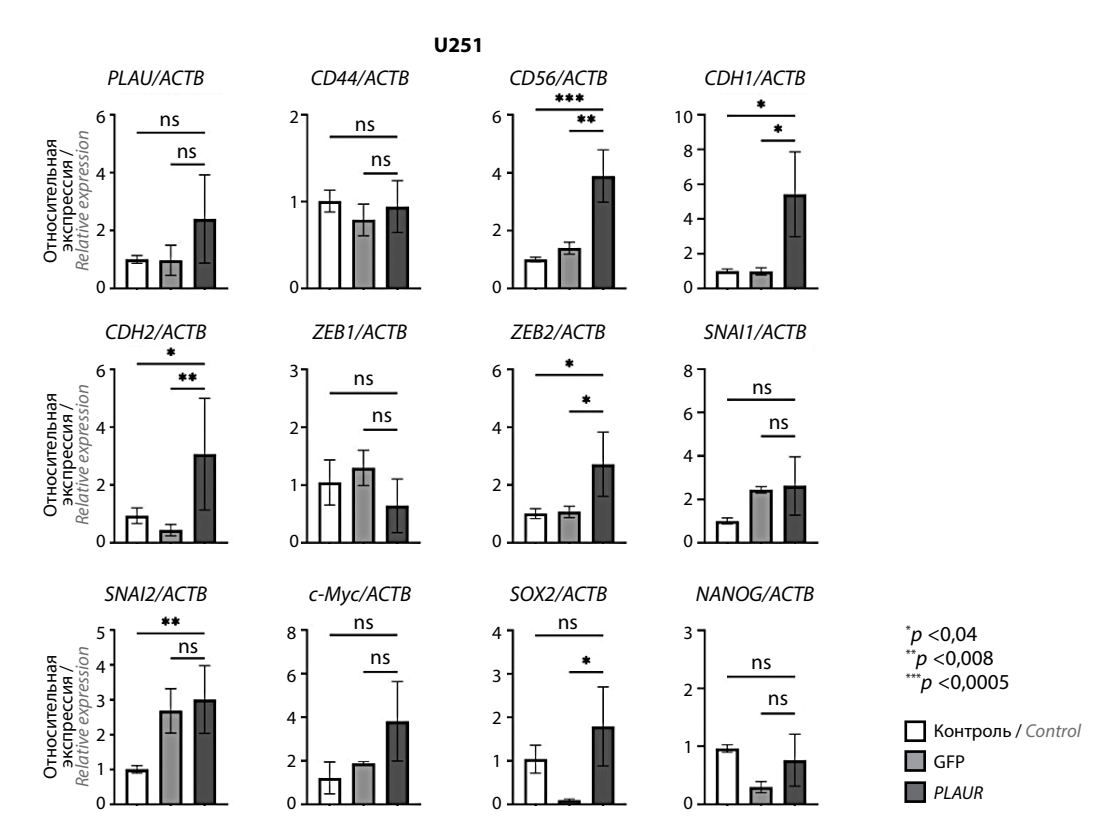
S



**Рис. 1.** Экспрессия гена PLAUR в клеточных линиях глиомы U251, U87 и нейробластомы SH-SY5Y. Относительная экспрессия гена PLAUR нормирована на референсный ген ACTB. В качестве контроля использовали нетрансфицированные клетки. GFP — клетки после трансфекции с контрольной плазмидой pGFP; PLAUR — клетки после трансфекции плазмидой pPLAUR. Результаты представлены как среднее (3 биологических повтора)  $\pm$  стандартное отклонение. Статистический анализ параметрических данных проведен с помощью one-way ANOVA — mecma Dunnet Fig. 1. PLAUR gene expression in glioma cell lines U251, U87 and neuroblastoma cell line SH-SY5Y. Relative expression of PLAUR gene is normalized by ACTB reference gene. Non-transfected cells were used as control. GFP — cells after transfection with pGFP control plasmid; PLAUR — cells after transfection with pPLAUR plasmid. Results are presented as mean (3 biological replicates)  $\pm$  standard deviation. Statistical analysis of parametric data was performed using one-way ANOVA, Dunnett test

Влияние экспрессии гена *PLAUR* на экспрессию генов адгезии, эпителиально-мезенхимального перехода и стволовости в клетках глиомы и нейробластомы человека. Далее проведена оценка экспрессии генов адгезии, ЭМП и стволовости до и после индукции экспрессии гена *PLAUR*. В клетках глиомы U251 индукция

экспрессии гена *PLAUR* привела к увеличению экспрессии гена адгезии *CD56* в 2,78 раза, гена ЭМП *CDH1* — в 5,5 раза, *CDH2* — в 6,9 раза, *ZEB2* — в 2,5 раза, гена стволовости SOX2 — в 19,2 раза по сравнению с клетками, трансфицированными контрольной плазмидой pGFP (рис. 2). Статистически значимых разли-



**Рис. 2.** Экспрессия генов адгезии, эпителиально-мезенхимального перехода и стволовости в клеточной линии глиомы U251. Относительная экспрессия генов нормирована на референсный ген ACTB. Контроль — нетрансфицированные клетки; GFP — клетки после трансфекции контрольной плазмидой pGFP; PLAUR — клетки после трансфекции плазмидой pPLAUR; различия статистически незначимы. Результаты представлены как среднее (3 биологических повтора) ± стандартное отклонение. Статистический анализ параметрических данных проведен с помощью опеway ANOVA — теста Dunnet

Fig. 2. Expression of genes of adhesion, epithelial-mesenchymal transition and stemness in glioma cell line U251. Relative gene expression was normalized by ACTB reference gene. Control – non-transfected cells; GFP – cells after transfection with pGFP control plasmid; PLAUR – cells after transfection with pPLAUR plasmid; differences are not statistically significant. Results are presented as mean (3 biological replicates) ± standard deviation. Statistical analysis of parametric data was performed using one-way ANOVA, Dunnett test

чий в экспрессии генов *PLAU*, *CD44*, *ZEB1*, *SNAI1*, *SNAI2*, *c-Myc* и *NANOG* до и после индукции экспрессии гена *PLAUR* обнаружено не было.

В клетках глиомы U87 индукция экспрессии гена PLAUR привела к увеличению экспрессии гена адгезии CD56 в 5,22 раза, гена ЭМП CDH1 — в 4,76 раза, ZEB1 — в 4 раза, ZEB2 — в 7,7 раза, SNAI1 — в 2,4 раза, SNAI2 — в 2 раза, гена стволовости SOX2 — в 3,74 раза, NANOG — в 8,9 раза по сравнению с клетками pGFP (рис. 3). Также наблюдалось значимое увеличение экспрессии гена PLAU в 2,35 раза и значимое снижение экспрессии гена CDH2 в 0,31 раза. Статистически значимых различий в экспрессии генов CD44 и c-Myc до и после индукции экспрессии гена PLAUR обнаружено не было.

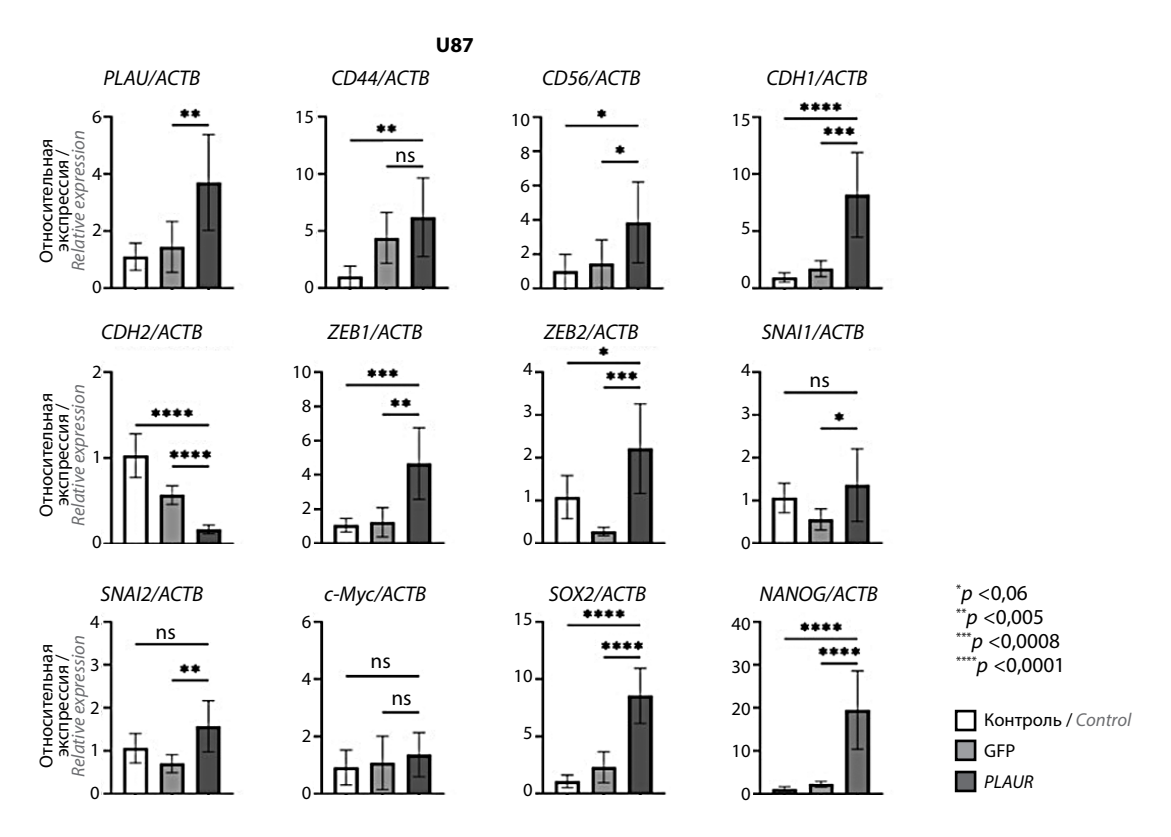
В клетках нейробластомы SH-SY5Y индукция экспрессии гена PLAUR привела к увеличению экспрессии гена адгезии CD56 в 4,8 раза, гена ЭМП CDH1- в 2,15 раза, ZEB1- в 2,21 раза, ZEB2- в 3,3 раза, SNAI2- в 3,5 раза, гена стволовости SOX2- в 3,11 раза по сравнению с клетками pGFP (рис. 4). Также наблюдалось значимое снижение экспрессии гена PLAU

в 0,35 раза. Статистически значимых различий в экспрессии генов *CD44*, *CDH2*, *SNAI1*, *c-Myc* и *NANOG* до и после индукции экспрессии гена *PLAUR* обнаружено не было.

Результаты оценки экспрессии анализируемых генов в клеточных линиях (глиомы U87 и U251 и нейробластомы SH-SY5Y) при гиперэкспрессии *PLAUR* представлены в табл. 3, где приведены только данные, которые статистически значимо отличаются от соответствующих контрольных значений, полученных на клетках, трансфицированных контрольной плазмидой pGFP.

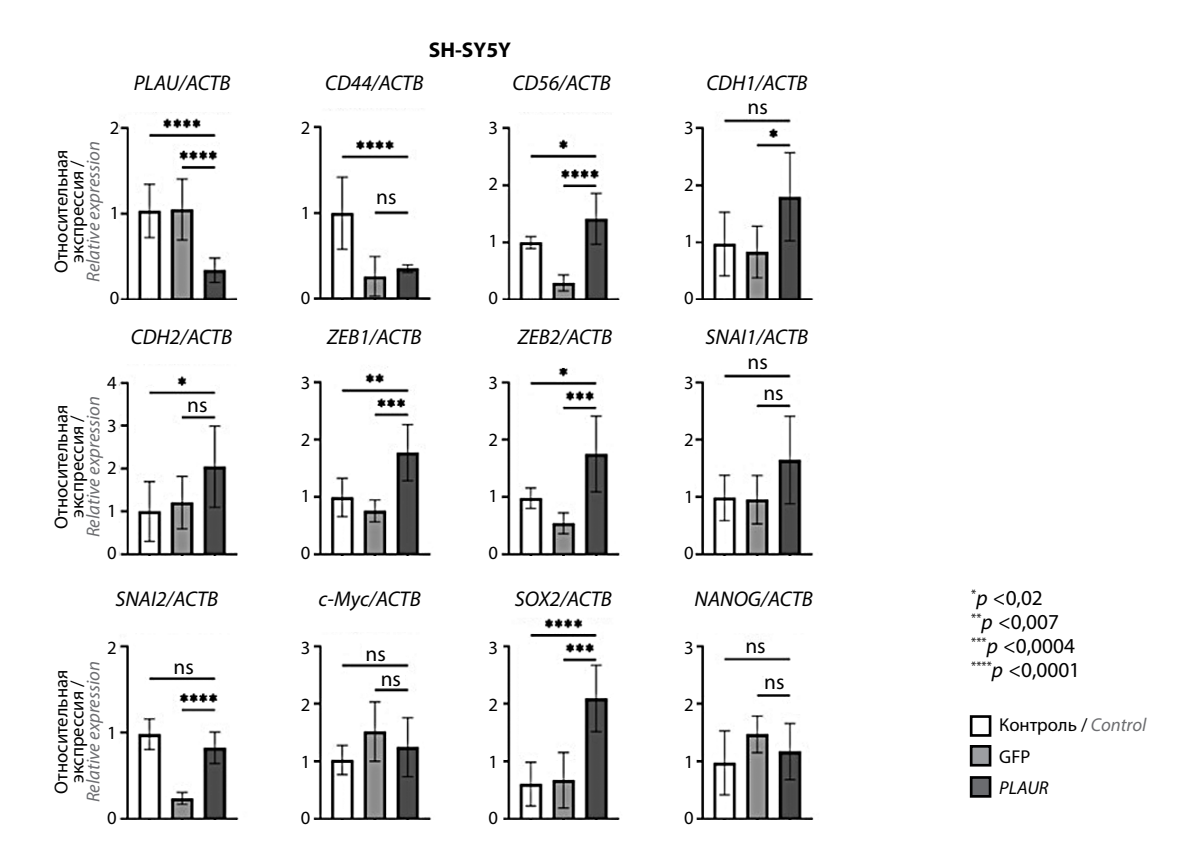
Регуляция миграции клеток опухоли экспрессией гена *PLAUR*. После индукции экспрессии гена *PLAUR* клетки глиобластомы U251 и U87 и нейробластомы SH-SY5Y демонстрировали значимо более высокую подвижность по сравнению с нетрансфицированными клетками (группа контроля) и клетками, трансфицированными контрольной плазмидой pGFP (рис. 5—7).

Так, в клетках глиомы U251, гиперэкспрессирующих PLAUR, площадь раны через 48 ч статистически значимо уменьшилась на 70 % по сравнению с исходным



**Рис. 3.** Экспрессия генов адгезии, эпителиально-мезенхимального перехода и стволовости в клеточной линии глиомы U87. Относительная экспрессия генов нормирована на референсный ген ACTB. Контроль—нетрансфицированные клетки; GFP — клетки после трансфекции с контрольной плазмидой pGFP; PLAUR — клетки после трансфекции плазмидой pPLAUR; различия статистически незначимы. Результаты представлены как среднее (3 биологических повтора)  $\pm$  стандартное отклонение. Статистический анализ параметрических данных проведен с помощью опе-way ANOVA — теста Dunnet

Fig. 3. Expression of genes of adhesion, epithelial-mesenchymal transition and stemness in glioma cell line U87. Relative gene expression was normalized by ACTB reference gene. Control – non-transfected cells; GFP – cells after transfection with pGFP control plasmid; PLAUR – cells after transfection with pPLAUR plasmid; differences are not statistically significant. Results are presented as mean (3 biological replicates) ± standard deviation. Statistical analysis of parametric data was performed using one-way ANOVA, Dunnett test



**Рис. 4.** Экспрессия генов адгезии, эпителиально-мезенхимального перехода и стволовости в клеточной линии нейробластомы SH-SY5Y. Относительная экспрессия генов нормирована на референсный ген ACTB. Контроль — нетрансфицированные клетки; GFP — клетки после трансфекции с контрольной плазмидой pGFP; PLAUR — клетки после трансфекции плазмидой pPLAUR; пs — различия статистически незначимы. Результаты представлены как среднее (3 биологических повтора)  $\pm$  стандартное отклонение. Статистический анализ параметрических данных проведен с помощью one-way ANOVA — теста Dunnet

Fig. 4. Expression of genes of adhesion, epithelial-mesenchymal transition and stemness in neuroblastoma cell line SH-SY5Y. Relative gene expression was normalized by ACTB reference gene. Control – non-transfected cells; GFP – cells after transfection with pGFP control plasmid; PLAUR – cells after transfection with pPLAUR plasmid; differences are not statistically significant. Results are presented as mean (3 biological replicates) ± standard deviation. Statistical analysis of parametric data was performed using one-way ANOVA, Dunnett test

значением. В контрольных клетках площадь сократилась на 32 % по сравнению с исходным значением (см. рис. 5, a). В клетках pGFP, трансфицированных контрольной плазмидой, площадь раны через 48 ч уменьшилась на 36 %. Клетки глиомы U251, гиперэкспрессирующие PLAUR, показали статистически значимо бо́льшую миграционную активность (в 2 раза выше) по сравнению с клетками pGFP через 48 ч и клетками группы контроля через 24 и 48 ч после начала эксперимента (см. рис. 5,  $\delta$ ).

В клетках глиомы U87, гиперэкспрессирующих PLAUR, площадь раны через 48 ч статистически значимо уменьшилась на 87 % по сравнению с исходным значением. В контрольных клетках через 48 ч площадь раны уменьшилась на 35 % по сравнению с начальным значением (см. рис. 6, a). В клетках pGFP наблюдалось снижение площади раны на 69 % за 48 ч. Клетки глиомы U87, гиперэкспрессирующие PLAUR, показали большую миграционную активность по сравнению с клетками pGFP (в 1,5 раза выше) и группой контроля

(в 2 раза выше) через 24 и 48 ч после начала эксперимента (см. рис. 4.  $\delta$ ).

При анализе миграции гиперэкспрессирующих PLAUR клеток нейробластомы SH-SY5Y обнаружено значимое снижение площади раны на 55 % от исходного значения через 24 ч. В контрольных клетках нейробластомы площадь раны сократилась на 31 % по сравнению с исходным значением (см. рис. 7, а). В клетках рGFP, трансфицированных контрольной плазмидой pGFP, площадь раны сократилась на 30 % за тот же период. Оценку миграции клеток нейробластомы проводили через 12 и 24 ч, поскольку эти клетки обладают повышенной подвижностью и уже через 48 ч полностью закрывают царапину, формируя монослой. Клетки нейробластомы SH-SY5Y, гиперэкспрессирующие *PLAUR*, показали статистически значимо большую миграционную активность по сравнению с клетками pGFP (в 1,5 раза выше) и группы контроля (в 1,7 раза выше) через 12 и 24 ч после начала эксперимента (см. рис. 7, б).

S

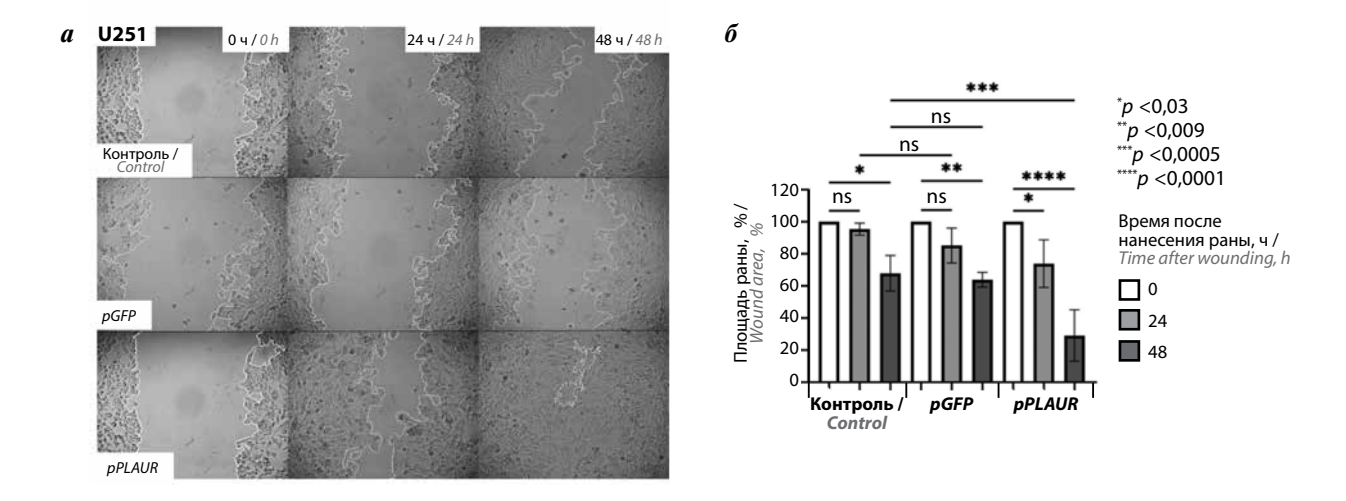
**Таблица 3.** Изменения экспрессии генов в клеточных линиях глиомы U87 и U251 и нейробластомы SH-SY5Y при гиперэкспрессии гена PLAUR

Table 3. Changes in gene expression in glioma cell lines U87 and U251 and neuroblastoma cell line SH-SY5Y with PLAUR gene hyperexpression

<b>Ген/белок</b> Gene/protein	Глиома U251 U251 glioma	Глиома U87 U87 glioma	Нейробластома SH-SY5Y Neuroblastoma SH-SY5Y
PLAUR/uPAR	1	<b>↑</b>	<b>↑</b>
<i>PLAU</i> /uPA	-	<b>↑</b>	$\downarrow$
CD44	-	-	-
CD56/NCAM	1	<b>↑</b>	1
<i>CDH1</i> /E-кадгерин <i>CDH1</i> /E-cadherin	1	1	1
<i>CDH2</i> /N-кадгерин <i>CDH2</i> /N-cadherin	1	1	-
ZEB1	-	<b>↑</b>	<b>↑</b>
ZEB2	1	<b>↑</b>	1
SNAI1	-	1	-
SNAI2	-	1	<b>↑</b>
SOX2	1	1	<b>↑</b>
NANOG	-	1	_
с-Мус	-	-	-

**Примечание.** uPA - yрокиназа; uPAR - pецептор урокиназы;  $\uparrow - з$ начимая индукция экспрессии;  $\downarrow - з$ начимое подавление экспрессии;  $\leftarrow -$  отсутствие изменений в экспрессии каждого гена в каждой опухолевой линии.

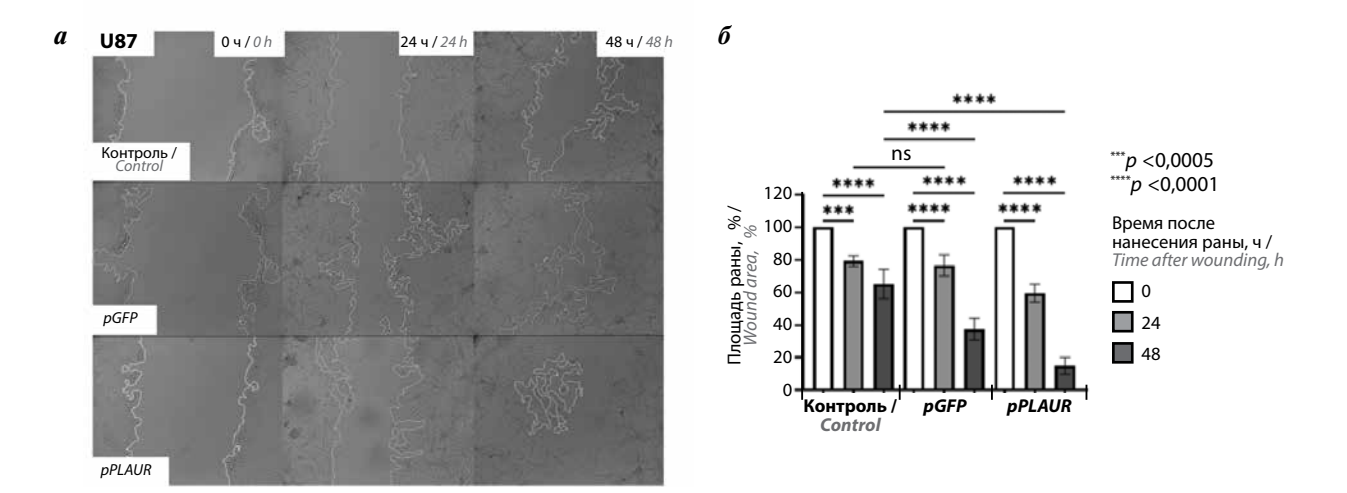
Note. uPA — urokinase; uPAR — urokinase receptor;  $\uparrow$  — significant induction of expression;  $\downarrow$  — significant suppression of expression; "—" — absence of changes in expression of each gene in each tumor cell line.



**Рис. 5.** Миграция клеточной линии глиомы U251 до и после индукции экспрессии гена PLAUR: а — площадь раны через 24 и 48 ч после нанесения царапины; б — анализ площади ран 3 независимых экспериментов. Контроль — нетрансфицированные клетки; pGFP — клетки после трансфекции с контрольной плазмидой pGFP; pPLAUR — клетки после трансфекции плазмидой pPLAUR; пѕ — различия статистически незначимы. Данные представлены как средняя площадь раны через 24 и 48 ч в процентах относительно исходной площади раны (0 ч). Статистический анализ данных проведен с помощью опе-way ANOVA — теста Tukey

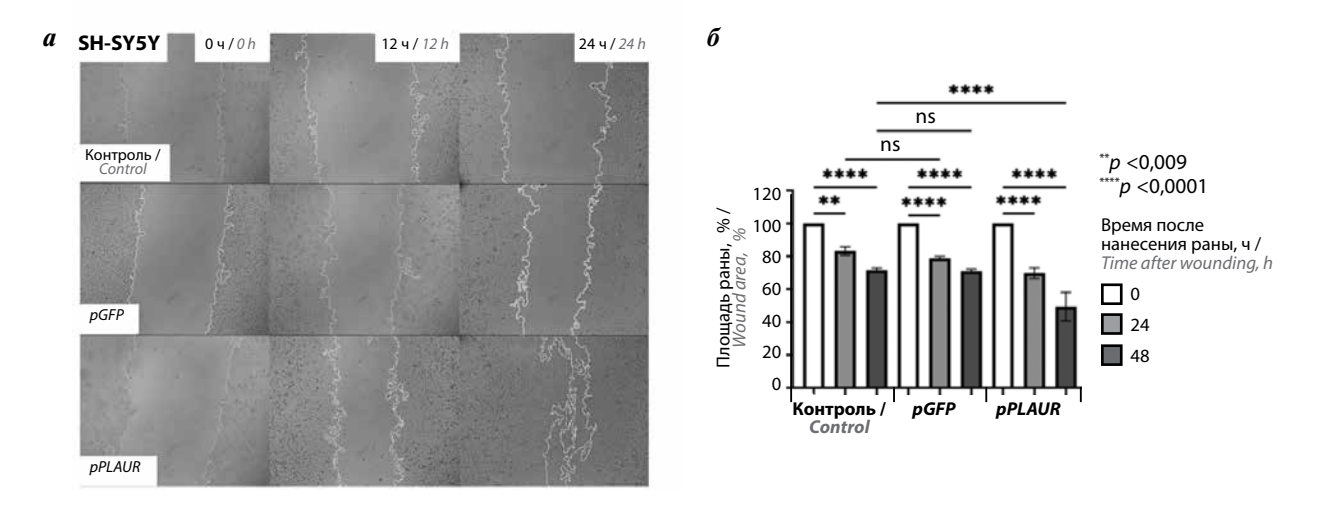
Fig. 5. Migration of glioma cell line U251 before and after PLAUR gene expression: a — wound area 24 and 48 hours after wounding; 6 — analysis of wound areas in 3 independent experiments. Control — non-transfected cells; GFP — cells after transfection with pGFP control plasmid; PLAUR — cells after transfection with pPLAUR plasmid; ns — differences are not statistically significant. Data are presented as mean wound area after 24 and 48 hours relative to baseline wound area (0 h) in percents. Statistical analysis of data was performed using one-way ANOVA, Tukey test

S



**Рис. 6.** Миграция клеточной линии глиомы U87 до и после индукции экспрессии гена PLAUR: а — площадь раны через 24 и 48 ч после нанесения царапины; б — анализ площади ран 3 независимых экспериментов. Контроль — нетрансфицированные клетки; pGFP — клетки после трансфекции с контрольной плазмидой pGFP; pPLAUR — клетки после трансфекции плазмидой pPLAUR; ns — различия статистически незначимы. Данные представлены как средняя площадь раны через 24 и 48 ч в процентах относительно исходной площади раны (0 ч). Статистический анализ данных проведен с помощью one-way ANOVA — теста Tukey

Fig. 6. Migration of glioma cell line U87 before and after PLAUR gene expression: a — wound area 24 and 48 hours after wounding; 6 — analysis of wound areas in 3 independent experiments. Control — non-transfected cells; GFP — cells after transfection with pGFP control plasmid; PLAUR — cells after transfection with pPLAUR plasmid; ns — differences are not statistically significant. Data are presented as mean wound area after 24 and 48 hours relative to baseline wound area (0 h) in percents. Statistical analysis of data was performed using one-way ANOVA, Tukey test



**Рис.** 7. Миграции клеточной линии нейробластомы SH-SY5Y до и после индукции экспрессии гена PLAUR: а — площадь раны через 12 и 24 ч после нанесения царапины; б — анализ площади ран 3 независимых экспериментов. Контроль — нетрансфицированные клетки; pGFP — клетки после трансфекции с контрольной плазмидой pGFP; pPLAUR — клетки после трансфекции плазмидой pPLAUR; различия статистически незначимы. Данные представлены как средняя площадь раны через 12 и 24 ч в процентах относительно исходной площади раны (0 ч). Статистический анализ данных проведен с помощью one-way ANOVA — теста Tukey

Fig. 7. Migration of neuroblastoma cell line SH-SY5Y before and after PLAUR gene expression: a — wound area 12 and 24 hours after wounding; 6 — analysis of wound areas in 3 independent experiments. Control — non-transfected cells; GFP — cells after transfection with pGFP control plasmid; PLAUR — cells after transfection with pPLAUR plasmid; ns — differences are not statistically significant. Data are presented as mean wound area after 12 and 24 hours relative to baseline wound area (0 h) in percents. Statistical analysis of data was performed using one-way ANOVA, Tukey test

#### ОБСУЖДЕНИЕ

Рецептор урокиназы, кодируемый геном *PLAUR*, является ключевым компонентом патогенеза злокачественных новообразований. Его повышенная экспрессия в клетках опухоли способствует ее прогрессии, инвазии и метастазированию. Результаты многочисленных экспериментальных и клинических исследований демонстрируют стойкую зависимость между

высоким уровнем экспрессии гена *PLAUR* и агрессивным фенотипом опухолей, что делает uPAR перспективной мишенью для противоопухолевой терапии [19].

В ходе нашего исследования установлено, что индукция экспрессии гена *PLAUR* в клетках глиомы и нейробластомы человека сопровождается увеличением экспрессии *CDH1* и *CDH2* (Е- и N-кадгеринов соответственно) как ключевых генов, кодирующих

белки межклеточной адгезии и ассоциированных с ЭМП и повышенной миграционной активностью опухолевых клеток. В частности, в клетках глиомы U87 отмечено снижение уровня экспрессии *CDH2*, что может быть связано с особенностями молекулярной регуляции ЭМП в данной клеточной линии, тогда как в нейробластоме SH-SY5Y и глиоме U251 наблюдается повышение уровня экспрессии СDH2, что согласуется с ролью uPAR в активации интегринов и ремоделировании внеклеточного матрикса [13–15]. Кроме того, выявлена *PLAUR*-зависимая индукция экспрессии транскрипционных факторов ЭМП генов ZEB1 и ZEB2, которые подавляют экспрессию гена *CDH1* и способствуют активации мезенхимального фенотипа и миграции клеток. В клетках U251 эти гены не продемонстрировали статистически значимых изменений в уровне экспрессии по сравнению с контролем (клетками pGFP), что может отражать особенности регуляции ЭМП в данной клеточной линии [20]. Аналогично гены SNAI1 и SNAI2, кодирующие транскрипционные факторы SNAIL и SLUG соответственно, играют большую роль в индукции ЭМП. Результаты нашего исследования показали, что наблюдаемая вслед за гиперэкспрессией PLAUR в клетках SH-SY5Y индукция SNAI1 сопровождается повышенной миграцией клеток в рану (см. рис. 5-7), что может отражать усиление инвазивности опухолевых клеток [13, 21].

Мы также определили ответ на гиперэкспрессию PLAUR генов стволовости. Обнаруженная нами достоверная индукция CD56 (NCAM) в нейробластоме и глиоме может способствовать изменению клеточного фенотипа и устойчивости к апоптозу [17]. Мы выявили такие факторы стволовости, как умеренное повышение уровней экспрессии SOX2 и NANOG, поддерживающих плюрипотентность, в то время как значимые изменения в уровне экспрессии c-Myc обнаружены не были, что указывает на сложную и клеточнозави-

симую регуляцию стволовых свойств под влиянием PLAUR [18, 22—24].

Динамическая индукция экспрессии генов ЭМП, таких как *CD56*, *CDH1*, *ZEB1/2*, *SNAI1/2*, *SOX2* и *NANOG*, наблюдаемая в нашем исследовании, может свидетельствовать о комплексной регуляции фенотипической пластичности клеток под влиянием экспрессии гена *PLAUR*. Мы выявили изменение экспрессии генов, кодирующих белки, участвующие в процессе ЭМП. Результаты нашего исследования также продемонстрировали, что гиперэкспрессия *PLAUR* способствует активации ЭМП, что ведет к повышению миграционной активности клеток глиом и нейробластомы, стимулируя прогрессию опухолевого роста и метастазирование.

Таким образом, наблюдается не только усиление экспрессии транскрипционных факторов, регулирующих ЭМП, но и заметное увеличение миграционной способности опухолевых клеток. В некоторых случаях выявлено снижение уровня экспрессии гена урокиназы PLAU, что может свидетельствовать о нарушениях обратных связей в регуляции протеолитической активности и миграционной способности.

#### **ЗАКЛЮЧЕНИЕ**

Таким образом, в клетках глиомы и нейробластомы выявлена статистически значимая ассоциация высокого уровня экспрессии гена *PLAUR* с индукцией экспрессии ключевых генов, отвечающих за клеточную адгезию, ЭМП и миграцию клеток опухоли. Наблюдаемое снижение экспрессии некоторых генов стволовости указывает на потенциальное влияние гиперэкспрессии гена *PLAUR* на переход в дормантность. Полученные данные свидетельствуют о перспективности дальнейшего изучения механизма действия гена uPAR в патогенезе опухолей, что может способствовать разработке более эффективных терапевтических стратегий в лечении нейробластом и глиом.

#### ЛИТЕРАТУРА / REFERENCES

- Semina E.V., Rubina K.A., Shmakova A.A. et al. Downregulation of uPAR promotes urokinase translocation into the nucleus and epithelial to mesenchymal transition in neuroblastoma. J Cell Physiol 2020;235(9):6268–86. DOI: 10.1002jcp.29555
- Choong P.F.M., Nadesapillai A.P.W. Urokinase plasminogen activator system: a multifunctional role in tumor progression and metastasis. Clin Orthop Relat Res 2003;415:S46–58. DOI: 10.109701.blo.0000093845.72468.bd
- Zeng F., Li G., Liu X. et al. Plasminogen activator urokinase receptor implies immunosuppressive features and acts as an unfavorable prognostic biomarker in glioma. Oncologist 2021;26(8):e1460–9. DOI: 10.1002onco.13750
- Gouri A., Dekaken A., El Bairi K. et al. Plasminogen activator system and breast cancer: potential role in therapy decision making and precision medicine. Biomark Insights 2016;11:105–11.
   DOI: 10.4137/BMI.S33372
- Gilder A.S., Natali L., Van Dyk D.M. The urokinase receptor induces a mesenchymal gene expression signature in glioblastoma

- cells and promotes tumor cell survival in neurospheres. Sci Rep 2018;8(1):2982. DOI: 10.1038/s41598-018-21358-1
- Hildenbrand R., Schaaf A. The urokinase-system in tumor tissue stroma of the breast and breast cancer cell invasion. Int J Oncol 2009;34(1):15–23.
- Boonstra M.C., Verspaget H.W., Ganesh S. et al. Clinical applications of the urokinase receptor (uPAR) for cancer patients. Curr Pharm Des 2011;17(19):1890–910. DOI: 10.2174/138161211796718233
- Noh H., Hong S., Huang S. Role of urokinase receptor in tumor progression and development. Theranostics 2013;3(7):487–95.
   DOI: 10.7150/thno.4218
- Louis D.N., Perry A., Reifenberger G. et al. The 2016 World Health Organization classification of tumors of the central nervous system: a summary. Acta Neuropathol 2016;131(6):803–20.
   DOI: 10.1007/s00401-016-1545-1
- Brodeur G.M. Spontaneous regression of neuroblastoma. Cell Tissue Res 2018;372(2):277–86. DOI: 10.1007/s00441-017-2761-2

- Linabery A. M., Ross J.A. Childhood and adolescent cancer survival in the US by race and ethnicity for the diagnostic period 1975–1999. Cancer 2008;113(9):2575–96. DOI: 10.1002/cncr.23866
- Shmakova A.A., Klimovich P.S., Rysenkova K.D. et al. Urokinase receptor uPAR downregulation in neuroblastoma leads to dormancy, chemoresistance and metastasis. Cancers (Basel) 2022;14(4):994. DOI: 10.3390/cancers14040994
- Lamouille S., Xu J., Derynck R. Molecular mechanisms of epithelial-mesenchymal transition. Nat Rev Mol Cell Biol 2014;15(3):178–96. DOI: 10.1038/nrm3758
- Noronha C., Ribeiro A.S., Taipa R. et al. Cadherin expression and EMT: a focus on gliomas. Biomedicines 2021;9(10):1328.
   DOI: 10.3390/biomedicines9101328
- Meel M.H., Schaper S.A., Kaspers G.J.L. et al. Signaling pathways and mesenchymal transition in pediatric high-grade glioma. Cell Mol Life Sci 2018;75(5):871–87. DOI: 10.1007/s00018-017-2714-7
- Inoue A., Ohnishi T., Nishikawa M. et al. A Narrative review on CD44's role in glioblastoma invasion, proliferation, and tumor recurrence. Cancers (Basel) 2023;15(19):4898. DOI: 10.3390/cancers15194898
- Van Acker H.H., Capsomidis A., Smits E.L. et al. CD56 in the immune system: more than a marker for cytotoxicity? Front Immunol 2017;8:892. DOI: 10.3389/fimmu.2017.00892
- Miller D.M., Thomas S.D., Islam A. et al. c-Myc and cancer metabolism. Clin Cancer Res 2012;18(20):5546–53.
   DOI: 10.1158/1078-0432.CCR-12-0977.
- Zhai B.-T., Tian H., Sun J. et al. Urokinase-type plasminogen activator receptor (uPAR) as a therapeutic target in cancer. J Transl Med 2022;20(1):135. DOI: 10.1186/s12967-022-03329-3

- Suzuki K., Kawataki T., Endo K. et al. Expression of ZEBs in gliomas is associated with invasive properties and histopathological grade. Oncol Lett 2018;16(2):1758–64.
   DOI: 10.3892/ol.2018.8852
- 21. Шмакова А.А., Климович П.С., Рысенкова К.Д. и др. Рецептор урокиназы uPAR как мишень в онкологии: подавление экспрессии uPAR в клетках нейробластомы снижает пролиферацию, но вызывает дормантность, химиорезистентность и метастазирование. Злокачественные опухоли 2021;11:75—6. Shmakova A.A., Klimovich P.S., Rysenkova K.D. et al. UPA urokinase receptor as a target in oncology: suppression of uPAR expression in neuroblastoma cells reduces proliferation, but causes dormancy, chemoresistance, and metastasis. Zlokachestvennye opukholi = Malignant Tumors 2021;11:75—6. (In Russ.).
- 22. Бойченко В.С., Климович П.С., Щипова А.А. и др. Механизмы участия урокиназного рецептора в репрограммировании клеток опухолевой стромы. Гены и клетки 2022;17:32. Boychenko V.S., Klimovich P.S., Shchipova A.A. et al. Mechanisms of participation of the urokinase receptor in the reprogramming of tumor stroma cells. Geny i kletki = Genes and Cells 2022;17:32. (In Russ.).
- Mamun M.A., Mannoor K., Cao J. et al. SOX2 in cancer stemness: tumor malignancy and therapeutic potentials. J Mol Cell Biol 2020;12(2):85–98. DOI: 10.1093/jmcb/mjy080
- 24. Jeter C.R., Yang T., Wang J. et al. Concise review: NANOG in cancer stem cells and tumor development: an update and outstanding questions. Stem Cells 2015;33(8):2381–90. DOI: 10.1002/stem.2007

**Благодарность.** Авторы выражают благодарность Галине Валерьевне Павловой из ФГАУ «Национальный медицинский исследовательский институт нейрохирургии им. акад. Н.Н. Бурденко» Минздрава России за предоставление линий глиомы и Максиму Николаевичу Карагя-уру из ФГБОУ ВО «Московский государственный университет им. М.В. Ломоносова» за предоставление линии нейробластомы. **Acknowledgment.** The authors would like to thank Galina Valeryevna Pavlova from the National Medical Research Institute of Neurosurgery named after Academician N.N. Burdenko, Ministry of Health of Russia for the provision of glioma lines and Maxim Nikolaevich Karagyaur from the Lomonosov Moscow State University for the provision of a neuroblastoma line.

#### Вклад авторов

А.В. Ласица, М.И. Антипина, Е.В. Семина: разработка дизайна исследования, планирование исследования, анализ данных, написание текста статьи:

Д.А. Назарова: клонирование плазмид для эксперимента, получение данных для анализа;

К.А. Рубина, В.Ю. Сысоева: обсуждение дизайна исследования, анализ данных.

Authors' contributions

A.V. Lasitsa, M.I. Antipina, E.V. Semina: development of research design, research planning, data analysis, article writing;

D.A. Nazarova: cloning plasmids for experiment, obtaining data for analysis;

K.A. Rubina, V.Yu. Sysoeva: discussion of research design, data analysis.

#### ORCID abtopob / ORCID of authors

А.В. Ласица / A.V. Lasitsa: https://orcid.org/0009-0005-3938-4798

М.И. Антипина / М.I. Antipina: https://orcid.org/0000-0002-1818-7139

Д.А. Назарова / D.A. Nazarova: https://orcid.org/0009-0006-3971-7668

К.А. Рубина / К.А. Rubina: https://orcid.org/0000-0002-7166-7406

В.Ю. Сысоева / V.Yu. Sysoeva: https://orcid.org/0000-0001-9885-9056

E.B. Семина / E.V. Semina: https://orcid.org/0000-0002-3927-9286

Конфликт интересов. Авторы заявляют об отсутствии конфликта интересов.

Conflict of interest. The authors declare no conflict of interest.

Финансирование. Разработка и наращивание плазмиды, а также работа с опухолевыми линиями выполнены в рамках государственного задания ФГБОУ ВО «Московский государственный университет им. М.В. Ломоносова» (задание № 03р-23/110-03). Молекулярно-биологические исследования (полимеразная цепная реакция) и оценка миграционной активности опухолевых клеток выполнены на средства программы стратегического академического лидерства «Приоритет 2030» ФГАОУ ВО «Балтийский федеральный университет им. И. Канта». Funding. The development and expansion of plasmids, as well as work with tumor lines, were carried out within the framework of the state assignment of the Lomonosov Moscow State University (assignment No. 03p-23/110-03). Molecular biological research (polymerase chain reaction) and assessment of the migration activity of tumor cells were carried out using the funds of the strategic academic leadership program "Priority 2030" of the I. Kant Baltic Federal University.

**Статья поступила:** 04.05.2025. **Принята к публикации:** 10.06.2025. **Опубликована онлайн:** 06.10.2025. Article submitted: 04.05.2025. Accepted for publication: 10.06.2025. Published online: 06.10.2025.

**DOI:** https://doi.org/10.17650/2313-805X-2025-12-3-70-77



# Метилирование промотора гена *МGMT* как прогностический маркер глиобластомы

И.В. Ботезату, В.Н. Кондратова, А.М. Строганова, С.Л. Дранко, Д.Р. Насхлеташвили, А.В. Лихтенштейн

ФГБУ «Национальный медицинский исследовательский центр онкологии им. Н.Н. Блохина» Минздрава России; Россия, 115522 Москва, Каширское шоссе, 24

Контакты: Анатолий Владимирович Лихтенштейн alicht@mail.ru

**Введение.** Глиобластома является наиболее распространенной злокачественной опухолью головного мозга у взрослых и характеризуется неблагоприятным прогнозом. Лечение пациентов с данной патологией включает хирургическую резекцию, облучение и применение алкилирующего агента темозоломида (ТМZ). Терапевтическая эффективность последнего, обусловленная способностью повреждать ДНК и индуцировать апоптоз, нейтрализуется экспрессией фермента репарации ДНК О⁵-метилгуанин-ДНК-метилтрансферазы (МGМТ). Метилирование промотора гена *МGМТ* подавляет синтез этого фермента и повышает цитотоксическую эффективность ТМZ.

**Цель исследования** – выявление феномена метилирования промотора *MGMT* у пациентов с глиобластомой и оценка его прогностической значимости.

**Материалы и методы.** Проанализированы обработанные бисульфитом образцы ДНК, выделенные из заключенной в парафиновые блоки опухолевой ткани. Метилирование *MGMT* выявляли с помощью качественного метода метилспецифичной полимеразной цепной реакции. Прогностическую значимость этого феномена в совокупности с рядом других клинических показателей оценивали с использованием однофакторного и многофакторного анализов.

**Результаты.** Установлено, что метилирование промотора *MGMT* является одним из наиболее значимых благоприятных прогностических факторов глиобластомы: риск развития рецидива заболевания или летального исхода в определенный период времени у таких больных примерно в 2 раза ниже, чем у пациентов с интактным *MGMT*.

**Заключение.** Метил-специфичная полимеразная цепная реакция, рутинно применяемая в клинической практике, дает возможность оценить статус метилирования *MGMT* как фактор прогноза, но не позволяет судить о его предсказательном потенциале.

**Ключевые слова:** глиобластома, метил-специфичная полимеразная цепная реакция, метилирование *MGMT*, темозоломид

**Для цитирования:** Ботезату И.В., Кондратова В.Н., Строганова А.М. и др. Метилирование промотора гена *MGMT* как прогностический маркер глиобластомы. Успехи молекулярной онкологии 2025;12(3):70–7. DOI: https://doi.org/10.17650/2313-805X-2025-12-3-70-77

#### Methylation of MGMT promoter as a prognostic marker of glioblastoma

I. V. Botezatu, V. N. Kondratova, A. M. Stroganova, S. L. Dranko, D. R. Naskhletashvili, A. V. Lichtenstein

N.N. Blokhin National Medical Research Center of Oncology, Ministry of Health of Russia; 24 Kashirskoe Shosse, Moscow 115522, Russia

**Contacts:** Anatoly Vladimirovitch Lichtenstein *alicht@mail.ru* 

**Introduction.** Glioblastoma is the most common malignant brain tumor in adults with a poor prognosis. Treatment of patients includes surgical resection, radiation and the alkylating agent temozolomide (TMZ). The therapeutic efficacy of TMZ is due to its ability to damage DNA and induce apoptosis, but it is neutralized by the expression of the DNA repair enzyme O<sup>6</sup>-methylguanine-DNA-methyltransferase (MGMT). Methylation of the *MGMT* gene promoter suppresses the synthesis of the corresponding enzyme and increases the cytotoxic efficiency of TMZ.

**Aim.** To determine the *MGMT* promoter methylation in glioblastoma patients and to evaluate the prognostic significance of this phenomenon.

**Materials and methods.** Bisulfite-treated DNA samples isolated from formalin-fixed paraffin-embedded tumor tissues obtained from glioblastoma patients were analyzed. *MGMT* methylation was assessed by qualitative methylation-specific polymerase chain reaction. The prognostic significance of this phenomenon in conjunction with a number of other clinical parameters was assessed by means of univariate and multivariate analysis.

**Results.** *MGMT* promoter methylation was found to be one of the most significant favorable prognostic factors of glioblastoma: the likelihood of disease reappearance or a fatal outcome at a specific point in time is approximately two-fold lower in such patients than in those with intact *MGMT*.

**Conclusion.** The methylation-specific polymerase chain reaction, which is routinely used in clinical practice, adequately assesses *MGMT* methylation status as a prognostic factor, but it does not allow for the evaluation of its predictive potential.

Keywords: glioblastoma, methylation-specific polymerase chain reaction, MGMT methylation, temozolomide

**For citation:** Botezatu I.V., Kondratova V.N., Stroganova A.M. et al. Methylation of *MGMT* promoter as a prognostic marker of glioblastoma. Uspekhi molekulyarnoy onkologii = Advances in Molecular Oncology 2025;12(3):70–7. (In Russ.). DOI: https://doi.org/10.17650/2313-805X-2025-12-3-70-77

#### **ВВЕДЕНИЕ**

Глиобластома — наиболее распространенная злокачественная первичная опухоль головного мозга у взрослых [1-3], характеризующаяся плохим прогнозом. Лечение пациентов с данной патологией включает хирургическую резекцию и облучение с одновременным применением алкилирующего агента темозоломида (TMZ). Терапевтическая эффективность TMZ обусловлена его способностью повреждать ДНК и индуцировать гибель опухолевых клеток. Однако экспрессия фермента репарации ДНК – О<sup>6</sup>-метилгуанин-ДНК-метилтрансферазы (МGМТ) – способна в значительной степени нейтрализовать цитотоксический эффект TMZ [4]. Метилирование промотора гена МСМТ, характерное для многих раковых клеток, подавляет синтез соответствующего фермента и повышает тем самым цитотоксическую эффективность ТМZ. Известно также, что у пациентов с глиобластомой с метилированным *MGMT* наблюдаются более высокие показатели общей (ОВ) и безрецидивной (БРВ) выживаемости, чем у пациентов с неметилированным геном [5, 6]. Таким образом, статус МСМТ является важным прогностическим и предсказательным (в отношении эффективности TMZ) маркером глиобластомы.

Метилирование *MGMT* определяют разными методами, эффективность которых является предметом исследований [1, 7–16]. Рутинно используемый в клинической практике качественный метод метил-специфичной полимеразной цепной реакции (МС-ПЦР) с последующим гель-электрофорезом продуктов амплификации [17, 18] предполагает визуальную оценку электрофоретических полос и по этой причине может считаться не вполне объективным. В связи с необходимостью оценки достоверности получаемых с помощью этого метода результатов на 1-м этапе исследования сравнили эффективность МС-ПЦР и апробированного коммерческого набора, основанного на ПЦР в реальном времени. Задачей 2-го этапа явилось определение прогностической значимости феномена метилирования *MGMT* с учетом других клинических показателей.

**Цель исследования** — выявление феномена метилирования промотора MGMT у пациентов с глиобластомой и оценка его прогностической значимости.

#### МАТЕРИАЛЫ И МЕТОДЫ

**Клинические образцы.** В ретроспективное исследование включены больные, получавшие лечение в Национальном медицинском исследовательском центре онкологии им. Н.Н. Блохина (n=74). Клиническая характеристика больных представлена в табл. 1.

**Таблица 1.** Клиническая характеристика пациентов, включенных в исследование (n = 74)

**Table 1.** Clinical characteristics of patients included in the study (n = 74)

Показатель Parameter	Значение Value
Пол, <i>n</i> :     Sex, <i>n</i> :     мужской     male     женский     female	38 36
Возраст, медиана (диапазон), лет Age, median (range), years	57 (28-82)
Хирургическая резекция, n: Surgery resection, n: полная и субтотальная complete and subtotal частичная и биопсия partial and biopsy	24 50
Гистологический тип опухоли, n: Histological type of tumor, n: астроцитома аstrocytoma глиобластома glioblastoma	15 59
IDH, n: дикого типа wild type мутантный mutant	53 14
Индекс Карновского (%), <i>n</i> : Кагпоfsky score (%), <i>n</i> : 20 30 40 60	10 29 32 3

Выделение ДНК. Выделение ДНК из заключенной в парафиновые блоки опухолевой ткани проводили после ее депарафинизации ксилолом методом фенольно-хлороформной депротеинизации. ДНК конвертировали обработкой бисульфитом натрия посредством коммерческого набора EZ DNA Methylation Kit (Zymo Research, США) в соответствии с рекомендациями производителя.

Метил-специфичная полимеразная цепная реакция. МС-ПЦР промотора гена MGMT (GenBank accession number NG 052673.1; локализация ампликона – chr10: 131155502-131155623, hg18) проводили, как описано ранее [17, 18]. Для амплификации метилированной последовательности использовали сенс-праймер 5'-TTTCGACGTTCGTAGGTTTTCGC и 2 антисенспраймера: 5'-GCACTCTTCCGAAAACGAAACG и 5'-ACCACT CGAAACTACCACCGTCC. Для амплификации неметилированной последовательности применяли сенс-праймер 5'-GTGTTTTGATGT-TTGTAGGTTTTTGT и 2 антисенс-праймера: 5'-AACTCCACACTCTTCCAAAAACAAAACA и 5'-АССАСТСААААСТАС САССАТСС. Условия ПЦР: начальная денатурация — 5 мин при 95 °C; 40 циклов — 30 с при 95 °C, 30 с при 60 °C, 40 с при 72 °C; 10 мин при 72 °C (для метилированной последовательности); начальная денатурация — 5 мин при 95°C; 40 циклов — 30 с при 95 °C, 30 с при 64 °C, 40 с при 72 °C; 10 мин при 72 °С (для неметилированной последовательности).

Продукты ПЦР разделяли в 4 % агарозном геле с бромистым этидием (0,5 мкг/мл). Каждому образцу ДНК соответствовали 4 дорожки геля (по 2 для метилированных и неметилированных последовательностей MGMT). Полосы метилированного MGMT-81 пара оснований (п.о.) и 118 п.о., полосы неметилированного MGMT-90 и 121 п.о. О статусе метилирования MGMT судили по присутствию полос в дорожках обязательному — в дорожках 1 и 2 (их отсутствие свидетельствует о неэффективности ПЦР) и показательному — в дорожках 3 и 4 (указывают на наличие в образце метилированного MGMT).

В качестве метода сравнения использовали коммерческий набор MGMT Gene Methylation Detection Kit (Xiamen Spacegen, Китай), основанный на ПЦР в реальном времени (FAM-меченный зонд отражает амплификацию метилированного MGMT, VIC-меченный зонд — амплификацию фрагмента гена актина как внутреннего контроля).

Статистический анализ. Согласованность результатов 2 качественных методов детекции метилированного *MGMT* (МС-ПЦР и использование коммерческого набора Xiamen Spacegen) оценивали с помощью определения величины коэффициента межэкспертного согласия (Cohen's kappa testing) (к) [19] (табл. 2). Для однофакторного анализа выживаемости по методу Каплана—Майера и многофакторного анализа (регрессия Кокса) использовали программы Cutoff Finder [20],

Таблица 2. Сила межэкспертного согласия

Table 2. Strength of inter-expert agreement

Коэффициент межэкспертного согласия (к)  The coefficient of inter-expert agreement (к)	Характеристика Characteristic
<0,20	<b>Слабая</b> Poor
0,21-0,40	<b>У</b> довлетворительная
0,41-0,60	Средняя Moderate
0,61-0,80	<b>Хорошая</b> Good
0,81-1,00	Почти идеальная Almost perfect

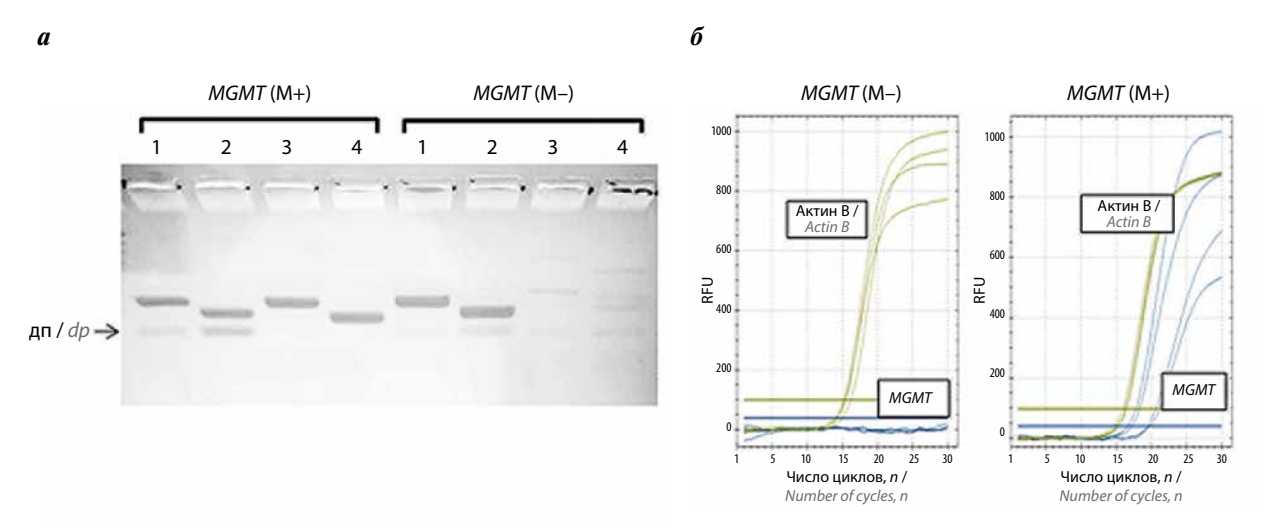
GraphPad Prism 9.5.1 (GraphPad Software, США) и MedCalc (MedCalc Software, Бельгия). Все статистические тесты двусторонние, различия считались статистически значимыми при p < 0.05.

#### **РЕЗУЛЬТАТЫ**

Метил-специфичная ПЦР широко применяется для оценки степени метилирования промотора *MGMT*. Варианты этого метода различаются способом регистрации ампликонов метилированных и неметилированных последовательностей (М+ и М— соответственно). Используются, в частности, визуальная оценка разделенных гель-электрофорезом полос (как в данном исследовании), или сопоставление кривых амплификации ПЦР в реальном времени (как в избранном нами методе сравнения) (рис. 1).

Сравнение проводили на 25 образцах ДНК, случайно выбранных из общего массива (совпадение результатов получено в 22 случаях; конкордантность — 88 %). При сопоставлении качественных методов принято использовать коэффициент к [19], величина которого характеризует степень согласованности результатов (табл. 2). В данном случае результаты теста (табл. 3) оказались вполне удовлетворительными:  $\kappa = 0.76$ ; стандартная ошибка — 0.13; доверительный интервал 0.52-1.00.

Определение прогностических маркеров глиобластомы. В качестве факторов прогноза ОВ и БРВ больных глиобластомой рассматривали возраст, пол пациентов, гистологический тип опухоли (астроцитома или глиобластома), статус гена *IDH* (дикий тип или мутантный), функциональное состояние больного (по шкале Карновского), степень хирургического вмешательства (радикальное или частичное), а также наличие метилирования промотора *MGMT* (обнаружено в 36 (49 %) образцах ДНК из 74). Проведен однофакторный ана-



**Рис. 1.** Метил-специфичная полимеразная цепная реакция промотора MGMT: а — идентификация метилированных (M+) и неметилированных (M-) последовательностей методом гель-электрофореза ампликонов; б — полимеразная цепная реакция в реальном времени (FAM-меченный зонд отражает амплификацию метилированного MGMT, VIC-меченный зонд — амплификацию фрагмента гена актина как внутреннего контроля). Дорожки 1 и 2 — ампликоны (длинный и короткий соответственно) неметилированных последовательностей, 3 и 4 — ампликоны (длинный и короткий соответственно) метилированных последовательностей; дл — димеры праймеров; RFU — относительные единицы флуоресценции **Fig. 1.** Methylation-specific polymerase chain reaction of the MGMT promoter: a — identification of methylated (M+) and unmethylated (M—) sequences by gel electrophoresis of amplicons; 6 — real-time polymerase chain reaction (FAM-labelled probe reflects amplification of methylated MGMT, VIC-labelled probe reflects amplification of actin gene fragment as an internal control). Lanes: 1 and 2 — amplicons (long and short, accordingly) of unmethylated sequences, 3 and 4 — amplicons (long and short, accordingly) of methylated sequences; dp — primer dimers; RFU — relative fluorescence units

Таблица 3. Согласованность результатов

Table 3. Consistency of results

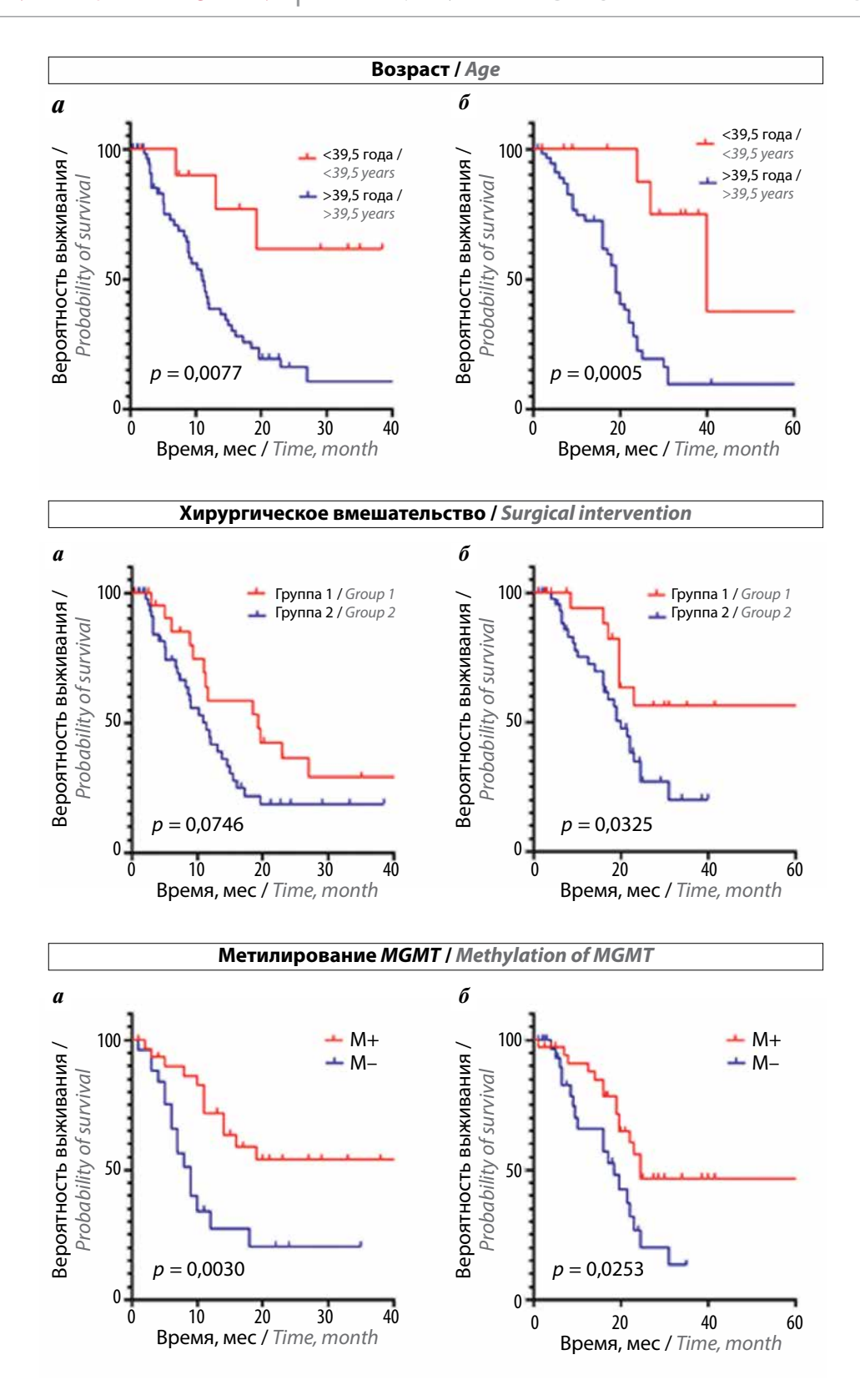
Метил-специфичная полимераз- ная цепная реакция		ерческий набор MGMT Gene Methylation Detection Kit (Xiamen Spacegen, Китай) Commercial MGMT Gene Methylation Detection Kit (Xiamen Spacegen, China)			
Methyl-specific polymerase chain reaction	M-	M+	<b>Bcero</b> , <i>n</i> (%) Total, <i>n</i> (%)		
M-	10	3	13 (52)		
M+	0	12	12 (48)		
Всего Total	10 (40)	15 (60)	25		

**Примечание.** «M+» — ампликоны метилированных последовательностей; «M-» — ампликоны неметилированных последовательностей.

*Note.* "M+" – amplicons of methylated sequences; "M-" – amplicons of unmethylated sequences.

лиз (кривые выживаемости Каплана—Майера и log-rank-тест), ориентированный на выявление взаимосвязи между 1 зависимой и 1 независимой переменными (рис. 2). Статистически значимые различия в ОВ и БРВ выявлены в группах больных, дихотомизированных по следующим факторам: возраст (порог 39,5 года), хирургическое вмешательство (полная или частичная резекция; статистически значимые различия только по ОВ), статус MGMT (метилированный или неметилированный).

Для выявления взаимосвязи между 1 зависимой и 2 или более независимыми переменными дополнительно использовали многофакторный анализ (регрессия Кокса). В ходе применения пошагового метода введения переменных в анализируемую модель получено подтверждение прогностической значимости возраста, хирургического вмешательства и метилирования *МGMT* как для OB, так и для БРВ пациентов с глиобластомой (по другим исследованным факторам различия статистически незначимы) (табл. 4 и 5).



**Рис. 2.** Безрецидивная (a) и общая (б) выживаемость пациентов с глиобластомой в зависимости от возраста (порог — 39,5 года), хирургического вмешательства (радикального — группа 1, частичного — группа 2) и метилирования MGMT **Fig. 2.** Recurrence-free (a) and overall (b) survival curves of glioblastoma patients depending on age (threshold — 39.5 years), surgical intervention (radical — group 1, partial — group 2), and MGMT methylation

Таблица 4. Результаты многофакторного анализа безрецидивной выживаемости

Table 4. Results of multivariate analysis of progression free survival

Показатель Parameter	p	Отношение рисков Hazard ratio	95 % доверительный интервал 95 % confidence interval
Возраст Age	0,0040	5,89	1,76–19,69
MGMT (M+)	0,0208	0,48	0,25-0,89
Хирургическое вмешательство Surgery	0,0356	0,48	0,23-0,95

**Примечание.** Здесь и в табл. 5: «M+» — ампликоны метилированных последовательностей. Note. Here and in table 5: "M+" — amplicons of methylated sequences.

Таблица 5. Результаты многофакторного анализа общей выживаемости

Table 5. Results of multivariate analysis of overall survival

Показатель Parameter	p	Отношение рисков Hazard ratio	95 % доверительный интервал 95 % confidence interval
Возраст Age	0,0173	5,86	1,36–25,14
MGMT (M+)	0,0360	0,46	0,22-0,95
Хирургическое вмешательство Surgery	0,0215	0,35	0,14-0,86

#### ОБСУЖДЕНИЕ

Полученные результаты свидетельствуют о том, что феномен метилирования промотора *MGMT* является одним из наиболее важных прогностических факторов глиобластомы. Риск развития неблагоприятных событий (рецидива или смерти) в определенный момент времени у таких больных, судя по величине отношения рисков, существенно (примерно в 2 раза) ниже, чем у больных с интактным *MGMT*. Установлено также, что качественный метод МС-ПЦР, рутинно применяемый в клинической практике, позволяет определить статус метилирования этого гена как фактора прогноза.

Необходимо отметить, что, по данным литературы, феномен метилирования *MGMT* обладает не только прогностическим, но и важным предсказательным потенциалом (имеется в виду эффективность лечения темозоломидом) [3, 15, 21]. Для его реализации необходимо, однако, применять метод, дающий возможность не только констатировать факт метилирования, но и количественно оценить его. Определение опти-

мального порога метилирования в этом случае может позволить дихотомизировать больных на группы риска [22, 23]. Поскольку пиросеквенирование, являющееся «золотым стандартом» количественной оценки метилирования *MGMT* [8, 10], сопряжено с необходимостью постамплификационного секвенирования, наличием дорогостоящего оборудования, значительными затратами времени и труда, осложняющими его практическое применение, существует потребность в новых методических подходах, лишенных этих недостатков.

# ЗАКЛЮЧЕНИЕ

Качественный метод МС-ПЦР дает возможность оценить феномен метилирования промотора *МGMT* как одного из наиболее показательных прогностических факторов глиобластомы, но не позволяет использовать его предсказательный потенциал (эффективность терапии темозоломидом). Это обстоятельство стимулирует разработку новых количественных методов, пригодных для рутинного применения в клинической практике.

## E

- 1. Gibson D., Vo A.H., Lambing H. et al. A systematic review of high impact CpG sites and regions for MGMT methylation in glioblastoma [A systematic review of MGMT methylation in GBM1. BMC Neurol 2024(1):24:103. DOI: 10.1186/s12883-024-03605-3
- 2. Chiesa S., Mangraviti A., Martini M. et al. Clinical and NGS predictors of response to regorafenib in recurrent glioblastoma. Sci Rep 2022:12(1):16265. DOI: 10.1038/s41598-022-20417-v
- 3. Brandner S., McAleenan A., Kelly C. et al. MGMT promoter methylation testing to predict overall survival in people with glioblastoma treated with temozolomide: a comprehensive metaanalysis based on a Cochrane Systematic Review. Neuro Oncol 2021:23(9):1457-69. DOI: 10.1093/neuonc/noab105
- 4. Esteller M., Garcia-Foncillas J., Andion E. et al. Inactivation of the DNA-repair gene MGMT and the clinical response of gliomas to alkylating agents. N Engl J Med 2000;343(19):1350-4. DOI: 10.1056/NEJM200011093431901
- 5. Hegi M.E., Diserens A.C., Gorlia T. et al. MGMT gene silencing and benefit from temozolomide in glioblastoma. N Engl J Med 2005;352(10):997-1003. DOI: 10.1056/NEJMoa043331
- 6. Wick A., Kessler T., Platten M. et al. Superiority of temozolomide over radiotherapy for elderly patients with RTK II methylation class. MGMT promoter methylated malignant astrocytoma. Neuro Oncol 2020;2298:1162-72. DOI: 10.1093/neuonc/noaa033
- 7. Sepulveda A.R., Jones D., Ogino S. et al. CpG methylation analysis – current status of clinical assays and potential applications in molecular diagnostics: a report of the Association for Molecular Pathology. J Mol Diagn 2009;11(4):266-78. DOI: 10.2353/jmoldx.2009.080125
- 8. Quillien V., Lavenu A., Karayan-Tapon L. et al. Comparative assessment of 5 methods (methylation-specific polymerase chain reaction, MethyLight, pyrosequencing, methylation-sensitive highresolution melting, and immunohistochemistry) to analyze O6-methylguanine-DNA-methyltranferase in a series of 100 glioblastoma patients. Cancer 2012;118(17):4201-11. DOI: 10.1002/cncr.27392
- 9. Bienkowski M., Berghoff A.S., Marosi C. et al. Clinical Neuropathology practice guide 5-2015: MGMT methylation pyrosequencing in glioblastoma: unresolved issues and open questions. Clin Neuropathol 2015;34(5):250-7. DOI: 10.5414/np300904
- 10. Chai R.C., Liu Y.Q., Zhang K.N. et al. A novel analytical model of MGMT methylation pyrosequencing offers improved predictive performance in patients with gliomas. Mod Pathol 2019;32(1):4-15. DOI: 10.1038/s41379-018-0143-2
- 11. Estival A., Sanz C., Ramirez J.L. et al. Pyrosequencing versus methylation-specific PCR for assessment of MGMT methylation in tumor and blood samples of glioblastoma patients. Sci Rep 2019; 9(1):11125. DOI: 10.1038/s41598-019-47642-2
- 12. Yamashita S., Yokogami K., Matsumoto F. et al. MGMT promoter methylation in patients with glioblastoma: is methylation-sensitive high-resolution melting superior to methylation-sensitive polymerase chain reaction assay? J Neurosurg 2019;130(3):780-8. DOI: 10.3171/2017.11.JNS171710

- 13. Filipits M., Preusser M., Hainfellner J.A. et al. Evaluation of an assay for MGMT gene promoter methylation in glioblastoma samples. Anticancer Res 2020;40:6229-36. DOI: 10.21873/anticanres.14643
- 14. Malmstrom A., Lysiak M., Kristensen B.W. et al. Do we really know who has an MGMT methylated glioma? Results of an international survey regarding use of MGMT analyses for glioma. Neurooncol Pract 2020:7(1):68-76. DOI: 10.1093/nop/npz039
- 15. McAleenan A., Kelly C., Spiga F. et al. Prognostic value of test(s) for O6-methylguanine-DNA methyltransferase (MGMT) promoter methylation for predicting overall survival in people with glioblastoma treated with temozolomide. Cochrane Database Syst Rev 2021;3(3);CD013316, DOI: 10.1002/14651858,CD013316.pub2
- 16. Lhotska H., Janeckova K., Cechova H. et al. Validating a clinically based MS-MLPA threshold through comparison with Sanger sequencing in glioblastoma patients. Clin Epigenetics 2025;17(1):16. DOI: 10.1186/s13148-025-01822-2
- 17. Табаков Д.В., Строганова А.М., Сендерович А.И. и др. Анализ метилирования гена *MGMT* в глиомах методом модифицированной метил-специфичной ПЦР. Вестник РОНЦ им. Н.Н. Блохина 2015;26:29-33. Tabakov D.V., Stroganova A.M., Senderovich A.I. et al. Analysis of MGMT gene methylation in gliomas by modified methyl-specific PCR. Vestnik RONTS im. N.N. Blohina = Bulletin of the N.N. Blokhin Russian Scientific Research Center 2015;26:29-33. (In Russ.).
- 18. Табаков Д.В., Катаргин А.Н., Строганова А.М. и др. Мутации изоцитратдегидрогеназ 1 и 2 и метилирование гена МGMT в глиомах. Успехи молекулярной онкологии 2017;4:53-9. DOI: 10.17650/2313-805X-2017-4-1-53-59 Tabakov D.V., Katargin A.N., Stroganova A.M. et al. Isocitrate dehydrogenase 1 and 2 genes mutations and MGMT methylation in gliomas. Uspekhi molekulyarnoy onkologii = Advances in Molecular Oncology 2017;4(1):53-9. (In Russ.). DOI: 10.17650/2313-805X-2017-4-1-53-59
- 19. Pum J.K. W. Evaluation of analytical performance of qualitative and semi-quantitative assays in the clinical laboratory. Clinica Chimica Acta 2019;497:197-203. DOI: 10.1016/j.cca.2019.07.018
- 20. Budczies J., Klauschen F., Sinn B.V. et al. Cutoff finder: a comprehensive and straightforward web application enabling rapid biomarker cutoff optimization. PLoS One 2012;7(12):e51862. DOI: 10.1371/journal.pone.0051862
- 21. Gomes I., Moreno D.A., Dos Reis M.B. et al. Low MGMT digital expression is associated with a better outcome of IDH1 wildtype glioblastomas treated with temozolomide. J Neurooncol 2021;151(2):135-44. DOI: 10.1007/s11060-020-03675-6
- 22. Silva F.F. V. E., Di D.M., Caponio V.C. A. et al. Pyrosequencing analysis of O6-methylguanine-DNA methyltransferase methylation at different cut-offs of positivity associated with treatment response and diseasespecific survival in isocitrate dehydrogenase-wildtype grade 4 glioblastoma. Int J Mol Sci 2024;25(1):612. DOI: 10.3390/ijms25010612
- 23. Nguyen N., Redfield J., Ballo M. et al. Identifying the optimal cutoff point for MGMT promoter methylation status in glioblastoma. CNS Oncol 2021;10(3):CNS74. DOI: 10.2217/cns-2021-0002

#### Вклад авторов

- И. В. Ботезату, В. Н. Кондратова: разработка дизайна исследования, проведение экспериментов;
- А. М. Строганова: характеристика клинических образцов, курирование проекта;
- С.Л. Дранко: получение и характеристика клинических образцов;
- Д.Р. Насхлеташвили: сбор материала, курирование проекта;
- А.В. Лихтенштейн: разработка концепции исследования, написание текста статьи.

#### **Authors' contributions**

I.V. Botezatu, V.N. Kondratova: research design development, conducting experiments;

A.M. Stroganova: characterization of clinical samples, curating the project;

S.L. Dranko: obtaining and characterization clinical samples;

D.R. Naskhletashvili: characterization of clinical samples, curating the project;

A.V. Lichtenstein: research concept, article writing.

#### ORCID авторов / ORCID of authors

И.В. Ботезату / I.V. Botezatu: https://orcid.org/0000-0002-0297-4963

В.Н. Кондратова / V.N. Kondratova: https://orcid.org/0000-0003-0614-8789

А.М. Строганова / А.М. Stroganova: https://orcid.org/0000-0002-7297-5240

С.Л. Дранко / S.L. Dranko: https://orcid.org/0000-0003-3315-0817

Д.Р. Насхлеташвили / D.R. Naskhletashvili: https://orcid.org/0000-0002-4218-9652

А.В. Лихтенштейн / A.V. Lichtenstein: https://orcid.org/0000-0002-0190-5069

#### Конфликт интересов. Авторы заявляют об отсутствии конфликта интересов.

Conflict of interest. The authors declare no conflict of interest.

#### Финансирование. Финансируется в рамках госбюджетной темы.

**Funding.** It is funded under the state budget theme.

#### Соблюдение прав пациентов и правил биоэтики

Протокол исследования одобрен комитетом по биомедицинской этике ФГБУ «Национальный медицинский исследовательский центр онкологии им. Н.Н. Блохина» Минздрава России.

Compliance with patient rights and principles of bioethics

The study protocol was approved by the biomedical ethics committee of N.N. Blokhin National Medical Research Center of Oncology, Ministry of Health of Russia.

S

**DOI:** https://doi.org/10.17650/2313-805X-2025-12-3-78-99



# Особенности регуляции транскрипционной активности генов раково-тестикулярных антигенов при раке желудка

Д.С. Кутилин<sup>1</sup>, О.И. Кит<sup>1</sup>, А.Ю. Максимов<sup>1</sup>, Л.Х. Чалхахян<sup>1</sup>, А.В. Дашков<sup>1</sup>, С.А. Малинин<sup>1</sup>, Г.В. Каминский<sup>1</sup>, Т.П. Шкурат<sup>2</sup>

<sup>1</sup>ФГБУ «Национальный медицинский исследовательский центр онкологии» Минздрава России; Россия, 344037 Ростов-на-Дону, ул. 14-я линия, 63;

<sup>2</sup>ФГАОУ ВО «Южный федеральный университет»; Россия, 344006 Ростов-на-Дону, ул. Большая Садовая, 105/42

Контакты: Денис Сергеевич Кутилин k.denees@yandex.ru

**Введение.** Рак желудка остается серьезной проблемой здравоохранения. Гены раково-тестикулярных антигенов (РТ-гены) при данной патологии могут быть перспективными мишенями для иммунотерапии из-за их ограниченной экспрессии в нормальных тканях. Большую роль в регуляции экспрессии РТ-генов при раке желудка играют сети эндогенных конкурентно взаимодействующих РНК (ceRNAs). Эти сети сложны и требуют комплексного биоинформатического и экспериментального анализов.

**Цель исследования** – биоинформатический анализ с последующей валидацией экспрессии РТ-генов и ее регуляции в элокачественных опухолях желудка.

**Материалы и методы.** Данные для биоинформатического этапа исследования взяты из базы Gene Expression Omnibus (GEO). Идентификацию дифференциально экспрессирующихся генов осуществляли с помощью GEO2R, микроРНК, таргетирующих гены-мишени, — с использованием метода машинного обучения Random forest. Также проводили анализ взаимодействия микроРНК и длинных некодирующих РНК (IncRNAs). Клиническим материалом для экспериментального этапа исследования послужили опухолевые и условно нормальные ткани 100 пациентов с гистологически подтвержденным диагнозом «рак желудка». Величины относительной экспрессии 6 РТ-генов (*MAGEA10*, *MAGEA2*, *MAGEA12*, *MAGEA3*, *MAGEA6*, *MAGEA1*), а также таргетирующих их микроРНК и IncRNAs определяли методом полимеразной цепной реакции в реальном времени.

**Результаты.** С использованием GEO2R обнаружены 18 617 дифференциально экспрессирующихся локусов, включая кодирующие белки гены, микроРНК и lncRNAs. Выявлено изменение экспрессии 6 PT-генов: *MAGEA10, MAGEA2, MAGEA12, MAGEA3, MAGEA6* и *MAGEA1*, взаимодействующих с 40 микроРНК, которые, в свою очередь, взаимодействуют с 17 lncRNAs. В опухолевой ткани пациентов обнаружены повышение экспрессии генов *MAGEA10, MAGEA3* и *MAGEA6* (p <0,0001), снижение экспрессии miR-1207-5p, -6858-5p, -3127-3p, -3940-3p, -6807-3p, -3085-3p, -3934-5p, -4488, -4530, -6777-3p и -99а-3p (p <0,0001), увеличение экспрессии miR-7113-3p, miR-874-3p, а также повышение экспрессии *LINC01089, AC145285.6, GAS5, AC005034.3, AL691447.2* (p <0,001) и снижение экспрессии *SNHG14, AC002101.1*, *SLC9A3-AS1* и *AL118506.1* (p <0,001). На основании полученных данных построена модель регуляторной сети для PT-генов при раке желудка.

**Заключение.** Продемонстрированы нарушения в сети конкурентно-взаимодействующих РНК РТ-генов при аденокарциноме желудка. Полученные данные имеют большое значение для понимания фундаментальных механизмов регуляции РТ-генов, а также для совершенствования подходов к иммунотерапии (новые мишени и регуляторные молекулы) и диагностики (новые молекулярные маркеры) этого заболевания.

**Ключевые слова:** рак желудка, ген раково-тестикулярного антигена, сеть конкурентно-взаимодействующих РНК, экспрессия, некодирующая РНК, молекулярный маркер, мишень иммунотерапии

**Для цитирования:** Кутилин Д.С., Кит О.И., Максимов А.Ю. и др. Особенности регуляции транскрипционной активности генов раково-тестикулярных антигенов при раке желудка. Успехи молекулярной онкологии 2025;12(3):78–99. DOI: https://doi.org/10.17650/2313-805X-2025-12-3-78-99

# Features of cancer-testicular antigen genes transcriptional activity regulation in gastric cancer

D.S. Kutilin<sup>1</sup>, O.I. Kit<sup>1</sup>, A.Yu. Maksimov<sup>1</sup>, L.Kh. Chalkhakhyan<sup>1</sup>, A.V. Dashkov<sup>1</sup>, S.A. Malinin<sup>1</sup>, G.V. Kaminsky<sup>1</sup>, T.P. Shkurat<sup>2</sup>

<sup>1</sup>National Medical Research Center of Oncology, Ministry of Health of Russia; 63 14th Line St., Rostov-on-Don 344037, Russia; <sup>2</sup>Southern Federal University; 105/42 Bolshaya Sadovaya St., Rostov-on-Don 344006, Russia

#### Contacts:

Denis Sergeevich Kutilin k.denees@yandex.ru

**Introduction.** Gastric cancer remains a serious public health problem. Cancer-testicular antigen genes (CT-genes) in gastric cancer may be promising targets for immunotherapy due to their limited expression in normal tissues. Competing endogenous RNA networks (ceRNAs) play an important role in regulating CT-gene expression in gastric cancer. These networks are complex and require comprehensive bioinformatics and experimental study.

**Aim.** To conduct a bioinformatic analysis followed by validation of CT-gene expression and its regulation in malignant qastric tumors.

**Materials and methods.** Data for the bioinformatics stage were downloaded from GEO. Identification of differentially expressed genes was carried out using GEO2R, microRNA targeting genes – using the Random forest machine learning method. An analysis of the interaction of microRNA and long non-coding RNA (lncRNAs) was also performed. The clinical material for the experimental stage was tissues (tumor and conditionally normal) of 100 patients with a histologically confirmed diagnosis of gastric cancer. The relative expression values of 6 CT-genes (MAGEA10, MAGEA2, MAGEA12, MAGEA3, MAGEA6, MAGEH1), as well as their targeting microRNAs and lncRNAs, were determined using real-time polymerase chain reaction.

**Results.** Using GEO2R, 18,617 differentially expressed loci were detected, including protein-coding genes, microRNA and lncRNAs. Of these, a change in the expression of 6 CT-genes was revealed – *MAGEA10, MAGEA2, MAGEA12, MAGEA3, MAGEA6, MAGEH1*, interacting with 40 microRNAs, in turn interacting with 17 lncRNAs. In the patients tumor tissue, an increase in expression of the *MAGEA10, MAGEA3* and *MAGEA6* genes (p < 0.0001), a decrease in expression of miR-1207-5p, -6858-5p, -3127-3p, -3940-3p, -6807-3p, -3085-3p, -3934-5p, -4488, -4530, -6777-3p, -99a-3p (p < 0.0001) and an increase in expression of miR-7113-3p, miR-874-3p, as well as an increase in expression of *LINC01089, AC145285.6, GAS5, AC005034.3, AL691447.2* (p < 0.001) and decreased expression of *SNHG14, AC002101.1, SLC9A3-AS1* and *AL118506.1* (p < 0.001) was found. Based on the obtained data, a model of the regulatory network for CT-genes in gastric cancer was constructed.

**Conclusion.** The study showed disturbances in the CT-genes competitively interacting RNA network in gastric adenocarcinoma. The obtained data are important for understanding the fundamental mechanisms of CT-gene regulation, as well as for improving approaches to immunotherapy (new targets and regulatory molecules) and diagnostics (new molecular markers) of this disease.

**Keywords:** gastric cancer, gene transcriptional activity regulation, network of competitively interacting RNA, expression, non-coding RNA, molecular marker, immunotherapy target

For citation: Kutilin D.S., Kit O.I., Maksimov A.Yu. et al. Features of cancer-testicular antigen genes transcriptional activity regulation in gastric cancer. Uspekhi molekulyarnoy onkologii = Advances in Molecular Oncology 2025; 12(3):78–99. (In Russ.).

DOI: https://doi.org/10.17650/2313-805X-2025-12-3-78-99

## ВВЕДЕНИЕ

Рак желудка (РЖ) остается серьезной проблемой здравоохранения, несмотря на снижение заболеваемости и смертности за последние десятилетия. Это одна из самых смертельных злокачественных опухолей, характеризующаяся низкими показателями 5-летней выживаемости. Рак желудка является 5-м по распространенности видом злокачественных новообразований в мире и основной причиной смерти от них, особенно в Азии, где регистрируют около 75 % случаев данной патологии и летальных исходов, связанных с ней [1].

Экспрессия генов при РЖ характеризуется различными паттернами, которые ассоциированы с прогрессированием опухоли, метастазами и неблагоприятным прогнозом. Такие гены, как COL1A1, CDH17, APOC1 и APOE, часто сверхэкспрессируются в тканях РЖ. Эти гены связаны с инвазией опухоли, метастазами и прогрессированием заболевания [2, 3]. Гены-концентраторы FN1, SPARC и SERPINE1 высоко экспрессируются в аденокарциноме желудка, их наличие связано с неблагоприятным прогнозом [4].

Особую группу генов при РЖ, которые вызывают интерес у исследователей в последнее время, состав-

ляют гены раково-тестикулярных антигенов (РТ-гены), кодирующие белки, обычно экспрессирующиеся в зародышевых клетках и различных видах рака, включая РЖ. Они считаются перспективными мишенями для иммунотерапии рака из-за их ограниченной экспрессии в нормальных тканях [5–8].

Например, известно, что при РЖ наблюдается высокий уровень экспрессии генов *MAGE-A1*, *MAGE-A3* и *NY-ESO-1*. При этом *MAGE-A1* и *MAGE-A3* демонстрируют значимые ассоциации с лимфатической и сосудистой инвазиями, что указывает на их потенциальную роль в прогрессии опухоли [9, 10].

Важным, по мнению ряда авторов, является изучение механизмов регуляции экспрессии РТ-генов, так как полученные при этом данные могут быть использованы в иммунотерапии опухолей [5, 6, 10]. При РЖ подобные исследования не проводились.

Большую роль в патогенезе и прогрессировании РЖ играют сети эндогенных конкурентно взаимодействующих РНК (ceRNAs), предполагающих взаимодействия между различными типами РНК, включая длинные некодирующие РНК (lncRNAs), микроРНК (miRNAs) и матричные РНК (mRNAs), которые регулируют экспрессию генов, конкурируя за общие эле-

менты ответа [11]. Сети сеRNA при РЖ сложны, включают многочисленные РНК и взаимодействия. Понимание этих сетей требует комплексного биоинформатического анализа и экспериментальной проверки [12].

**Цель исследования** — биоинформатический анализ с последующей валидацией экспрессии РТ-генов и ее регуляции в злокачественных опухолях желудка.

#### МАТЕРИАЛЫ И МЕТОДЫ

Биоинформатический анализ данных. Сведения об экспрессии генов получены из базы данных Gene Expression Omnibus (GEO) (300 образцов РЖ и 100 образцов нормальных тканей желудка (GSE66229, GSE62254)). Дифференциально экспрессирующиеся гены (ДЭГ) в опухолевых и нормальных тканях выявляли с помощью веб-сервиса GEO2R [13], позволяющего сравнить исходные таблицы обработанных данных с использованием пакетов GEOquery и limma R из проекта Bioconductor [14, 15].

Поиск miRNAs, таргетирующих гены-мишени, осуществляли с использованием метода машинного обучения Random forest (метод случайного леса), который сочетает методы бэггинга Бреймана и случайных подмножеств. Модель Random forest позволяет предсказать вероятность того, что miRNA является истинным регулятором конкретного гена [16].

Анализ взаимодействия miRNAs и lncRNAs проводили следующим образом:

- 1) из базы GEO извлекали данные HITS-CLIP, PAR-CLIP и CLASH, которые были обработаны с помощью FASTX-Toolkit v.0.0.13 и проанализированы с использованием PARalyzer v.1.1;
- с помощью UCSC LiftOver Tool все координаты сайтов связывания преобразовывали в сборки hg19, mm9/mm10 и себ/се10. Геномные координаты консервативных сайтов-мишеней miRNA, предсказанные TargetScan, miRanda/mirSVR, PITA, Pictar и RNA22, также собирали и преобразовывали в сборки hg19, mm9/mm10 и себ/се10 с использованием LiftOver;
- проводили сравнение полученных на шаге 2 координат с ранее описанными кластерами CLIP с использованием BEDTools [16].

Для оценки потенциала направленной деградации miRNA под действием lncRNA использовали TDMD-Score.

Пациенты. Клиническим материалом для исследования послужили ткани (опухолевые и условно нормальные) 100 пациентов в возрасте от 35 до 79 лет с гистологически подтвержденным диагнозом «рак желудка»: аденокарциномами  $G_{1-2}(n=60)$  и  $G_3(n=40)$  (табл. 1). Образцы тканей получены в процессе хирургических вмешательств, проведенных с 2013 по 2024 г. в Национальном медицинском исследовательском центре онкологии (г. Ростов-на-Дону). Все пациенты, вошедшие в исследование, имели статус по шкале

**Таблица 1.** Клиническая характеристика пациентов с гистологически подтвержденной аденокарциномой желудка

**Table 1.** Clinical characteristics of patients with histologically confirmed of gastric adenocarcinoma

f gastric adenocarcinoma			
<b>Показатель</b> Parameter	Вся когорта Entire cohort (n = 100)	Опухоль G <sub>1-2</sub> Типот G <sub>1-2</sub> (n = 60)	Опу- холь G <sub>3</sub> Tumor G <sub>3</sub> (n = 40)
Средний возраст, лет Average, age	$65 \pm 3,2$	68 ± 9,1	62 ± 1,4
<b>Мужской пол, %</b> Male sex, %	72,5	70	75
Локализация, %:			
Location, %: антральный отдел	45	50	35
antral part тело желудка	20	25	10
body of the stomach кардия/проксимальный	25	15	35
отдел cardia/proximal part тотальное поражение Total defeat	5	2	8
Стадия по классификации Tumor, Nodus and Metastasis, %: Tumor, Nodus and Metastasis stage, %: I (T1-2N0M0) II (T1-3N1-3M0) III (T2-4a/bN0-3M0) IV (Т <sub>любая</sub> , N <sub>любая</sub> , M1) IV (Т <sub>апу</sub> , N <sub>либая</sub> , M1)	10 20 40 30	15 30 35 20	5 10 45 40
Глубина инвазии, %: Depth of invasion, %:			
T1 (ранний рак) T1 (early cancer)	10	15	5
T2 (поражение мышеч- ного слоя)	15	20	10
T2 (lesions in the muscle layer) T3 (поражение субсерозы)	30	25	35
T3 (lesions in the subserosa)  Т4а (поражение серозы/ висцеральной брюшины)  Т4а (lesions in the serosa/	25	22	30
visceral peritoneum) Т4b (прорастание в соседние органы) Т4b (growth into adjacent organs)	20	18	20
Гистологический тип по Lauren, %:			
Histological type per Lauren, %: кишечный	55	70	35
intestinal диффузный	33	15	50
diffuse <b>смешанный</b> mixed type	12	15	15

Восточной кооперативной онкологической группы (Eastern Cooperative Oncology Group, ECOG) от 0 до 2.

Образцы тканей до исследования хранили в жидком азоте на базе централизованного криохранилища Национального медицинского исследовательского центра онкологии. Для верификации образцов проводили стандартное патолого-морфологическое исследование с окрашиванием фиксированных срезов тканей гематоксилином и эозином. Биоптаты тканей после проведения патолого-морфологического исследования разделяли на 2 группы: опухолевые (малигнизированные) и нормальные (немалигнизированные) образцы [17].

Анализ экспрессии генов. Фрагменты ткани гомогенизировали в 300 мкл лизирующего буфера, содержащего 4 М тиоцианата гуанидина, 25 мМ цитрата натрия, 0,5 % саркозила и 0,1 М β-меркаптоэтанола. Выделение суммарной РНК из лизата тканей проводили методом фенол-хлороформной экстракции в нашей модификации: к лизату добавляли 60 мкл 2 М ацетата натрия (рН 4.0) и перемешивали; к полученной смеси добавляли 700 мкл насыщенного водой фенола и перемешивали. Для разделения водной и органической фаз добавляли 200 мкл смеси хлороформа и изоамилового спирта (49:1), перемешивали и инкубировали 15 мин при 4 °C; затем полученную смесь центрифугировали при 10 000g 15 мин при 2 °C, верхнюю водную фазу отбирали в новую пробирку и добавляли равный объем этанола, далее наносили смесь на колонку с фильтром из диоксида кремния (использовали колонки из набора RNeasy Mini Kit (Qiagen, Германия) (РНК эффективно связывается с мембраной из диоксида кремния). Колонку дважды промывали буфером (4 М гуанидина изотиоцианата, 10 мМ трис-ацетата, 50 % этанола, 1 % 2-меркаптоэтанола) и центрифугировали, дважды промывали буфером (10 мМ трис-HCl; pH 7,5; 0,1 M NaCl; 75 % этанола) и центрифугировали при 400 g 1 мин. Для элюции РНК в колонку добавляли 120 мкл деионизированной воды с ингибитором РНКаз (1 ед. акт/мкл РНКазина) [18]. Элюат собирали центрифугированием при 400g 10 мин. Для длительного хранения препарат РНК переосаждали 80 % этиловым спиртом, помещали в криобоксы и хранили при -80 °C.

Для очистки от примесей ДНК образцы обрабатывали препаратами ДНКазы I. Концентрацию полученных препаратов РНК измеряли на флуориметре Qubit 2.0 с использованием набора Qubit RNA HS Assay Kit (Invitrogen, США). Для оценки качества полученного препарата РНК проводили электрофорез в 2 % агарозном геле (интенсивность полос 18S и 28S рРНК в соотношении 1:1 свидетельствовала о приемлемом для дальнейшей работы качестве РНК) [19].

Синтез комплементарной ДНК (кДНК) выполняли с использованием коммерческих наборов Reverta-L («ИнтерЛабСервис», Россия) по инструкции производителя. Концентрацию полученных препаратов кДНК измеряли на флуориметре Qubit 2.0 с помощью набора Quant-i $T^{TM}$  dsDNA High-Sensitivity (HS) Assay Kit (Invitrogen, США).

Методом количественной полимеразной цепной реакции (ПЦР) в реальном времени определяли величины относительной экспрессии 6 РТ-генов: МАGEA10, МАGEA2, МАGEA12, МАGEA3, МАGEA6 и МАGEH1 (табл. 2). При выборе референсного гена использовали алгоритм, описанный Д.С. Кутилиным [20] и J. Vandesompele и соавт. [21]: рассчитывали среднее попарное изменение соотношения экспрессии между 2 генами во всех образцах (M-value) и стабильность (S-value). Чем ниже значение M-value, тем стабильнее ген. Гены ранжировали по возрастанию М-value. Ген с наименьшим значением этого показателя считали наиболее стабильным. S-value рассчитывается по формуле:

S-value =  $\ln (1/M\text{-value})$ .

**Таблица 2.** Последовательности праймеров для определения экспрессии генов (Primer-BLAST; дизайн de novo)

Table 2. Primer sequences for gene expression determination (Primer-BLAST; de novo design)

<b>Ген</b> Gene	Последовательность прямого праймера (5' $\rightarrow$ 3') Forward primer sequence (5' $\rightarrow$ 3')	Последовательность обратного праймера (5' $\rightarrow$ 3') Reverse primer sequence (5' $\rightarrow$ 3')
MAGEA2	CGCAGGCTCCGTGAGG	CTGTGTTGACCTGAGTCACCT
MAGEA3	TGAGCAACGAGCGACGG	TCAGCCTGTCCCCTCAGAA
MAGEA6	GGTGAGGAGGCAAGGTTCTG	TTGCAGTGCTGACTCCTCTG
MAGEA10	TCTGTGAGGAGGCAAGGGAG	CTTGTCAGATCCTGCGACCC
MAGEA12	GACGTCGGTGGAGGGAAG	TGTCTCCTCAGAACCTGGATG
MAGEH1	GCCTCTAGCAGGAGACATGC	TGAGGCCTGGATTTTGCGAT
GAPDH	GTCAAGGCTGAGAACGGGAA	TCGCCCACTTGATTTTGGA
B2M	AGATGAGTATGCCTGCCGTG	CCATGATGCTGCTTACATGTCTC

Гены с M-value <0.5 считали идеальными. В качестве референсных выбраны 2 гена: *GAPDH* (M-value = 0.047; S-value = 3.057) и *B2M* (M-value = 0.244; S-value = 1.410).

Полимеразную цепную реакцию в реальном времени (в 3 технических повторах) проводили на термоциклере Bio-Rad CFX96 (Bio-Rad, США) в 25 мкл реакционной смеси, содержащей 12 нг кДНК: 0.25 мМ каждого из dNTPs; 2,5 мМ MgCl<sub>3</sub>; ПЦР-буфер; 1 ед. ДНК-полимеразы SynTag; краситель EVA-Green и по 500 нМ прямого и обратного праймеров для референсных генов или гена-мишени по следующей схеме: первичная денатурация при 95 °C в течение 3 мин; 40 циклов — 10 с при 95 °C, 25 с при 60 °C (температура подобрана экспериментальным путем с использованием температурного градиента), 30 с при 72 °C. Специфичность ПЦР контролировали с использованием анализа кривых плавления (melting curve analysis). Относительную экспрессию (RE) рассчитывали по формуле:

$$RE = E^{-\Delta\Delta Ct}$$

где E — эффективность амплификации, рассчитанная по формуле:  $E = 10^{-1/k} (k$  — коэффициент из уравнения прямой C (T) =  $k \cdot lgP_0 + b$ , полученного путем линейной аппроксимации экспериментальных данных ( $E_{\text{среднее}} = 1,968$ )).

Нормализацию результатов проводили по 2 референсным генам — GAPDH и B2M — и уровню экспрессии соответствующих генов-мишеней в образцах нормальной ткани по приведенной ниже схеме:

- 1) нормализация по среднему значению референсных генов:  $\Delta C(t) = C(t)_{target} C(t)_{g\_reference}$ , где  $C(t)_{g\_reference}$  среднее геометрическое C(t) референсных генов (изменялось в диапазоне от 18,1 до 18,9);  $C(t)_{target}$  среднее геометрическое C(t) генов-мишеней (изменялось в диапазоне от 22,5 до 30,1 в зависимости от гена и типа ткани норма или опухоль):
- 2) расчет  $E^{-\Delta C(t)}$  и медианы  $E^{-\Delta C(t)}$  по каждому гену для условно нормальной и опухолевой тканей каждого пациента;
- 3) нормализация по условно нормальной ткани и получение окончательного результата как кратность изменений (fold change, FC) [20] по формуле: FC =  $E^{-\Delta C(t)}$  медиана опухолевой ткани  $/E^{-\Delta C(t)}$  медиана нормальной ткани (что тождественно  $E^{-\Delta \Delta C(t)}$ , или  $E^{-(\Delta C(t))}$  медиана опухолевой ткани  $-\Delta C(t)$  медиана нормальной ткани).

Оценка экспрессии miRNA и lncRNA. Зрелые miRNAs и малую ядерную PHK U6 выявляли с использованием метода, предложенного I. Balcells и соавт. [22]. Выделенную суммарную PHK использовали в реакции обратной транскрипции, которую проводили одновременно с полиаденилированием PHK, с применением специфичных RT-праймеров: 5'-CAGGTCCAGT V-3' (где вместо V могут быть нуклеотиды AA, CA, AC, CC, TC, CT, TT, AT, TA, TG, GT, GG, GC, CG, AG,

GA в зависимости от исходной последовательности miRNA). Полученную кДНК детектировали с помощью ПЦР в реальном времени.

Специфичные олигонуклеотидные праймеры определяли с использованием алгоритма, разработанного ранее [22]. К каждой miRNA подбирали несколько комплектов олигонуклеотидов, из которых выбирали те, которые характеризовались наиболее высокой эффективностью обратной транскрипции и ПЦР. Эффективность обратной транскрипции оценивали по значениям пороговых циклов (Ct), полученных при анализе синтетических аналогов miRNA и mRNA («Биосан», Россия), взятых в известной концентрации. Эффективность амплификации (E) для каждой системы оценивали с помощью калибровочной кривой, используя для анализа разведения соответствующие РНК, выделенные из клинических проб согласно описанному выше протоколу (E = 2,0). При анализе стабильности экспрессии для подбора референсных miRNAs применяли алгоритм, описанный выше (для референсных генов) [20]. Первоначальный список предлагаемых нормализаторов включал miR-191 (экспрессия этой miRNA была наиболее стабильной в 13 сравниваемых тканях [23]) и U6 (традиционно используется в качестве отдельного эталона для нормализации данных экспрессии miRNA). С помощью алгоритма для нормализации данных экспрессии miRNA выбран U6 (табл. 3).

Отдельно проводили реакцию обратной транскрипции miRNA в 1 повторе, в которой использовали реакционную смесь, содержащую 1× поли(А)-буфера (New England Biolabs Inc., США); 10 U/мкл обратной транскриптазы MMLV («Синтол», Россия); 0,1 мМ dNTP («Синтол», Россия); 0,1 мМ atp (New England Biolabs Inc., США); 1 мкМ RT-праймера; 0,5 U/мкл поли(А)-полимеразы (New England Biolabs Inc., США) и 1 мкг суммарной PHK. Реакцию проводили по следующей схеме: 15 мин при 16 °C, 15 мин при 42 °C; затем обратную транскриптазу инактивировали в течение 2 мин при 95 °C [20].

Изменение относительной экспрессии miRNA оценивали методом ПЦР в реальном времени. Амплификацию проводили в 20 мкл ПЦР-смеси, содержащей 1 × ПЦР-буфера; 0,25 мМ dNTP; 2 мМ MgCl<sub>2</sub>; 1 ед. акт. Таq-ДНК-полимеразы, по 500 нМ прямого и обратного праймеров. Количественную ПЦР с обратной транскрипцией каждого образца проводили в 3 повторах. Полученные смеси инкубировали в амплификаторе CFX 96 (Віо-Rad Lab, США) по следующей схеме: 2 мин при 94 °С, денатурация —10 с при 95 °С, отжиг и элонгация — 20 с при 64 °С. Результаты, соответствующие Ct >40, считали отрицательными.

Относительную экспрессию miRNA (RE) рассчитывали по формуле:

$$E^{-\Delta \Delta Ct}$$
 (E = 1,988).

Нормализацию результатов проводили по референсному локусу и уровню экспрессии соответствующих

**Таблица 3.** Специфические праймеры для miRNA и малой ядерной РНК U6 (дизайн de novo).

 Table 3. Specific primers for miRNA and small nuclear RNA U6 (de novo design)

<b>МикроРНК</b> miRNA	Последовательность праймеров (5' $\rightarrow$ 3') Primer sequence (5' $\rightarrow$ 3')	МикроРНК miRNA	Последовательность праймеров (5'→3') Primer sequence (5'→3')
hsa-miR-1207-5p	F: GTGGCAGGGAGGCT R: CCAGTTTTTTTTTTTTTC CCCTC	hsa-miR-4313	F: CCCCCTGGCCCCA R: GTCCAGTTTTTTTTTT TTGGGT
hsa-miR-5006-3p	F: GCAGTTTCCCTTTCCATCCT R: CCAGTTTTTTTTTTTTTTCT GCCA	hsa-miR-4488	F: GGGGGCGGGCT R: GTTTTTTTTTTTTTTCGC CGGA
hsa-miR-6848-5p	F: TGGGGGCTGGGATG R: AGGTCCAGTTTTTTTTTT TACC	hsa-miR-4530	F: CCAGCAGGACGGGA R: TCCAGTTTTTTTTTTT TCGCT
hsa-miR-6858-5p	F: GGAGGGGCTGGCA R: GGTCCAGTTTTTTTTTT TGTC	hsa-miR-4687-5p	F: GCCCTCCTCCCGCA R: GTCCAGTTTTTTTTTT TTGGGT
hsa-miR-3127-3p	F: AGTCCCCTTCTGCAGG R: GGTCCAGTTTTTTTTTT TCCA	hsa-miR-4695-5p	F: GAGGCAGTGGGCGA R: CCAGTTTTTTTTTTTTC CTGCT
hsa-miR-3940-3p	F: AGCCCGGATCCCAG R: GGTCCAGTTTTTTTTTT TAAGTG	hsa-miR-5787	F: GGGCGCGGGGA R: GGTCCAGTTTTTTTTTT TTACCT
hsa-miR-4463	F: GCAGGAGACTGGGGTG R: GTCCAGTTTTTTTTTT TTTGGC	hsa-miR-6735-3p	F: CTGTGGCTCCTCCCT R: GGTCCAGTTTTTTTTTT TTCTGA
hsa-miR-4687-3p	F: GCAGTGGCTGTTGGAG R: CCAGTTTTTTTTTTTTTTG CCTG	hsa-miR-6749-3p	F: GCTCCTCCCCTGCCT R: GTTTTTTTTTTTTTTTTCTGG GCCA
hsa-miR-4726-3p	F: AGACCCAGGTTCCCTCT R: GTTTTTTTTTTTTTTTTGCGG CCA	hsa-miR-6756-5p	F: TGGGGCTGGAGGTG R: GGTCCAGTTTTTTTTTT TTTAGC
hsa-miR-6741-3p	F: TCGGCTCTCTCCCTCA R: CCAGTTTTTTTTTTTT TCTAGGGT	hsa-miR-6757-3p	F: GCAGAACACTGGCCTTG R: CAGTTTTTTTTTTTTTTTGG GGATAG
hsa-miR-6807-3p	F: GCACTGCATTCCTGCT R: GTTTTTTTTTTTTTTTCTG GGCCA	hsa-miR-6763-3p	F: GCTCCCCGGCCTCT R: GGTCCAGTTTTTTTTTTT TTCTG
hsa-miR-6846-5p	F: GGGCTGGATGGGGTAG R: GGTCCAGTTTTTTTTTTT TTACTC	hsa-miR-6777-3p	F: CGCAGTCCACTCTCCTG R: GGTCCAGTTTTTTTTTT TTTCTG
hsa-miR-1296-5p	F: GGCCCTGGCTCCAT R: GTCCAGTTTTTTTTTTTT GGAGA	hsa-miR-6778-5p	F: GAGTGGGAGGACAGGAG R: AGGTCCAGTTTTTTTTT TTTTACC
hsa-miR-1914-5p	F: GCCCGGCCCACTT R: GGTCCAGTTTTTTTTTT TTTCAGA	hsa-miR-6786-5p	F: GGTGGGGCCGGAG R: GGTCCAGTTTTTTTTT TTTACG
hsa-miR-3085-3p	F: GCAGTCTGGCTGCTATG R: GGTCCAGTTTTTTTTTTT TTGAG	hsa-miR-6829-3p	F: CAGTGCCTCCTCCGT R: GGTCCAGTTTTTTTTTT TTTCTGA
hsa-miR-3180-5p	F: GCAGCTTCCAGACGCT R: GTCCAGTTTTTTTTTTT TCGAC	hsa-miR-6836-5p	F: GGCCCTGGCGCA R: TCCAGTTTTTTTTTTTTA TGCCT
hsa-miR-3934-5p	F: GTCAGGTGTGGAAACTGAG R: GTCCAGTTTTTTTTTTT TCTGC	hsa-miR-6851-5p	F: CAGAGGAGGTGGTACTAGG R: GGTCCAGTTTTTTTTTT TTTGCT
hsa-miR-4253	F: GCAGAGGGCATGTCCAG R: AGGTCCAGTTTTTTTTTT TTTACC	hsa-miR-7110-3p	F: TCTCTCTCCCACTTCCCT R: GGTCCAGTTTTTTTTTT TTTCTG

#### Окончание табл. 3

End of table 3

<b>МикроРНК</b> miRNA	Последовательность праймеров (5'→3')  Primer sequence (5'→3')
hsa-miR-7113-3p	F: CTGCCCGCCTCTCT R: GGTCCAGTTTTTTTTTTT TTTCTG
hsa-miR-7160-3p	F: CAGGGCCCTGGCT R: TCCAGTTTTTTTTTTT TCTGCT
hsa-miR-874-3p	F: CCTGGCCCGAGGGA R: GTCCAGTTTTTTTTTTT TTCGGT
hsa-miR-99a-3p	F: AAGCTCGCTTCTATGGGT R: GGTCCAGTTTTTTTTTT TTTCAG
U6	F: CGGCAGCACATATACTAAAA TTGGAACGATACAGAGAAGATT AGCATGGCCCCTGCGCAAGGA TGACACGCAAATTCGTGAAG R: CAGGTCCAGTTTTTTTTT TTTTAAA

Примечание. Последовательности основаны на зрелых микроРНК из miRDB.

Note. Sequences are based on mature miRNAs from miRDB.

miRNA-мишеней в образцах нормальной ткани последовательно по схеме, приведенной ниже:

1) нормализация по референсному локусу:

$$\Delta C(t) = C(t)_{\text{target}} - C(t)_{\text{reference}},$$
где  $C(t)_{\text{reference}} - C(t)$  референсного локуса;

- где  $C(t)_{reference}$  C(t) референсного локуса; 2) расчет  $E^{-\Delta C(t)}$  и медианы  $E^{-\Delta C(t)}$  по каждой miRNA для условно нормальной и опухолевой тканей каждого пациента;
  - 3) нормализация по условно нормальной ткани и определение окончательного результата как кратность изменений по формуле:

 $FC=RE=E^{-\Delta C(t)}$  медиана опухолевой ткани  $/E^{-\Delta C(t)}$  медиана нормальной ткани (что тождественно  $E^{-\Delta \Delta C(t)}$ .

ИЛИ  $E^{-(\Delta C(t))}$  медиана опухолевой ткани  $-\Delta C(t)$  медиана нормальной ткани) [20].

Экспрессию IncRNA оценивали с использованием метода ПЦР, аналогичного примененному для анализа экспрессии mPHK. С помощью алгоритма для нормализации данных экспрессии выбран ген lncRNA LINC00115 (M-value = 0,096; S-value = 2,343) (табл. 4).

Методы статистической обработки полученных данных. Статистическую обработку результатов выполняли с помощью программы Statistica 10.0 (StatSoft, США). Нормальность распределения показателей оценивали с использованием критерия Колмогорова— Смирнова. Для анализа различий применяли критерий Манна-Уитни для порогового уровня статистической значимости p < 0.05; для учета множественного сравнения – поправку Бонферрони. Связь между переменными оценивали с помощью коэффициента ранговой корреляции Спирмена (r).

#### **РЕЗУЛЬТАТЫ**

Биоинформатический анализ. С использованием GEO2R проанализирована дифференциальная экспрессия генов в 400 образцах тканей (300 опухолевых и 100 нормальных) больных РЖ. Обнаружены 18 617 дифференциально экспрессирующихся локусов, включая кодирующие белки гены, miRNAs и lncRNAs. Из них 9061 генетический локус статистически значимо снижал экспрессию, а 9556 локусов были гиперэкспрессированы (рис. 1).

Из ДЭГ особый интерес представляет группа так называемых РТ-генов. Так, в ходе анализа базы данных GEO выявлено изменение экспрессии 11 PT-ге-HOB: MAGEA10, MAGEA2, MAGEA12, MAGEA3, MAGEA6, MAGEH1, MAGEE1, BAGE2, CTAGE5, MAGED2 и MAGEL2 (табл. 5).

Для локусов MAGEA10, MAGEA2, MAGEA12, MAGEA3, *MAGEA6*, *MAGEH1*, изменивших экспрессию более чем в 1,25 раза, проведен поиск таргетирующих их miRNAs. Выявлены 789 уникальных miRNAs: 270 для *MAGEA10*, 93 — для *MAGEA12*, 98 — для *MAGEA2*, 84 — для *MAGEA3*, 109 — для *MAGEA6* и 135 — для *MAGEH1*. Наиболее стабильным взаимодействием с целевой мРНК (оценивалось по свободной энергии взаимодействия, не более -26,0) обладала 201 miRNAs: 73 для *MAGEA10*, 27 — для *MAGEA12*, 20 — для *MAGEA2*, 31 — для *MAGEA3*, 33 — для *MAGEA6* и 17 — для *MAGEH1*.

Среди выявленных 40 miRNAs таргетируют несколько рассматриваемых локусов (рис. 2, табл. 6). Для 4 из них установлена возможность взаимодействия с 90 lncRNAs. При этом ncRNA KCNQ10T1 способна взаимодействовать с 3 miRNAs (hsa-miR-3940-3p, -1296-5p и -874-3p), *АС109460.3* и *АС131212.3* с 2 miRNAs (hsa-miR-3940-3p и hsa-miR-874-3p). MIR29B2CHG и XIST - c 2 miRNAs (hsa-miR-6807-3p и hsa-miR-1296-5p), *NEAT1 и SNHG29* – c 2 miRNAs (hsa-miR-6807-3р и hsa-miR-874-3р) (рис. 3).

Для оценки потенциала направленной деградации miRNA под действием lncRNA используют TDMDScore. По этому показателю финальный список IncRNAs был следующим: для hsa-miR-3940-3p — KCNQ10T1, LINC01089 и AC145285.6, для hsa-miR-6807-3p - GAS5, AC005034.3, AC104447.1, AL691447.2 и AC024580.1, для hsa-miR-1296-5p — AL355075.4, AC069281.2, SNHG14 и SNHG15, для hsa-miR-874-3p — AC040162.3, MIRLET7BHG, AC002101.1, SLC9A3-AS1 и AL118506.1.

Экспериментальная валидация данных биоинформатического анализа. На основе данных биоинформатического анализа выбран фрагмент потенциально существующей регуляторной сети конкурентно взаимодействующих РНК для валидации на образцах 100 пациентов со злокачественными опухолями желудка.

**Таблица 4.** Последовательности праймеров для определения экспрессии длинных некодирующих РНК (дизайн de novo) Table 4. Primer sequences for determining the expression of long non-coding RNAs (de novo design)

<b>Ген</b> Gene	Последовательность праймеров (5° $\rightarrow$ 3°) Primer sequence (5° $\rightarrow$ 3°)	Длина ампликона (п. н.) Amplicon length (bp)
KCNQ10T1	F: GTCTGCTGGCTTGTGTTG R: GGCTACGACCACAGGTGAAA	106
LINC01089	F: AGAGGCCAACAGATGAGGGA R: GTTGGGTAGGCAAAAAGGCG	98
AC145285.6	F: GCCTGCAGTGTGCTAGAGTA R: GTTTCCCCTCCTGTGTGCTC	146
GAS5	F: AAGCCCCTGGAGGAAAGTCT R: CCCTTTAGCCAGTTCCCCTC	76
AC005034.3	F: TACTCCACCATGTTGCTCAAGT R: CATCGGCACATAGGAGCCTTC	198
SNHG14	F: TGAAGCTCAGGCCTTTCCTG R: ATACCGGTCAATGCCAAGTG	91
SNHG15	F: GGCAGTCTAGTCATCCACCG R: AGGAACTGGCAGCTAACACG	106
SLC9A3-AS1	F: GCGGGGATCTGGGGTTTCTC R: TCCGAAGGCTGACTAGCCG	148
MIRLET7BHG	F: GTCCAGACGAGCAGACACTG R: GGACGGGGCCACATTTATCT	129
AL118506.1	F: TGATGGGTGCACAAAGGGTT R: ATCATGGGTGGGAAAGCTGG	115
LINC00115	F: CCTGTAACAACCCTCGTGCT R: ATCCACAGCGAGGCAATGAA	132

**Примечание.** Праймеры подобраны на основе базы данных NCBI и программы Primer-BLAST, использован de novo дизайн с валидацией in silico.

Note. Primers were selected based on public databases (NCBI and program Primer-BLAST), de novo design with in silico validation was used.

В этот фрагмент вошли 6 РТ-генов (*MAGEA10*, *MAGEA2*, *MAGEA12*, *MAGEA3*, *MAGEA6*, *MAGEH1*), 40 miRNAs (hsa-miR-1207-5p, -5006-3p, -6848-5p, -6858-5p, -3127-3p, -3940-3p, -4463, -4687-3p, -4726-3p, -6741-3p, -6807-3p, -6846-5p, -1296-5p, -1914-5p, -3085-3p, -3180-5p, -3934-5p, -4253, -4313, -4488, -4530, -4687-5p, -4695-5p, -5787, -6735-3p, -6749-3p, -6756-5p, -6757-3p, -6763-3p, -6777-3p, -6778-5p, -6786-5p, -6829-3p, -6836-5p, -6851-5p, -7110-3p, -7113-3p, -7160-3p, -874-3p и -99а-3p) и 17 lncRNAs (*KCNQ10T1*, *LINC01089*, *AC145285*.6, *GAS5*, *AC005034*.3, *AC104447*.1, *AL691447*.2, *AC024580*.1, *AL355075*.4, *AC069281*.2, *SNHG14*, *SNHG15*, *AC040162*.3, *MIRLET7BHG*, *AC002101*.1, *SLC9A3-AS1*, *AL118506*.1).

На рис. 4 представлены результаты анализа экспрессии 6 РТ-генов (*MAGEA10*, *MAGEA2*, *MAGEA12*, *MAGEA3*, *MAGEA6* и *MAGEH1*).

Обнаружено статистически значимое увеличение экспрессии генов *MAGEA10*, *MAGEA3* и *MAGEA6* в 2,74; 2,54 и 3,57 раза соответственно в опухолевой ткани относительно нормальной (p < 0,0001).

С учетом того, что изменение экспрессии выявлено только для 3 генетических локусов, панель для валидации miRNA была сокращена до 32 miRNAs, таргетирующих эти локусы (рис. 5).

Обнаружено статистически значимое снижение уровней экспрессии hsa-miR-1207-5p (в 1,72 раза), -6858-5p (в 2,7 раза), -3127-3p (в 1,96 раза), -3940-3p (в 7,14 раза), -6807-3p (в 4,76 раза), -3085-3p (в 1,75 раза), -3934-5p (в 2,86 раза), -4488 (в 3,45 раза), -4530 (в 2,04 раза), -6777-3p (в 1,82 раза), -99а-3p (в 2,33 раза) (p<0,0001), а также статистически значимое повышение уровней экспрессии hsa-miR-7113-3p (в 1,78 раза) и hsa-miR-874-3p (в 2,04 раза) в опухолевой ткани относительно нормальной ткани (p<0,0001) (см. рис. 5).

Для 4 miRNAs установлено взаимодействие с 17 lncRNAs с высоким индексом TDMDScore. Результаты анализа экспрессии 17 lncRNAs представлены на рис. 6.

В опухолевой ткани обнаружено статистически значимое повышение уровней экспрессии *LINC01089* (в 3,72 раза), *AC145285.6* (в 2,14 раза), *GAS5* (в 1,95 раза),

**Таблица 5.** Дифференциально экспрессирующиеся гены раково-тестикулярных антигенов при раке желудка (результаты биоинформатического анализа)

Table 5. Differentially expressed cancer-testicular antigen genes in gastric cancer (results of bioinformatics analysis)

<b>Ген</b> Gene	Полное название гена Full name of the gene	FC, pa3 FC, times	logFC	<i>p</i> -value
MAGEA10	Член семейства генов <i>MAGE</i> A10 <i>MAGE</i> family member A10	1,339*	0,421	0,00000000053700
MAGEA2	Член семейства генов <i>MAGE</i> A2 <i>MAGE</i> family member A2	1,444*	0,530	0,00000000015300
MAGEA12	Член семейства генов <i>MAGE</i> A12 <i>MAGE</i> family member A12	1,503*	0,589	0,00000000012700
MAGEA3	Член семейства генов <i>MAGE</i> A3 <i>MAGE</i> family member A3	1,751*	0,808	0,00000000000513
MAGEA6	Член семейства генов <i>MAGE</i> A6 <i>MAGE</i> family member A6	1,765*	0,819	0,000000000000316
MAGEH1	Член семейства генов <i>MAGE</i> H1 <i>MAGE</i> family member H1	0,794 (1,259)*	-0,332	0,000000000000000
MAGEE1	Член семейства генов <i>MAGE</i> E1 <i>MAGE</i> family member E1	0.838 (1.193)** (x = 0.838)	-0,255	0,000000000000000
BAGE2	Член семейства антигенов меланомы B2 В melanoma antigen family member 2	0,935 (1,069)**	-0,096	0,00001050000000
CTAGE5	Член семейства генов <i>CTAGE</i> 5 <i>CTAGE</i> family member 5	0,946 (1,057)**	-0,080	0,00068700000000
MAGED2	Член семейства генов <i>MAGE</i> D2 <i>MAGE</i> family member D2	0,954 (1,048)**	-0,068	0,00007640000000
MAGEL2	Член семейства генов <i>MAGE</i> L2 <i>MAGE</i> family member L2	0,977 (1,023)**	-0,033	0,01590000000000

<sup>\*</sup>Изменение экспрессии более чем в 1,25 раза.\*\*Отношение 1/x, где x - значение перед скобками.

AC005034.3 (в 2,24 раза) и AL691447.2 (в 3,18 раза) (p <0,001), а также статистически значимое снижение уровней экспрессии SNHG14 (в 1,85 раза), AC002101.1 (в 3,70 раза), SLC9A3-AS1 (в 2,04 раза) и AL118506.1 (в 9,09 раза) (p <0,001) относительно нормальной ткани (см. рис. 6).

На основании полученных данных построена модель регуляторной сети для РТ-генов при РЖ (рис. 7).

Согласно модели увеличение уровня экспрессии IncRNAs отрицательно коррелирует со снижением уровня экспрессии miRNAs (r=-0,678...-0,851), что в свою очередь отрицательно коррелирует с увеличением экспрессии PT-генов (r=-0,584...-0,912). Важно отметить, что снижение уровня экспрессии IncRNAs AC002101.1, SLC9A3-AS1 и AL118506.1 отрицательно коррелирует с повышением уровня экспрессии IncRNAs IncRNAs

и *МАGEA6*. Экспрессия *МAGEH1* в опухолевой ткани была такой же, как и в нормальной ткани, экспрессия таргетирующей *МAGEH1* hsa-miR-874-3p повышена (r = -0.087), экспрессия hsa-miR-1296-5p не изменена (r = 0.119) (рис. 7).

#### ОБСУЖДЕНИЕ

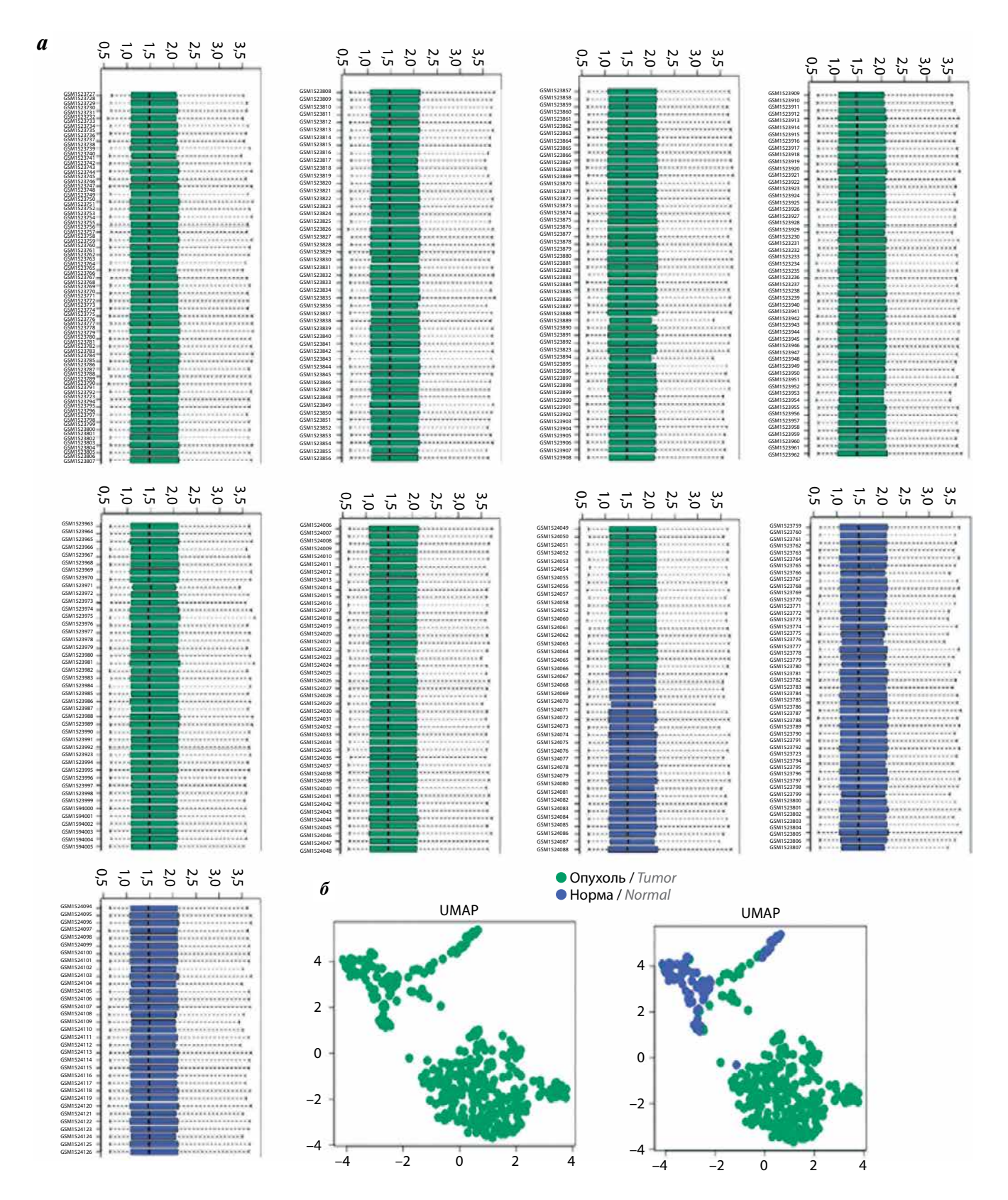
В экспериментальной части проведенного исследования проанализирована экспрессия 6 РТ-генов в опухолевой и нормальной тканях у 100 пациентов с аденокарциномой желудка. Однако статистически значимые различия в уровнях экспрессии в опухолевой и нормальной тканях выявлены только для 3 генов — *MAGEA10*, *MAGEA3* и *MAGEA6*: наблюдалось значительное повышение их экспрессии.

Семейство генов *МАGE* человека (хромосома Xq28, 12 генов) кодирует ядерные белки, большинство которых экспрессируются в опухолевых клетках. В нормальных клетках они либо не экспрессируются, либо

**Примечание.** FC — кратность изменений; logFC — логарифмическое значение FC.

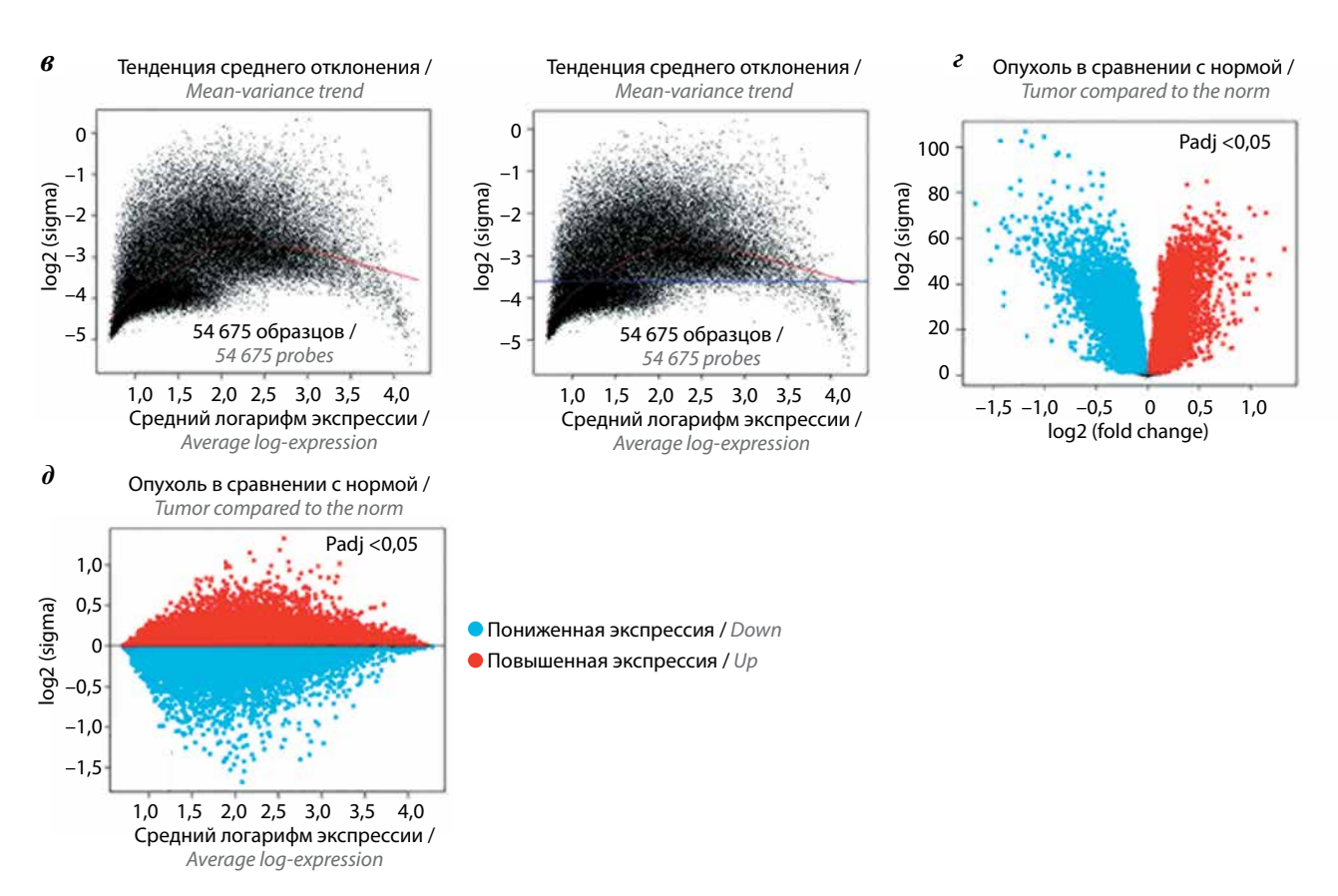
<sup>\*</sup>Expression change more than 1.25 times fold change.\*\*Ratio 1/x, where x is the value before the parentheses.

*Note.* FC – fold change; logFC – logarithmic value of <math>FC.



**Рис. 1.** Результаты биоинформатического анализа дифференциально экспрессирующихся генов при раке желудка: а — блочная диаграмма boxplot (сгенерировано с помощью Boxplot в R, используемой для просмотра распределения значений образцов); б — результаты Uniform Manifold Approximation and Projection (UMAP) — метода уменьшения размеров, позволяющего визуализировать связь образцов друг с другом (на графике указано количество ближайших соседей, использованных при расчете; сгенерировано с применением UMAP)

Fig. 1. Results of bioinformatics analysis of differentially expressed genes in gastric cancer: a-boxplot (generated using Boxplot in R used for visualization of sample distributions); 6-results of Uniform Manifold Approximation and Projection (UMAP) method for dimension reduction and visualization of sample associations (the plot shows the number of nearest neighbors used in calculations; generated using UMAP)



**Рис. 1.** (Окончание). в — тенденция среднего отклонения (сгенерировано с использованием R limma (plotSA, vooma)); г — вулканограмма (сгенерировано с использованием limma), отображающая статистическую значимость (значение —log 10P) в зависимости от величины логарифмического кратного изменения; д — график средней разности (MD), отображающий логарифмическое изменение по сравнению со средними значениями экспрессии log2 (сгенерировано с использованием limma (plotMD))

Fig. 1. (End). e-mean variance trend (generated using R limma (plotSA, vooma)); e-volcano plot (generated using limma) showing statistical significance (value -log10P) depending on the value of logarithmic fold change; e-mean difference (MD) plot showing logarithmic change compared to mean values of log2 expression (generated using limma (plotMD))

	MAGEA12 (n = 27)	MAGEA2 (n = 20)	MAGEA3 $(n = 31)$	MAGEA6 (n = 33)	MAGEH1 (n = 17)
MAGEA10 (n = 73)	5 (0,0526)	2 (0,0220)	3 (0,0297)	5 (0,0495)	2 (0,0227)
MAGEA12 (n = 27)		11 (0,3056)	8 (0,1600)	9 (0,1765)	0 (0,000)
MAGEA2 (n = 20)			7 (0,1591)	6 (0,1277)	0 (0,000)
MAGEA3 ( $n = 31$ )				15 (0,3061)	1 (0,0213)
<i>MAGEA6</i> ( $n = 33$ )					2 (0,0417)
0 Инпекс Жаккара/ Ідсо	rard index 1				

**Рис. 2.** Парные пересечения по микро РНК разных генов-мишеней раково-тестикулярных антигенов. Приведены число совпадений и индекс Жак-кара (в скобках)

 $\textbf{Fig. 2.} \textit{ Paired intersections of microRNAs of different cancer-testicular antigen target genes. Number of matches and Jaccard index (in brackets) are presented to the property of the$ 

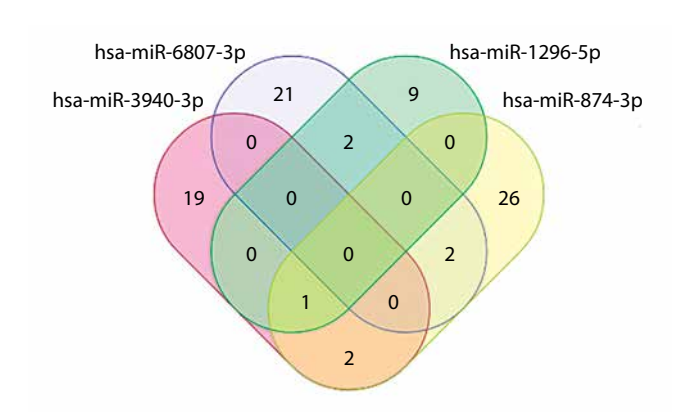
экспрессируются в минимальной степени, за исключением зародышевых клеток яичек и плаценты [24, 25]. Поскольку зародышевые клетки лишены поверхностных молекул HLA класса I, предполагается, что ответы специфических цитотоксических Т-лимфоцитов CD8+ (CTL) на антигены, кодируемые генами *MAGE*, строго опухолеспецифичны при разных видах рака, иными словами, они являются раковыми антигенами [26]. Молекулы MAGE в раковых клетках могут подвергаться протеасомно-опосредованныму протеолизу, а раз-

рушенные пептиды — транспортироваться на поверхность клетки с помощью белка, связывающего антиген. Эти эпитопы могут быть представлены HLA-аллелями цитотоксических Т-лимфоцитов (клетки CD8+-CTL), а активированные CTL затем способны высвобождать гранзимы и перфорины, чтобы убить соответствующие опухолевые клетки посредством апоптоза или действия гранулизина [27]. Благодаря своим характеристикам это семейство генов в последние годы представляет большой интерес для разработки противо-

Таблица 6. Общие микроРНК для разных генов-мишеней раково-тестикулярных антигенов

 Table 6. Common microRNAs for different cancer-testicular antigen target genes

<b>МикроРНК</b> miRNA	Количество таргетируемых локусов Number of target loci	Гены, с матричными РНК которых взаимодействуют микроРНК Genes whose mRNAs interact with miRNAs
hsa-miR-1207-5p	4	MAGEA10, MAGEA12, MAGEA2, MAGEA6
hsa-miR-5006-3p	4	MAGEA12, MAGEA2, MAGEA3, MAGEA6
hsa-miR-6848-5p	4	MAGEA12, MAGEA2, MAGEA3, MAGEA6
hsa-miR-6858-5p	4	MAGEA10, MAGEA12, MAGEA3, MAGEA6
hsa-miR-3127-3p	3	MAGEA2, MAGEA3, MAGEA6
hsa-miR-3940-3p	3	MAGEA12, MAGEA3, MAGEA6
hsa-miR-4463	3	MAGEA10, MAGEA12, MAGEA6
hsa-miR-4687-3p	3	MAGEA2, MAGEA3, MAGEA6
hsa-miR-4726-3p	3	MAGEA2, MAGEA3, MAGEA6
hsa-miR-6741-3p	3	MAGEA12, MAGEA2, MAGEA3
hsa-miR-6807-3p	3	MAGEA10, MAGEA12, MAGEA3
hsa-miR-6846-5p	3	MAGEA10, MAGEA12, MAGEA2
hsa-miR-1296-5p	2	MAGEA6, MAGEH1
hsa-miR-1914-5p	2	MAGEA12, MAGEA3
hsa-miR-3085-3p	2	MAGEA12, MAGEA6
hsa-miR-3180-5p	2	MAGEA12, MAGEA2
hsa-miR-3934-5p	2	MAGEA3, MAGEA6
hsa-miR-4253	2	MAGEA3, MAGEA6
hsa-miR-4313	2	MAGEA10, MAGEA6
hsa-miR-4488	2	MAGEA3, MAGEA6
hsa-miR-4530	2	MAGEA3, MAGEA6
hsa-miR-4687-5p	2	MAGEA12, MAGEA2
hsa-miR-4695-5p	2	MAGEA10, MAGEA6
hsa-miR-5787	2	MAGEA12, MAGEA2
hsa-miR-6735-3p	2	MAGEA6, MAGEH1
hsa-miR-6749-3p	2	MAGEA10, MAGEH1
hsa-miR-6756-5p	2	MAGEA12, MAGEA2
hsa-miR-6757-3p	2	MAGEA12, MAGEA3
hsa-miR-6763-3p	2	MAGEA 10, MAGEH 1
hsa-miR-6777-3p	2	MAGEA10, MAGEA3
hsa-miR-6778-5p	2	MAGEA3, MAGEA6
hsa-miR-6786-5p	2	MAGEA12, MAGEA2
hsa-miR-6829-3p	2	MAGEA12, MAGEA2
hsa-miR-6836-5p	2	MAGEA12, MAGEA6
hsa-miR-6851-5p	2	MAGEA3, MAGEA6
hsa-miR-7110-3p	2	MAGEA12, MAGEA6
hsa-miR-7113-3p	2	MAGEA3, MAGEA6
hsa-miR-7160-3p	2	MAGEA2, MAGEA3
hsa-miR-874-3p	2	MAGEA3, MAGEH1
hsa-miR-99a-3p	2	MAGEA3, MAGEA6



**Рис. 3.** Общие длинные некодирующие PHK для 4 микроPHK Fig. 3. Common long non-coding RNAs for 4 microRNAs

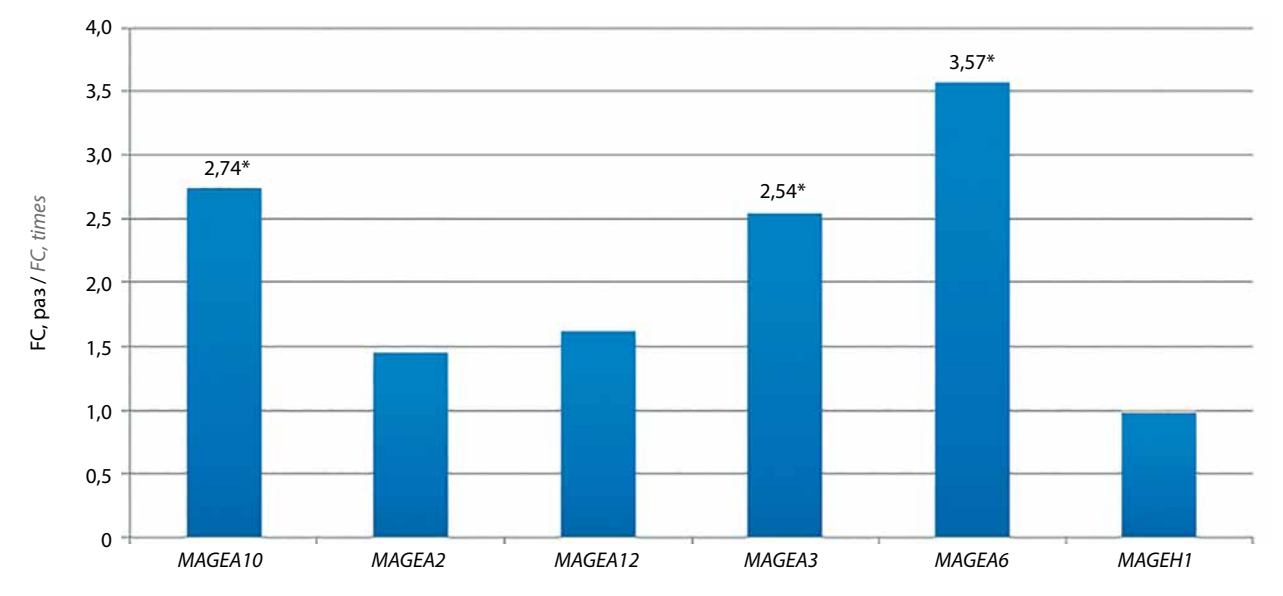
раковых препаратов и иммунотерапии [28]. В настоящее время механизмы участия генов семейства *МАGE* при многих заболеваниях, таких как меланома, рак пищевода, РЖ, неясны [29].

МАGEA10 (СТ1.10, MAGE10, MGC10599) является членом семейства генов МАGEA. Этот РТ-ген представляет собой привлекательную мишень для иммунотерапии рака [30]. Высокий уровень экспрессии МАGEA10 наблюдается у больных немелкоклеточным раком легкого [27]. Информация о молекулярной структуре белка и его взаимодействиях, экспрессии гена МАGEA10 в различных опухолях, визуализация и локализация его экспрессии представлены на рис. 8, созданном на основе данных The Human Protein Atlas [31]. Продемонстрировано, что МАGEA10 значительно

экспрессирован в опухолевой ткани желудка (что соответствует нашим данным), легкого, кожи, мозга, мочевого пузыря, предстательной железы и др. Высокий уровень экспрессии этого РТ-гена в различных опухолях может свидетельствовать как о схожих молекулярных механизмах, регулирующих его экспрессию, так и о том, что этот показатель можно использовать в качестве маркера онкологического процесса и универсальной мишени для иммунотерапии.

Еще одним членом семейства *MAGE* является меланома-ассоциированный антиген 3 (MAGEA3). Функция *MAGEA3* в нормальных клетках неизвестна. Присутствие антигена на опухолевых клетках связано с худшим прогнозом. Так, высокий уровень экспрессии *MAGEA3* при аденокарциноме ассоциирован с более низкими показателями выживаемости пациентов [32]. МАСБАЗ — опухолеспецифический белок, который обнаружен во многих опухолях, включая меланому, немелкоклеточный рак легкого, гематологические злокачественные новообразования и рак молочной железы [7]. Пептиды MAGEA3 рассматриваются как наиболее привлекательные эпитопы; вакцины, содержащие эти пептиды, находятся на стадии разработки [33]. С 2008 г. GlaxoSmithKline создает вакцину против рака, нацеленную на MAGEA3 [34].

Результаты исследования X. Gao и соавт., посвященного определению роли *MAGEA3* при раке шейки матки, показали, что его сверхэкспрессия значительно способствует пролиферации клеток *in vitro* и *in vivo*, увеличивает долю клеток в S-фазе клеточного цикла и подавляет апоптоз. Кроме того, обнаружено,

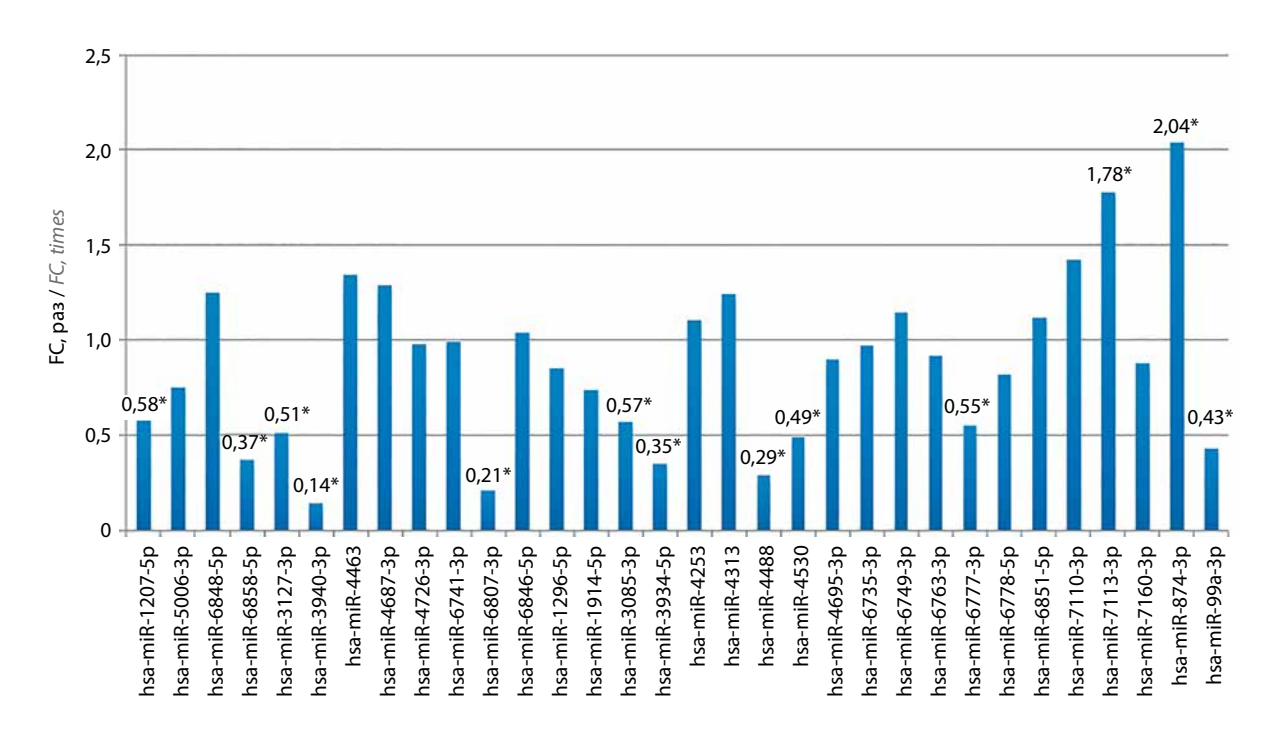


**Рис. 4.** Изменение уровней экспрессии генов раково-тестикулярных антигенов MAGEA10, MAGEA2, MAGEA12, MAGEA3, MAGEA6 и MAGEH1 в опухолевой ткани желудка относительно нормальной ткани (представлены отношение уровня экспрессии в опухолевой ткани к уровню экспрессии в нормальной ткани, кратность изменений (FC)). \*Различия между опухолевыми и нормальными образцами ткани статистически значимы (p < 0,0001)

Fig. 4. Changes in expression levels of cancer/testis antigen genes MAGEA10, MAGEA2, MAGEA12, MAGEA3, MAGEA6 and MAGEH1 in gastric tumor tissue compared to normal tissue (ratio between expression in tumor tissue and expression in normal tissue, fold change (FC) are presented). \*Differences between tumor and normal samples are statistically significant (p < 0.0001)

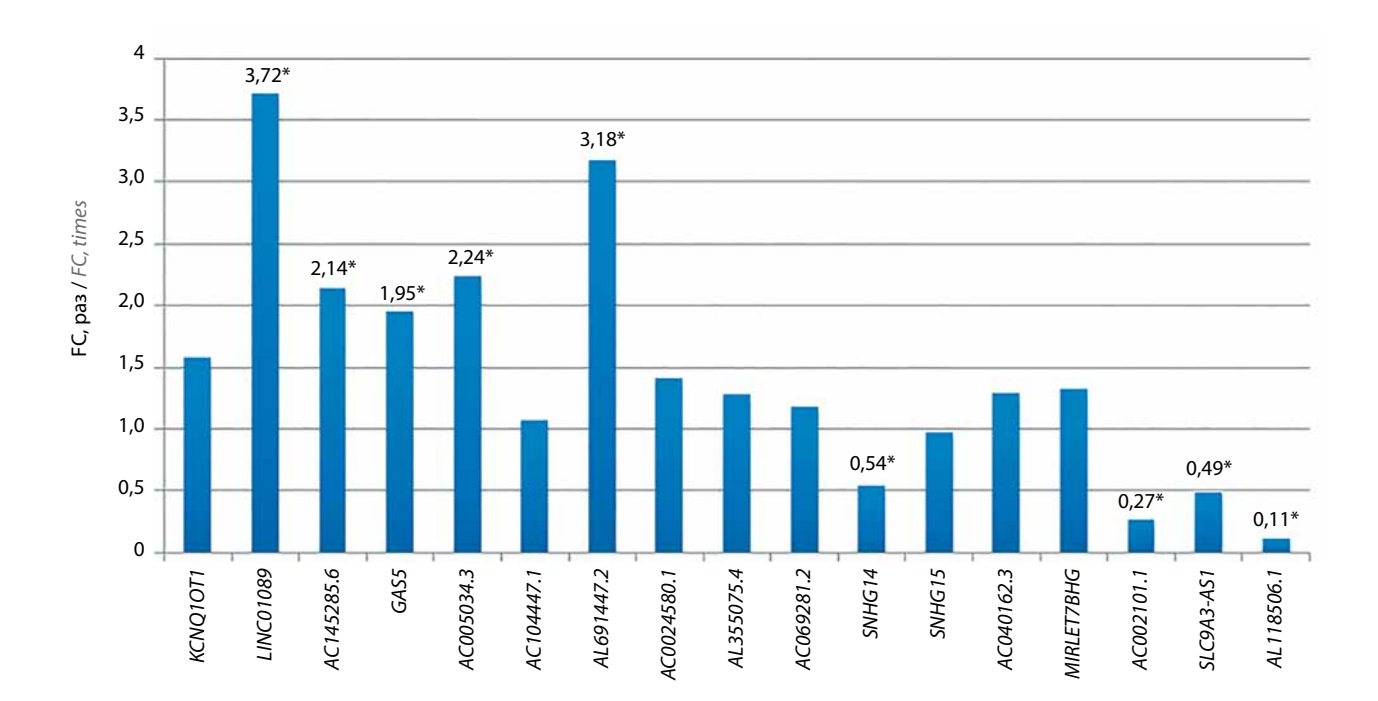
S

02



**Рис. 5.** Изменение уровней экспрессии 32 микроРНК, таргетирующих гены раково-тестикулярных антигенов MAGEA10, MAGEA3 и MAGEA6, в опухолевой ткани желудка относительно нормальной ткани (представлены отношение уровня экспрессии в опухолевой ткани к уровню экспрессии в нормальной ткани, кратность изменений (FC)). \*Различия между опухолевыми и нормальными образцами ткани статистически значимы (p <0,0001)

Fig. 5. Changes in expression of 32 microRNAs targeting genes of cancer/testis antigens MAGEA10, MAGEA3 and MAGEA6 in gastric tumor tissue compared to normal tissue (ratio between expression in tumor tissue and expression in normal tissue, fold change (FC) are presented). \*Differences between tumor and normal samples are statistically significant (p < 0.0001)



**Рис. 6.** Изменение уровней экспрессии 17 длинных некодирующих РНК, взаимодействующих с микро РНК hsa-miR-3940-3p, -6807-3p, -1296-5p и -874-3p, в опухолевой ткани желудка относительно нормальной ткани (представлены отношение уровня экспрессии в опухолевой ткани к уровню экспрессии нормальной ткани, кратность изменений (FC)). \*Различия между опухолевыми и нормальными образцами ткани статистически значимы (p <0,0001)

Fig. 6. Changes in expression of 17 long non-coding RNAs interacting with microRNAs hsa-miR-3940-3p, -6807-3p, -1296-5p and -874-3p in gastric tumor tissue compared to normal tissue (ratio between expression in tumor tissue and expression in normal tissue, fold change (FC) are presented). \*Differences between tumor and normal samples are statistically significant (p < 0.0001)

S

02

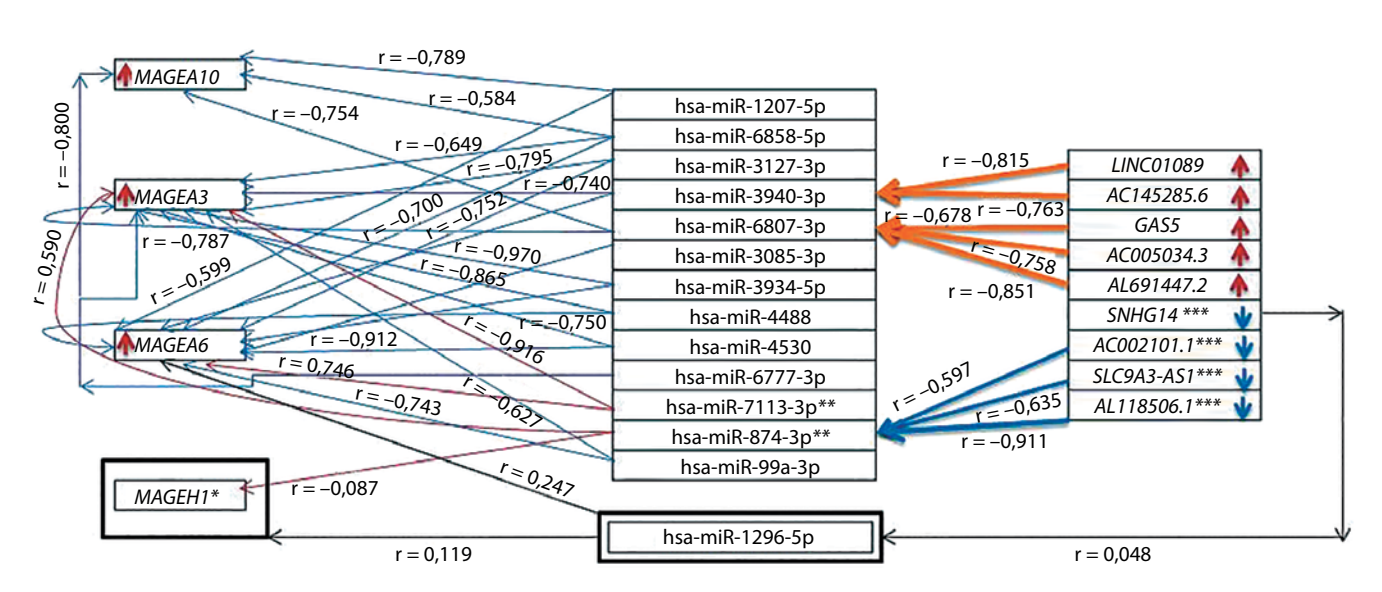


Рис. 7. Модель регуляторной сети для генов раково-тестикулярных антигенов при раке желудка. \*Экспрессия такая же, как в нормальной ткани. \*\*Экспрессия микроРНК выше, чем в нормальной ткани. \*\*Экспрессия длинной некодирующей РНК ниже, чем в нормальной ткани. Fig. 7. Model of cancer-testicular antigen genes regulatory network in gastric cancer. \*Same expression as in normal tissue. \*\*microRNA expression is higher than in normal tissue. \*\*\*Expression of long non-coding RNA is lower than in normal tissue.

что снижение уровня экспрессии *MAGEA3* подавляет пролиферацию клеток HeLa, блокирует прогрессирование клеточного цикла в фазе G1 и вызывает апоптоз клеток. Результаты исследования механизма действия MAGEA3 на клеточный цикл продемонстрировали, что MAGEA3 взаимодействует с белком, связанным с доменом KRAB (KAP1), для ингибирования транскрипционной активности р53, что ингибирует экспрессию генов, ассоциированных с клеточным циклом, который опосредован р53 (р21 и Cyclin D1) и апоптозом (Вах, Всl-2 и компонентом связывания Всl-2).

Приведенные данные свидетельствуют о том, что MAGEA3 способствует пролиферации опухолевых клеток шейки матки и росту новообразования, играет онкогенную роль и регулирует сигнальный путь KAP1/p53 [35].

На рис. 9 представлена информация об экспрессии MAGEA3 в различных опухолях (по данным проекта «Атлас ракового генома» (The Cancer Genome Atlas, TCGA)). Так же, как и в случае с MAGEA10, экспрессия MAGEA3 повышается в различных опухолях.

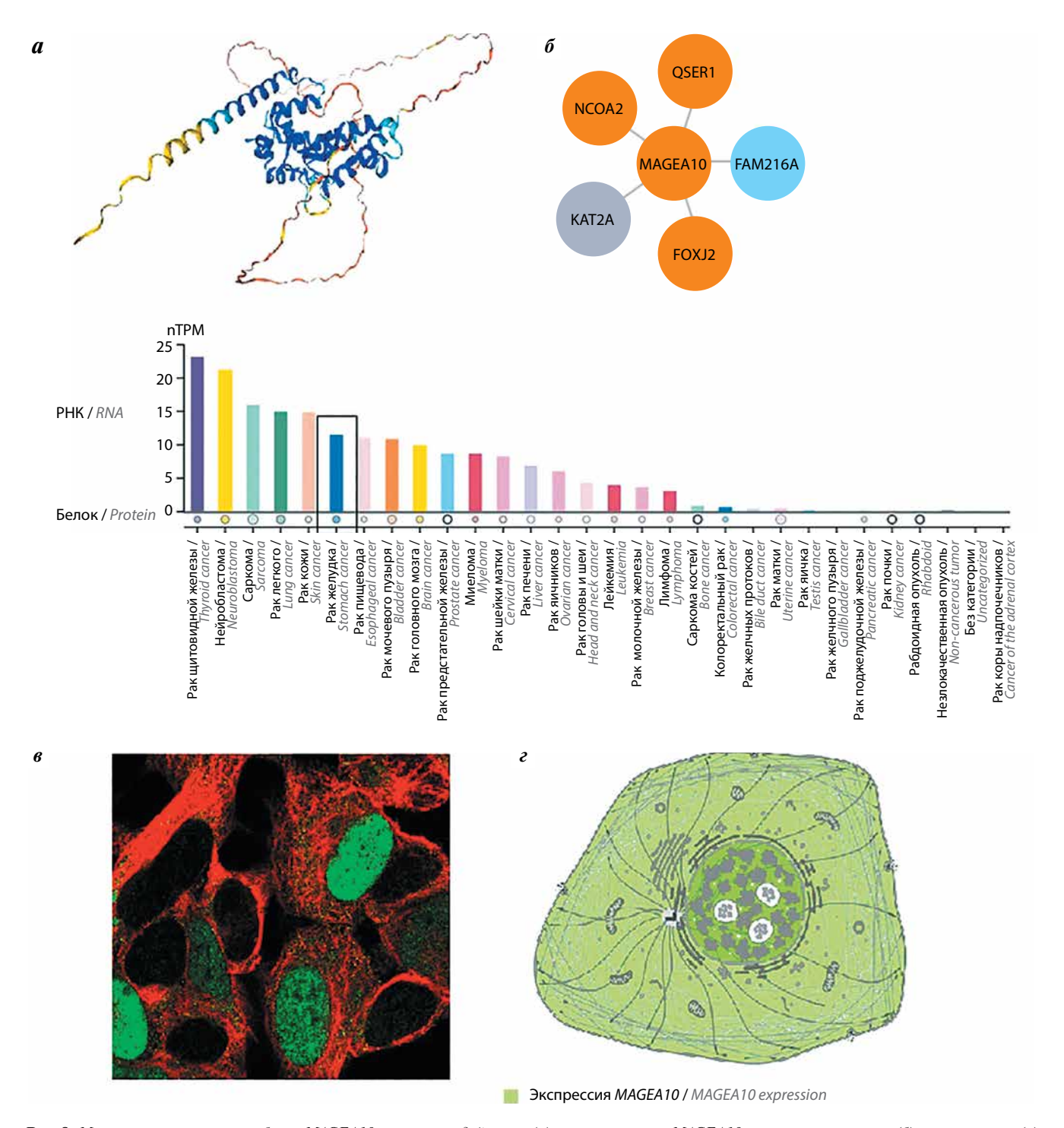
Меланома-ассоциированный антиген А6 (МАGEA6) обладает онкогенной активностью, но механизмы, с помощью которых он регулирует прогрессию опухоли и химиорезистентность, неизвестны [36]. Все члены семейства *МАGE* кодируют белки, которые имеют сильное сходство друг с другом. Например, МАGEA6 и МAGEA3 характеризуются самой высокой гомологией (98%). При этом в тканях рака шейки матки наблюдается отрицательная корреляция экспрессии *МAGEA6* и *MAGEA3* с клинической стадией [35]. Но эти 2 представителя семейства *МAGE*, тем не менее, могут служить биомаркерами для прогнозирования *in situ* ранних предраковых поражений [29]. В нашем иссле-

довании уровень экспрессии гена *MAGEA6* был в 1,4 раза выше уровня экспрессии *MAGEA3*; различия статистически незначимы.

MAGEA6 экспрессируется и в ряде других опухолей человека, таких как глиома и рак пищевода. Показано, что этот ген гиперэкспрессирован при раке молочной железы и связан с устойчивостью к терапии, поскольку подавление его экспрессии повышает химиочувствительность к доксорубицину *in vitro* и *in vivo*. Нокдаун MAGEA6 снижает убиквитинирование  $AMPK\alpha1$ , что повышает концентрацию  $AMPK\alpha1$  и р- $AMPK\alpha$  в клетках рака молочной железы. Данные, полученные H. Zhu и соавт., свидетельствуют о том, что воздействие на MAGEA6 может повысить химиочувствительность при раке молочной железы посредством активации аутофагии и ферроптоза ( $AMPK\alpha1$ -зависимая аутофагия и  $AMPK\alpha1/SLC7A11$ -индуцированный ферроптоз) [37].

Очевидно, что влияние *MAGEA6* на аутофагию обеспечивает потенциальный механизм его онкогенных эффектов. Так, в исследовании Ү. Н. Тsang и G. В. Mills впервые изучена роль *MAGEA6* в регуляции аутофагии при аденокарциноме протоков поджелудочной железы. В соответствии со способностью этого гена ингибировать аутофагию при других типах рака экспрессия дикого типа *MAGEA6* в моделях клеток рака поджелудочной железы уменьшает базальную сигнализацию аутофагии, на что указывает снижение фосфорилирования AMPK и повышение фосфорилирования RPS6KB/S6K [38].

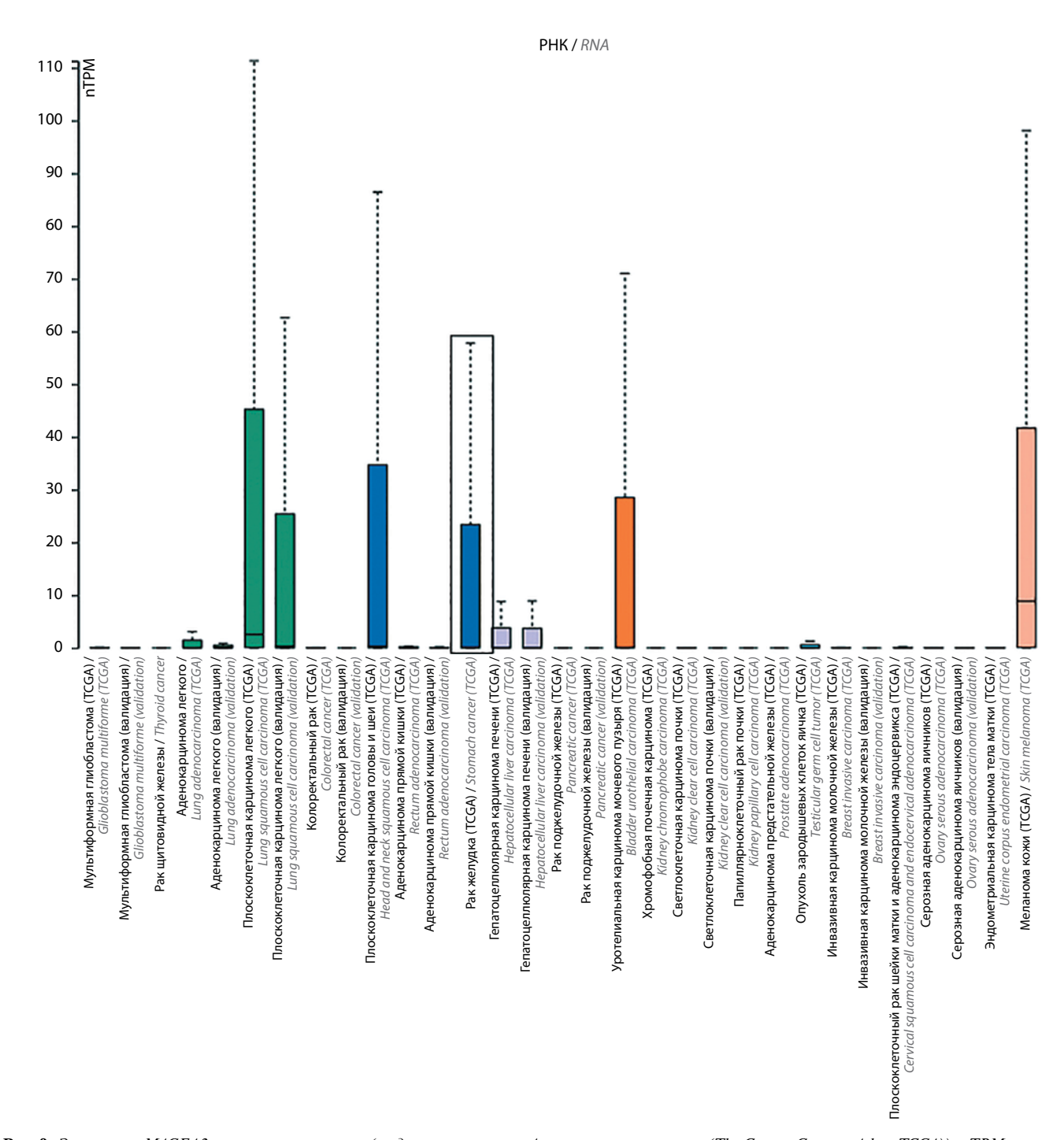
Сверхэкспрессия *MAGEA6* достаточна для трансформации незлокачественных эпителиальных клеток поджелудочной железы человека и индуцирует рост ксенотрансплантированной опухоли *in vivo*, вероятно,



**Рис. 8.** Молекулярная структура белка MAGEA10 и его взаимодействия (а), экспрессия гена MAGEA10 в различных опухолях (б), визуализация (в) и локализация его экспрессии (г) (по данным Human Protein Atlas; https://www.proteinatlas.org/). nTPM — количество транскриптов на миллион **Fig. 8.** Molecular structure of MAGEA10 protein and its interactions (a), expression of MAGEA10 gene in different tumors (б), visualization (в) and location of its expression (г) (per Human Protein Atlas; https://www.proteinatlas.org/). nTPM — transcripts per million

вызванный способностью *MAGEA6* ограничивать аутофагию. Данные, полученные Y.H. Tsang и G.B. Mills, свидетельствуют о том, что *MAGEA6* действует как координатор аутофагии, обеспечивая переход от низкого уровня активности аутофагии к высокому во время инициации и прогрессии опухоли. Высокая экспрессия *MAGEA6* играет большую роль в инициации забо-

левания, когда низкая активность аутофагии является допустимой, тогда как во время прогрессирования заболевания *MAGEA6* деградирует из-за спонтанных мутаций в гене и метаболического стресса, что приводит к высокой активности аутофагии. В соответствии с этой концепцией высокий уровень экспрессии *MAGEA6* ассоциируется только с худшими показателя-



**Puc. 9.** Экспрессия MAGEA3 в различных опухолях (по данным проекта «Атлас ракового генома» (The Cancer Genome Atlas, TCGA)). nTPM — количество транскриптов на миллион

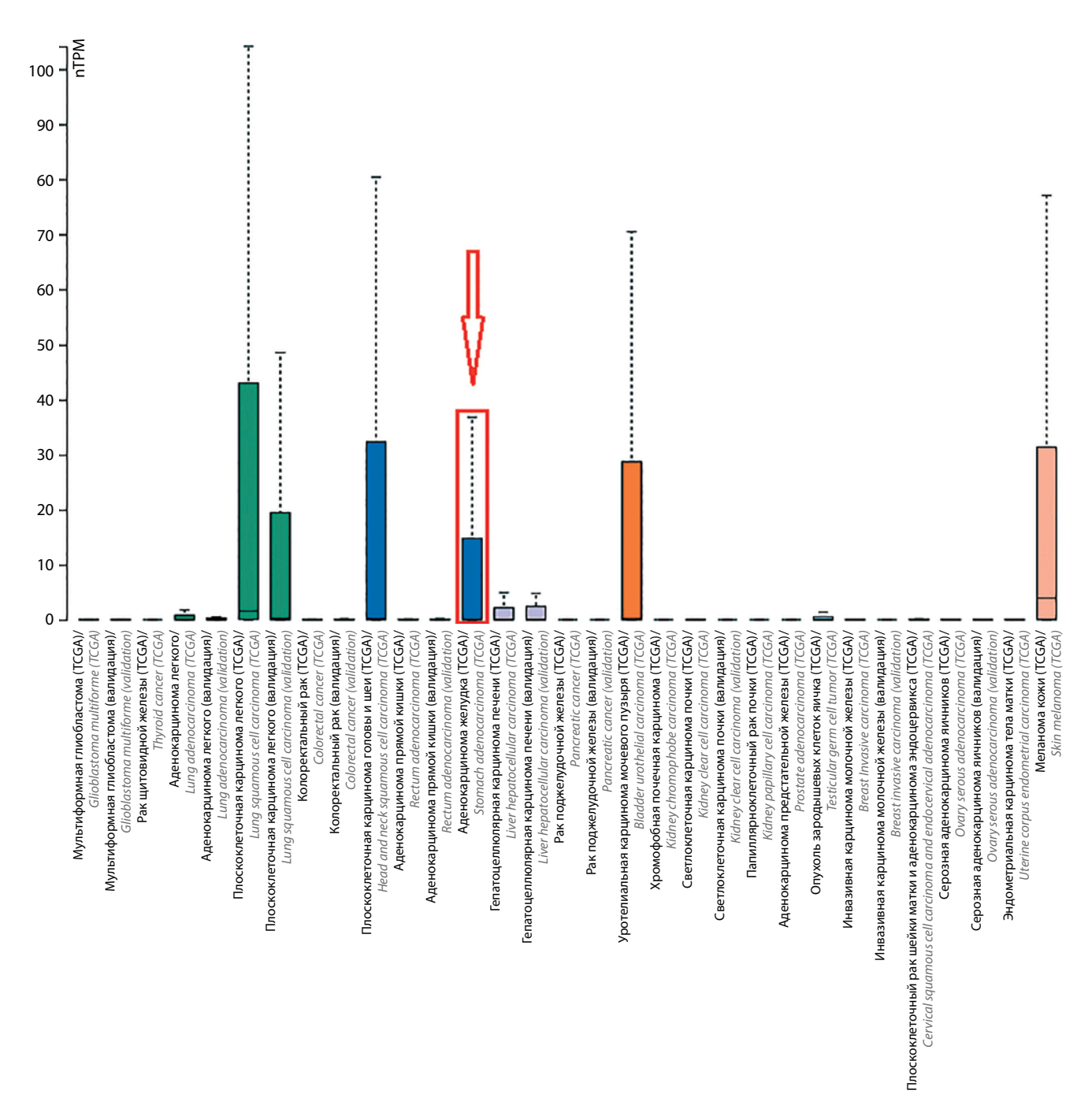
Fig. 9. MAGEA3 expression in different tumors (according to the project The Cancer Genome Atlas, TCGA). nTPM - transcripts per million

ми выживаемости [38]. Эти результаты могут помочь в разработке иммунотерапевтических стратегий воздействия на антигены *MAGEA* при злокачественных новообразованиях и позволяют понять роль *MAGEA6* в процессе возникновения и прогрессирования рака поджелудочной железы [39].

S.A. Shukla и соавт. выявили отрицательную связь между активаторами аутофагии и экспрессией белков MAGEA при меланоме [40]. MAGEA3 и MAGEA6 по-

давляли аутофагию в моделях рака легкого и колоректального рака [41].

Также *MAGEA6* опосредует выживание клеток глиомы человека, воздействуя на 5'AMP-активируемую протеинкиназу (AMPK) α1. Результаты исследования С.Т. Pineda и P.R. Potts показали, что комплекс MAGEA6/KAP1 представляет собой раковоспецифическую убиквитинлигазу, которая разрушает AMPKα1 в клетках глиомы человека и раковых клетках желудка.



**Рис. 10.** Экспрессия MAGEA6 в различных опухолях (по данным проекта «Атлас ракового генома» (The Cancer Genome Atlas, TCGA)). nTPM — количество транскриптов на миллион

Fig. 10. MAGEA6 expression in different tumors (according to the project The Cancer Genome Atlas, TCGA). nTPM - transcripts per million

Кроме того, подавление экспрессии *MAGEA6* останавливало рост опухолей, трансплантированных мышам с тяжелым комбинированным иммунодефицитом, и пролиферацию первичных клеток глиомы человека *in vivo* [42].

В исследовании S.A. Shukla и соавт. оценивался уровень экспрессии *MAGEA6* в клетках плоскоклеточного рака пищевода и тканях аденокарциномы пищевода. Полученные данные показали, что *MAGEA6* высоко экспрессируется при развитии плоскоклеточного

рака пищевода и, следовательно, может служить новым биомаркером для диагностики или лечения данной патологии [40]. По данным других авторов, совместная экспрессия РТ-антигенов МАGE-A6 и МAGE-A11 при раке мочевого пузыря связана с агрессивностью опухоли [43].

Хотя повышенные уровни экспрессии *MAGEA6* обнаружены в различных типах опухолей, по-прежнему недостаточно информации о функции этого гена и связанных с ним сигнальных путях регуляции генов.

Так, изучено влияние MAGEA6 на инвазию, миграцию и пролиферацию клеток. Секвенирование транскриптома было проведено на клеточной линии Eca109, которая обычно экспрессировала MAGEA6. Выявлено, что высокая экспрессия данного гена оказывает значительное стимулирующее влияние на пролиферацию клеток, а также существенно усиливает инвазию и миграцию клеток. Результаты транскриптомного анализа показали, что 14 ДЭГ и 13 основных регуляторных генов тесно связаны с экспрессией MAGEA6, например ген метилстеролмонооксигеназы 1 (MSMOI). При этом MAGEA6 положительно регулировал экспрессию MSMOI, которая играет большую онкогенную роль в клетках [28].

Особенности экспрессии *MAGEA6* в различных опухолях на основании данных проекта TCGA представлены на рис. 10.

Согласно данным литературы и результатам нашего исследования, важным механизмом регуляции экспрессии PT-генов может быть изменение экспрессии miRNAs и lncRNAs. С помощью биоинформатических подходов выявлена сложная сеть потенциальных взаимодействий PT-генов MAGEA10, MAGEA2, MAGEA12, MAGEA3, MAGEA6 и MAGEH1 с 789 уникальными miRNAs.

МикроРНК — это короткие некодирующие РНК, эпигенетически регулирующие экспрессию генов путем взаимодействия с комплементарными нуклеотидными последовательностями мРНК-мишеней, приводящего к их деградации и ингибированию трансляции в белки [44]. Они вносят значительный вклад в инициацию и развитие различных молекулярных событий, включая инициацию онкогенеза, прогрессирование и метастазирование [45].

Экспериментально нами подтверждено изменение экспрессии в опухолевой ткани желудка 13 miRNAs, таргетирующих мРНК *MAGEA10*, *MAGEA3* и *MAGEA6*: уровни транскриптов hsa-miR-1207-5p, -6858-5p, -3127-3p, -3940-3p, -6807-3p, -3085-3p, -3934-5p, -4488, -4530, -6777-3p, -99a-3p были понижены, а hsa-miR-7113-3p и hsa-miR-874-3p — повышены. Снижение уровней экспрессии hsa-miR-1207-5p, -6858-5p, -3127-3p, -3940-3p, -6807-3p, -3085-3p, -3934-5p, -4488, -4530, -6777-3p и hsa-miR-99a-3p, очевидно, препятствует деградации мРНК РТ-генов, обеспечивая высокий уровень их экспрессии.

Схожий механизм регуляции показан Д.С. Кутилиным для колоректального рака: регуляция экспрессии РТ-генов в опухолях толстой кишки реализуется с помощью разных молекулярных механизмов, включающих изменения в экспрессии hsa-miR-143-3p, -26a-5p, -25-3p, -92a-3p, -21-5p и hsa-let-7i-5p [20].

МикроРНК могут взаимодействовать с lncRNAs, что, в свою очередь, также обеспечивает регуляцию экспрессии генов-мишеней. Длинные некодирующие РНК (lncRNAs) — это РНК размером более 200 нуклеотидов, регулирующие биологическую активность

клеток различными способами, включая транскрипционную, посттранскрипционную регуляцию и регуляцию трансляции. Они могут контролировать посттранскрипционную регуляцию, являясь компонентом сети ceRNAs и выступая в качестве молекулярной губки (сорбента) miRNAs [44, 46].

Так, в нашем исследовании с помощью методов биоинформатики выявлено взаимодействие hsa-miR-3940-3p с *KCNQ10T1*, *LINC01089* и *AC145285.6*, hsa-miR-6807-3p — с *GAS5*, *AC005034.3*, *AC104447.1*, *AL691447.2* и *AC024580.1*, hsa-miR-1296-5p — с *AL355075.4*, *AC069281.2*, *SNHG14* и *SNHG15*, hsa-miR-874-3p — с *AC040162.3*, *MIRLET7BHG*, *AC002101.1*, *SLC9A3-AS1* и *AL118506.1*. Экспериментально подтверждено увеличение экспрессии *LINC01089*, *AC145285.6*, *GAS5*, *AC005034.3* и *AL691447.2*, а также снижение экспрессии *SNHG14*, *AC002101.1*, *SLC9A3-AS1* и *AL118506.1* в опухолевой ткани относительно нормальной.

Таким образом, собрана необходимая информация по всем компонентам регуляторной сети конкурентно-взаимодействующих эндогенных РНК, включая lncRNAs, miRNAs и mPHK.

Комплексный анализ представленных выше данных позволил нам разработать модель регуляторной сети для РТ-генов при РЖ (см. рис. 7). Увеличение представленности транскриптов lncRNAs LINC01089, AC145285.6, GAS5, AC005034.3 и AL691447.2 приводит к повышению эффективности взаимодействия lncRNAs и miRNAs (hsa-miR-3940-3р и hsa-miR-6807-3р). Образование комплекса lncRNA-miRNA приводит к уменьшению количества свободных miRNAs и к снижению их взаимодействия с генами-мишенями (*MAGEA3*, *MAGEA6*, *MAGEA10*). Противоположный эффект наблюдается при снижении представленности транскриптов lncRNAs SNHG14, AC002101.1, SLC9A3-AS1 и AL118506.1, что вызывает снижение эффективности взаимодействия lncRNAs и таргетирующих их miRNAs (hsa-miR-1296-5р и hsa-miR-874-3р). Нарушение образования комплекса lncRNA-miRNA приводит к увеличению количества свободной miRNA hsa-miR-874-3р и ее эффективному взаимодействию с генами-мишенями (MAGEH1 и MAGEA3). При этом представленность транскриптов *MAGEH1* не изменяется, а *MAGEA3*, вероятно, в большей степени регулируется другими miRNAs.

Представленная модель включает лишь фрагмент регуляторной системы РТ-генов при РЖ, а именно сети конкурентно-взаимодействующих РНК. Необходимо учитывать и другие механизмы регуляции, такие как изменение копийности генов и их метилирование, которые уже описаны в наших работах [17, 20] и которым будут посвящены дальнейшие исследования.

#### ЗАКЛЮЧЕНИЕ

В ходе исследования выявлено нарушение в сети конкурентно-взаимодействующих РНК РТ-генов при аденокарциноме желудка, выражающееся в измене-

нии транскрипционной активности генов *MAGEA10*, *MAGEA3* и *MAGEA6*, miRNAs hsa-miR-1207-5p, -6858-5p, -3127-3p, -3940-3p, -6807-3p, -3085-3p, -3934-5p, -4488, -4530, -6777-3p, -99a-3p, -7113-3p и -874-3p, а также ln-cRNAs *LINC01089*, *AC145285.6*, *GAS5*, *AC005034.3*, *AL691447.2 SNHG14*, *AC002101.1* и *SLC9A3-AS1* в опухо-

левой ткани. Полученные данные имеют большое значение для понимания фундаментальных механизмов регуляции РТ-генов и совершенствования подходов к иммунотерапии (новые мишени и регуляторные молекулы) и диагностике (новые молекулярные маркеры) РЖ.

#### ЛИТЕРАТУРА / REFERENCES

- Ilic M., Ilic I. Epidemiology of stomach cancer. World J Gastroenterol 2022;28(12):1187–203. DOI: 10.3748/wjg.v28.i12.1187
- Sun H., Wang Y., Wang S. et al. The involvement of collagen family genes in tumor enlargement of gastric cancer. Sci Rep 2023;13(1):100. DOI: 10.1038/s41598-022-25061-0
- Oue N., Hamai Y., Mitani Y. et al. Gene expression profile of gastric carcinoma: identification of genes and tags potentially involved in invasion, metastasis, and carcinogenesis by serial analysis of gene expression. Cancer Res 2004;64(7):2397

  —405.
   DOI: 10.1158/0008-5472.can-03-3514
- Li L., Zhu Z., Zhao Y. et al. FN1, SPARC, and SERPINE1 are highly expressed and significantly related to a poor prognosis of gastric adenocarcinoma revealed by microarray and bioinformatics. Sci Rep 2019;9(1):7827.
   DOI: 10.1038/s41598-019-43924-x
- Takahashi Y., Fukuyama T., Futawatari N. et al. Expression of kitakyushu lung cancer antigen-1 as detected by a novel monoclonal antibody in gastric cancer. Anticancer Res 2019;39(11):6259–63.
   DOI: 10.21873/anticanres.13835
- 6. Кутилин Д.С., Могушкова Х.А. Влияние противоопухолевых антибиотиков антрациклинового ряда на транскрипционную активность раково-тестикулярных антигенов в модельном эксперименте на клеточной линии HeLa. Медицинская иммунология 2019;21(3):539—46.
  - Kutilin D.S., Mogushkova Kh.A. Effect of anthracycline antitumor antibiotics upon transcription activity of cancer-testis antigens in model experiments with HeLa cells. Meditsinskaya immunologiya = Medical Immunology 2019;21(3):539–46. (In Russ.).
- 7. Водолажский Д.И., Кутилин Д.С., Могушкова Х.А., Кит О.И. Транскрипционный профиль раковотестикулярных антигенов у больных раком молочной железы. Медицинская иммунология 2018;20(3):383–90.
  - DOI: 10.15789/1563-0625-2018-3-383-390 Vodolazhskiy D.I., Kutilin D.S., Mogushkova Kh.A., Kit O.I. Transcriptional profile of cancer-testicular antigens in patients with breast cancer. Meditsinskaya immunologiya = Medical Immunology 2018;20(3):383-90. (In Russ.). DOI: 10.15789/1563-0625-2018-3-383-390
- Кутилин Д.С., Кит О.И. Зависимость выживаемости и метастазирования у больных колоректальным раком от транскрипционной активности РТ-генов. Сибирский онкологический журнал 2022;21(1):37–46.
  - DOI: 10.21294/1814-4861-2022-21-1-37-46 Kutilin D.S., Kit O.I. Relationship between the transcriptional activity of CT-genes and survival in colorectal cancer patients. Sibirskiy onkologicheskiy zhurnal = Siberian Journal of Oncology 2022;21(1):37-46. (In Russ.).
  - DOI: 10.21294/1814-4861-2022-21-1-37-46
- Futawatari N., Fukuyama T., Yamamura R. et al. Early gastric cancer frequently has high expression of KK-LC-1, a cancer-testis antigen. World J Gastroenterol 2017;23(46):8200-6.
   DOI: 10.3748/wjg.v23.i46.8200

- Chen Y., Panarelli N., Piotti K., Yantiss R. Cancer-testis antigen expression in digestive tract carcinomas: frequent expression in esophageal squamous cell carcinoma and its precursor lesions. Cancer Immunol Res 2013;2(5):480–6.
   DOI: 10.1158/2326-6066.CIR-13-0124
- Guo L., Song C., Wang P. et al. Competing endogenous RNA networks and gastric cancer. World J Gastroenterol 2015;21(41):11680-7. DOI: 10.3748/wig.v21.i41.11680
- Wu H.J., Dai W.-W., Wang L.-B. et al. Comprehensive analysis of the molecular mechanism for gastric cancer based on competitive endogenous RNA network. World J Traditional Chinese Med 2023;9(1):29–42. DOI: 10.4103/2311-8571.355010
- 13. Кит О.И., Енгибарян М.А., Гварамия А.К. и др. Генетические и эпигенетические предикторы чувствительности плоскоклеточного рака языка к препаратам платины. Вестник Российской академии медицинских наук 2024;79(6):490—506. DOI: 10.15690/vramn2337 Kit O.I., Engibaryan M.A., Gvaramiya A.K. et al. Genetic and epigenetic predictors of tongue squamous cell carcinoma
  - and epigenetic predictors of tongue squamous cell carcinoma sensitivity to platinum drugs. Vestnik Rossiyskoy akademii meditsinskih nauk = Annals of the Russian Academy of Medical Sciences 2024;79(6):490–506. (In Russ.). DOI: 10.15690/vramn2337
- Love M.I., Huber W., Anders S. Moderated estimation of fold change and dispersion for RNA-seq data with DESeq2. Genome Biol 2014;15(12):550. DOI: 10.1186/s13059-014-0550-8
- Davis S., Meltzer P.S. GEOquery: a bridge between the Gene Expression Omnibus (GEO) and BioConductor. Bioinformatics 2007;23(14):1846–7. DOI: 10.1093/bioinformatics/btm254
- Kutilin D.S., Gusareva M.A., Kosheleva N.G., Kit O.I. Regulatory network of competitively interacting RNAs and effectiveness of rectal tumors radiotherapy. Klin Onkol 2022;35(4):297–306. DOI: 10.48095/ccko2022297
- 17. Кит О.И., Водолажский Д.И., Кутилин Д.С., Гудуева Е.Н. Изменение копийности генетических локусов при раке желудка. Молекулярная биология 2015;49(4):658–66. DOI: 10.7868/S0026898415040096 Kit O.I., Vodolazhsky D.I., Kutilin D.S., Gudueva E.N. Changes in the number of copies of genetic loci in gastric cancer. Molekulyarnaya biologiya = Molecular Biology 2015;49(4):658–66. (In Russ.). DOI: 10.7868/S0026898415040096
- 18. Кутилин Д.С., Димитриади С.Н., Водолажский Д.И. и др. Влияние тепловой ишемии-реперфузии на экспрессию апоптозрегулирующих генов в почечной ткани больных с почечно-клеточным раком. Нефрология 2017;21(1):80—6. DOI: 10.24884/1561-6274-2017-21-1-80-86 Kutilin D.S., Dimitriadi S.N., Vodolazhsky D.I. et al. The effect of thermal ischemia-reperfusion on the expression of apoptosis-regulating genes in the renal tissue of patients with renal cell carcinoma. Nefrologiya = Nephrology 2017;21(1):80—6. (In Russ.). DOI: 10.24884/1561-6274-2017-21-1-80-86
- Кутилин Д.С., Никитин И.С., Кит О.И. Особенности экспрессии генов некоторых транскрипционных факторов при малигнизации тканей тела матки. Успехи

- молекулярной онкологии 2019;6(1):57–62. DOI: 10.17650/2313-805X-2019-6-1-57-62 Kutilin D.S., Nikitin I.S., Kit O.I. Features of some transcription factors gene expression in the malignancy tissues of the corpus uteri. Uspekhi molekulyarnoy onkologii = Advances in Molecular Oncology 2019;6(1):57–62. (In Russ.).
- 20. Кутилин Д.С. Регуляция экспрессии генов раково-тестикулярных антигенов у больных колоректальным раком. Молекулярная биология 2020;54(4):580—95.

  DOI: 10.31857/S0026898420040096

  Kutilin D.S. Regulation of gene expression of testicular cancer antigens in patients with colorectal cancer. Molekulyarnaya biologiya = Molecular Biology 2020;54(4):580—95 (In Russ.).

  DOI: 10.31857/S0026898420040096

DOI: 10.17650/2313-805X-2019-6-1-57-62

- Vandesompele J., De Preter K., Pattyn F. et al. Accurate normalization of real-time quantitative RT-PCR data by geometric averaging of multiple internal control genes. Genome Biol 2002;3(7):RESEARCH0034.
   DOI: 10.1186/gb-2002-3-7-research0034
- Balcells I., Cirera S., Busk P.K. Specific and sensitive quantitative RT-PCR of miRNAs with DNA primers. BMC Biotechnology 2011;11:70. DOI: 10.1186/1472-6750-11-70
- Peltier H.J., Latham G.J. Normalization of microRNA expression levels in quantitative RT-PCR assays: identification of suitable reference RNA targets in normal and cancerous human solid tissues. RNA 2008;14(5):844–52. DOI: 10.1261/rna.939908
- 24. Valmori D., Dutoit V., Rubio-Godoy V. et al. Frequent cytolytic T-cell responses to peptide MAGE-A10 (254–262) in melanoma. Cancer Res 2001;61(2):509–12.
- Gevorkyan Y.A., Kutilin D.S., Kit O.I. et al. Copy number variation and expression of CT-genes in patients with colorectal cancer. Available at: https://www.asco.org/abstracts-presentations/ ABSTRACT295213
- Batchu R.B., Gruzdyn O., Potti R.B. et al. MAGE-A3 with cellpenetrating domain as an efficient therapeutic cancer vaccine. Jama Surg 2014;149(5):451–7. DOI: 10.1001/jamasurg.2013.4113
- 27. Wang L., Xu Y., Luo C. et al. MAGEA10 gene expression in non-small cell lung cancer and A549 cells, and the affinity of epitopes with the complex of HLA-A(\*)0201 alleles. Cell Immunol 2015;297(1):10–8. DOI: 10.1016/j.cellimm.2015.05.004
- Liu M., Li J., Wang Y. et al. MAGEA6 positively regulates MSMO1 and promotes the migration and invasion of oesophageal cancer cells. Exp Ther Med 2022;23(3):204.
   DOI: 10.3892/etm.2022.11127
- Kuldkepp A., Karakai M., Toomsoo E. et al. Cancer-testis antigens MAGEA proteins are incorporated into extracellular vesicles released by cells. Oncotarget 2019;10(38):3694

  –708.
   DOI: 10.18632/oncotarget.26979
- Kuldkepp A., Karakai M., Toomsoo E. et al. Cancer-testis antigens MAGEA proteins are incorporated into extracellular vesicles released by cells. Oncotarget 2019;10(38):3694

  –708. DOI: 10.18632/oncotarget.26979
- 31. The Human Protein Atlas. Available at: https://www.proteinatlas.org/
- Decoster L., Wauters I., Vansteenkiste J.F. Vaccination therapy for non-small-cell lung cancer: review of agents in phase III development. Ann Oncol 2011;23(6):1387–93.
   DOI: 10.1093/annonc/mdr564

- Peled N., Oton A.B., Hirsch F.R., Bunn P. MAGE A3 antigenspecific cancer immunotherapeutic. Immunotherapy 2009;1(1): 19–251. DOI: 10.2217/1750743X.1.1.19
- Use of MAGE A3-protein D fusion antigen in immunotherapy combined with surgery, chemotherapy or radiotherapy for the treatment of cancer. (Patent US20100008980 – 2008-01-08). Retrieved 2012-10-16.
- Gao X., Li Q., Chen G. et al. MAGEA3 promotes proliferation and suppresses apoptosis in cervical cancer cells by inhibiting the KAP1/p53 signaling pathway. Am J Transl Res 2020;12(7):3596–612.
- Pan S.J., Ren J., Jiang H. et al. MAGEA6 promotes human glioma cell survival via targeting AMPKα1. Cancer Lett 2018;412:21–9. DOI: 10.1016/j.canlet.2017.09.051
- 37. Zhu H., Jiang Cw., Zhang Wl. et al. Targeting oncogenic MAGEA6 sensitizes triple negative breast cancer to doxorubicin through its autophagy and ferroptosis by stabling AMPKα1. Cell Death Discov 2024;10(1):430. DOI: 10.1038/s41420-024-02196-9
- Tsang Y.H., Mills G.B. The roles of MAGEA6 variants in pancreatic cancer development and their potential impact on cancer immunotherapy. Autophagy 2020;16(10):1923–4.
   DOI: 10.1080/15548627.2020.1802091
- Tsang Y.H., Wang Y., Kong K. et al. Differential expression of MAGEA6 toggles autophagy to promote pancreatic cancer progression. Elife 2020,9:e48963. DOI: 10.7554/eLife.48963
- Shukla S.A., Bachireddy P., Schilling B. et al. Cancer-germline antigen expression discriminates clinical outcome to CTLA-4 blockade. Cell 2018,173(3):624–33.e8.
   DOI: 10.1016/j.cell.2018.03.026
- 41. Pineda C.T., Ramanathan S., Fon Tacer K. et al. Degradation of AMPK by a cancer-specific ubiquitin ligase. Cell 2015,160(4):715–28. DOI: 10.1016/j.cell.2015.01.034
- 42. Pineda C.T., Potts P.R. Oncogenic MAGEA-TRIM28 ubiquitin ligase downregulates autophagy by ubiquitinating and degrading AMPK in cancer. Autophagy 2015;11(5):844–6. DOI: 10.1080/15548627.2015.1034420
- 43. Mohsenzadegan M., Razmi M., Vafaei S. et al. Co-expression of cancer-testis antigens of MAGE-A6 and MAGE-A11 is associated with tumor aggressiveness in patients with bladder cancer. Sci Rep 2022;12(1):599. DOI: 10.1038/s41598-021-04510-2
- 44. Кутилин Д.С., Гусарева М.А., Кошелева Н.Г. и др. Нарушения в регуляторной сети конкурентно-взаимодействующих РНК и радиорезистентность опухолей прямой кишки. Международный журнал прикладных и фундаментальных исследований 2021;11:12—29. DOI: 10.17513/mjpfi.13306 Kutilin D.S., Gusareva M.A., Kosheleva N.G. et al. Disorders in the regulatory network of competitively interacting RNAs and radioresistance of rectal tumors. Mezhdunarodny zhurnal prikladnyh i fundamental nyh issledovaniy = International Journal of Applied and Fundamental Research 2021;11:12—29. (In Russ.). DOI: 10.17513/mjpfi.13306
- Abdelsattar Z.M., Wong S.L., Regenbogen S.E. et al. Colorectal cancer outcomes and treatment patterns in patients too young for average-risk screening. Cancer 2016;122(6):929–34.
   DOI: 10.1002/cncr.29716
- 46. Cao C., Zhang T., Zhang D. et al. The long noncoding RNA, SNHG6-003, functions as a competing endogenous RNA to promote the progression of hepatocellular carcinoma. Oncogene 2017;36(8):1112. DOI: 10.1038/onc.2016.278

Ŋ

#### Вклад авторов

Д.С. Кутилин: разработка концепции и дизайна исследования, написание текста статьи, биоинформатический анализ данных, выполнение ключевых этапов молекулярных исследований;

О.И. Кит: анализ клинических данных, написание текста статьи;

А.Ю. Максимов: анализ клинических и экспериментальных данных, редактирование;

Л.Х. Чалхахян: сбор клинических данных, получение биологического материала и его первичная обработка, статистический анализ экспериментальных данных;

А.В. Дашков: анализ клинических, экспериментальных данных и данных литературы, получение биологического материала и его первичная обработка;

С.А. Малинин, Г.В. Каминский: получение биологического материала, ведение базы данных пациентов, выделение нуклеиновых кислот из биологического материала;

Т.П. Шкурат: разработка концепции и дизайна исследования, редактирование.

Authors' contributions

D.S. Kutilin: development of the research concept and design, article writing, bioinformatic data analysis, implementation of key stages of molecular research;

O.I. Kit: analysis of clinical data, article writing;

A.Yu. Maksimov: analysis of clinical and experimental data, editing;

L.H. Chalkhakhyan: collection of clinical data, obtaining biological material and its primary processing, statistical analysis of experimental data;

A.V. Dashkov: analysis of clinical, experimental and literature data, obtaining biological material and its primary processing;

S.A. Malinin, G.V. Kaminsky: obtaining biological material, maintaining a patient database, isolating nucleic acids from biological material;

T.P. Shkurat: development of the research concept and design, editing.

#### ORCID авторов / ORCID of authors

Д.С. Кутилин / D.S. Kutilin: https://orcid.org/0000-0002-8942-3733

О.И. Кит / О.І. Kit: https://orcid.org/0000-0003-3061-6108

А.Ю. Максимов / A.Yu. Maksimov: https://orcid.org/0000-0002-9471-3903

А.В. Дашков / A.V. Dashkov: https://orcid.org/0000-0002-3867-4532

С.А. Малинин / S.A. Malinin: https://orcid.org/0000-0002-1220-7143

Т.П. Шкурат / Т.Р. Shkurat: https://orcid.org/0000-0001-6197-7374

#### Конфликт интересов. Авторы заявляют об отсутствии конфликта интересов.

Conflict of interest. The authors declare no conflict of interest.

Финансирование. Работа выполнена без спонсорской поддержки в рамках исследовательского проекта Д.С. Кутилина «Молекулярные особенности спорадических форм злокачественных новообразований: фундаментальные и прикладные аспекты».

**Funding.** The work was performed without external funding within the framework of D.S. Kutilin's research project "Molecular features of sporadic forms of malignant neoplasms: fundamental and applied aspects".

#### Соблюдение прав пациентов и правил биоэтики

Протокол исследования одобрен комитетом по биомедицинской этике  $\Phi$ ГБУ «Национальный медицинский центр онкологии» Минздрава России (протокол № 5 от 14.02.2014).

Compliance with patient rights and principles of bioethics

The study protocol was approved by the biomedical ethics committee of National Medical Research Center of Oncology, Ministry of Health of Russia (protocol No. 5 dated 14.02.2014).

**DOI:** https://doi.org/10.17650/2313-805X-2025-12-3-100-115



# Экспериментальное тестирование химиорезистентности опухолевых клеток рака яичников

К.А. Кузин<sup>1</sup>, Т.И. Фетисов<sup>1, 2</sup>, О.А. Власова<sup>1</sup>, Р.И. Князев<sup>1, 3</sup>, Е.Е. Антошина<sup>1</sup>, Л.С. Труханова<sup>1</sup>, Т.Г. Горькова<sup>1</sup>, Г.А. Белицкий<sup>1</sup>, М.Г. Якубовская<sup>1, 2</sup>, К.И. Кирсанов<sup>1, 2</sup>

<sup>1</sup>ФГБУ «Национальный медицинский исследовательский центр онкологии им. Н.Н. Блохина» Минздрава России; Россия, 115522 Москва, Каширское шоссе, 24;

<sup>2</sup>ФГАОУ ВО «Российский университет дружбы народов»; Россия, 117198 Москва, ул. Миклухо-Маклая, 6;

<sup>3</sup>ФГБОУ ДПО «Российская медицинская академия непрерывного профессионального образования» Минздрава России; Россия, 123995 Москва, ул. Баррикадная, 2/1

Контакты: Константин Александрович Кузин kuzin\_konstantin@mail.ru

Одной из наиболее сложных проблем в лечении больных раком яичников является высокий уровень химиорезистентности опухолевых клеток, что обусловливает раннее развитие рецидива заболевания и низкие показатели общей выживаемости. В случае химиорезистентности терапия оказывается неэффективной, вызывает неоправданный расход лекарственных препаратов, наносит ущерб пациенту из-за развития побочных токсических эффектов и временных потерь на ее проведение. Одним из подходов к решению этой проблемы является экспериментальное предиктивное тестирование химиорезистентности опухолевых клеток *in vitro*.

**Цель исследования** – разработка протокола экспериментального тестирования химиорезистентности клеток рака яичников к химиотерапевтическим препаратам.

Мы проанализировали изменение количества жизнеспособных клеток линий A-1847, Ovcar-3 и Ovcar-4 при их культивировании в гипоадгезионных условиях и оптимизировали метод определения жизнеспособности клеток по метаболизму резазурина. Выявлено, что жизнеспособность клеток рака яичников исследуемых линий в присутствии препаратов 1-й и 2-й линий противоопухолевой терапии, измеренная в соответствии с разработанным протоколом культивирования в гипоадгезионных условиях с использованием набора ATP-tumor chemosensitivity assay (ATP-TCA) (DCS Innovative Diagnostik-Systeme, Германия), одобренного для применения в клинической практике в Германии, находится примерно на одном уровене. Разработанная методика основана на использовании доступных и недорогих реагентов и расходных материалов, что делает ее экономически привлекательной.

**Ключевые слова:** рак яичников, резистентность, тест на индивидуальную резистентность к химиотерапии, линии опухолевых клеток рака яичников, резазуриновый тест на жизнеспособность клеток

**Для цитирования:** Кузин К.А., Фетисов Т.И., Власова О.А. и др. Экспериментальное тестирование химиорезистентности опухолевых клеток рака яичников. Успехи молекулярной онкологии 2025;12(3):100–15. DOI: https://doi.org/10.17650/2313-805X-2025-12-3-100-115

# Experimental testing of chemoresistance of ovarian cancer tumor cells

K.A. Kuzin<sup>1</sup>, T.I. Fetisov<sup>1, 2</sup>, O.A. Vlasova<sup>1</sup>, R.I. Knyazev<sup>1, 3</sup>, E.E. Antoshina<sup>1</sup>, L.S. Trukhanova<sup>1</sup>, T.G. Gor'kova<sup>1</sup>, G.A. Belitsky<sup>1</sup>, M.G. Yakubovskaya<sup>1, 2</sup>, K.I. Kirsanov<sup>1, 2</sup>

<sup>1</sup>N.N. Blokhin National Medical Research Center of Oncology, Ministry of Health of Russia; 24 Kashirskoe Shosse, Moscow 115522, Russia:

<sup>2</sup>Peoples' Friendship University of Russia; University; 6 Miklukho-Maklaya St., Moscow 117198, Russia;

<sup>3</sup>Russian Medical Academy of Continuing Professional Education, Ministry of Health of Russia; 2/1 Barricadnaya St., 123995 Moscow, Russia

**Contacts**: Konstantin Alexandrovich Kuzin *kuzin\_konstantin@mail.ru* 

One of the most challenging issues in the treatment of ovarian cancer is the high level of tumor cell chemoresistance, which leads to early tumor recurrence and low overall survival. In the case of tumor cell chemoresistance, the therapy is ineffective, resulting in unnecessary drug consumption and harm to the patient due to toxic side effects and time losses

during its implementation. One approach to solving this problem is experimental predictive testing of tumor cell chemoresistance *in vitro*.

**Aim.** To develop a protocol of experimental testing of chemoresistance of ovarian cancer cells to chemotherapy drugs. We analyzed changes in the number of viable cells of A-1847, Ovcar-3 and Ovcar-4 cell lines cultured in hypo-adhesive conditions and optimized a method of cell viability determination based on resazurin metabolism. It was shown that viability of ovarian cancer cells of the studied cell lines is approximately the same in the presence of 1st and 2nd line antitumor drugs measured in accordance with the developed culture protocol in hypo-adhesive conditions and using ATP-tumor chemosensitivity assay (ATP-TCA) (DCS Innovative Diagnostik-Systeme, Germany) approved for use in clinical practice. The developed method is based on readily available and inexpensive reagents and expendables which makes it economically attractive.

**Keywords:** ovarian cancer, resistance, individual resistance to chemotherapy test, ovarian cancer cell lines, resazurin cell viability assay

For citation: Kuzin K.A., Fetisov T.I., Vlasova O.A. et al. Experimental testing of chemoresistance of ovarian cancer tumor cells. Uspekhi molekulyarnoy onkologii = Advances in Molecular Oncology 2025;12(3):100–15. (In Russ.). DOI: https://doi.org/10.17650/2313-805X-2025-12-3-100-115

#### **ВВЕДЕНИЕ**

Злокачественные эпителиальные опухоли яичников — гетерогенная группа новообразований, занимающая одно из ведущих мест в структуре онкологической заболеваемости и смертности [1]. Общая 5-летняя выживаемость при данной патологии составляет около 50% [2].

Современные подходы к лечению больных с вновь выявленным раком яичников (РЯ) включают циторедуктивное хирургическое вмешательство, как правило в сочетании с платиносодержащей химиотерапией (ХТ) [3, 4]. Рецидив заболевания после первичного лечения развивается у 70—80 % пациенток [5]. Тактика лечения больных с рецидивами зависит от времени, прошедшего от момента окончания курса ХТ 1-й линии до возникновения рецидива. Как правило, повторно назначают ХТ. При этом у 10—40 % пациенток с вновь выявленным РЯ платиносодержащая ХТ изначально неэффективна [6, 7]. В случае развития рецидива РЯ эффективность терапии не превышает 66 % [8].

В соответствии с современными клиническими рекомендациями эффективность лекарственного лечения злокачественных опухолей оценивают по результатам объективного обследования пациента после проведения ХТ [9]. На сегодняшний день предложен ряд методик, позволяющих предсказывать результаты лечения до его начала на основании данных молекулярно-генетических анализов или экспериментального тестирования резистентности/чувствительности клеток опухоли к лекарственному препарату [10—12].

Первоначально экспериментальные предиктивные тесты были направлены на определение индивидуальной чувствительности опухолевых клеток к цитостатикам с целью выбора наиболее эффективного препарата для ХТ, однако оказалось, что выявление резистентности опухоли имеет более высокую прогностическую значимость, чем чувствительности [13]. Это связывают с гетерогенностью опухоли и возможностью существования резистентного клона опухолевых

клеток вне взятого для анализа образца опухолевой ткани, а также с влиянием на метаболизм противоопухолевого препарата микроокружения и в целом организма.

Возможность использования экспериментального тестирования при выборе препаратов для проведения 2-й и 3-й линий ХТ при РЯ в настоящее время остается предметом активных научных изысканий [14]. Целесообразность подобных исследований обусловлена неэффективным расходованием дорогостоящих противоопухолевых препаратов в случае химиорезистентности опухолевых клеток и неоправданным ущербом, наносимым организму пациента высокотоксичными цитостатиками при наличии изначальной резистентности опухоли к ним.

Наиболее распространенный подход к экспериментальному определению резистентности клеток опухоли пациента к химиотерапевтическому препарату основан на использовании так называемых CSR-тестов (Chemotherapy Sensitivity and Resistance assays). Существует множество различных видов CSR-тестов, и в ряде стран некоторые из них используют в клинической практике для предиктивного определения резистентности опухолевых клеток к препарату [8, 15, 16]. В частности, в Германии для определения химиорезистентности клеток РЯ в клинической практике используют набор ATP-Tumor Chemosensitivity Assay (ATP-TCA) (DCS Innovative Diagnostik-Systeme, Германия) [17]. В Российской Федерации в настоящее время наборы для экспериментального определения резистентности опухолевых клеток конкретного пациента к химиопрепаратам не зарегистрированы.

С учетом вышеизложенного разработка новых экспериментальных методик определения резистентности клеток опухоли у пациентов с РЯ является актуальной залачей.

**Цель исследования** — разработка экспериментальной методики определения резистентности опухолевых клеток РЯ к химиотерапевтическим препаратам.

Для решения этой цели поставлены следующие залачи:

- 1) выбрать гипоадгезионные условия культивирования клеток РЯ, способствующих формированию сфероидов;
- 2) определить изменение количества жизнеспособных клеток РЯ в течение первых 6 дней культивирования в гипоадгезионных условиях;
- определить оптимальные условия выполнения теста на жизнеспособность клеток по метаболизму резазурина;
- 4) сравнить результаты определения резистентности клеток линий РЯ, получаемых с использованием разработанной методики и набора ATP-TCA;
- проанализировать дозовые зависимости к химиопрепаратам при использовании разработанного протокола тестирования в отношении опухолевых клеток пациенток с РЯ, получавших лечение в Национальном медицинском исследовательском центре онкологии им. Н.Н. Блохина.

#### МАТЕРИАЛЫ И МЕТОДЫ

Опухолевые клетки. В исследовании использовали линии клеток РЯ А-1847, Ovcar-3 и Ovcar-4, предоставленные профессором Р.Г. Киямовой (Казанский (Приволжский) федеральный университет), а также первичные культуры клеток, полученные из образцов опухолевой ткани и асцитической жидкости пациенток с серозной аденокарциномой яичников III—IV стадии, получавших лечение в Национальном медицинском исследовательском центре онкологии им. Н.Н. Блохина.

**Культивирование клеток в стандартных условиях.** Клетки культивировали во флаконах 75 см² (Eppendorf, Германия) в среде DMEM с содержанием глюкозы 4,5 г/л («ПанЭко», Россия), добавлением эмбриональной телячьей сыворотки (10 %) (Віоѕега, Франция), смеси антибиотиков пенициллина (50 ед/мл) и стрептомицина (50 мкг/мл) («ПанЭко», Россия), L-глутамина (2 мМ) («ПанЭко», Россия) в стандартных условиях (37 °C, 5 %  $CO_2$ ). Пассирование клеток проводили по достижении ими уровня конфлюентности 80-90 %.

Культивирование клеток в гипоадтезионных условиях. Культивирование в гипоадгезионных условиях осуществляли в количестве 20 000 клеток на образец следующими способами: 1) в 200 мкл бессывороточной среды, приготовленной на основе DMEM с содержанием глюкозы 4,5 г/л с 25 мМ НЕРЕS и без него («Пан-Эко», Россия), альбумина человеческого (0,4 %) (Вахtег АG, Австрия), инсулин-трансферрин-селенита (инсулин – 0–10 мкг/мл, трансферрин – 0–5,5 мкг/мл, селенит натрия – 0–6,7 нг/мл) («ПанЭко», Россия), смеси антибиотиков пенициллина (50 ед/мл) и стрептомицина (50 мкг/мл) («ПанЭко», Россия), L-глутамина (2 мМ) («ПанЭко», Россия) в 96-луночных полипропиленовых планшетах (Corning, США); 2) в 200 мкл бессывороточной среды Complete Assay Medium (САМ)

(DCS Innovative Diagnostik-Systeme, Германия) в низкоадгезионных 96-луночных полипропиленовых планшетах, входящих в состав набора ATP-TCA.

Получение сфероидов и их гистологический анализ. Для гистологического исследования опухолевые клетки культивировали в гипоадгезионных условиях с использованием бессывороточной среды на основе DMEM с содержанием 4,5 г/л глюкозы с HEPES, 0,4 % альбумина человеческого (Baxter AG, Австрия), инсулин-трансферрин-селенита (инсулин – 10 мкг/мл, трансферрин -5.5 мкг/мл, селенит натрия -6.7 нг/мл) («ПанЭко», Россия), смеси антибиотиков пенициллина (50 ед/мл) и стрептомицина (50 мкг/мл) («ПанЭко», Россия), L-глутамина (2 мМ) («ПанЭко», Россия), которая далее указана как бессывороточная среда для тестирования резистентности 3 (БСТР3), в 96-луночных полипропиленовых планшетах (Corning, США). Сформировавшиеся при культивировании 3D-структуры (сфероиды) после осаждения центрифугированием при 150 g в течение 5 мин, фиксировали в 70 % этиловом спирте и помещали в агарозный гель, используя агарозу с низкой температурой плавления (Bio-Rad, США). Фрагменты агарозного геля, содержащие клеточные структуры, обезвоживали в течение 3 сут с применением серии спиртов восходящей концентрации  $(70^{\circ}, 96^{\circ}, 100^{\circ})$ , а затем хлороформа. Парафиновые блоки получали с использованием среды Histomix (BioVitrum, Россия). Серийные срезы (5 мкм) депарафинизировали, окрашивали гематоксилином Майера (BioVitrum, Россия) и водно-спиртовым эозином (BioVitrum, Россия) и заключали в монтирующую среду (Bio-Optica, Италия) для выполнения гистологического и цитологического исследований. Анализ гистологических препаратов и фотографирование изображений проводили с использованием микроскопа Olympus CX31 (Olympus, Япония) (х40), оснащенного цифровой камерой Olympus SC50 (Olympus, Япония).

Определение количества жизнеспособных клеток. Количество жизнеспособных клеток определяли с использованием 3 подходов: 1) выявляли нарушения целостности клеточной мембраны с помощью окрашивания трипановым синим; 2) оценивали активность метаболизма клетками резазурина; 3) определяли внутриклеточный уровень аденозинтрифосфата (АТФ).

Определение количества жизнеспособных клеток с использованием окрашивания трипановым синим. Суспензию клеток и сфероидов переносили в пробирки объемом 1,5 мл и центрифугировали при 150 g в течение 5 мин. Осадок клеток ресуспендировали в 50 мкл раствора Версена («ПанЭко», Россия), после повторного центрифугирования ресуспендировали осадок в 50 мкл 0,05 % раствора трипсина-ЭДТА (ЭДТА — этилендиаминтетрауксусная кислота) («ПанЭко», Россия) и инкубировали при 37 °С в течение 5 мин. После 3-го центрифугирования осадок ресуспендировали в 200 мкл среды DMEM с содержанием 4,5 г/л глюкозы («ПанЭко», Россия). Суспензию клеток смешивали

в соотношении 10:1 с 0,4 % раствором трипанового синего (Gibco, США) и помещали в камеру Горяева.

Прямой подсчет клеток и расчет их концентрации, а также процентного содержания жизнеспособных (неокрашенных) и погибших (окрашенных) клеток проводили с использованием микроскопа Nikon Eclipse TS 100 (Nikon, Япония) (×40).

Оценка жизнеспособности клеток по метаболизму резазурина. К 200 мкл среды культивирования клеток добавляли 20 мкл раствора резазурина (Sigma-Aldrich, США) с концентрацией 180 мкг/мл. После инкубации с резазурином в течение 4—16 ч переносили 150 мкл культуральной среды каждого из образцов в черный 96-луночный планшет (SPL Life Sciences, Корея) и измеряли уровень флуоресценции резоруфина (продукт метаболизма резазурина с длиной волны возбуждения — 560 нм, эмиссии — 590 нм) с помощью планшетного флуориметра SpectraMax M3 (Molecular Devices, США).

Оценка жизнеспособности клеток по уровню АТФ. Для определения внутриклеточного уровня АТФ к 200 мкл среды культивирования добавляли 50 мкл реагента для лизиса опухолевых клеток (Tumor Cell Extraction Reagent, DCS Innovative Diagnostik-Systeme, Германия) и инкубировали при комнатной температуре в течение 30 мин. Затем 50 мкл лизата переносили в белый 96-луночный планшет (Costar, США) и после добавления 50 мкл люциферин-люциферазного реагента (Luciferin-Luciferase Reagent, DCS Innovative Diagnostik-Systeme, Германия), предварительно разведенного согласно инструкции производителя в буфере для разведения (Dilution Buffer, DCS Innovative Diagnostikysteme, Германия), измеряли уровень люминесценции с использованием люминометра Berthold Orion II (Berthold, Германия).

Получение первичных культур опухолевых клеток злокачественных новообразований яичников. Первичные культуры опухолевых клеток от пациенток с РЯ получали из образцов асцитической жидкости и опухолевой ткани. Клетки асцитической жидкости осаждали с использованием центрифуги Hettich Universal 320R (Hettich Zentrifugen, Германия) при 150 g в течение 5 мин. Для удаления эритроцитов клеточный осадок инкубировали в течение 5 мин при комнатной температуре в 5 мл лизис-буфера АСК (Gibco, США), содержащего 155 мМ  $NH_4Cl$ , 10 мМ  $KHCO_3$  и 0,1 мМ ЭДТА. Клетки дважды осаждали центрифугированием и ресуспендировали в среде DMEM с содержанием 4,5 г/л глюкозы. Образец опухолевой ткани измельчали механически до кусочков размером в 1 мм<sup>3</sup>, помещали в 10 мл раствора коллагеназы А (1 мг/мл) в бессывороточной среде и инкубировали на шейкере-инкубаторе Heidolph Unimax 1010 (Heidolph Instruments, Германия) при температуре 37 °C в течение 2,5-6 ч. Для удаления эритроцитов из образца использовали методику, описанную выше. Клетки дважды осаждали центрифугированием с последующим ресуспендированием в среде DMEM с содержанием 4,5 г/л глюкозы.

Обработка клеток цитостатиками. Обработку клеток цитостатиками проводили в гипоадгезионных условиях, добавляя в среду культивирования противоопухолевые препараты: цисплатин (Национальный медицинский исследовательский центр онкологии им. Н.Н. Блохина, Россия), паклитаксел (Теva, Израиль), доксорубицин (Pfizer, Италия). Клетки культивировали в присутствии 6 концентраций цитостатиков, составляющих 200; 100; 50; 25; 12,5 и 6,25 % тестовой концентрации препарата (test drug concentration, TDC). В качестве TDC использовали следующие концентрации препаратов: для цисплатина — 3,8 мкг/мл, для паклитаксела — 13,6 мкг/мл, для доксорубицина — 0,5 мкг/мл.

Определение резистентности клеток линий рака яичников и первичных культур. Клетки линий РЯ и первичных культур злокачественных новообразований яичников после обработки цитостатиками культивировали в гипоадгезионных условиях. На 5-й день в бессывороточную среду культивирования БСТРЗ добавляли раствор резазурина в концентрации 180 мкг/мл и определяли жизнеспособность клеток через 16 ч по уровню флуоресценции резоруфина, или на 6-й день в среду культивирования САМ добавляли 50 мкл реагента для лизиса опухолевых клеток и определяли жизнеспособность клеток по уровню АТФ.

В качестве показателя подавления роста опухоли (tumor growth inhibition, TGI) использовали соотношение уровней жизнеспособности клеток в присутствии 1 из 6 концентраций цитостатика и без добавления цитостатика, рассчитываемое по формуле:

$$TGI_{\% TDC} = [1 - (I_{\% TDC} - I_{0}) / (I_{TDC0} - I_{0})] \times 100 \%,$$

где  $TGI_{\text{% TDC}}$  — подавление роста опухоли при культивировании клеток в концентрации цитостатика, соответствующей указанному проценту от TDC;  $I_{\text{% TDC}}$  — средний показатель интенсивности флуоресценции/люминесценции в образце при культивировании клеток в соответствующей концентрации цитостатика;  $I_{\text{TDC0}}$  — средний показатель интенсивности флуоресценции/люминесценции в образце при культивировании клеток без препаратов;  $I_{\text{0}}$  — средний показатель интенсивности флуоресценции/люминесценции в образце культуральной среды.

Индекс резистентности/чувствительности (RSI) рассчитывали по формуле:

$$RSI = 600 - \Sigma \left( TGI_{6.25 \% TDC} + TGI_{12.5 \% TDC} + TGI_{25 \% TDC} + TGI_{25 \% TDC} + TGI_{90 \% TDC} + TGI_{90 \% TDC} \right),$$

где RSI — индекс резистентности/чувствительности;  $TGI_{6,25\,\%\,TDC}$  — подавление роста опухоли при культивировании клеток в концентрации цитостатика, соответствующей 6,25 % TDC;  $TGI_{12,5\,\%\,TDC}$  — подавление роста опухоли при культивировании клеток в концентрации

цитостатика, соответствующей 12,5 % TDC;  $TGI_{25\,\%\,TDC}$  — подавление роста опухоли при культивировании клеток в концентрации цитостатика, соответствующей 25 % TDC;  $TGI_{50\,\%\,TDC}$  — подавление роста опухоли при культивировании клеток в концентрации цитостатика, соответствующей 50 % TDC;  $TGI_{100\,\%\,TDC}$  — подавление роста опухоли при культивировании клеток в концентрации цитостатика, соответствующей 100 % TDC;  $TGI_{200\,\%\,TDC}$  — подавление роста опухоли при культивировании клеток в концентрации цитостатика, соответствующей 200 % TDC.

Статистическая обработка полученных данных. Статистический анализ данных проводили с помощью программного обеспечения GraphPad Prism 8.4.3. Статистическую значимость различий интенсивности флуоресценции между образцами с различным количеством жизнеспособных клеток оценивали с использованием однофакторного дисперсионного анализа ANOVA с пост-тестом Тьюки. Статистическую значимость различий RSI рассчитывали с помощью t-критерия Стьюдента. Различия для всех методов считались статистически значимыми при p < 0,05.

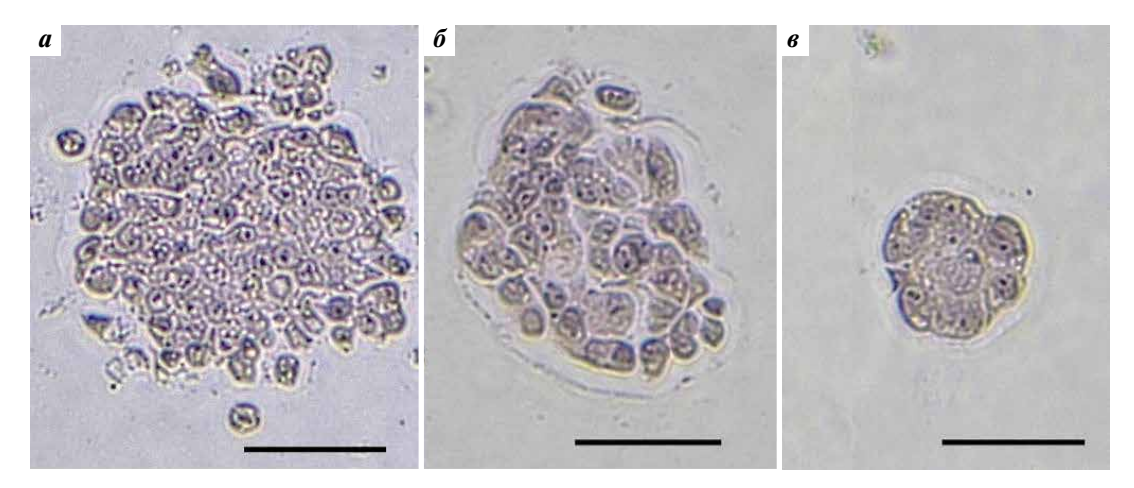
#### **РЕЗУЛЬТАТЫ**

Формирование 3D-структур клетками рака яичников при культивировании в гипоадгезионных условиях. Прототипом разрабатываемой методики экспериментального определения индивидуальной резистентности опухолей пациенток со злокачественными новообразованиями яичников к противоопухолевым препаратам послужил используемый в настоящее время в клинической практике набор реагентов и расходных материалов ATP-TCA (DCS Innovative Diagnostik-Systeme, Германия). Методика, используемая в ATP-TCA, предполагает культивирование опухолевых клеток, полученных из биологических образцов больных в количестве 15 000—25 000 в лунке в течение 6 дней в 6 последова-

тельно понижающихся концентрациях цитостатического агента (200; 100; 50; 25; 12,5 и 6,25 % ТОС). ТОС, применяемые в этом тесте, воспроизводят максимальные концентрации препаратов, определяемые в плазме пациенток при проведении курсов XT [18]. Культивирование клеток в ходе теста АТР-ТСА осуществляют в гипоалгезионных условиях с применением бессывороточной среды САМ и низкоадгезионных 96-луночных полипропиленовых планшетов (DCS Innovative Diagnostik-Systeme, Германия), что, благодаря неспособности ряда нормальных клеток выживать в подобных условиях, обеспечивает увеличение доли опухолевых клеток и, соответственно, возможность более объективно оценивать резистентность/чувствительность именно злокачественных клеток [19]. Использование гипоадгезионных условий при культивировании способствует образованию из злокачественных эпителиальных клеток 3D-структур, в частности сфероидов, резистентность/чувствительность которых более объективно отражает резистентность/чувствительность опухоли в организме, чем при использовании 2D-монослойных культур злокачественных клеток [20].

Результаты анализа данных литературы позволили выяснить, что в качестве необходимых добавок в бессывороточной среде используют альбумин, инсулин, трансферрин, селенит, L-глутамин и смесь антибиотиков пенициллина и стрептомицина [21]. На основании этих сведений на начальном этапе разработки методики составлены несколько вариантов БСТР, которые были использованы для оценки способности опухолевых клеток РЯ формировать 3D-структуры (сфероиды).

Клетки линий A-1847, Ovcar-3 и Ovcar-4 культивировали в бессывороточных средах в 96-луночных полипропиленовых планшетах (Corning, США) в количестве 20 000 клеток на образец. На 6-й день сформировавшиеся 3D-структуры осаждали центри-



**Рис. 1.** Микроскопия сфероидов, образовавшихся после культивирования суспензии клеток линий рака яичников: a - A-1847; 6 - Ovcar-3; 6 - Ovcar-4. Окраска гематоксилином и эозином,  $\times 50$  мкм

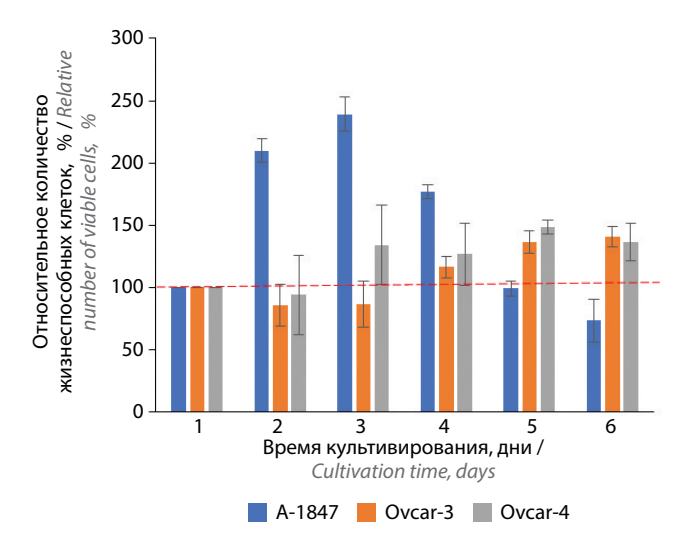
Fig. 1. Microscopy of spheroids formed after culturing a suspension of ovarian cancer cell lines: a - A-1847; 6 - Ovcar-3; 6 - Ovcar-4. Hematoxylin and eosin staining,  $\times 50 \, \mu m$ 

фугированием и проводили гистологический анализ сфероидов. По данным микроскопического анализа наилучшие результаты по формированию сфероидов получены для БСТР3, которая и была использована в дальнейшем исследовании (рис. 1).

Определение динамики количества жизнеспособных клеток рака яичников при культивировании в гипоадгезионных условиях. Клетки линий РЯ А-1847, Ovcar-3 и Ovcar-4 культивировали в гипоадгезионных условиях в БСТРЗ в 96-луночных полипропиленовых планшетах (Corning, США). Количество живых клеток в образце оценивали ежедневно до 6-го дня культивирования с использованием трипанового синего.

Установлено, что на 2-й и 3-й дни культивирования количество жизнеспособных клеток рака яичника линии А-1847 увеличивается в 2,1 и 2,4 раза по сравнению с 1-м днем соответственно, а затем начинает снижаться и составляет 177, 99 и 73 % на 4-, 5- и 6-й дни соответственно. Клетки Ovcar-3 продемонстрировали меньшую способность к пролиферации в гипоадгезионных условиях. На 2-й и 3-й дни культивирования количество жизнеспособных клеток составило 85 и 87 % соответственно по отношению к 1-му дню, но на 4-, 5- и 6-й дни увеличилось до 117, 137 и 141 % соответственно. При культивировании клеток линии Ovcar-4 на 2-й день их жизнеспособность снизилась до 94 %, а затем, в течение последующих 3-6 дней культивирования количество живых клеток в образце составило 127-148 % от исходного (рис. 2).

Таким образом, при использовании указанного протокола культивирования клеток РЯ в гипоадгезионных условиях к 5—6-му дням культивирования сохраняется высокая доля жизнеспособных клеток, что позволяет использовать данные условия при проведении теста на химиорезистентность опухолевых клеток *in vitro*.



**Рис. 2.** Динамика относительного количества жизнеспособных клеток рака яичников, культивируемых в гипоадгезионных условиях в бессывороточной среде для тестирования резистентности 3

Fig. 2. Dynamics of the relative number of viable ovarian cancer cells cultured under hypoadhesive conditions in serum-free medium for resistance testing 3

Определение оптимального количества клеток и времени инкубации при выполнении теста на жизнеспособность по метаболизму резазурина. В качестве метода определения жизнеспособности в тесте АТР-ТСА используется люминометрия, позволяющая оценить уровень АТФ, хорошо коррелирующий с количеством живых клеток. В ходе разработки методики мы решили определить возможность использования флуориметрии после добавления резазурина вместо люминометрии в качестве метода количественной оценки жизнеспособности клеток. Выбор флуориметрии обусловлен довольно высокой чувствительностью этого метода, а также его доступностью, воспроизводимостью и удобством в использовании. Также его преимуществом является наличие флуориметров (в отличие от люминометров), которые зарегистрированы в Российской Федерации.

Определение влияния цитостатиков на жизнеспособность клеток после добавления резазурина основано на зависимости интенсивности сигнала флуоресценции резоруфина – продукта метаболизма резазурина, образуемого в определенный интервал времени, - от количества клеток в образце. Поскольку минимальное количество клеток, которое должно быть в образце, ограничено чувствительностью метода детекции сигнала, а максимальное – полным истощением субстрата реакции, необходимо определить оптимальное количество клеток для добавления в образец для проведения теста на химиорезистентность. Кроме того, из-за отсутствия единого протокола регистрации жизнеспособности клеток методом флуориметрии после добавления резазурина важно выяснить оптимальное время культивирования клеток с этим соединением до проведения флуориметрии. Для решения вышеуказанных задач определен уровень значимости различий интенсивности флуоресценции резоруфина между образцами с разным количеством клеток РЯ, культивируемых с данным соединением в течение различных временных интервалов.

Образцы с различным количеством клеток РЯ линий А-1847, Оусаг-3 и Оусаг-4, полученные путем серий двукратного разведения от 80 000 до 156 клеток/образец, культивировали в БСТРЗ в полипропиленовых планшетах в течение 4, 8, 12 и 16 ч после добавления резазурина. Затем оценивали жизнеспособность клеток по метаболизму резазурина методом флуориметрии. Полученные данные использовали для определения статистической значимости различий интенсивности флуоресценции между образцами с различным количеством жизнеспособных клеток, оцениваемой с помощью однофакторного дисперсионного анализа ANOVA с пост-тестом Тьюки (табл. 1—3).

Согласно полученным данным при определении жизнеспособности клеток по метаболизму резазурина оптимальным явлеяется 10 000—30 000 клеток в образце. Поскольку к 5—6-му дням количество клеток всех используемых линий РЯ составило от 73 до 148 % от изначально добавленных в образец (см. рис. 2), в качестве оптимальной для постановки теста была выбрана

**Таблица 1.** Уровень статистической значимости различий интенсивности флуоресценции резоруфина в образцах с разным количеством клеток A-1847

Table 1. Statistical significance level of differences in resorufin fluorescence intensity in samples with different numbers of A-1847 cells

Время инкубации, ч Incubation duration, h	Количество живых клеток в эксперимен- тальном образце Number of living cells in the experimental sample	Количество живых клеток в контрольном образце Number of living cells in the control sample									
		80 000	40 000	20 000	10 000	5000	2500	1250	625	312	156
,	40 000	<0,0001		-	_	-	_	-	-	-	_
	20 000		<0,0001	_	_	_	_	_	_	_	_
	10 000			<0,0001	_	_	_	_	_	_	_
	5000				>0,05	_	_	_	_	_	_
	2500				×0,03		_	_	_	_	_
4	1250					>0,05		_	_	_	_
	625				<0,05		>0,05		_	_	_
	312							>0,05	>0,05	_	_
	156									>0,05	_
	0										>0,0
	40 000		_	_	-	_	_	_	_	_	_
	20 000			_	_	_	_	_	_	_	_
	10 000				_	_	_	_	_	_	_
	5000				<0,005	_	_	_	_	_	_
	2500						_	_	_	_	_
8	1250	<0,0001	<0,0001	<0,0001	<0,0001	>0,05		_	_	_	_
	625					. 0,02	>0,05		_	_	_
	312					<0,05		>0,05		_	_
	156					>0,05			>0,05	>0,05	_
	0					<0,01					>0,0
	40 000		_	_	_	-	_	_	_	_	- 0,
	20 000	<0,0001		_	_	_	_	_	_	_	_
	10 000				_	_	_	_	_	_	_
	5000					_	_	_	_	_	_
	2500				<0,0001	>0,05	_	_	_	_	_
12	1250					70,03		_	_		
	625					<0,001	>0,05				_
	312					<0,0005		>0,05		_	_
									>0,05	_	
	156 0									>0,05	>0.4
		<0.000 <i>5</i>									>0,
16	40 000	<0,0005	_	_	_		_			_	
	20 000	<0,0001	<0,0001	_	_		_	_	_	_	
	10 000			<0,0001	_	_	_	_	_	_	
	5000				<0,0001	-	_	_	_	_	_
	2500					<0,01	_	_	_	_	_
	1250					<0,0001	>0,05	_	_	_	_
	625								_	_	_
	312						>0,05	>0,05		_	_
	156								>0,05	>0,05	_
	0									-,00	>0,

**Примечание.** Здесь и в табл. 2, 3: зеленым цветом отмечены статистически значимые различия, розовым — незначимые. ANOVA с пост-тестом Тыоки, приведены значения р.

Note. Here and in Tables 2, 3: statistically significant differences are shown in green, not significant in pink. ANOVA with Tukey's post-test, p values are presented.

**Таблица 2.** Уровень статистической значимости различий интенсивности флуоресценции резоруфина в образцах с разным количеством клеток Ovcar-3

Table 2. Statistical significance Level of differences in resorufin fluorescence intensity in samples with different numbers of Ovcar-3 cells

инкубации, ч	Количество живых клеток в экспериментальном образце Number of living cells in the experimental sample	<b>Количество живых клеток в контрольном образце</b> Number of living cells in the control sample									
Incubation		80 000	40 000	20 000	10 000	5000	2500	1250	625	312	156
	40 000	<0,0001	_	-	_	-	-	-	-	-	_
	20 000		<0,0001	_	_	_	_	_	_	_	_
	10 000			<0,0001	_	_	_	_	_	_	_
	5000				>0,05	_	_	_	_	_	_
4	2500					>0,05	_	_	_	_	_
4	1250						>0,05	-	_	_	_
	625							>0,05	_	_	_
	312								>0,05	_	_
	156									>0,05	_
	0										>0,05
	40 000		-	-	_	_	_	-	-	-	_
	20 000	<0,0001	<0,0001	-	_	-	-	-	-	-	_
	10 000			<0.05	_	-	-	-	-	-	_
	5000			<0,05		-	-	-	-	-	_
0	2500			<0,0001			_	_	_	_	_
8	1250				>0,05	>0,05		_	_	_	_
	625						>0,05	>0,05	_	_	_
	312									_	_
	156								>0,05	> 0.05	_
	0									>0,05	>0,05
	40 000	<0,0001	<0,0001	_	_	_	_	-	-	-	_
	20 000			_	_	_	_	-	_	_	_
	10 000			<0,05	_	_	_	_	_	_	_
	5000				> 0.05	_	_	_	_	_	_
12	2500				>0,05		_	_	_	_	_
12	1250				<0,05	>0,05		_	-	_	_
	625						>0,05		_	_	_
	312							>0,05	>0,05	_	_
	156									>0,05	_
	0										>0,05
	40 000	<0,0001	_	-	_	-	-	_	-	_	-
	20 000		<0,0001	_	_	_	_	_	_	_	_
	10 000			<0,0001	_	-	-	-	-	-	_
	5000				<0,05	-	-	-	-	_	-
16							-	-	_	_	_
16	1250				<0,0001	>0,05	>0,05	-	-	_	_
	625							>0,05	-	_	_
	312									_	-
	156								>0,05	>0,05	-
	0										>0,05

2

**Таблица 3.** Уровень статистической значимости различий интенсивности флуоресценции резоруфина в образцах с разным количеством клеток Ovcar-4

Table 3. Level of statistical significance of differences in resorufin fluorescence intensity in samples with different numbers of Ovcar-4 cells

Время инкубации, ч	Количество живых клеток в экспери- ментальном образце	Количество живых клеток в контрольном образце Number of living cells in the control sample									
Incubation duration, h	Number of living cells in the experimental sample	80 000	40 000	20 000	10 000	5000	2500	1250	625	312	156
	40 000	<0,0001	_	_	-	-	_	_	-	-	_
4	20 000		<0,0001	_	-	_	_	_	_	-	_
	10 000			<0,0001	-	-	_	_	_	-	_
	5000				<0,05	_	_	-	-	-	_
	2500					>0,05	_	_	_	_	_
	1250				<0,0001	>0,03		-	-	-	_
	625					<0,05	>0,05	>0,05	-	-	_
	312								>0,05	_	_
	156									>0,05	_
	0									×0,03	>0,05
	40 000	>0,05	_	_	_	_	_	_	_	_	_
8	20 000	<0,0001	<0,0001	_	_	_	_	_	_	_	_
	10 000			<0,0001	_	-	_	-	_	_	-
	5000					_	_	-	_	_	-
	2500				<0,0001	>0,05	_	-	_	_	_
	1250					<0,05	>0,05	_	_	_	-
	625							_	_	_	_
	312								>0,05	_	_
	156									>0,05	-
	0					10,0001				70,03	>0,05
	40 000	>0,05	_	_	_	_	_	_	_	_	_
	20 000	<0,0001		<0,0001	_	_	_	_	_	_	_
12	10 000		<0,0001		_	-	_	_	_	_	_
	5000				<0,0001	_	_	_	_	_	_
	2500					<0,05	_	_	_	_	_
	1250					<0,0001	>0,05	_	_	_	_
	625							>0,05	_	-	-
	312								>0,05	_	_
	156									>0,05	-
	0									-,	>0,05
	40 000	>0,05	_	_	_	_	_	_	_	_	_
16	20 000	<0,0001 <	<0,0001	_	_	_	_	_	_	_	_
	10 000			<0,0001	_	_	_	_	_	_	_
	5000				<0,0001	_	_	_	_	_	_
	2500						_	_	_	_	_
	1250					<0,0001	>0,05	_	_	_	_
	625						<0,05	>0,05	_	_	_
	312								>0,05	_	_
	156									>0,05	_
	0										>0,05

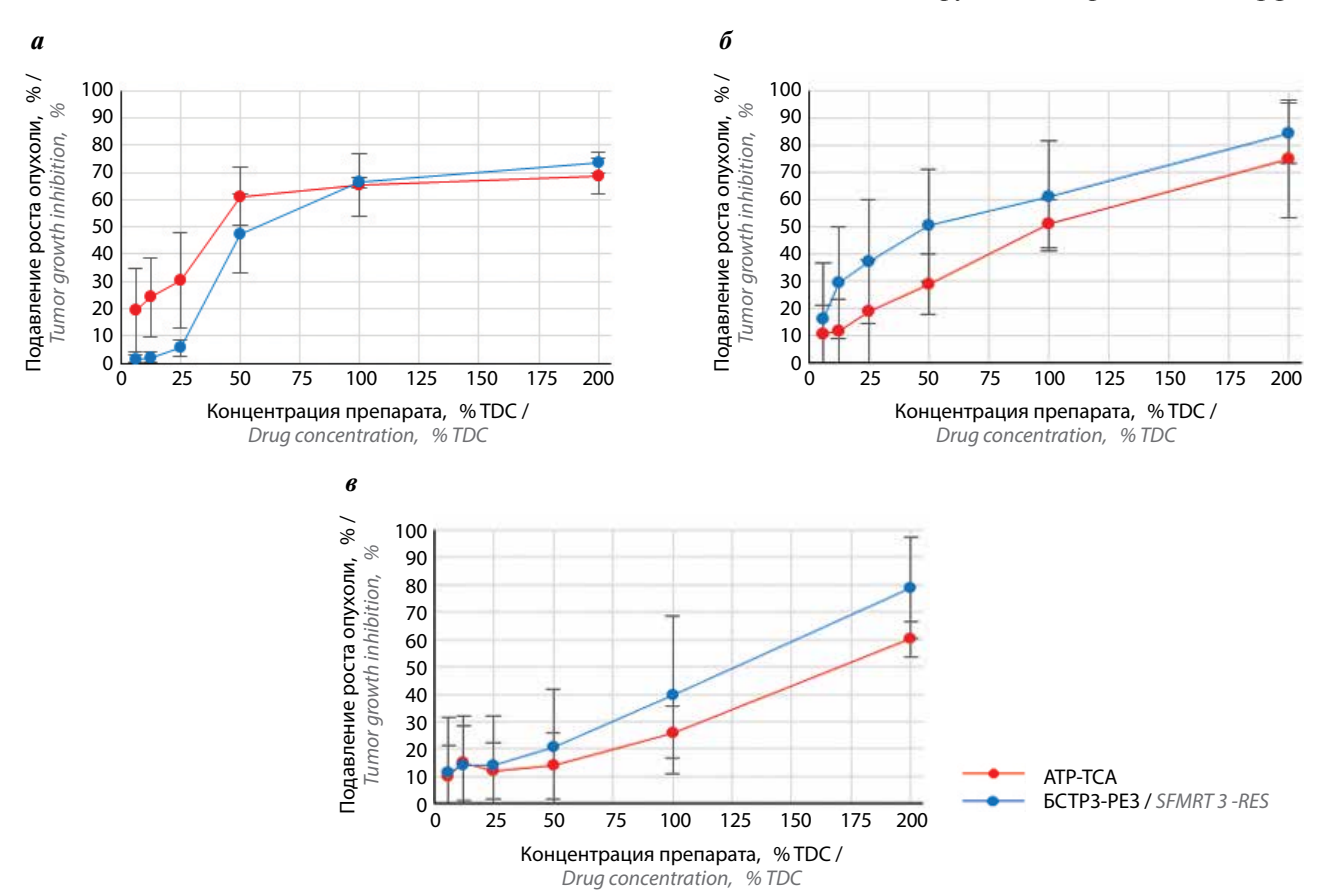
концентрация 20 000 клеток в образце. Дополнительно установлено, что увеличение времени инкубации с резазурином с 4 до 16 ч приводит к увеличению статистически значимых различий в интенсивности флуоресценции образцов, содержащих более низкие концентрации клеток. Это можно рассматривать в качестве аргумента в пользу выбора 16 ч в качестве требуемого интервала обработки клеток, поскольку обработка цитостатиком должна приводить к уменьшению количества клеток. В то же время увеличение продолжительности инкубации клеток с резазурином для линии Ovcar-4 с 4 до 16 ч приводит к исчезновению различий в интенсивности флуоресценции в образцах, содержащих изначально 80 000 и 40 000 клеток. В связи с этим определение интенсивности флуоресценции при инкубации с резазурином в течение 16 ч свидетельствует о необходимости контроля над количеством клеток в образце.

Таким образом, при анализе образцов, изначально содержащих 10 000—30 000 клеток, инкубация с резазурином продолжительностью 12—16 ч была признана в качестве оптимальной.

Сравнительный анализ определения резистентности опухолевых клеток линий рака яичников и первичных культур с использованием теста ATP-TCA и разработанного протокола тестирования. Для оценки результатов тестирования с использованием набора реактивов ATP-TCA проводят расчет RSI, отражающего дозозависимый эффект гибели клеток при их культивировании в разных концентрациях цитостатика. Результаты ряда исследований показали корреляцию значения RSI с клиническим ответом на терапию цитостатиком, включая показатели безрецидивной и общей выживаемости [18, 22].

В ходе сравнительного анализа результатов тести-

В ходе сравнительного анализа результатов тестирования на резистентность, полученных с использованием набора ATP-TCA и разработанного нами протокола, включающего культивирование клеток в БСТРЗ в полипропиленовых планшетах и оценку жизнеспособности по метаболизму резазурина (протокол БСТРЗ-РЕЗ), для всех клеточных культур РЯ при применении обоих методов получена дозовая зависимость гибели клеток от концентрации цисплатина, паклитаксела и доксорубицина. Кривые доза—эффект



**Рис. 3.** Дозозависимые эффекты гибели клеток линий рака яичников A-1847 (a), Ovcar-3 (б) и Ovcar-4 (в) в присутствии цисплатина. Данные получены с использованием протокола, включающего культивирование клеток в бессывороточной среде для тестирования резистентности 3 (БСТР3) в полипропиленовых планиетах и оценку жизнеспособности по метаболизму резазурина (БСТР3-РЕ3), и с применением набора ATP-Tumor Chemosensitivity Assay (ATP-TCA) (DCS Innovative Diagnostik-Systeme, Германия). Показатель подавления роста опухоли представлен как среднее значение  $\pm$  стандартное отклонение. TDC — тестовая концентрация препарата

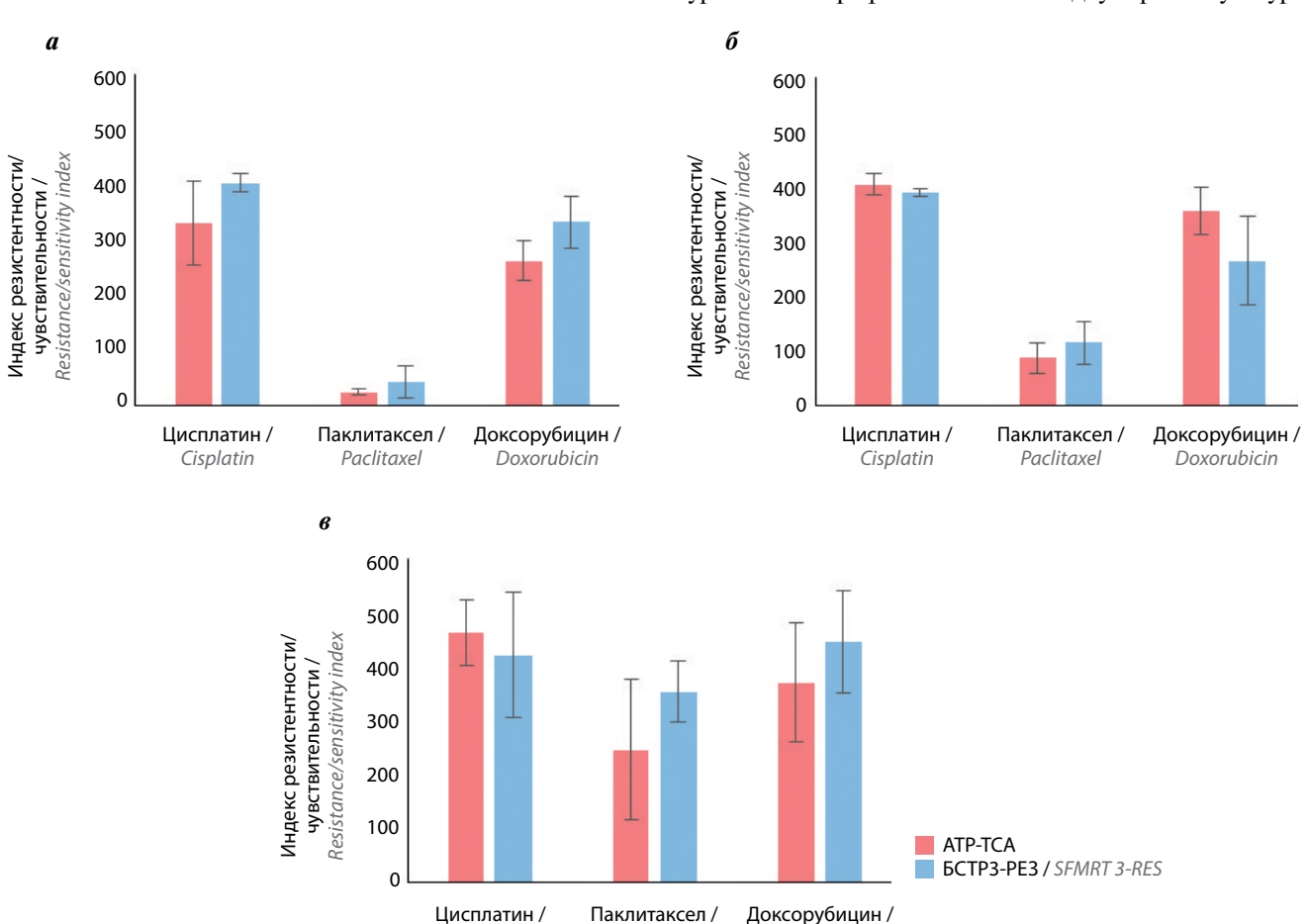
Fig. 3. Dose-dependent effects of cell death of ovarian cancer cell lines A-1847 (a), Ovcar-3 (6) and Ovcar-4 (8) in the presence of cisplatin. Data obtained using a protocol which includes cell culture in serum-free medium for resistance testing 3 (SFMRT 3) in polypropylene plates and viability determination based on resazurin metabolism (SFMRT3-RES) and using ATP-Tumor Chemosensitivity Assay (ATP-TCA) (DCS Innovative Diagnostik-Systeme, Germany). Tumor growth suppression index is presented as mean + standard deviation. TDC - tested drug concentration

для линий клеток РЯ А-1847, Ovcar-3 и Ovcar-4 для цисплатина представлены на рис. 3. Использование набора ATP-TCA основано на наличии дозозависимого эффекта. Его получение в протоколе БСТР3-РЕЗ позволило рассчитать и сравнить RSI для обоих методов (рис. 4). Следует отметить, что статистически значимых различий в RSI (*t*-критерий Стьюдента), рассчитанных в соответствии с результатами тестов при использовании ATP-TCA и БСТР3-РЕЗ, при воздействии цисплатина, паклитаксела и доксорубцина для всех линий РЯ выявлено не было (см. рис. 4).

Результаты исследования культур клеток РЯ позволили перейти к тестированию химиорезистентности с использованием протокола БСТР3-РЕЗ на первичных культурах клеток, полученных из образцов опухолевой ткани и асцитической жидкости пациенток с РЯ (пациентки 1—3). Выявлена возможность регистрации дозозависимого эффекта гибели клеток от концентрации цитостатика (рис. 5—7).

# ОБСУЖДЕНИЕ

Первоначально для прогноза резистентности к XT при РЯ использовали монослойные первичные культуры и ксенографты. Стабильные двумерные культуры



**Рис. 4.** Индексы резистентности/чувствительности клеток линий рака яичников A-1847 (а), Ovcar-3 (б) и Ovcar-4 (в) для цисплатина, паклитаксела и доксорубицина (t-критерий Стьюдента). Данные получены с использованием протокола, включающего культивирование клеток в бессывороточной среде для тестирования резистентности 3 (БСТР3) в полипропиленовых планиетах и оценку жизнеспособности по метаболизму резазурина (БСТР3-РЕ3), и с применением набора ATP-Tumor Chemosensitivity Assay (ATP-TCA) (DCS Innovative Diagnostik-Systeme, Германия) и представлены как среднее значение + стандартное отклонение

Paclitaxel

Doxorubicin

Cisplatin

Fig. 4. Cell resistance/sensitivity indices of ovarian cancer cell lines A-1847(a), Ovcar-3 (6) and Ovcar-4 (8) for cisplatin, paclitaxel and doxorubicin (Student's t-test). Data obtained using a protocol which includes cell culture in serum-free medium for resistance testing 3 (SFMRT 3) in polypropylene plates and viability determination based on resazurin metabolism (SFMRT3-RES) and using ATP-Tumor Chemosensitivity Assay (ATP-TCA) (DCS Innovative Diagnostik-Systeme, Germany) and presented as mean + standard deviation

просты и легки в использовании. Однако в процессе пассирования ткань опухоли утрачивает гетерогенность, поскольку выживают только клетки, способные адаптироваться к существованию in vitro. Кроме того, в этих культурах не только отсутствуют стромальные клетки, но и изменены условия формирования внеклеточного матрикса. В результате этого профили экспрессии генов опухолевых клеток и клеток, существующих *in vivo*, различаются, что отражается на результатах тестирования, снижает прогностическую значимость таких тестов [14]. Использование ксенографтов РЯ в тестах на химиорезистентность не получило широкого применения в силу ограниченности успеха имплантации опухоли, трудоемкости процедуры, большой продолжительности роста имплантата и высокой стоимости метода.

Шагом вперед в развитии экспериментального тестирования опухолей на химиорезистентность стало использование переживающих 3D-культур, которые в большей степени сохраняют свойства исходной опухоли, такие как гетерогенность, клеточная/ядерная атипия и экспрессия биомаркеров. Создание 3D-культур РЯ с жизнеспособностью, достаточной для оценки их резистентности к химиопрепаратам, является непростой задачей, поскольку опухолевые клетки существуют в определенных условиях микроокружения, включающих внеклеточный матрикс и растворимые молекулы пара-, аутокринной и гуморальной регуляций. Одним из перспективных подходов является использование матригеля при культивировании опухолевых клеток в питательной среде, содержащей такие нишевые факторы, как ламинин, коллаген IV типа, нидоген, гепаринсульфат гликопротеин, факторы ро-

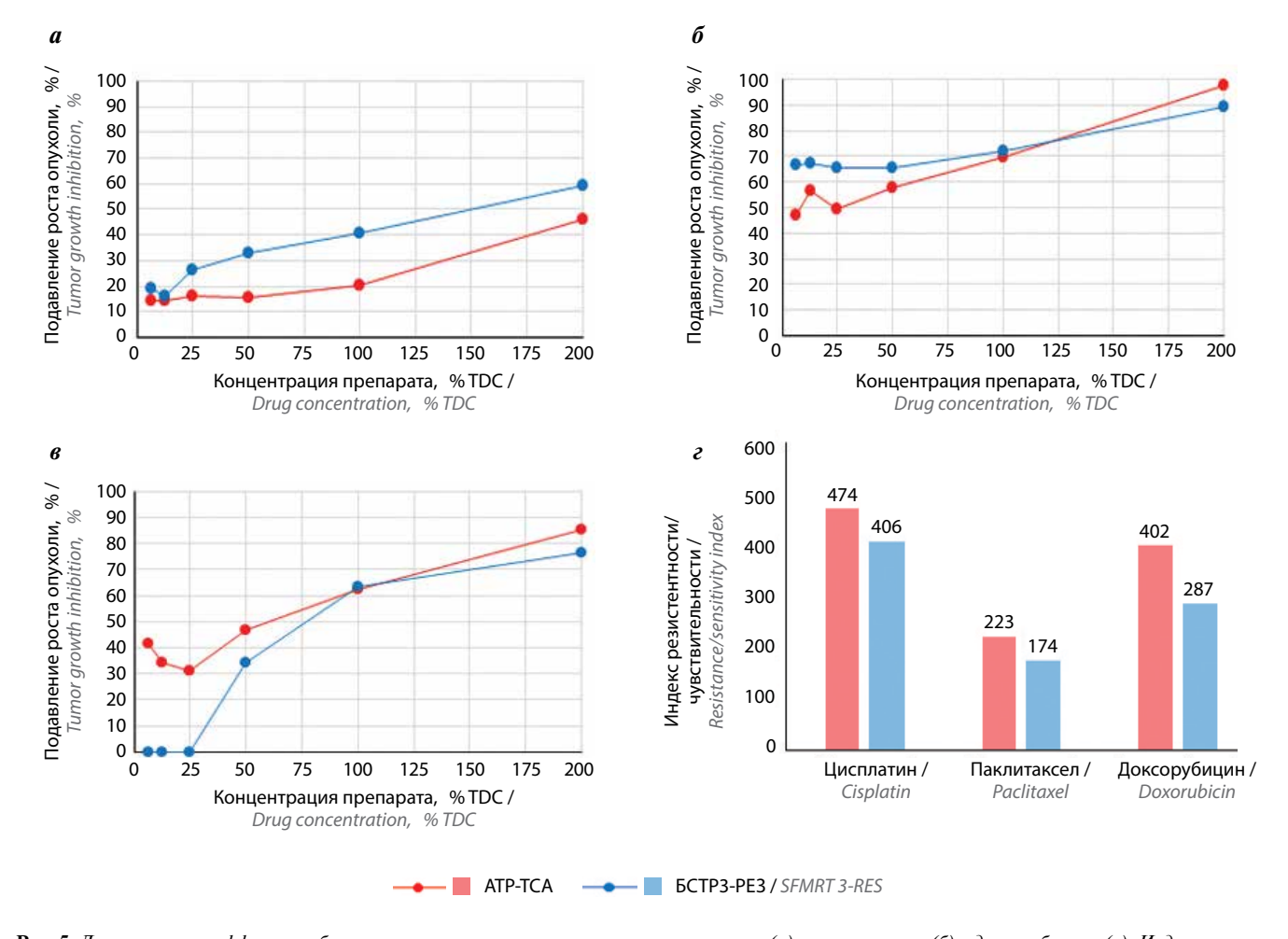


Рис. 5. Дозозависимые эффекты гибели опухолевых клеток в присутствии цисплатина (а), паклитаксела (б) и доксорубицина (в). Индексы резистентности для цисплатина, паклитаксела и доксорубицина (г). Данные получены с использованием протокола, включающего культивирование клеток в бессывороточной среде для тестирования резистентности 3 (БСТР3) в полипропиленовых планшетах и оценку жизнеспособности по метаболизму резазурина (БСТР3-РЕ3), и с применением набора ATP-Tumor Chemosensitivity Assay (ATP-TCA) (DCS Innovative Diagnostik-Systeme, Германия) для первичной культуры рака яичников из образца опухолевой ткани пациентки 1

Fig. 5. Dose-dependent effects of tumor cell death in the presence of cisplatin (a), paclitaxel (6) and doxorubicin (8). Resistance indices for cisplatin, paclitaxel and doxorubicin (2). Data obtained using a protocol which includes cell culture in serum-free medium for resistance testing 3 (SFMRT 3) in polypropylene plates and viability determination based on resazurin metabolism (SFMRT3-RES) and using ATP-Tumor Chemosensitivity Assay (ATP-TCA) (DCS Innovative Diagnostik-Systeme, Germany) for primary ovarian cancer cell culture from the tumor of patient 1

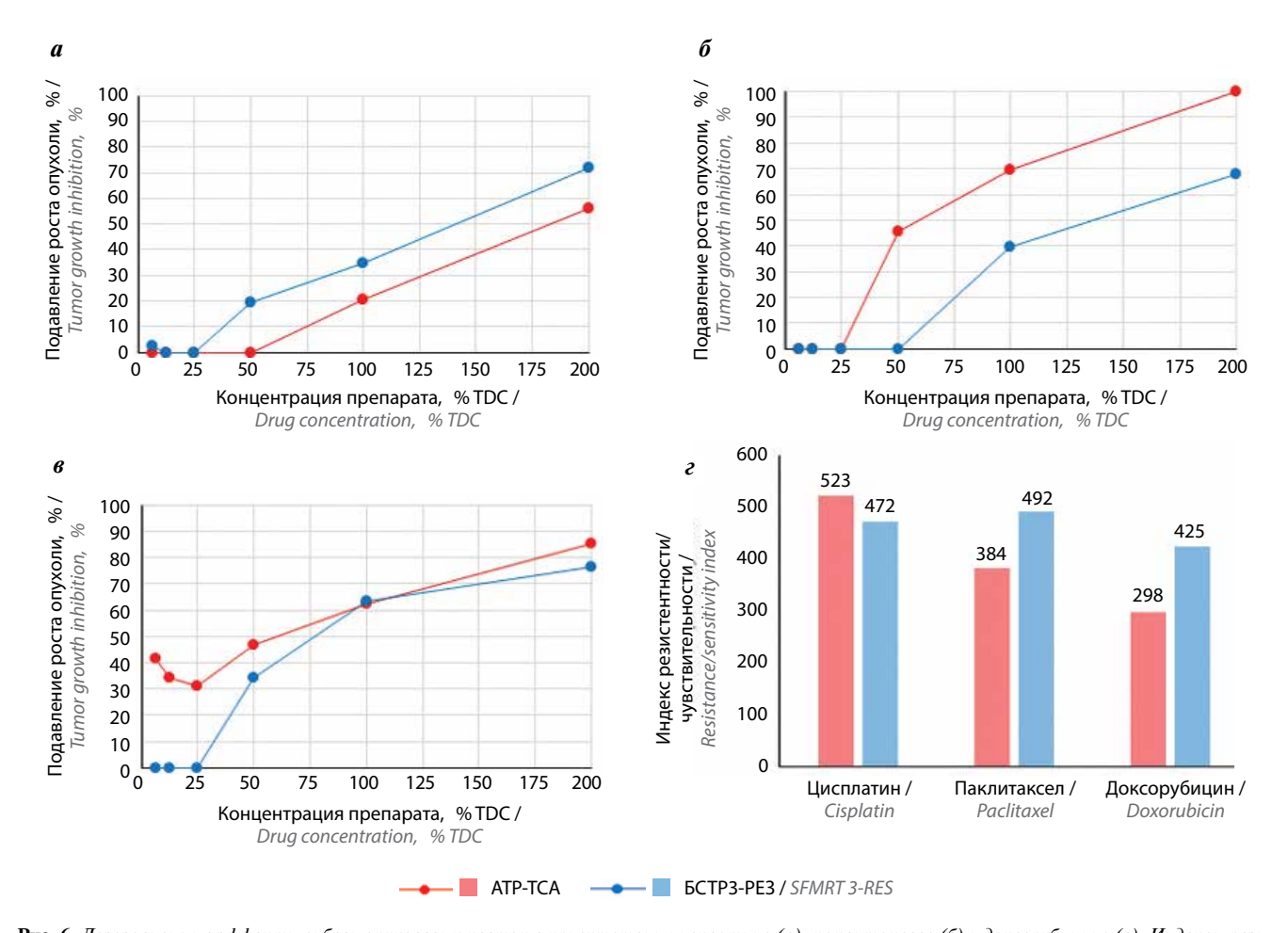
S

ста и матриксные металлопротеиназы. В данных условиях трехмерные структуры могут существовать в течение месяца и формировать стабильные 3D-культуры, сохраняющие профиль резистентности к химиопрепаратам, характерный для исходной опухоли [23].

Для экспресс-анализа резистентности конкретной опухоли к химиопрепаратам могут быть использованы 3D-культуры с упрощенными условиями культивирования и более кратким временем их использования — от 5 до 10 дней [22]. Путем варьирования состава бессывороточной среды мы подобрали вариант среды БСТРЗ. В ней клетки стабильных линий РЯ формировали жизнеспособные сфероиды, что подтверждено с помощью их гистологического анализа. Результаты оценки динамики роста клеток линий РЯ при культивировании в БСТРЗ в полипропиленовых планшетах показали, что количество жизнеспособных клеток линий РЯ на 6-й день составило от 73 до 148 % от исходного. Это позволило сделать вывод о возможности

использования данных условий при экспериментальном тестировании опухолевых клеток на химиорезистентность. Жизнеспособность клеток определяли по уровню флуоресценции резоруфина — продукта метаболизма резазурина. Оценка жизнеспособности клеток по их метаболической активности является стандартным, распространенным подходом при работе с культивируемыми клетками [11]. Ранее в качестве метаболизируемого соединения чаще всего использовали 3-(4,5-диметилтиазол-2-ил)-2,5-дифенилтетразолия бромид, известный под названием МТТ, однако применение вместо него резазурина, метаболизируемого более широким спектром ферментов по сравнению с МТТ до флуоресцирующего резоруфина, повысило чувствительность и надежность метода.

Еще более чувствительным и надежным методом, разработанным для использования вместо МТТ-теста, является метод CellTiter-Glo®, основанный на измерении количества АТФ. Однако для детекции АТФ



**Рис. 6.** Дозозависимые эффекты гибели опухолевых клеток в присутствии цисплатина (а), паклитаксела (б) и доксорубицина (в). Индексы резистентности для цисплатина, паклитаксела и доксорубицина (г). Данные получены с использованием протокола, включающего культивирование клеток в бессывороточной среде для тестирования резистентности 3 (БСТР3) в полипропиленовых планшетах и оценку жизнеспособности по метаболизму резазурина (БСТР3-PE3), и с применением набора ATP-Tumor Chemosensitivity Assay (ATP-TCA) (DCS Innovative Diagnostik-Systeme, Германия) для первичной культуры рака яичников из образца опухолевой ткани пациентки 2

Fig. 6. Dose-dependent effects of tumor cell death in the presence of cisplatin (a), paclitaxel (6) and doxorubicin (6). Resistance indices for cisplatin, paclitaxel and doxorubicin (2). Data obtained using a protocol which includes cell culture in serum-free medium for resistance testing 3 (SFMRT 3) in polypropylene plates and viability determination based on resazurin metabolism (SFMRT3-RES) and using ATP-Tumor Chemosensitivity Assay (ATP-TCA) (DCS Innovative Diagnostik-Systeme, Germany) for primary ovarian cancer cell culture from the tumor of patient 2

требуются люминометры, которые не используются в медицинских учреждениях нашей страны. В связи с этим в настоящем исследовании использован резазуриновый метод. В то же время интегральный уровень флуоресценции резоруфина в образце зависит от множества факторов: условий культивирования клеток, уровня метаболической активности ферментов, количества клеток, продолжительности инкубации с детектирующим агентом и некоторых других параметров [24]. В связи с этим получение релевантных воспроизводимых результатов резазуринового теста, направленного на определение жизнеспособности клеток конкретного нозологического типа опухолей требует валидации условий его проведения. Для валидации метода определения жизнеспособности клеток по уровню метаболизма резазурина проанализированы различия в интенсивности флуоресценции

резоруфина в образцах с разным количеством клеток РЯ и в продолжительности инкубации (см. табл. 1-3). Показано, что оптимальным для данного способа определения жизнеспособности клеток является их количество в образце от 10 000 до 30 000. Принимая во внимание показатели динамики количества жизнеспособных клеток на 6-й день инкубации (73–148 %). сделан вывод, что использование 20 000 клеток в исходном экспериментальном образце является оптимальным. Также установлено, что 12-16 ч - это оптимальная продолжительность инкубации с резазурином опухолевых клеток РЯ 3 рассматриваемых линий, если количество клеток в образце не превышает 40 000. Такая продолжительность инкубации является допустимой из-за низкой цитотоксичности резазурина [25]. Таким образом, мы разработали протокол культивирования опухолевых клеток РЯ в гипоадгезионных

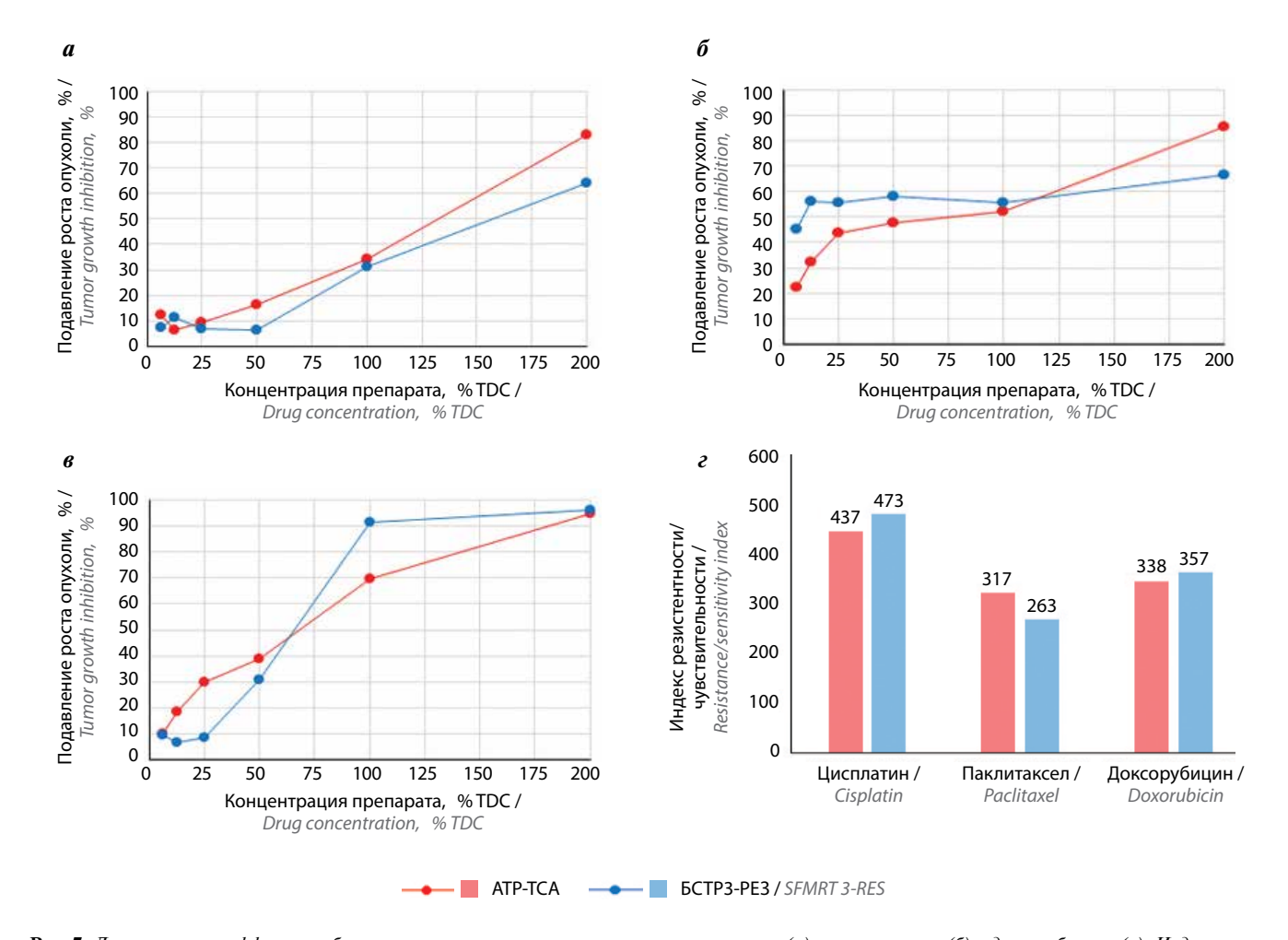


Рис. 7. Дозозависимые эффекты гибели опухолевых клеток в присутствии: цисплатина (а), паклитаксела (б) и доксорубицина (в). Индексы резистентности для цисплатина, паклитаксела и доксорубицина (г). Данные получены с использованием протокола, включающего культивирование клеток в бессывороточной среде для тестирования резистентности 3 (БСТРЗ) в полипропиленовых планшетах и оценку жизнеспособности по метаболизму резазурина (БСТРЗ-РЕЗ), и с применением набора ATP-Tumor Chemosensitivity Assay (ATP-TCA) (DCS Innovative Diagnostik-Systeme, Германия) для первичной культуры рака яичников из образца опухолевой ткани пациентки 3

Fig. 7. Dose-dependent effects of tumor cell death in the presence of cisplatin (a), paclitaxel (6) and doxorubicin (8). Resistance indices for cisplatin, paclitaxel and doxorubicin (2). Data obtained using a protocol which includes cell culture in serum-free medium for resistance testing 3 (SFMRT 3) in polypropylene plates and viability determination based on resazurin metabolism (SFMRT3-RES) and using ATP-Tumor Chemosensitivity Assay (ATP-TCA) (DCS Innovative Diagnostik-Systeme, Germany) for primary ovarian cancer cell culture from the tumor of patient 3

условиях, позволяющий протестировать химиорезистентность.

В качестве прототипа разрабатываемого протокола определения химиорезистентности in vitro рассматривается созданный рядом исследователей метод выявления химиорезистентности опухолевых клеток РЯ с использованием набора АТР-ТСА. Его преимуществами являются простота, межлабораторная воспроизводимость и то, что он применяется в клинической практике в Германии. На 3 стабильных линиях и первичных культурах РЯ с использованием созданного нами протокола тестирования химиорезистентности продемонстрирована возможность регистрации дозозависимого эффекта гибели клеток в присутствии цитостатиков. Дополнительно в ходе сравнительного анализа результатов определения химиорезистентности опухолевых клеток, полученных с использованием протокола БСТР3-РЕЗ и набора АТР-ТСА, выявлено отсутствие значимых различий в значениях RSI. Результаты пилотного исследования пригодности разработанных нами упрощенных условий анализа резистентности/чувствительности первичных 3D-культур солидных и асцитических вариантов РЯ (образцы операционного материала пациенток) показали, что данные тестирования по разработанному протоколу практически не отличаются от данных, полученных с использованием стандартного метода, принятого за рубежом.

# **ЗАКЛЮЧЕНИЕ**

Тестирование химиорезистентности опухолевых клеток в первичных 3D-культурах основано на взаимосвязи уровня их жизнеспособности в присутствии цитостатика в концентрациях, сопоставимых с содержанием в организме пациента, и клиническими результатами терапии этим агентом. Выявленное нами дозозависимое влияние цитостатиков на жизнеспособность опухолевых клеток в 3D-культурах пациенток с РЯ свидетельствует о перспективности дальнейших исследований, направленных на определение корреляции между результатами экспериментального тестирования и клиническими данными. Для этой цели может быть использован разработанный нами упрощенный метод получения первичных 3D-культур, который соответствует стандарту, принятому за рубежом.

# ЛИТЕРАТУРА / REFERENCES

- 1. Злокачественные новообразования в России в 2023 году (заболеваемость и смертность). Под ред. А.Д. Каприна, В.В. Старинского, А.О. Шахзадовой. Москва. МНИОИ им. П.А. Герцена филиал ФГБУ «НМИЦ радиологии» Минздрава России, 2024. 276 с.
  - Malignant neoplasms in Russia in 2023 (morbidity and mortality). Ed. by A.D. Kaprin, V.V. Starinsky, A.O. Shakhzadova. Moscow: MNIOI im. P.A. Gertsena filial FGBU "NMITS radiologii" Minzdrava Rossii, 2024. 276 p. (In Russ.).
- Siegel R.L., Kratzer T.B., Giaquinto A.N. et al. Cancer statistics, 2025. CA Cancer J Clin 2025;75(1):10–45.
   DOI: 10.3322/caac.21871
- 3. Покатаев И.А., Дудина И.А., Коломиец Л.А. и др. Рак яичников, первичный рак брюшины и рак маточных труб. Злокачественные опухоли 2024;14(3s2—2):82—101. DOI: 10.18027/2224-5057-2024-14-3s2-1.2-02
  - Pokataev I.A., Dudina I.A., Kolomiets L.A. et al. Ovarian cancer, primary peritoneal cancer, and fallopian tube cancer. Zlokachestvennye opukholi = Malignant Tumors 2024;14(3s2-2):82-101. DOI: 10.18027/2224-5057-2024-14-3s2-1.2-02
- Ledermann J.A., Matias-Guiu X., Amant F. et al. ESGO–ESMO– ESP consensus conference recommendations on ovarian cancer: pathology and molecular biology and early, advanced and recurrent disease. Ann Oncol 2024;35(3):248–66.
   DOI: 10.1016/j.annonc.2023.11.015
- Pignata S., Cecere S.C., Du Bois A. et al. Treatment of recurrent ovarian cancer. Ann Oncol 2017;28(suppl\_8):viii51–6.
   DOI: 10.1093/annonc/mdx441
- Miras I., Estévez-García P., Muñoz-Galván S. Clinical and molecular features of platinum resistance in ovarian cancer. Crit Rev Oncol Hematol 2024;201:104434.
   DOI: 10.1016/j.critrevonc.2024.104434

- Havasi A., Cainap S.S., Havasi A.T., Cainap C. Ovarian cancer insights into platinum resistance and overcoming it. Medicina (Kaunas) 2023;59(3):544. DOI: 10.3390/medicina59030544
- 8. Baert T., Ferrero A., Sehouli J. et al. The systemic treatment of recurrent ovarian cancer revisited. Ann Oncol 2021;32(6):710–25. DOI: 10.1016/j.annonc.2021.02.015
- Monk B.J., Herzog T.J., Tewari K.S. Evolution of chemosensitivity and resistance assays as predictors of clinical outcomes in epithelial ovarian cancer patients. Curr Pharm Des 2016;22(30):4717–28.
   DOI: 10.2174/1381612822666160505114326
- Имянитов Е.Н. Принципы индивидуализации противоопухолевой терапии. Практическая онкология 2013;14(4):187—94.
   Imyanitov E.N. Principles of individualization of antitumor therapy.
   Prakticheskaya onkologiya = Practical Oncology 2013;14(4):187—94.
- 11. Кирсанов К.И., Кузин К.А., Фетисов Т.И. и др. Методические подходы к экспериментальному тестированию резистентности клеток опухоли человека к химиотерапии. Сибирский онкологический журнал 2020;19(3):122—36.

  DOI: 10.21294/1814-4861-2020-19-3-122-136

  Kirsanov K.I., Kuzin K.A., Fetisov T.I. et al. Methodological approaches to the determination of chemoresistance of human cancer cells to anti-cancer drugs. Sibirskiy onkologicheskiy zhurnal = Siberian Journal of Oncology 2020;19(3):122—36. (In Russ.).

  DOI: 10.21294/1814-4861-2020-19-3-122-136
- Singh T., Neal A.S., Moatamed N.A., Memarzadeh S. Exploring the potential of drug response assays for precision medicine in ovarian cancer. Int J Mol Sci 2021; 22(1):305. DOI: 10.3390/ijms22010305
- 13. Blom K., Nygren P., Larsson R., Andersson C.R. Predictive value of *ex vivo* chemosensitivity assays for individualized cancer chemotherapy: a meta-analysis. SLAS Technol 2017;22(3):306–14. DOI: 10.1177/2472630316686297

- Maru Y., Hippo Y. Current status of patient-derived ovarian cancer models. Cells May 2019;8(5):505. DOI: 10.3390/cells8050505
- Blumenthal R.D. An overview of chemosensitivity testing. Methods Molecul Med 2005:110:3–18. DOI: 10.1385/1-59259-869-2:003
- Grendys E.C., Florica J.V., Orr J.W. et al. Overview of a chemoresponse assay in ovarian cancer. Clin Transl Oncol 2014;16(9):761–9. DOI: 10.1007/s12094-014-1192-8
- Konecny G., Crohns C., Pegram M. et al. Correlation of drug response with the ATP tumorchemosensitivity assay in primary FIGO stage III ovarian cancer. Gynecol Oncol 2000;77(2):258–63. DOI: 10.1006/gyno.2000.5728
- Kurbacher C.M., Cree I.A. Chemosensitivity testing using microplate adenosine triphosphate-based luminescence measurements. Methods Mol Med 2005;2005;110:101–20. DOI: 10.1385/1-59259-869-2:101
- Andreotti P.E., Cree I.A., Kurbacher C.M. et al. Chemosensitivity testing of human tumors using a microplate adenosine triphosphate luminescence assay: clinical correlation for cisplatin resistance of ovarian carcinoma. Cancer Res 1995;15;55(22):5276–82.
- Cortesi M., Warton K., Ford C.E. Beyond 2D cell cultures: how 3D models are changing the in vitro study of ovarian cancer and how

- to make the most of them. Peer J 29;12:e17603. DOI: 10.7717/peerj.17603
- Denry Sato J., Kan M. Media for culture of mammalian cells. Curr Protoc Cell Biol. 2001;Chapter 1:Unit 1.2. DOI: 10.1002/0471143030.cb0102s00
- Neubauer H., Stefanova M., Solomyer E. et al. Predicting resistance to platinum-containing chemotherapy with the ATP tumor chemosensitivity assay in primary ovarian cancer. Anticancer Res 2008;28(2A):949

  –56.
- Nanki Y., Chiyoda T., Hirasawa A. et al. Patient-derived ovarian cancer organoids capture the genomic profiles of primary tumours applicable for drug sensitivity and resistance testing. Sci Rep 2020;10(1):12581. DOI: 10.1038/s41598-020-69488-9
- Rodríguez-Corrales J., Josan J.S. Resazurin live cell assay: Setup and fine-tuning for reliable cytotoxicity results. Methods Mol Biol 2017;1647:207–219.
   DOI: 10.1007/978-1-4939-7201-2 14
- Gong X., Liang Z., Yang Y. et al. A resazurin-based, nondestructive assay for monitoring cell proliferation during a scaffold-based 3D culture process. Regen Biomater 2020;7(3):271–81.
   DOI: 10.1093/rb/rbaa002

#### Вклад авторов

- К.А. Кузин: разработка дизайна исследования, проведение экспериментов, анализ данных, написание текста статьи;
- Т.И. Фетисов, О.А. Власова: проведение экспериментов;
- Р.И. Князев: получение и характеристика клинических образцов, редактирование;
- Е.Е. Антошина, Л.С. Труханова, Т.Г. Горькова: получение и характеристика клинических образцов, проведение экспериментов;
- Г.А. Белицкий, М.Г. Якубовская, К.И. Кирсанов: разработка дизайна исследования, руководство проектом, редактирование. Authors' contributions
- K.A. Kuzin: research design development, conducting experiments, data analysis, article writing;
- T.I. Fetisov, O.A. Vlasova: conducting experiments;
- R.I. Knyazev: obtaining and characterization of clinical samples, editing;
- $E.E.\ Antoshina,\ L.S.\ Trukhanova,\ T.G.\ Gor'kova:\ obtaining\ and\ characterization\ of\ clinical\ samples,\ conducting\ experiments;$
- G.A. Belitsky, M.G. Yakubovskaya, K.I. Kirsanov: research design development, project management, editing.

# ORCID abtopob / ORCID of authors

- К.А. Кузин / К.А. Kuzin: https://orcid.org/0000-0001-8474-8195
- Т.И. Фетисов / Т.І. Fetisov: https://orcid.org/0000-0002-5082-9883
- O.A. Власова / O.A. Vlasova: https://orcid.org/0000-0002-1498-849X
- Р.И. Князев / R.I. Knyazev: https://orcid.org/0000-0002-6341-0897
- Г.А. Белицкий / G.A. Belitsky: https://orcid.org/0000-0002-3167-7204
- $M.\Gamma.\ \textit{Якубовская}\ /\ M.G.\ \textit{Yakubovskaya: https://orcid.org/0000-0002-9710-8178}$
- К.И. Кирсанов / К.І. Kirsanov: https://orcid.org/0000-0002-8599-6833

# Конфликт интересов. Авторы заявляют об отсутствии конфликта интересов.

**Conflict of interest.** The authors declare no conflict of interest.

# Финансирование. Работа выполнена без спонсорской поддержки.

**Financing.** The work was performed without external funding.

#### Соблюдение правил биоэтики

Протокол исследования одобрен комитетом по биомедицинской этике ФГБУ «Национальный медицинский исследовательский центр им. Н.Н. Блохина» Минздрава России (протокол от 30.05.2019).

Compliance with principles of bioethics

The study protocol was approved by the biomedical ethics committee of N.N. Blokhin National Medical Research Center of Oncology, Ministry of Health of Russia (protocol dated 30.05.2019).

**DOI:** https://doi.org/10.17650/2313-805X-2025-12-3-116-131



# Молекулярные эффекты пестицидов карбарила, хлорпирифоса, манкоцеба, тирама и пендиметалина в условно-нормальных клетках in vitro: генотоксичность, клоногенность и влияние на экспрессию генов, ассоциированных с канцерогенезом

Е.С. Лылова $^1$ , В.Г. Попова $^1$ , К.А. Зимин $^{1,2}$ , А.Ю. Букина $^1$ , В.А. Нуртдинова $^1$ , С.С. Шмаков $^3$ , М.Г. Якубовская $^1$ , К.И. Кирсанов $^{1,4}$ , В.П. Максимова $^1$ 

<sup>1</sup>ФГБУ «Национальный медицинский исследовательский центр онкологии им. Н.Н. Блохина» Минздрава России; Россия, 115522 Москва, Каширское шоссе, 24;

<sup>2</sup>ФГАОУ ВО «Российский национальный исследовательский медицинский университет им. Н.И. Пирогова» Минздрава России; Россия, 117513 Москва, ул. Островитянова, 1;

<sup>3</sup>ФГБОУ ВО «Московский государственный университет им. М.В. Ломоносова»; Россия, 119991 Москва, Ленинские горы, 1, стр. 12; <sup>4</sup>ФГАОУ ВО «Российский университет дружбы народов»; Россия, 117198 Москва, ул. Миклухо-Маклая, 6

Контакты: Варвара Павловна Максимова lavarvar@gmail.com

**Введение.** Злокачественные новообразования остаются одной из основных причин смертности в мире. В развитии данной патологии большую роль играет воздействие неблагоприятных факторов окружающей среды, в том числе пестицидов. Несмотря на широкий спектр используемых в сельском хозяйстве пестицидов, их молекулярные эффекты и канцерогенный потенциал изучены лишь в отношении небольшого числа моделей, включая нормальные клетки человека.

**Цель исследования** — изучить молекулярные эффекты пестицидов карбарила, хлорпирифоса, манкоцеба, тирама и пендиметалина в условно-нормальных клетках HaCaT и MCF10A.

**Материалы и методы.** Нетоксичные концентрации пестицидов определяли с помощью МТТ-теста. Генотоксичность анализировали методом ДНК-комет. Пролиферативный потенциал оценивали с помощью клоногенного анализа, изменение экспрессии генов, ассоциированных с канцерогенезом, — с использованием полимеразной цепной реакции в реальном времени.

Результаты. Карбарил вызывал повреждение ДНК в клетках МСF10A, способствовал пролиферации клеток обеих линий в клоногенном тесте, а также приводил к активации генов биотрансформации (AHR, GSTA4) в клетках МСF10A, репрессии (CYP1B1, GSTA4) в клетках НаСаТ и снижению экспрессии генов воспаления (IL1a, IL1b, PTGES, IFNGR1). Хлорпирифос не показал генотоксического эффекта и не влиял на клоногенность, но вызывал индукцию генов биотрансформации (CYP1A1, CYP1B1), воспаления (IL1b, PTGES) и генов BCL2 и DNMTs. Манкоцеб и тирам не проявляли генотоксичности в клетках НаСаТ и МСF10A, но активировали отдельные гены репарации (ATR/ATM). Тирам стимулировал пролиферацию клеток НаСаТ в клоногенном тесте, а манкоцеб активировал экспрессию генов – регуляторов пролиферации (CCND2, CCNE1, Ki-67), но не влиял на рост колоний; оба фунгицида снижали экспрессию генов воспаления (COX2, IL1a, IL1b). Пендиметалин вызывал повреждение ДНК и активацию экспрессии генов репарации (ATR, GADD45a, PCNA) в клетках обеих линий, а также снижал экспрессию GLUT3 в клетках НаСаТ и индуцировал экспрессию генов СУР1А1 в клетках НаСаТ и СУР1В1 – в клетках МСF10A.

**Заключение.** В ходе комплексной оценки влияния пестицидов на нормальные человеческие клетки выявлено, что пендиметалин, хлорпирифос и карбарил оказывают наибольшее проканцерогенное действие.

Ключевые слова: пестицид, канцерогенез, карбарил, хлорпирифос, манкоцеб, тирам, пендиметалин

**Для цитирования:** Лылова Е.С., Попова В.Г., Зимин К.А. и др. Молекулярные эффекты пестицидов карбарила, хлорпирифоса, манкоцеба, тирама и пендиметалина в условно-нормальных клетках *in vitro*: генотоксичность, клоногенность и влияние на экспрессию генов, ассоциированных с канцерогенезом. Успехи молекулярной онкологии 2025;12(3):116–31.

DOI: https://doi.org/10.17650/2313-805X-2025-12-3-116-131

S

# Molecular effects of the pesticides carbaryl, chlorpyrifos, mancozeb, thiram, and pendimethalin in conditionally normal cells *in vitro*: genotoxicity, clonogenicity and effects on the expression of genes associated with carcinogenesis

E.S. Lylova<sup>1</sup>, V.G. Popova<sup>1</sup>, K.A. Zimin<sup>1, 2</sup>, A. Yu. Bukina<sup>1</sup>, V.A. Nurtdinova<sup>1</sup>, S.S. Shmakov<sup>3</sup>, M.G. Yakubovskaya<sup>1</sup>, K.I. Kirsanov<sup>1, 4</sup>, V.P. Maksimova<sup>1</sup>

# **Contacts**: Varvara Pavlovna Maksimova *lavarvar@gmail.com*

**Introduction.** Cancer remains a major cause of mortality worldwide, with adverse environmental factors such as pesticides contributing significantly to its development. Despite the widespread use of various pesticides, the molecular mechanisms underlying their actions and carcinogenic potential have been studied for only a limited number of models, especially in normal human cells.

**Aim.** To study the molecular effects of pesticides carbaryl, chlorpyrifos, mancozeb, thiram, and pendimethalin in non-malignant HaCaT and MCF10A cells.

**Materials and methods.** Non-toxic concentrations of pesticides were determined using the MTT assay. Genotoxicity was analyzed by the comet assay. Proliferative potential was assessed by clonogenic assay. Changes in the expression of genes associated with carcinogenesis were evaluated by real-time polymerase chain reaction.

Results. Carbaryl caused DNA damage in MCF10A cells, promoted proliferation in both cell lines during clonogenic assay, as well as caused activation of biotransformation genes (AHR, GSTA4) in MCF10A cells, repression (CYP1B1, GSTA4) genes in HaCaT cells and lowered expression of inflammation genes (IL1a, IL1b, PTGES, IFNGR1). Chlorpyrifos did not have genotoxic effect and did not affect clonogenicity but caused induction of biotransformation (CYP1A1, CYP1B1), inflammation (IL1b, PTGES) genes, and genes BCL2 and DNMTs. Mancozeb and thiram did not show genotoxicity in HaCaT and MCF10A cells but activated individual repair genes (ATR/ATM). Thiram stimulated HaCaT cell proliferation in clonogenic assay, and mancozeb activated expression of proliferation regulation genes (CCND2, CCNE1, Ki-67) but did not affect colony growth; both fungicides decreased expression of inflammation genes (COX2, IL1a, IL1b). Pendimethalin caused DNA damage and activation of repair genes (ATR, GADD45a, PCNA) in both cell lines, as well as decreased expression of GLUT3 in HaCaT cells and CYP1B1 in MCF10A cells.

**Conclusion.** In this study, we performed a comprehensive assessment of the effects of pesticides on normal human cells. Our results indicate that pendimethalin, chlorpyrifos, and carbaryl exert the most procarcinogenic effect.

**Keywords:** pesticide, carcinogenesis, carbaryl, chlorpyrifos, mancozeb, thiram, pendimethalin

**For citation:** Lylova E.S., Popova V.G., Zimin K.A. et al. Molecular effects of the pesticides carbaryl, chlorpyrifos, mancozeb, thiram, and pendimethalin in conditionally normal cells *in vitro*: genotoxicity, clonogenicity and effects on the expression of genes associated with carcinogenesis. Uspekhi molekulyarnoy onkologii = Advances in Molecular Oncology 2025;12(3):116–31. (In Russ.).

DOI: https://doi.org/10.17650/2313-805X-2025-12-3-116-131

# **ВВЕДЕНИЕ**

Злокачественные новообразования (ЗНО) и ассоциированная с ними смертность представляют значительную проблему в современном обществе. В настоящее время в мире наблюдается повышение заболеваемости ЗНО, связанное как с совершенствованием диагностики и увеличением продолжительности жизни, так и с воздействием неблагоприятных факторов окружающей среды, а также курением, ожирением и употреблением алкоголя [1]. По прогнозам Международного агентства по изучению рака (МАИР), к 2045 г. заболеваемость ЗНО может вырасти в 1,5 раза — до 35 млн случаев в год [2].

В начале XXI века глобальной проблемой стало воздействие стойких органических загрязнителей на природные экосистемы [3]. Высокая степень био-

аккумуляции, способность распространяться на большие расстояния, а также негативное влияние на биоразнообразие стали причиной подписания в 2001 г. Стокгольмской конвенции о стойких органических загрязнителях, ограничивающей производство и применение ряда промышленных химикатов и нескольких пестицидов (таких как дихлордифенилтрихлорэтан (ДДТ), токсафен, гептахлор, альдрин и др.) [4]. С 2001 г. МАИР классифицировало как вероятные канцерогены (группа 2а) пестициды глифосат, малатион, тетрахлорвинфос, ДДТ, паратион и как возможные канцерогены (группа 2b) соединения паракват, перметрин, бифентрин и 2,4-дихлорфеноксиуксусную кислоту [5].

В настоящее время в мире зарегистрированы более 800 активных соединений, используемых в составе

<sup>&</sup>lt;sup>1</sup>N.N. Blokhin National Medical Research Center of Oncology, Ministry of Health of Russia; 24 Kashirskoe Shosse, Moscow 115522, Russia;

<sup>&</sup>lt;sup>2</sup>Pirogov Russian National Research Medical University, Ministry of Health of Russia; Bld. 6, 1 Ostrovityanova St., Moscow 117513, Russia;

<sup>&</sup>lt;sup>3</sup>Lomonosov Moscow State University, 27/1 Lomonosovsky Prospekt, Moscow 119192, Russia;

<sup>&</sup>lt;sup>4</sup>Peoples' Friendship University of Russia; 6 Miklukho-Maklaya St., Moscow 117198, Russia

коммерческих пестицидов [6]. При этом классификация МАИР включает всего около 20 пестицидов, что составляет менее 2 % от общего количества используемых агентов. Это свидетельствует об ограниченности имеющихся данных по канцерогенности пестицидов.

С 2015 г. МАИР начало активно включать пестициды в списки приоритетных соединений для исследования канцерогенных эффектов. Актуальный перечень пестицидов с наиболее высоким приоритетом для исследований включает такие агенты, как карбарил, перметрин, циперметрин, малатион, фонофос, метилтетрапрол, проквиназид, манкоцеб, тирам, винклозолин, хлорпирифос, тебуконазол, тербуфос, хлордекон, алахлор, пендиметалин, бифенил, бифентрин, атразин и другие триазиновые пестициды, пиретрины и пиретроиды, этилендитиокарбаматы и неоникотиноидные пестициды [7]. Многие из перечисленных соединений относятся к группе 3 (агенты, не классифицируемые в отношении канцерогенности для человека из-за ограниченности данных), канцерогенность остальных соединений МАИР не оценивало.

В 2017 г. для адекватного анализа и интерпретации механистических данных при классификации ксенобиотиков по канцерогенности МАИР сформулированы 10 ключевых характеристик канцерогенного агента, включающих: 1) электрофильность соединения или его метаболитов; 2) генотоксичность; 3) способность изменять репарацию или вызывать геномную нестабильность; 4) способность вызывать изменения в эпигенетической регуляции транскрипции; 5) способность к индукции окислительного стресса; 6) способность вызывать хроническое воспаление; 7) способность оказывать иммуносупрессивную активность; 8) способность модулировать рецептор-опосредованные эффекты; 9) способность вызывать иммортализацию; 10) способность влиять на активность пролиферации клеток, их гибели и питания [8].

Для некоторых пестицидов из списка приоритетов МАИР на отдельных моделях *in vivo* и *in vitro* исследована их способность повреждать ДНК, вызывать оксидативный стресс, нарушая баланс между образованием активных форм кислорода (АФК) и антиоксидантной защитой, влиять на пролиферацию, а также на различные рецепторы [9—11]. Однако в опубликованных исследованиях представлены ограниченные данные о воздействии перечисленных пестицидов на нормальные клетки человека, что затрудняет понимание молекулярных эффектов и оценку риска развития ЗНО.

В этом исследовании основное внимание уделено 5 пестицидам, которые широко используются на территории России и стран Содружества Независимых Государств: карбарилу (Car), хлорпирифосу (CPF), манкоцебу (MZ), тираму (Thir) и пендиметалину (PM).

Карбарил — карбаматный инсектицид, отнесенный МАИР к группе 3. С 2006 г. его применение ограничено в странах Европейского союза (ЕС) [12]. Эпи-

демиологические данные свидетельствуют об ассоциации воздействия Саг с высоким риском развития множественной миеломы, меланомы, опухолей центральной нервной системы (ЦНС) и, возможно, неходжкинских лимфом [13—16]. В опытах *in vivo* канцерогенность этого агента выявлялась только в сочетании с промотором канцерогенеза 12-О-тетрадеканоилфорбол-13-ацетатом (ТРА) [17]. Метаболиты Саг ассоциированы с повреждением ДНК в сперме человека [18].

Хлорпирифос – фосфорорганический инсектицид, относящийся к группе 3 по классификации МАИР. Его применение ограничено в США и ЕС, но широко используется в странах Азии, включая Индию [19]. Сообщалось о высоком риске развития рака легкого у работников сельского хозяйства, интенсивно применявших СРГ, а также об увеличении риска возникновения рака молочной железы у женщин, подвергавшихся воздействию этого агента [20, 21]. СРГ оказывал эндокринно-дестабилизирующее действие in vivo, которое выражалось в повышении частоты возникновения доброкачественных новообразований, усилении экспрессии прогестерона, а также уменьшении уровня корепрессоров рецептора эстрогенов (ER). Метаболиты CPF могут взаимодействовать с ERα, связываясь аналогично природным лигандам [22, 23].

Манкоцеб и Thir — контактные фунгициды из группы дитиокарбаматов, ранее не оценивавшиеся в монографиях МАИР. Их применение ограничено в ЕС. Согласно эпидемиологическим данным, связи между воздействием МZ, Thir и риском развития неходжкинских лимфом или рака мочевого пузыря не обнаружено [24, 25]. Однако отмечена ассоциация между использованием МZ и высоким риском развития меланомы, опухолей ЦНС и хронического миелоидного лейкоза у фермеров [26—28].

Пендиметалин — гербицид из группы динитроанилинов, который ранее не оценивался МАИР [29]. Согласно эпидемиологическим данным, отмечено повышение риска развития рака прямой кишки и поджелудочной железы у фермеров, использующих этот агент [30, 31].

**Цель исследования** — изучение молекулярных эффектов пестицидов Car, CPF, MZ, Thir и пендиметалина на модели условно-нормальных человеческих клеток НаСаТ и MCF10A, способности этих соединений вызывать повреждения ДНК, их влияния на способность клеток к колониобразованию и действия на экспрессию генов, ассоциированных с канцерогенезом.

# МАТЕРИАЛЫ И МЕТОДЫ

**Культивирование клеток.** В качестве моделей для исследования выбраны условно-нормальные клеточные линии HaCaT (линия иммортализованных кератиноцитов человека) и MCF10A (клетки доброкачественной кисты молочной железы), полученные из биоколлекции Национального медицинского исследовательского центра онкологии им. Н.Н. Блохина.

Клетки НаСаТ культивировали в среде ДМЕМ, содержащей 50 ед/мл стрептомицина, 50 мкг/мл пенициллина, 2 мМ L-глутамина (все — «ПанЭко», Россия), 10 % эмбриональной телячьей сыворотки (FBS; Biosera, Франция) при 37 °С в присутствии 5 % СО<sub>2</sub>. Клетки МСF10А культивировали в среде DМЕМ/F12 («ПанЭко», Россия) с добавлением 1 мМ L-глутамина, 50 ед/мл стрептомицина и 50 мкг/мл пенициллина, 5 % лошадиной сыворотки (Biowest, Франция), 20 нг/мл эпидермального фактора роста (ProSpec, Израиль), 10 мкг/мл инсулина («ПанЭко», Россия), 0,5 мг/мл гидрокортизона и 100 нг/мл холерного токсина (оба — Sigma-Aldrich, США).

**Химические соединения.** В исследовании использованы следующие соединения: Car (CAS: 63-25-2), CPF (CAS: 2921-88-2), MZ (CAS: 8018-01-7), Thir (CAS: 137-26-8), PM (CAS: 40487-42-1), 3-метилхолантрен (MCA) CAS: 56-49-5), TPA CAS: 16561-29-8) (все — Sigma-Aldrich, США). CPF, PM и MCA растворяли в ацетоне, Car и Thir — в метаноле, MZ и TPA — в диметилсульфоксиде (ДМСО). Рабочие растворы всех агентов готовили в ДМСО. Концентрация растворителей в среде составила 0,02 %, ДМСО — 0,2 %.

Определение нетоксичных концентраций с помощью МТТ-теста. Клетки высевали в 96-луночные планшеты (SPL Life Sciences, Корея) по  $5 \times 10^3$  клеток в лунку, после прикрепления к подложке обрабатывали серийными разведениями пестицидов (50 мкМ — 24,4 нМ для МZ, СРF, РМ и Саг; 0,5 мкМ — 0,24 нМ для Thir). Через 72 ч добавляли 3-[4,5-диметилтиазол-2-ил]-2,5-дифенилтетразолия бромид (Alfa Aesar, Германия; конечная концентрация 250 мкг/мл), через 4 ч отбирали среду и растворяли кристаллы формазана в 100 мкл ДМСО («ПанЭко», Россия). Оптическую плотность раствора определяли с помощью Multiscan Sky (Thermo Fisher Scientific, США) при длине волны 570 нм. Эксперимент проводили не менее 3 раз.

Анализ генотоксического действия пестицидов методом ДНК-комет. Клетки НаСаТ высевали в 24-луночные планшеты (SPL Life Sciences, Корея) по  $50 \times 10^3$  клеток в лунку, MCF10A — по  $60 \times 10^3$  клеток в лунку, после прикрепления к подложке обрабатывали клетки пестицидами, а также растворителями в соответствующих концентрациях (отрицательный контроль). В качестве положительного контроля использовали Н<sub>2</sub>О<sub>2</sub> (0,08 %, 20 мин). Через 48 ч клетки снимали с подложки, промывали натрий-фосфатным буфером (PBS) («ПанЭко», Россия), растворяли в 0,7 % легкоплавкой агарозе (1:8 v/v; 37 °C; «ПанЭко», Россия) и наносили на слайд. После застывания агарозы осуществляли лизис клеток (1 ч, 4 °C), затем денатурирующую инкубацию в щелочном растворе (30 мин, 4 °C). Далее слайды промывали и проводили электрофорез в буфере ТВЕ (30 мин, 1 В/см). По окончании электрофореза слайды промывали дистиллированной водой, инкубировали с охлажденным 70 % этанолом и окрашивали раствором красителя SYBR Gold (Invitrogen, США)

в буфере ТЕ («Евроген», Россия) с конечной концентрацией 1:10 000.

Анализ проводили с помощью инвертированного флуоресцентного микроскопа Axio Observer (Carl Zeiss, Германия) при увеличении 100х. Количество поврежденной ДНК оценивали по моменту хвоста, представляющему произведение длины хвоста и количества мигрировавшей ДНК [32]. Данные обрабатывали с помощью программного обеспечения Comet Score. Эксперимент проводили не менее 3 раз.

Анализ влияния пестицидов на способность клеток образовывать колонии. Клетки HaCaT и MCF10A высевали в чашки Петри (диаметр -60 мм) (SPL Life Sciences, Корея) по  $3 \times 10^3$  клеток. Через 24 ч клетки обрабатывали пестицидами и TPA. Далее каждые 72 ч проводили замену среды на свежую с обработкой исследуемыми агентами и растворителями в течение 12 дней. По завершении эксперимента колонии фиксировали метанолом и окрашивали  $0,5\,\%$  раствором кристаллического фиолетового (Merck, Германия).

Данные обрабатывали с помощью программного обеспечения ImageJ с плагином ColonyArea [33]. Эксперимент проводили не менее 3 раз.

Анализ влияния пестицидов на экспрессию генов, ассо**циированных с канцерогенезом.** Клетки HaCaT и MCF10A высевали в чашки Петри (диаметр = 60 мм) по  $250 \times 10^3$ и  $350 \times 10^3$  клеток соответственно. Через 24 ч клетки обрабатывали пестицидами, МСА, ТРА и инкубировали 72 ч. Суммарную РНК экстрагировали с помощью реагента ExtractRNA («Евроген», Россия) по протоколу производителя с последующей обработкой ДНКазой I («Синтол», Россия) и переосаждением. Далее проводили синтез комплементарной ДНК с использованием декануклеотидных праймеров Random со случайной последовательностью («Евроген», Россия) и ММLV-ревертазы («Евроген», Россия) на амплификаторе ТП4-ПЦР-01-Терцик («ДНК-технология», Россия) по следующему протоколу: 37 °C — 35 мин:  $70 \,^{\circ}\text{C} - 10 \,\text{мин}$ .

Для проведения полимеразной цепной реакции (ПЦР) в реальном времени использовали амплификатор CFX Connect Real-Time PCR (Bio-Rad, CША), в качестве регистрируемого сигнала выступала флуоресценция интеркалятора SYBR Green I («Евроген», Россия). Проводили 40 циклов ПЦР (15 с – 95 °C; 20 с – 58 °C; 25 с – 72 °C). Для анализа экспрессии генов использовали запатентованную панель праймеров, разработанную отделом химического канцерогенеза Научно-исследовательского института канцерогенеза Национального медицинского исследовательского центра онкологии им. Н.Н. Блохина» в рамках выполнения кластерного проекта 121120100382-1.

В качестве контрольных генов сравнения использованы ген фактора элонгации 1 альфа 1 (elongation factor 1 alpha 1) EF1A1 и ген рибосомального белка P0 (60S acidic ribosomal protein P0) RPLP0. Эксперимент проводили не менее 5 раз.

Статистический анализ. Статистическую обработку данных осуществляли с помощью программного обеспечения MS Excel и GraphPad Prism 8.3.0. Для оценки нормальности распределения данных использовали критерий Шапиро—Уилка, для определения нетоксичных концентраций пестицидов в МТТ-тесте — метод нелинейной регрессии. В тесте ДНК-комет выбросы в наборах данных определяли с помощью правила межквартильного размаха, статистически значимые различия относительно отрицательного контроля — с использованием непараметрического критерия Краскела—Уоллиса с тестом множественного сравнения Данна. В остальных экспериментах для поиска выбросов применяли метод ROUT (Q = 1 %).

В ходе анализа на клоногенность значимость статистических различий относительно отрицательного контроля оценивали с помощью однофакторного теста ANOVA с использованием апостериорного теста Шидака. Изменения уровней экспрессии исследуемых генов при действии пестицидов рассчитывали с применением метода  $2^{-\Delta\Delta Ct}$  [34]. Для оценки статистической значимости различий применяли двухфакторный тест ANOVA с использованием критерия Даннетта. Во всех экспериментах различия между группами считались значимыми при p < 0,05.

# **РЕЗУЛЬТАТЫ**

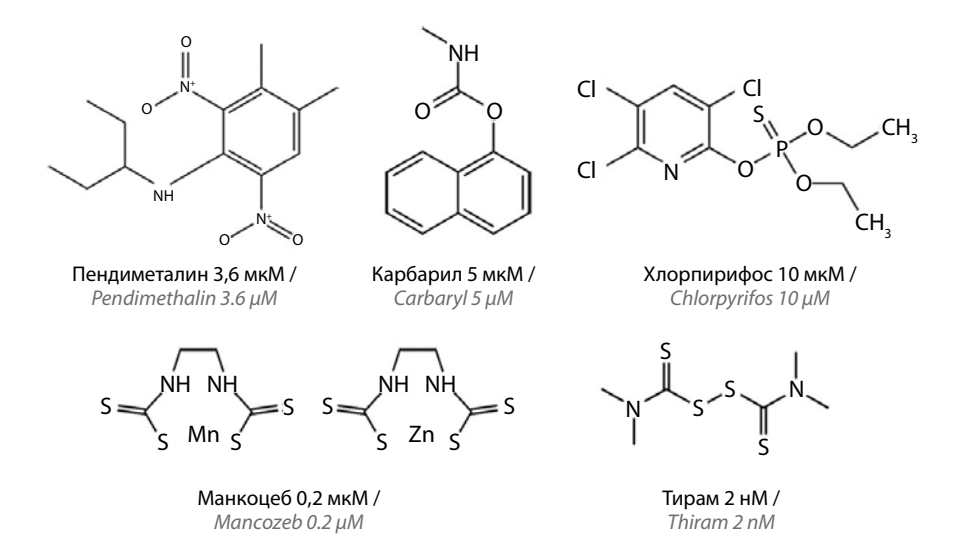
Влияние пестицидов сравнивали с действием индуктора канцерогенеза МСА и промотором канцерогенеза ТРА. МСА относится к группе 1 по классификации МАИР (доказана канцерогенность для людей) и широко используется для изучения химического канцерогенеза [35, 36]. ТРА не классифицирован МАИР, однако была показана его способность вызывать развитие опухолей в двухэтапной модели канцерогенеза через активацию протеинкиназы С [37, 38].

**Определение нетоксичных концентраций.** С помощью МТТ-теста определены максимальные нетоксичные концентрации пестицидов в клетках HaCaT и MCF10A (рис. 1).

Анализ генотоксичности пестицидов. На данном этапе исследования проведен анализ генотоксического действия пестицидов методом ДНК-комет. После обработки клеток НаСаТ исследуемыми пестицидами не было зарегистрировано статистически значимого изменения момента хвоста комет относительно действия растворителей, его медианы не превышали  $1,8 \times 10^{-2}$  (рис. 2, a).

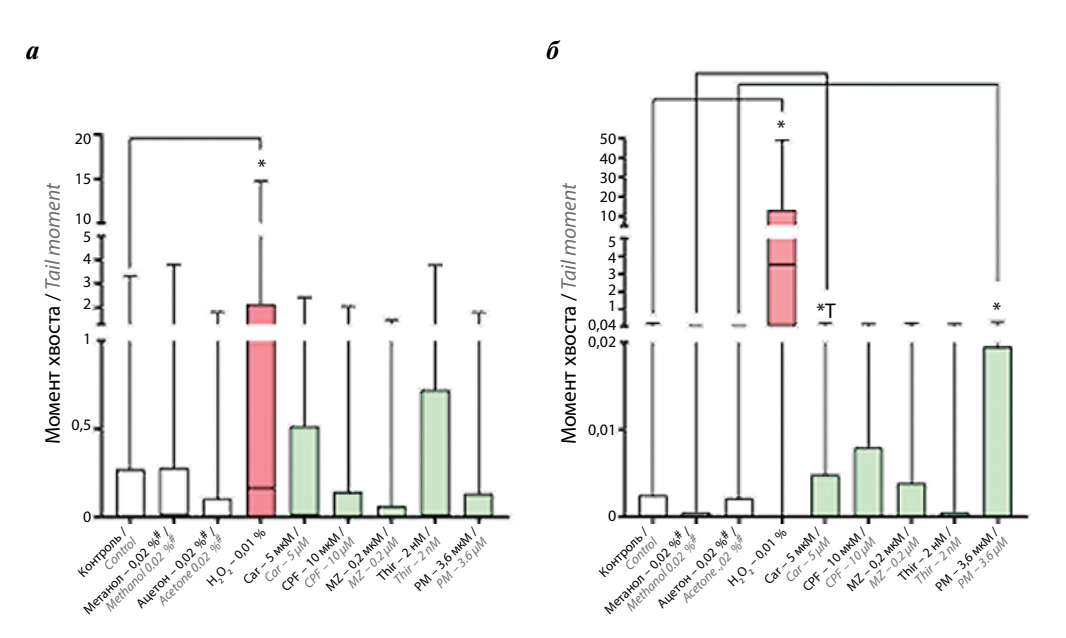
В клетках МСF10A обнаружены значимое увеличение момента хвоста при действии РМ (p=0,035), а также тенденция к его увеличению для Саг (p=0,054) (см. рис. 2,  $\delta$ ). Медиана момента хвоста ( $Q_1$ ;  $Q_3$ ) для РМ составила  $3.7 \times 10^{-5}$  (0; 0,019), что превысило значение для ацетона в 2 раза ( $1.9 \times 10^{-5}$  (0; 0,002), по среднему значению — в 3 раза. При действии Саг медиана ( $Q_1$ ;  $Q_3$ ) момента хвоста оказалась равной  $2.4 \times 10^{-5}$  (0; 0,005), что превысило значение для метанола ( $7.5 \times 10^{-6}$  (0; 0,0006)) в 3 раза, по среднему значению — в 2.5 раза. Отметим, что клетки НаСаТ были менее чувствительны к действию положительного контроля ( $H_2O_2$ ): медиана момента хвоста была меньше более чем в 20 раз.

Анализ влияния пестицидов на способности клеток образовывать колонии. Далее с помощью клоногенного анализа была изучена способность пестицидов изменять пролиферативный потенциал клеток и оказывать трансформирующее действие. Изменение способности клеток к колониобразованию оценивали при постоянном действии пестицидов в течение 14 дней по проценту площади, взвешенному по интенсивности окрашивания колоний. Отмечено статистически значимое повышение данного показателя — в 1,4 и 2,6 раза при действии Саг в клетках HaCaT (рис. 3, a) и MCF10A (см. рис. 3, b) соответственно, а также в 1,7 раза при действии Thir в клетках baccuta



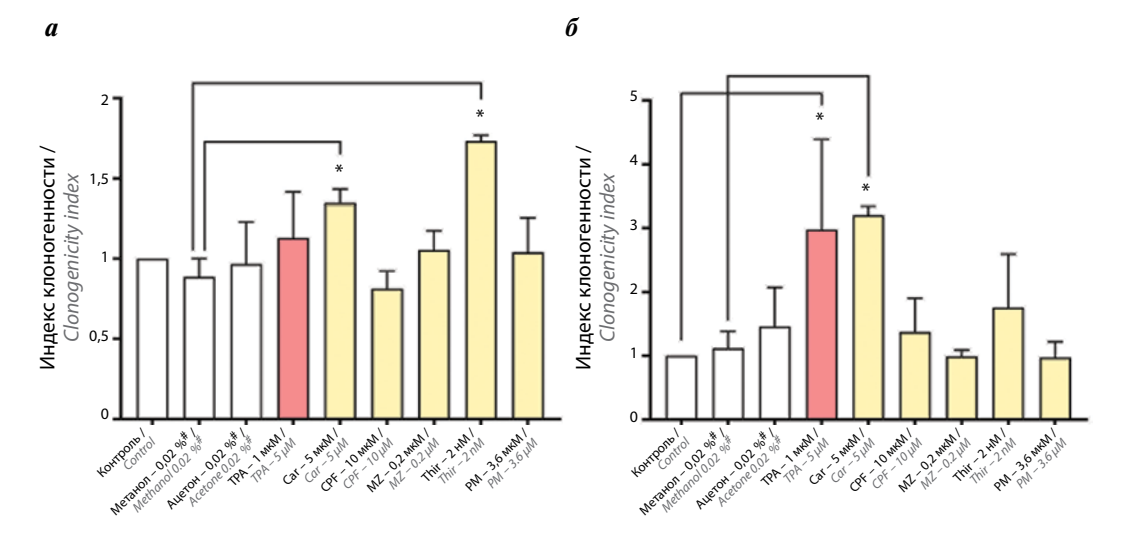
**Рис. 1.** Химические формулы и максимальные концентрации пестицидов, анализируемых в исследовании Fig. 1. Chemical formulas and maximal concentrations of pesticides analyzed in the study

S



**Рис. 2.** Результаты анализа генотоксического действия пестицидов на клетки HaCaT(a) и MCF10A(6). Экспозиция к агентам составила 48 ч. Результаты представлены как медиана (25-й квартиль; 75-й квартиль). Контроль — интактные клетки. \* — рабочие стоки пестицидов и растворителей готовили в диметилсульфоксиде, концентрация в среде составила 0,2%; \* — различия статистически значимы относительно отрицательного контроля (по растворителю) (p < 0,05); \* — тенденция к статистически значимому отличию от отрицательного контроля (растворителя) (p < 0,05). \* Са\* — карбарил; \* CPF — хлорпирифос; \* МZ — манкоцеб; \* Thir — тирам; \* PM — пендиметалин \* Fig. 2. Results of analysis of genotoxic effect of pesticides on \* HaCa\* (\* and \* MCF10A(\*6) cells. Exposition time was \*8 \*8. Results are presented as median

Fig. 2. Results of analysis of genotoxic effect of pesticides on HaCaT (a) and MCF10A (b) cells. Exposition time was 48 h. Results are presented as median ( $25^{\text{th}}$  quartile;  $75^{\text{th}}$  quartile). Control is intact cells. # — working solutions of pesticides and solvents were prepared in dimethyl sulfoxide, concentration in the medium was 0.2%; \* — differences are statistically significant relative to negative control (solvent) (p < 0.05); \*T — trend towards statistically significant difference from negative control (solvent) (p < 0.05). Car — carbaryl; CPF — chlorpyrifos; MZ — mancozeb; Thir — thiram; PM — pendimethalin



**Рис. 3.** Результаты анализа влияния пестицидов на способность клеток HaCaT(a) и MCF10A(b) образовывать колонии. Экспозиция к агентам составила 14 дней. Результаты представлены как среднее значение  $\pm$  стандартное отклонение. Контроль — интактные клетки.  $\pm$  — рабочие стоки пестицидов и растворителей готовили в диметилсульфоксиде, концентрация в среде составила 0.2%;  $\pm$  — различия статистически значимы относительно отрицательного контроля (по раствортелю) (p < 0.05).  $Car - \kappa$  арбарил;  $CPF - \kappa$  дорпирифос;  $MZ - \kappa$  манкоцеб; Thir - mupam; PM - nendumemanun; TPA - 12 - O-тетрадеканоилфорбол-13-ацетат

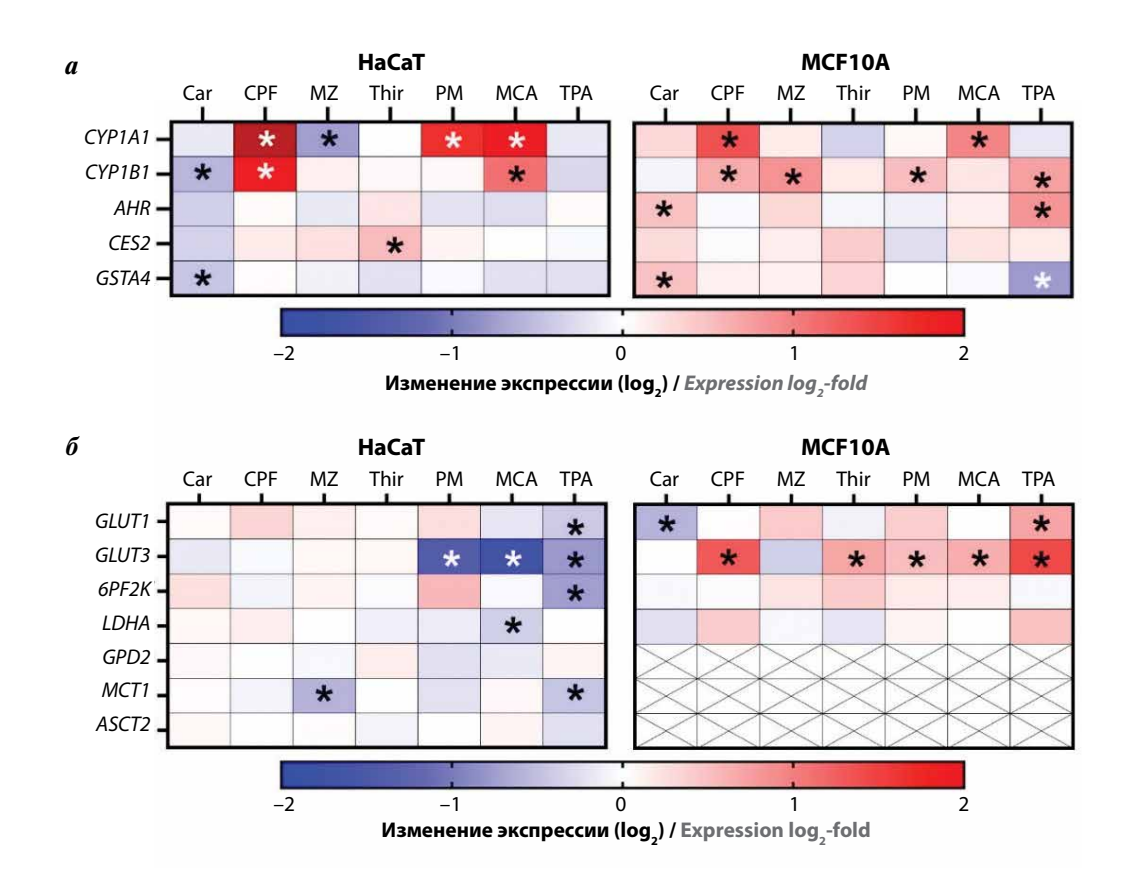
Fig. 3. Results of analysis of the effect of pesticides on the ability of HaCaT (a) and MCF10A (b) cells to form colonies. Exposure time was 14 days. Results are presented as mean  $\pm$  standard deviation. Control is intact cells.  $\pm$  working solutions of pesticides and solvents were prepared in dimethyl sulfoxide, concentration in the medium was 0.2 %;  $\pm$  differences are statistically significant relative to negative control (solvent) ( $\pm$  0.05). Car – carbaryl; CPF – chlorpyrifos;  $\pm$  MZ – mancozeb; Thir – thiram; PM – pendimethalin; TPA – 12 -O-tetradecanoylphorbol-13-acetate

Действие агентов сравнивали с промотором канцерогенеза ТРА. Клетки НаСаТ были менее чувствительны к действию ТРА, в то время как в клетках МСF10A детектировано повышение числа и интенсивности колоний (в 3 раза).

Анализ влияния пестицидов на гены, ассоциированные с канцерогенезом. Влияние пестицидов оценивали по изменению уровня экспрессии генов биотрансформации, метаболизма, пролиферации, репарации, окислительного стресса, воспаления, апоптоза, инвазии и метастазирования, а также эпигенетической регуляции. Эффекты пестицидов сравнивали с действием индуктора и промотора канцерогенеза — 3-метилхолантрена (МСА) и ТРА соответственно.

**Биотрансформация и метаболизм.** Канцероген MCA активировал экспрессию генов цитохрома P450 *CYP1A1* и *CYP1B1*, промотор канцерогенеза TPA не влиял на гены в HaCaT, но повышал уровень мPHK *CYP1B1* и *AHR* в MCF10A (рис. 4, a).

Пестицилы СРF и РМ лействовали так же. как МСА, вызывая индукцию генов СҮР1А1 и СҮР1В1 в клетках HaCaT и MCF10A. Для Car зарегистрированы слабое понижение генов биотрансформации в клетках НаСаТ и слабая активация - в клетках MCF10A. При действии MZ выявлено снижение экспрессии гена СҮР1А1 в НаСаТ и повышение экспрессии гена СҮР1В1 в МСF10А. Клетки НаСаТ реагировали на обработку канцерогенами снижением экспрессии генов метаболизма глюкозы GLUT1, GLUT3, 6PF2K, LDHA и MCT1 (см. рис. 4,  $\delta$ ), в то время как в клетках MCF10A зарегистрировано повышение экспрессии генов GLUT1 и GLUT3. Все исследуемые пестициды оказывали влияние на гены метаболизма глюкозы. В клетках НаСаТ выявлено снижение экспрессии генов *GLUT3* и *MCT1* под действием PM и MZ соответственно, в клетках MCF10A Car ингибировал экспрессию GLUT1, a CPF, Thir и PM повышали уровень мРНК гена GLUT3.



**Рис. 4.** Результаты анализа влияния пестицидов, 3-метилхолантрена (MCA) и 12-О-тетрадеканоилфорбол-13-ацетата (TPA) на экспрессию генов, ассоциированных с биотрансформацией ксенобиотиков (а) и метаболизмом (б) в клетках НаСаТ и MCF10A. Зачеркиванием обозначено, что экспрессию гена не оценивали. Экспозиция к агентам составила 72 ч. Результаты полимеразной цепной реакции в реальном времени выражены через  $\log_x *$  — различия статистически значимы относительно отрицательного контроля (р <0,05). Car — карбарил; CPF — хлорпирифос; MZ — манкоцеб; Thir — тирам; PM — пендиметалин

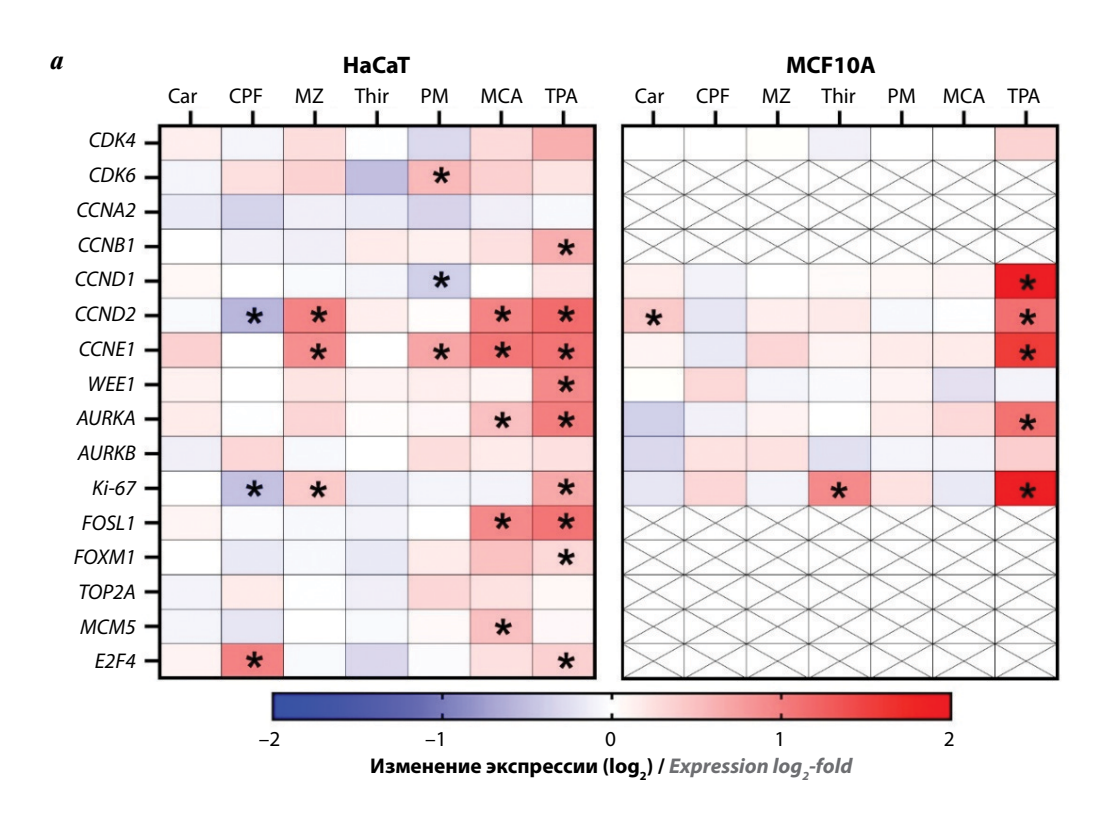
Fig. 4. Results of analysis of the effect of pesticides, 3-methylcholanthrene (MCA) and 12-O-tetradecanoylphorbol-13-acetate (TPA) on expression of genes associated with xenobiotic biotransformation (a) and metabolism (6) in HaCaT and MCF10A cells. Crossing out denotes that gene expression was not evaluated. Exposure time was 72 h. Results of real-time polymerase chain reaction are presented as  $\log_x *-$  differences are statistically significant relative to negative control (p < 0.05). Car - carbaryl; CPF - chlorpyrifos; MZ - mancozeb; Thir - thiram; PM - pendimethalin

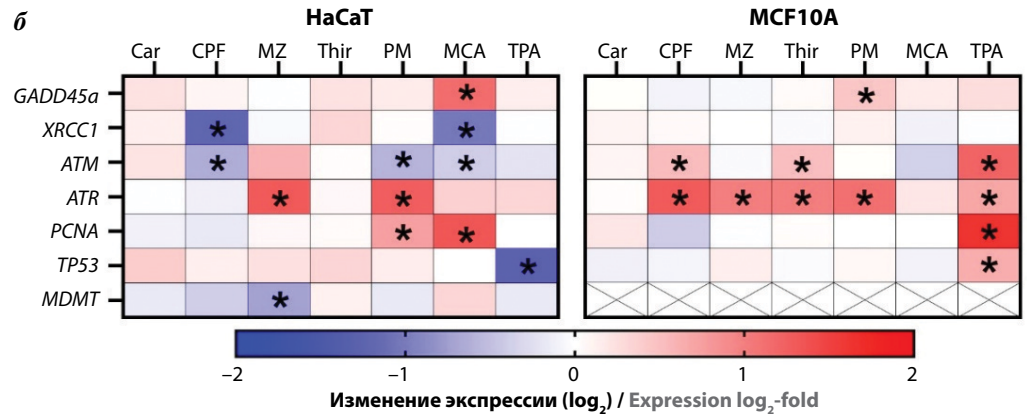
**Пролиферация и репарация.** Канцероген МСА вызывал индукцию генов пролиферации *CCND2*, *CCNE1*, *AURKA*, *FOSL1* и *MCM5* в клетках HaCaT и не влиял на экспрессию генов в клетках MCF10A, в свою очередь, TPA вызывал сильную индукцию генов пролиферации (*CCND1*, *CCND2*, *CCNE1*, *Ki*-67, *AURKA*, *FOSL1* и *FOXM1*) в клетках обеих линий (рис. 5. *a*).

Пестицид СРF вызывал слабое снижение экспрессии генов *CCND2*, *Ki-67* и индуцировал экспрессию

гена *E2F4*. Для MZ показано повышение экспрессии генов *CCND2*, *CCNE1* и *Ki-67*, PM незначительно повышал экспрессию генов *CDK6* и *CCNE1* и снижал экспрессию гена *CCND1*. В клетках MCF10A детектирована слабая активация генов *CCND2* и *Ki-67* при действии Car и Thir соответственно.

Экспрессия генов репарации при действии исследуемых агентов различалась в клетках HaCaT и MCF10A. В клетках HaCaT MCA активировал экспрессию генов





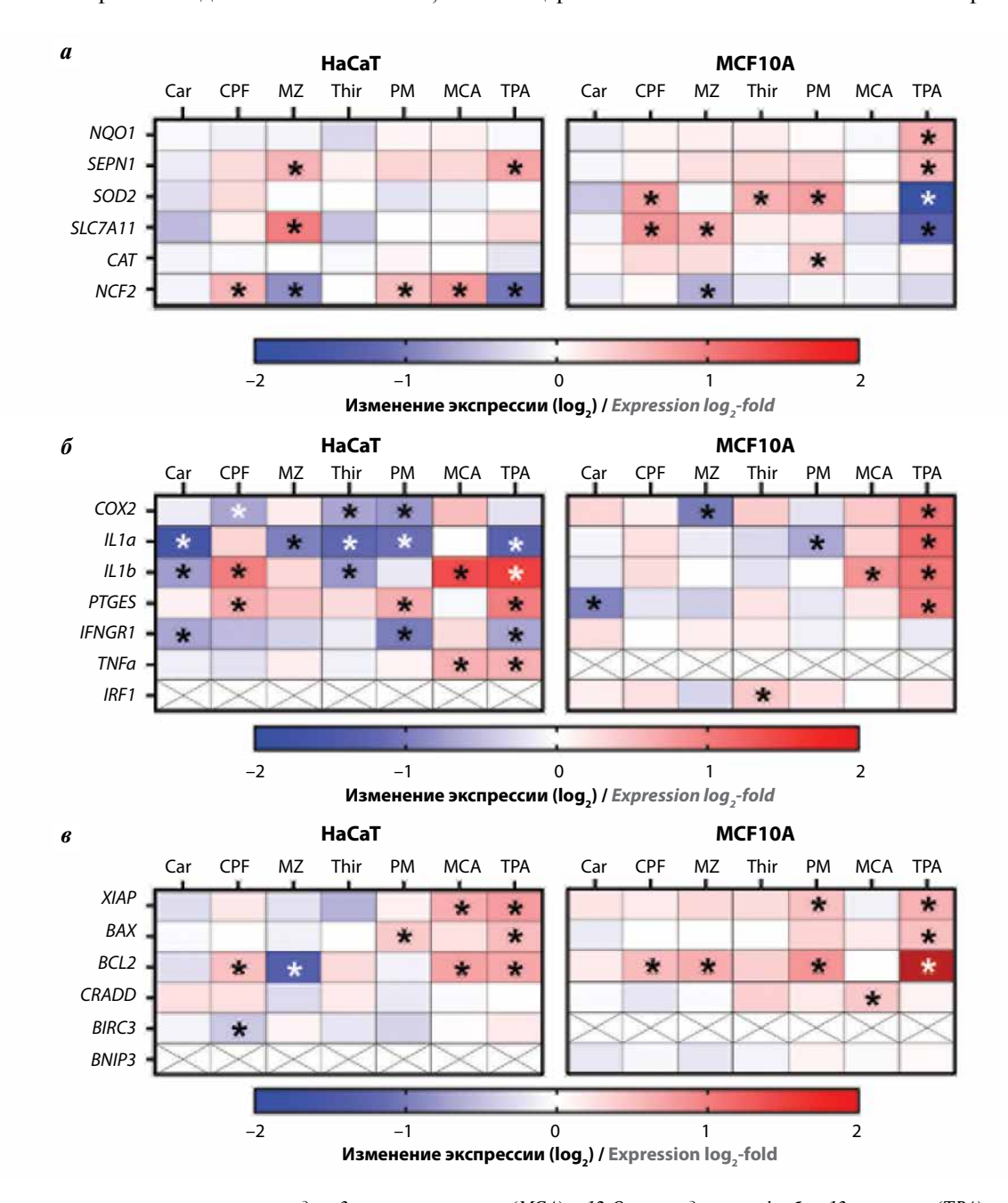
**Рис. 5.** Результаты анализа влияния пестицидов, 3-метилхолантрена (MCA) и 12-О-тетрадеканоилфорбол-13-ацетата (TPA) на экспрессию генов, ассоциированных с пролиферацией (а) и репарацией (б) в клетках HaCaT и MCF10A. Зачеркиванием обозначено, что экспрессию гена не оценивали. Экспозиция к агентам составила 72 ч. Результаты полимеразной цепной реакции в реальном времени выражены через log2. \* — различия статистически значимы относительно отрицательного контроля (p < 0,05). Car - карбарил; CPF - хлорпирифос; MZ - манкоцеб; Thir - тирам; PM - пендиметалин

Fig. 5. Results of analysis of the effect of pesticides, 3-methylcholanthrene (MCA) and 12-O-tetradecanoylphorbol-13-acetate (TPA) on expression of genes associated with proliferation (a) and repair (6) in HaCaT and MCF10A cells. Crossing out denotes that gene expression was not evaluated. Exposure time was 72 h. Results of real-time polymerase chain reaction are presented as  $\log 2$ . \* — differences are statistically significant relative to negative control (p < 0.05). Car — carbaryl; CPF — chlorpyrifos; MZ — mancozeb; Thir — thiram; PM — pendimethalin

GADD45a и PCNA и подавлял экспрессию генов XRCC1 и ATM, в клетках MCF10A наблюдалось отсутствие эффектов; TPA снижал экспрессию генов TP53 в клетках HaCaT и активировал гены ATM, ATR, PCNA и TP53 в клетках MCF10A (рис. 5,  $\delta$ ). Пестициды CPF и PM в клетках HaCaT действовали так же, как и MCA: в первом случае происходила репрессия генов XRCC1 и ATM, а во втором — подавление генов ATM, ATR

и активация гена PCNA. MZ активировал ген ATR и снижал экспрессию гена MGMT. В клетках MCF10A агенты CPF, MZ, Thir и PM активировали ген ATR, PM также слабо повышал экспрессию гена GADD45a, а CPF и Thir — гена ATM. Пестицид Car не влиял на экспрессию генов репарации.

**Окислительный стресс, воспаление и апоптоз.** Канцероген МСА не вызывал изменения экспрессии генов



**Рис. 6.** Результаты анализа влияния пестицидов, 3-метилхолантрена (MCA) и 12-О-тетрадеканоилфорбол-13-ацетата (TPA) на экспрессию генов, ассоциированных с окислительным стрессом (а), воспалением (б) и апоптозом (в) в клетках HaCaT и MCF10A. Зачеркиванием обозначено, что экспрессию гена не оценивали. Экспозиция к агентам составила 72 ч. Результаты полимеразной цепной реакции в реальном времени выражены через  $\log_x *$  — различия статистически значимы относительно отрицательного контроля (р <0,05). Car — карбарил; CPF — хлорпирифос; MZ — манкоцеб; Thir — тирам; PM — пендиметалин

Fig. 6. Results of analysis of the effect of pesticides, 3-methylcholanthrene (MCA) and 12-O-tetradecanoylphorbol-13-acetate (TPA) on expression of genes associated with oxidative stress (a), inflammation (6) and apoptosis (8) in HaCaT and MCF10A cells. Crossing out denotes that gene expression was not evaluated. Exposure time was 72 h. Results of real-time polymerase chain reaction are presented as  $\log_x *-$  differences are statistically significant relative to negative control (p <0.05). Car - carbaryl; CPF - chlorpyrifos; MZ - mancozeb; Thir - thiram; PM - pendimethalin

окислительного стресса, за исключением активации гена NCF2, необходимого для генерации супероксиданиона (рис. 6, a).

В клетках НаСаТ ТРА вызывал подавление гена *NCF2* и активировал ген *SEPN1*, а в клетках MCF10A активировал антиоксидантные гены *NQO1* и *SEPN1* и снижал уровень экспрессии генов *SOD2* и *SLC7A11*. При действии СРF происходила активация гена *NCF2* в клетках HaCaT и *SOD2*, *SLC7A11* — в клетках MCF10A. Пестицид MZ активировал экспрессию генов *SEPN1* и *SLC7A11* и подавлял ген *NCF2* в обеих клеточных линиях. РМ вызывал повышение уровня экспрессии *NCF2* в клетках HaCaT и активацию антиоксидантных генов *SOD2* и *CAT* в MCF10A.

Все исследуемые агенты влияли на экспрессию генов воспаления. При действии МСА отмечено повышение экспрессии генов *IL1b* и *TNFa* (см. рис. 6,  $\delta$ ). В клетках НаСаТ ТРА активировал экспрессию генов IL1b, PTGES и TNFa, одновременно подавляя IL1a и IFNGR1, а в клетках MCF10A вызывал индукцию генов СОХ2, IL1a, IL1b и PTGES. Обработка Car вызывала снижение уровня экспрессии генов *IL1a*, *IL1b*, IFNGR1 в HaCaT и гена PTGES в MCF10A. При действии СРF происходило повышение уровня экспрессии генов PTGES и IL1b и слабое снижение экспрессии гена СОХ2 в клетках НаСаТ. Пестицид MZ подавлял IL 1a в клетках HaCaT и COX2 в MCF10A, Thir ингибировал экспрессию генов *COX2*, *IL1a*, *IL1b* в клетках НаСаТ и повышал уровень экспрессии гена *IRF1* в MCF10A. В клетках HaCaT агент РМ действовал подобно TPA — подавлял экспрессию генов *COX2*, *IL1a* и IFNGR1 и активировал ген PTGES, в клетках MCF10A — только подавлял экспрессию гена *IL1a*.

Канцероген МСА повышал уровень экспрессии антиапоптотических генов XIAP и BCL2 в HaCaT и активировал проапоптотический ген CRADD в MCF10A

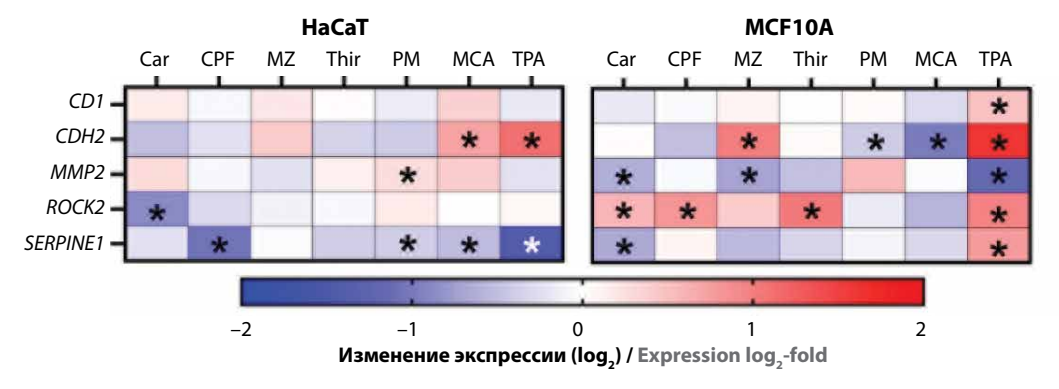
(см. рис. 6, в). В свою очередь, ТРА активировал экспрессию генов XIAP и BCL2 и повышал уровень экспрессии проапоптотического гена BAX. Пестицид СРГ активировал экспрессию BCL2 в обеих линиях и подавлял ген ингибитора апоптоза BIRC3 — в клетках HaCaT. Экспрессия гена BCL2 была понижена в клетках HaCaT и повышена в MCF10A при действии MZ. Пестицид РМ активировал BAX в линии HaCaT и XIAP, BCL2 — в MCF10A.

**Инвазия и метастазирование.** В линии HaCaT MCA и TPA активировали экспрессию гена *CDH2*, а также снижали экспрессию гена *SERPINE1* (рис. 7).

В клетках МСF10A МСА вызывал снижение экспрессии гена *CDH2*, а TPA активировал гены *CDH1*, *CDH2*, *ROCK2* и *SERPINE1* и подавлял ген *MMP2*. Пестицид Саг снижал уровень экспрессии генов *MMP2* и *SERPINE1* в клетках МСF10A, уменьшал экспрессию гена *ROCK2* в клетках НаСаТ и повышал экспрессию в клетках МСF10A. При действии CPF происходила репрессия гена *SERPINE1* в линии HaCaT и активация гена *ROCK2* в МСF10A. МZ в клетках МСF10A повышал уровень экспрессии гена *CDH2* и снижал экспрессию гена *MMP2*. В клетках МСF10A Thir индуцировал экспрессию гена *ROCK2*. В клетках HaCaT PM вызывал слабую активацию гена *MMP2* и подавлял ген *SERPINE1*, в клетках МСF10A активировал *CDH2*.

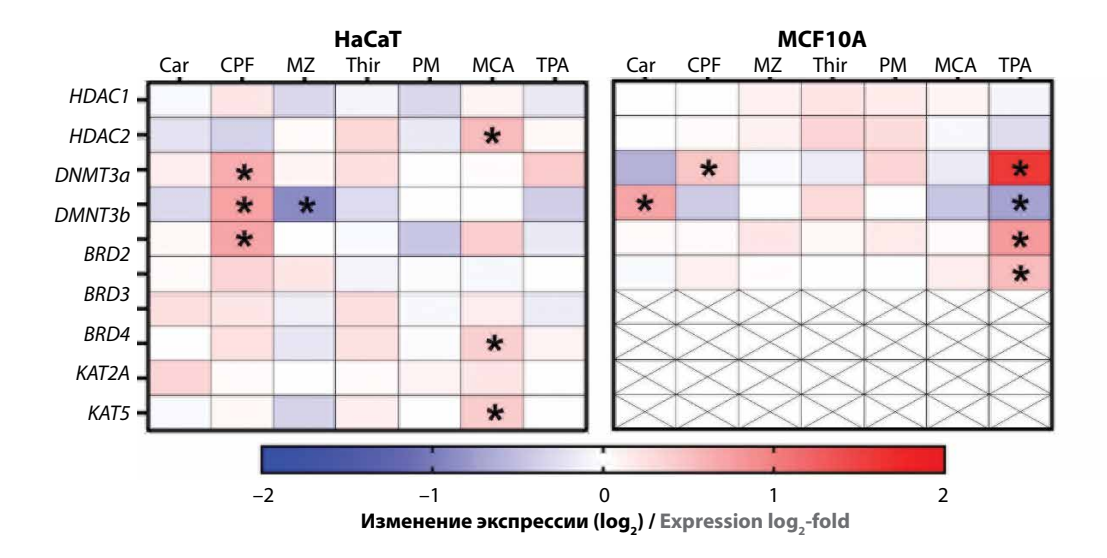
Эпигенетическая регуляция транскрипции. При действии МСА на клетки HaCaT происходило слабое повышение экспрессии генов *HDAC2*, *BRD4* и *KAT5*, при этом в клетках MCF10A влияния этого агента зарегистрировано не было (рис. 8).

Промотор канцерогенеза ТРА влиял на экспрессию генов эпигенетической регуляции только в клетках МСF10A: происходило повышение уровня мРНК генов *DNMT1*, *DNMT3b* и *BRD2* и подавление экспрес-



**Рис. 7.** Результаты анализа влияния пестицидов, 3-метилхолантрена (MCA) и 12-О-тетрадеканоилфорбол-13-ацетата (TPA) на экспрессию генов, ассоциированных инвазией и метастазированием в клетках HaCaT и MCF10A. Экспозиция к агентам составила 72 ч. Результаты полимеразной цепной реакции в реальном времени, выражены через  $\log_x * -$  различия статистически значимы относительно отрицательного контроля (p < 0,05). Car — карбарил; CPF — хлорпирифос; MZ — манкоцеб; Thir — тирам; PM — пендиметалин

Fig. 7. Results of analysis of the effect of pesticides, 3-methylcholanthrene (MCA) and 12-O-tetradecanoylphorbol-13-acetate (TPA) on expression of genes associated with invasion and metastasis in HaCaT and MCF10A cells. Exposure time was 72 h. Results of real-time polymerase chain reaction are presented as  $\log_2 * -$  differences are statistically significant relative to negative control (p < 0.05). Car - carbaryl; CPF - chlorpyrifos; MZ - mancozeb; Thir - thiram; PM - pendimethalin



**Рис. 8.** Результаты анализа влияния пестицидов, метилхолантрена (MCA) и 12-О-тетрадеканоилфорбол-13-ацетата (TPA) на экспрессию генов, ассоциированных с эпигенетической регуляцией транскрипции в клетках HaCaT и MCF10A. Зачеркиванием обозначено, что экспрессию гена не оценивали. Экспозиция к агентам составила 72 ч. Результаты полимеразной цепной реакции в реальном времени выражены через  $\log_x *$  — различия статистически значимы относительно отрицательного контроля, p < 0.05. Car — карбарил; CPF — хлорпирифос; MZ — манкоцеб; Thir — тирам; PM — пендиметалин

Fig. 8. Results of analysis of the effect of pesticides, 3-methylcholanthrene (MCA) and 12-O-tetradecanoylphorbol-13-acetate (TPA) on expression of genes associated with epigenetic transcription regulation in HaCaT and MCF10A cells. Crossing out denotes that gene expression was not evaluated. Exposure time was 72 h. Results of real-time polymerase chain reaction are presented as  $\log_2$ , \* - differences are statistically significant relative to negative control (p < 0.05). Car - carbaryl; CPF - chlorpyrifos; MZ - mancozeb; Thir - thiram; PM - pendimethalin

сии гена *DNMT3a*. Пестициды Car и CPF повышали экспрессию генов *DNMTs*: Car вызывал активацию гена *DNMT3a* в клетках MCF10A, CPF — активацию генов *DNMT1*, *DNMT3a* и *DNMT3b* в клетках HaCaT и гена *DNMT1* в клетках MCF10A. MZ приводил к репрессии гена *DNMT3a* в клетках HaCaT.

# ОБСУЖДЕНИЕ

Настоящее исследование посвящено анализу молекулярных эффектов пестицидов Car, CPF, Thir, MZ и PM, активно применяемых на территории России и стран СНГ.

В тесте ДНК-комет 5 мкМ Саг при 48-часовой экспозиции вызывал небольшое повреждение ДНК в клетках MCF10A при отсутствии значимых эффектов на гены репарации. Будучи ароматическим углеводородом, Car активирует AhR-зависимый сигналинг [39, 40]. Мы отметили активацию генов биотрансформации AHR и GSTA4 в клетках MCF10A и снижение экспрессии *CYP1B1* и *GSTA4* в HaCaT. При этом в исследовании N. Ledirac и соавт. выявили индукцию фермента СҮР1А1 в клетках печени Нер2G и клетках HaCaT при действии 75 мкМ Car [41]. Низкая индукция биотрансформации в нашем исследовании связана, вероятно, с меньшей дозой инсектицида, а снижение экспрессии генов биотранформации в клетках HaCaT – с отрицательной обратной связью [42]. В клоногенном анализе длительное воздействие Саг способствовало усилению пролиферации клеток HaCaT и MCF10A, увеличению числа и размера колоний. В то же время Car не вызывал значимых изменений экспрессии генов пролиферации. Q. Saquib и соавт. показали генотоксичность 1 мМ Саг на HUVEC, а также повышение АФК и активацию апоптоза [43]. Однако в нашем исследовании экспрессия генов окислительного стресса и апоптоза не менялась. При этом отмечено снижение экспрессии гена — транспортера глюкозы *GLUT1*, что может свидетельствовать об оксидативном стрессе [44, 45]. Также было показано снижение экспрессии генов воспаления *IL1a*, *IL1b*, *PTGES*, *IFNGR1*, что соотносится с результатами исследования S.G. Jorsaraei и соавт. [46].

В настоящем исследовании СРГ (10 мкМ) не вызывал повреждения ДНК в клетках HaCaT и MCF10A, но влиял на экспрессию генов репарации XRCC1, ATM и ATR. В литературе описаны повреждение ДНК лимфоцитов, а также активация генов эксцизионной репарации в клетках А549 после воздействия СРГ [47, 48]. В нашем исследовании СРF слабо снижал экспрессию генов пролиферации (CCND2, Ki-67) и активировал ген *E2F4* в клетках HaCaT, но не влиял на клоногенность. Однако, согласно данным Р. Balakrishnan и соавт., воздействие 4 мкМ СРГ вызывает генотоксичность, а также увеличивает пролиферативную активность в эмбриональных клетках печени WRL-68 при схожем влиянии на гены репарации и пролиферации [49]. Также сообщалось, что низкие дозы СРБ (0,05 мкМ) стимулируют пролиферацию клеток МСF7 и MDA-MB-231 [50]. Отсутствие эффекта на клетках MCF10A в нашем исследовании, скорее всего, связано с меньшей дозой, особенностями метаболизма клеток HaCaT, MCF10A и WRL-68, а также с низким уровнем

ER в MCF10A [51]. Влияние СРF как эндокринного дизраптора зависит от активности ER и не проявляется в ER-отрицательных клетках [52-54]. В ходе настоящего исследования подтверждена индукция генов СҮР1А1, СҮР1В1, что согласуется с данными о метаболизме CPF через активацию AhR и CYP [50, 55]. Кроме того, впервые выявлена активация гена GLUT3 под действием этого агента, аналогично канцерогенным агентам МСА и ТРА. Показано, что СРГ вызывает оксидативный стресс и воспаление in vitro и in vivo [56, 57]. В нашем исследовании СРГ активировал ген окислительного стресса NCF2, антиоксидантные гены SOD2, SLC7A11, а также гены воспаления IL1b и PTGES. Хроническое воздействие CPF снижает апоптоз в нормальных клетках печени [49]. В нашем исследовании также выявлено повышение экспрессии BCL2 в клетках HaCaT и MCF10A. На моделях рака молочной железы показано усиление миграционного потенциала клеток при действии СРГ [58]. В нашем исследовании детектировано влияние CPF на ген ROCK2 в клетках MCF10A и ген SERPINE1 в клетках HaCaT. P. Balakrishnan и соавт. выявили снижение экспрессии генов *DNMTs* при экспозиции CPF 24 ч [49]. Напротив, мы наблюдали слабую активацию генов DNMT1, DNMT3a, DNMT3b после 72 ч обработки, что может свидетельствовать о компенсационном механизме. При этом ранее в рамках скрининга эпигенетической активности ксенобиотиков для СРГ нами не было обнаружено интегральной эпигенетической активности в тест-системе HeLa TI (данные не опубликованы).

В клетках HaCaT и MCF10A не выявлено генотоксической активности при действии MZ и Thir. При этом MZ активировал экспрессию гена ATR, а Thir – генов ATR и ATM. Ранее сообщалось о генотоксичных эффектах MZ и Thir in vitro и in vivo [59, 60]. В клетках HeLa TI для Thir (2 мкМ) наблюдались усиление повреждения ДНК и изменение экспрессии генов репарации DDB2, ERCC5, LIG4 и ERCC3 [61]. Coгласно данным литературы, MZ и Thir активируют ферменты СҮР [62-65]. Результаты нашего исследования показали менее выраженные эффекты этих агентов: MZ оказывал слабое влияние на гены СҮР1А1 и CYP1B1, Thir — на ген CES2. В группе генов метаболизма фунгициды незначительно влияли на экспрессию MCT1 (MZ) и GLUT3 (Thir). В клетках HaCaT MZ активировал экспрессию генов пролиферации CCND2, *CCNE1* и *Ki-67*, однако в клоногенном анализе мы не наблюдали эффектов. В свою очередь, Thir стимулировал пролиферацию клеток HaCaT в клоногенном тесте, но в меньшей степени влиял на экспрессию генов, что может быть связано с кумулятивным эффектом. Ранее мы выявили, что Thir ингибирует рост колоний клеток HeLa TI в диапазоне концентраций 0,5-2 мкМ [61]. По данным К. Китаг и соавт., МZ индуцирует образование AФK, дисбаланс белков BCL-2 и апоптоз в клетках рака желудка при отсутствии токсичности в нормальных клетках [66]. В нашем исследовании MZ вызывал снижение экспрессии гена NCF2 при повышении экспрессии генов SEPN1 и SLC7A11, что соответствует запуску антиоксидантной защиты. Кроме того, происходило снижение уровня экспрессии генов воспаления СОХ2, IL1a и антиапоптотического гена *BCL2* в клетках HaCaT. При действии Thir происходила активация экспрессии антиоксидантного гена SOD2 в MCF10A, а также снижение экспрессии генов воспаления COX2, IL1a, IL1b, при этом не наблюдалось влияния на экспрессию генов апоптоза. Полученные данные согласуются с результатами D. Kurpios-Piec и соавт. о противовоспалительном эффекте Thir [67]. Существенных изменений в экспрессии генов инвазии и метастазирования под действием этого агента не выявлено, однако в MCF10A наблюдалась активация генов CDH2, ROCK2 и снижение экспрессии MMP2, аналогично эффекту ТРА. Для MZ показано снижение экспрессии гена DNMT3a в клетках HaCaT; Thir не оказывал влияния на гены эпигенетической регуляции транскрипции в обеих клеточных линиях. При этом ранее на тест-системе HeLa TI продемонстрирована способность Thir реактивировать экспрессию эпигенетически репрессированного гена *GFP* [61].

Результаты настоящего исследования продемонстрировали способность РМ вызывать повреждение ДНК в клетках MCF10A при отсутствии эффекта в клетках НаСаТ, а также активировать гены репарации *ATR* и *PCNA*. По данным литературы, PM вызывал разрывы ДНК, а также способствовал образованию микроядер в первичных лимфоцитах человека и клетках HUVEC [43, 68, 69]. Результаты клоногенного анализа показали отсутствие цитотоксического или пролиферативного действий при длительной экспозиции РМ, в то же время зарегистрировано слабое влияние РМ на экспрессию генов пролиферации. В данной работе впервые показана способность РМ активировать экспрессию генов СҮР1А1 и СҮР1В1 в клетках человека. Отметим также снижение уровня экспрессии гена GLUT3 в клетках HaCaT. Для PM показана индукция окислительного стресса на модели in vivo и in vitro [69, 70]. В нашем исследовании при действии РМ выявлена индукция экспрессии антиоксидантных генов САТ и *SOD2* в клетках MCF10A, в то время как в клетках НаСаТ повышалась экспрессия гена *NCF2*, ассоциированного с продуцированием АФК. Также РМ значительно снижал экспрессию провоспалительных генов СОХ2, IL1a и IFNGR1 в клетках HaCaT, что соотносится с данными литературы [70]. В клетках НаСаТ происходила активация экспрессии проапоптотического гена ВАХ, а в клетках MCF10A — антиапоптотических генов XIAP и BCL2. Также выявлено, что PM оказывает как про-, так и антиапоптотическое действие [71–73]. Влияние этого агента на инвазию и метастазирование ранее не изучалось. В данном исследовании показано слабое действие РМ на гены СDН2, MMP2 и SERPINE1. РМ не изменял экспрессию генов

эпигенетических ферментов, что согласуется с полученными ранее результатами об отсутствии эпигенетической активности РМ в тест-системе HeLa TI (данные не опубликованы).

Таким образом, выявлена пропролиферативная активность Car и Thir в клоногенном тесте при долгосрочном воздействии, при кратковременном воздействии их влияние на молекулярные процессы оказалось незначительным. Следует отметить, что в других моделях in vitro Thir значительно воздействовал на эпигенетическую активность и пролиферацию, что обусловливает необходимость его дальнейшего исследования. Несмотря на отсутствие повреждения ДНК при действии СРГ, профиль экспрессии генов биотрансформации, метаболизма, репарации, окислительного стресса и инвазии при его действии схож с эффектом индуктора и промотора канцерогенеза - МСА и ТРА соответственно, что говорит о потенциальной опасности данного пестицида и необходимости дальнейшего анализа его механизма действия. Особое внимание привлекает влияние CPF на гены *DNMTs*, указывающее на его способность модифицировать эпигенетическую регуляцию транскрипции. Гербицид РМ также проявил сходный с МСА и ТРА профиль воздействия на экспрессию генов, связанных с биотрансформацией, метаболизмом, окислительным стрессом и апоптозом. По этому агенту в литературе имеется ограниченное количество механистических и экспериментальных данных, что указывает на необходимость дальнейшего исследования его воздействий. Для MZ показано отсутствие генотоксического эффекта и влияния на клоногенность клеток, однако он воздействовал на отдельные гены процессов пролиферации, репарации, воспаления, апоптоза и инвазии. Влияние MZ на экспрессию гена *DNMT3a* демонстрирует необходимость анализа его эпигенетических свойств.

#### **ЗАКЛЮЧЕНИЕ**

В ходе данного исследования впервые изучена способность пестицидов Car, Thir, MZ и PM влиять на клоногенный потенциал нормальных клеток, а также проведена интегральная оценка влияния агентов на процессы канцерогенеза на транскрипционном уровне. Выявлено, что наибольшее воздействие на процессы, ассоциированные с канцерогенезом, оказывали PM, CPF и Car.

Одним из важных аспектов является наблюдаемая вариабельность чувствительности различных клеточных моделей к воздействию пестицидов. Анализ данных литературы и результатов наших экспериментов показал, что в оценке канцерогенного потенциала необходимо использовать как нормальные, так и опухолевые клетки. Это обусловлено тем, что опухолевые клетки, по всей видимости, обладают повышенными метаболической активностью и чувствительностью к ксенобиотикам. Для полноценной и адекватной оценки канцерогенного риска требуются дальнейшие исследования с накоплением механистических данных по действию указанных пестицидов на дополнительных клеточных моделях и дальнейший комплексный анализ молекулярных механизмов их действия.

#### ЛИТЕРАТУРА / REFERENCES

- World Health Organization. Global cancer burden growing, amidst mounting need for services. Available at: https://www.who.int/ru/ news/item/01-02-2024-global-cancer-burden-growing--amidstmounting-need-for-services
- Cancer Tomorrow IARC. Estimated number of new cases from 2022 to 2050, Both sexes, age [0–85+]. Available at: https://gco.iarc.fr/tomorrow/en/dataviz/isotype?years=2050
- Wan N.F., Fu L., Dainese M. et al. Pesticides have negative effects on non-target organisms. Nat Commun 2025;16(1):1360. DOI: 10.1038/s41467-025-56732-x
- Stockholm Convention. The 12 initial POPs under the Stockholm Convention. Available at: https://chm.pops.int/Convention/ The POPs/The 12 initial POPs/tabid/296
- IARC. Agents classified by the IARC Monographs, Volumes 1–139. 2025. Available at: https://monographs.iarc.who.int/agentsclassified-bv-the-iarc/
- Food and Agriculture Organisation of the United Nations.
   Commission on Genetic Resources for Food and Agriculture. 2019.
   Available at: https://openknowledge.fao.org/server/api/core/bitstreams/50b79369-9249-4486-ac07-9098d07df60a/content
- 7. IARC. Report of the Advisory Group to Recommend Priorities for the IARC Monographs during 2025–2029. 2024. Available at: https://www.iarc.who.int/news-events/advisory-group-recommendations-on-priorities-for-the-iarc-monographs-during-2025-2029/

- Smith M.T., Guyton K.Z., Gibbons C.F. et al. Key Characteristics of carcinogens as a basis for organizing data on mechanisms of carcinogenesis. Environ Health Perspect 2016;124(6):713–21. DOI: 10.1289/ehp.1509912
- Ataei M., Abdollahi M. A systematic review of mechanistic studies on the relationship between pesticide exposure and cancer induction. Toxicol Appl Pharmacol 2022;456:116280.
   DOI: 10.1016/j.taap.2022.116280
- Shekhar C., Khosya R., Thakur K. et al. A systematic review of pesticide exposure, associated risks, and long-term human health impacts. Toxicol Rep 2024;13:101840.
   DOI: 10.1016/j.toxrep.2024.101840
- Sule R.O., Condon L., Gomes A.V. A Common Feature of Pesticides: Oxidative Stress-The Role of Oxidative Stress in Pesticide-Induced Toxicity. Oxid Med Cell Longev. 2022;2022:5563759. DOI: 10.1155/2022/5563759
- Gunasekara A.S., Rubin A.L., Goh K.S. et al. Environmental fate and toxicology of carbaryl. Rev Environ Contam Toxicol. 2008;196:95-121. DOI: 10.1007/978-0-387-78444-1 4
- 13. De Roos A.J., Schinasi L.H., Miligi L. et al. Occupational insecticide exposure and risk of non-Hodgkin lymphoma: A pooled case-control study from the InterLymph Consortium. Int J Cancer 2021;149(10):1768-86. DOI: 10.1002/ijc.33740
- 14. Presutti R., Harris S.A., Kachuri L. et al. Pesticide exposures and the risk of multiple myeloma in men: An analysis of the North

S

- American Pooled Project. Int J Cancer 2016;139(8):1703–14. DOI: 10.1002/ijc.30218
- Koutros S., Harris S.A., Spinelli J.J. et al. Non-Hodgkin lymphoma risk and organophosphate and carbamate insecticide use in the north American pooled project. Environ Int 2019;127:199–205. DOI: 10.1016/j.envint.2019.03.018
- Erickson P.A., Andreotti G., Remigio R.V. et al. Carbaryl use and incident cancer in the Agricultural Health Study: an updated analysis. Int J Hyg Environ Health 2025;268:114615.
   DOI: 10.1016/j.ijheh.2025.114615
- Shukla Y., Antony M., Mehrotra N.K. Carcinogenic and cocarcinogenic studies with carbaryl following topical exposure in mice. Cancer Lett 1992;62(2):133–40.
   DOI: 10.1016/0304-3835(92)90183-v
- Meeker J.D., Singh N.P., Ryan L. et al. Urinary levels of insecticide metabolites and DNA damage in human sperm. Hum Reprod 2004;19(11):2573–80. DOI: 10.1093/humrep/deh444
- Nandi N.K., Vyas A., Akhtar M.J., Kumar B. The growing concern of chlorpyrifos exposures on human and environmental health. Pestic Biochem Physiol 2022;185:105138.
   DOI: 10.1016/j.pestbp.2022.105138
- Lee W.J., Blair A., Hoppin J.A. et al. Cancer incidence among pesticide applicators exposed to chlorpyrifos in the Agricultural Health Study. J Natl Cancer Inst 2004;96(23):1781–9.
   DOI: 10.1093/jnci/djh324
- Tayour C., Ritz B., Langholz B. et al. A case-control study of breast cancer risk and ambient exposure to pesticides. Environ Epidemiol 2019;3(5):e070. DOI: 10.1097/EE9.0000000000000070
- 22. Ventura C., Nieto M.R., Bourguignon N. et al. Pesticide chlorpyrifos acts as an endocrine disruptor in adult rats causing changes in mammary gland and hormonal balance. J Steroid Biochem Mol Biol 2016;156:1–9. DOI: 10.1016/j.jsbmb.2015.10.010
- 23. Hazarika J., Ganguly M., Borgohain G. et al. Endocrine disruption: molecular interactions of chlorpyrifos and its degradation products with estrogen receptor. Structural Chemistry 2020;31:2011–21. DOI: 10.1007/s11224-020-01562-4
- 24. Leon M.E., Schinasi L.H., Lebailly P. et al. Pesticide use and risk of non-Hodgkin lymphoid malignancies in agricultural cohorts from France, Norway and the USA: a pooled analysis from the AGRICOH consortium. Int J Epidemiol 2019;48(5):1519—35. DOI: 10.1093/ije/dyz017
- Koutros S., Silverman D.T., Alavanja M.C. et al. Occupational exposure to pesticides and bladder cancer risk. Int J Epidemiol 2016;45(3):792–805. DOI: 10.1093/ije/dyv195
- Dennis L.K., Lynch C.F., Sandler D.P., Alavanja M.C. Pesticide use and cutaneous melanoma in pesticide applicators in the agricultural heath study. Environ Health Perspect 2010;118(6):812–7.
   DOI: 10.1289/ehp.0901518
- Piel C., Pouchieu C., Carles C. et al. Agricultural exposures to carbamate herbicides and fungicides and central nervous system tumour incidence in the cohort AGRICAN. Environ Int 2019;130:104876. DOI: 10.1016/j.envint.2019.05.070
- Mills P.K., Yang R., Riordan D. Lymphohematopoietic cancers in the United Farm Workers of America (UFW), 1988–2001. Cancer Causes Control 2005;16(7):823–30. DOI: 10.1007/s10552-005-2703-2
- Vighi M., Matthies M., Solomon K.R. Critical assessment of pendimethalin in terms of persistence, bioaccumulation, toxicity, and potential for long-range transport. J Toxicol Environ Health B Crit Rev 2017;20(1):1–21. DOI: 10.1080/10937404.2016.1222320
- 30. Hou L., Lee W.J., Rusiecki J. et al. Pendimethalin exposure and cancer incidence among pesticide applicators. Epidemiology 2006;17(3):302–7. DOI: 10.1097/01.ede.0000201398.82658.50
- Andreotti G., Freeman L.E., Hou L. et al. Agricultural pesticide use and pancreatic cancer risk in the Agricultural Health Study Cohort. Int J Cancer 2009;124(10):2495–500. DOI: 10.1002/ijc.24185

- Walsh K.D., Kato T.A. Alkaline comet assay to detect DNA damage. Methods Mol Biol 2023;2519:65-72.
   DOI: 10.1007/978-1-0716-2433-3 7
- Guzman C., Bagga M., Kaur A. et al. ColonyArea: an ImageJ plugin to automatically quantify colony formation in clonogenic assays. PLoS One 2014;9(3):e92444.
   DOI: 10.1371/journal.pone.0092444
- 34. Livak K.J., Schmittgen T.D. Analysis of relative gene expression data using real-time quantitative PCR and the 2(-Delta Delta C(T)) method. Methods 2001;25(4):402–8. DOI: 10.1006/meth.2001.1262
- IARC. Certain polycyclic aromatic hydrocarbons and heterocyclic compounds. 1973. Available at: https://publications.iarc.who.int/ Book-And-Report-Series/Iarc-Monographs-On-The-Identification-Of-Carcinogenic-Hazards-To-Humans/Certain-Polycyclic-Aromatic-Hydrocarbons-And-Heterocyclic-Compounds-1973
- Robles H. Methylcholanthrene, 3-. Available at: https://www.researchgate.net/publication/304034151\_ Methylcholanthrene 3-
- 37. Kawabe M., Urano K., Suguro M. et al. Tumor promotion by 12-O-tetradecanoylphorbol-13-acetate in an ultra-short-term skin carcinogenesis bioassay using rasH2 mice. Vet Pathol 2013;50(5):903–8. DOI: 10.1177/0300985813486811
- Nishizuka Y. The role of protein kinase C in cell surface signal transduction and tumour promotion. Nature 1984;308(5961):693–8.
   DOI: 10.1038/308693a0
- Denison M.S., Phelan D., Winter G.M., Ziccardi M.H. Carbaryl, a carbamate insecticide, is a ligand for the hepatic Ah (dioxin) receptor. Toxicol Appl Pharmacol 1998;152(2):406–14.
   DOI: 10.1006/taap.1998.9999
- Larigot L., Juricek L., Dairou J., Coumoul X. AhR signaling pathways and regulatory functions. Biochim Open 2018;7:1–9. DOI: 10.1016/j.biopen.2018.05.001
- 41. Ledirac N., Delescluse C., de Sousa G. et al. Carbaryl induces CYP1A1 gene expression in HepG2 and HaCaT cells but is not a ligand of the human hepatic Ah receptor. Toxicol Appl Pharmacol 1997;144(1):177–82. DOI: 10.1006/taap.1997.8120
- 42. Honkakoski P., Negishi M. Regulation of cytochrome P450 (CYP) genes by nuclear receptors. Biochem J 2000;347(Pt 2):321–37. DOI: 10.1042/0264-6021:3470321
- 43. Saquib Q., Siddiqui M.A., Ansari S.M. et al. Cytotoxicity and genotoxicity of methomyl, carbaryl, metalaxyl, and pendimethalin in human umbilical vein endothelial cells. J Appl Toxicol 2021;41(5):832–46. DOI: 10.1002/jat.4139
- 44. Fernandes R., Hosoya K., Pereira P. Reactive oxygen species downregulate glucose transport system in retinal endothelial cells. Am J Physiol Cell Physiol 2011;300(4):C927–36. DOI: 10.1152/ajpcell.00140.2010
- 45. Chen Y., Joo J., Chu J.M. et al. Downregulation of the glucose transporter GLUT 1 in the cerebral microvasculature contributes to postoperative neurocognitive disorders in aged mice. J Neuroinflammation 2023;20(1):237. DOI: 10.1186/s12974-023-02905-8
- 46. Jorsaraei S.G., Maliji G., Azadmehr A. et al. Immunotoxicity effects of carbaryl *in vivo* and *in vitro*. Environ Toxicol Pharmacol 2014;38(3):838–44. DOI: 10.1016/j.etap.2014.09.004
- 47. Seher Karsli S.Y., Esra F. İncedere düzdağ, Türkan yurdun. Assessment of genotoxic effects of organophosphate and carbamate pesticides by comet assay. İstanbul J Pharm 2022;52(2):136–42. DOI: 10.26650/IstanbulJPharm.2022.1057224
- 48. Thakur S., Dhiman M., Mantha A.K. APE1 modulates cellular responses to organophosphate pesticide-induced oxidative damage in non-small cell lung carcinoma A549 cells. Mol Cell Biochem 2018;441(1-2):201-16. DOI: 10.1007/s11010-017-3186-7
- 49. Balakrishnan P., Thirunavukarasu K., Tamizhmani P. Toxicological impact of chronic chlorpyrifos exposure: DNA damage and

- epigenetic alterations induces neoplastic transformation of liver cells. Biochem Biophys Res Commun 2025;746:151287. DOI: 10.1016/j.bbrc.2025.151287
- 50. Moyano P., Garcia J., Garcia J.M. et al. Chlorpyrifos-induced cell proliferation in human breast cancer cell lines differentially mediated by estrogen and aryl hydrocarbon receptors and KIAA1363 enzyme after 24 h and 14 days exposure. Chemosphere 2020;251:126426. DOI: 10.1016/j.chemosphere.2020.126426
- Hevir N., Trost N., Debeljak N., Rizner T.L. Expression of estrogen and progesterone receptors and estrogen metabolizing enzymes in different breast cancer cell lines. Chem Biol Interact 2011; 191(1–3):206–16. DOI: 10.1016/j.cbi.2010.12.013
- 52. Lasagna M., Ventura C., Hielpos M.S. et al. Endocrine disruptor chlorpyrifos promotes migration, invasion, and stemness phenotype in 3D cultures of breast cancer cells and induces a wide range of pathways involved in cancer progression. Environ Res 2022;204(Pt A):111989. DOI: 10.1016/j.envres.2021.111989
- 53. Moyano P., Garcia J.M., Garcia J. et al. Chlorpyrifos induces cell proliferation in MCF-7 and MDA-MB-231 cells, through cholinergic and Wnt/beta-catenin signaling disruption, AChE-R upregulation and oxidative stress generation after single and repeated treatment. Food Chem Toxicol 2021;152:112241. DOI: 10.1016/j.fct.2021.112241
- 54. Ventura C., Nunez M., Miret N. et al. Differential mechanisms of action are involved in chlorpyrifos effects in estrogen-dependent or -independent breast cancer cells exposed to low or high concentrations of the pesticide. Toxicol Lett 2012;213(2):184–93. DOI: 10.1016/j.toxlet.2012.06.017
- Croom E.L., Wallace A.D., Hodgson E. Human variation in CYPspecific chlorpyrifos metabolism. Toxicology 2010;276(3):184–91.
   DOI: 10.1016/j.tox.2010.08.005
- Montanari C., Franco-Campos F., Taroncher M. et al. Chlorpyrifos induces cytotoxicity via oxidative stress and mitochondrial dysfunction in HepG2 cells. Food Chem Toxicol 2024;192:114933. DOI: 10.1016/j.fct.2024.114933
- Radhey S. Verma A.M., Nalini Srivastava. *In vivo* chlorpyrifos induced oxidative stress: Attenuation by antioxidant vitamins. Pesticide Biochemistry and Physiology 2007;88(2):191–6.
   DOI: 10.1016/j.pestbp.2006.11.002
- Lasagna M., Hielpos M.S., Ventura C. et al. Chlorpyrifos subthreshold exposure induces epithelial-mesenchymal transition in breast cancer cells. Ecotoxicol Environ Saf 2020;205:111312. DOI: 10.1016/j.ecoenv.2020.111312
- Yahia D., El-Amir Y.O., Rushdi M. Mancozeb fungicide-induced genotoxic effects, metabolic alterations, and histological changes in the colon and liver of Sprague Dawley rats. Toxicol Ind Health 2019;35(4):265–76. DOI: 10.1177/0748233719834150
- Pienkowska M., Zielenska M. Genotoxic effects of thiram evaluated by sister-chromatid exchanges in human lymphocytes. Mutat Res 1990;245(2):119–23. DOI: 10.1016/0165-7992(90)90010-h

- Maksimova V., Bukina A., Khayrieva G. et al. Thiram effects on HeLa TI cells. Proceedings 2024;102(1):35.
   DOI: 10.3390/proceedings2024102035
- 62. Lori G., Tassinari R., Narciso L. et al. Toxicological Comparison of mancozeb and zoxamide fungicides at environmentally relevant concentrations by an *in vitro* approach. Int J Environ Res Public Health 2021;18(16):8591. DOI: 10.3390/ijerph18168591
- 63. Bhaskar R., Mishra A., Mohanty B. Effects of mancozeb and imidacloprid pesticides on activities of steroid biosynthetic enzymes cytochromes P450. J Kalash Sci 2014;2:1–6.
- 64. Dalvi P.S., Wilder-Ofie T., Mares B. et al. Toxicologic implications of the metabolism of thiram, dimethyldithiocarbamate and carbon disulfide mediated by hepatic cytochrome P450 isozymes in rats. Pesticide Biochemi Physiol 2002;74(2):85–90.
- 65. Dalvi P.S., Wilder-Ofie T., Mares B. et al. Effect of cytochrome P450 inducers on the metabolism and toxicity of thiram in rats. Vet Hum Toxicol 2002;44(6):331–3.
- 66. Kumar K., Sabarwal A., Singh R.P. Mancozeb selectively induces mitochondrial-mediated apoptosis in human gastric carcinoma cells through ROS generation. Mitochondrion 2019;48:1–10. DOI: 10.1016/j.mito.2018.06.003
- 67. Kurpios-Piec D., Grosicka-Maciag E., Wozniak K. et al. Thiram activates NF-kappaB and enhances ICAM-1 expression in human microvascular endothelial HMEC-1 cells. Pestic Biochem Physiol 2015;118:82–9. DOI: 10.1016/j.pestbp.2014.12.003
- Sarigol Kilic Z., Aydin S., Undeger Bucurgat U., Basaran N. *In vitro* genotoxicity assessment of dinitroaniline herbicides pendimethalin and trifluralin. Food Chem Toxicol 2018;113:90–8.
   DOI: 10.1016/j.fct.2018.01.034
- 69. Ansari S.M., Saquib Q., Attia S.M. et al. Pendimethalin induces oxidative stress, DNA damage, and mitochondrial dysfunction to trigger apoptosis in human lymphocytes and rat bone-marrow cells. Histochem Cell Biol 2018;149(2):127–41. DOI: 10.1007/s00418-017-1622-0
- Ahmad M.I., Zafeer M.F., Javed M., Ahmad M. Pendimethalininduced oxidative stress, DNA damage and activation of antiinflammatory and apoptotic markers in male rats. Sci Rep 2018;8(1):17139. DOI: 10.1038/s41598-018-35484-3
- Lee H.S., Amarakoon D., Tamia G. et al. Pendimethalin induces apoptotic cell death through activating ER stress-mediated mitochondrial dysfunction in human umbilical vein endothelial cells. Food Chem Toxicol 2022;168:113370.
   DOI: 10.1016/j.fct.2022.113370
- Ham J., Lim W., Song G. Pendimethalin induces apoptosis in testicular cells via hampering ER-mitochondrial function and autophagy. Environ Pollut 2021;278:116835.
   DOI: 10.1016/j.envpol.2021.116835
- Sarigol-Kilic Z., Undeger-Bucurgat U. The Apoptotic and Antiapoptotic Effects of Pendimethalin and Trifluralin on A549 Cells In Vitro. Turk J Pharm Sci 2018;15(3):364—9. DOI: 10.4274/tjps.94695

#### Вклад авторов

- Е.С. Лылова: получение данных для анализа, анализ данных, написание текста статьи, подготовка иллюстративного материала;
- В.Г. Попова: анализ данных, подготовка иллюстративного материала;
- К.А. Зимин, А.Ю. Букина, В.А. Нуртдинова, С.С. Шмаков: получение данных для анализа;
- М.Г. Якубовская, К.И. Кирсанов: анализ данных, редактирование;
- В.П. Максимова: разработка дизайна исследования, анализ данных, подготовка иллюстративного материала, редактирование. Authors' contributions
- E.S. Lylova: obtaining data for analysis, data analysis, article writing, preparation of illustrative material;
- V.G. Popova: data analysis, preparation of illustrative material;
- K.A. Zimin, A.Yu. Bukina, V.A. Nurtdinova, S.S. Shmakov: obtaining data for analysis;
- M.G. Yakubovskaya, K.I. Kirsanov: data analysis, editing;
- V.P. Maksimova: research design development, data analysis preparation of illustrative material, editing.

# ORCID авторов / ORCID authors

E.C. Лылова / E.S. Lylova: https://orcid.org/0000-0001-6388-1624

В.Г. Попова / V.G. Popova: https://orcid.org/0000-0002-7301-605X

K.A. Зимин / K.A. Zimin: https://orcid.org/0009-0008-7714-114X

А.Ю. Букина / А.Yu. Bukina: https://orcid.org/0000-0002-0963-3432

В.А. Нуртдинова / V.A. Nurtdinova: https://orcid.org/0009-0001-2694-3387

С.С. Шмаков / S.S. Shmakov: https://orcid.org/0009-0001-7152-7083

М.Г. Якубовская / М.G. Yakubovskaya: https://orcid.org/0000-0002-9710-8178

К.И. Кирсанов / К.І. Kirsanov: https://orcid.org/0000-0002-8599-6833

В.П. Максимова / V.P. Maksimova: https://orcid.org/0000-0003-0896-2952

# Конфликт интересов. Авторы заявляют об отсутствии конфликта интересов.

**Conflict of interest.** The authors declare no conflict of interest.

Финансирование. Работа выполнена при финансовой поддержке Российского научного фонда (проект № 23-25-00541).

Funding. The work was carried out with the financial support of the Russian Science Foundation (project No. 23-25-00541).

# для заметок